

ระบบทำน้ำเย็นพลังงานแสงอาทิตย์โดยใช้มอเตอร์กระแสตรงขับเคลื่อน
ระบบทำความเย็นแบบอัดไอ

THE SOLAR WATER-COOLING SYSTEM VIA A DC-MOTOR DRIVEN
VAPOR COMPRESSION REFRIGERATION SYSTEM

ชุมพล กำเหนิดนนท์

วิทยานิพนธ์เป็นส่วนหนึ่งของการศึกษาตามหลักสูตร
ปริญญาวิศวกรรมศาสตรมหาบัณฑิต สาขาวิศวกรรมเครื่องกล

คณะวิศวกรรมศาสตร์

มหาวิทยาลัยเทคโนโลยีราชมงคลธัญบุรี

ปีการศึกษา 2566

ลิขสิทธิ์ของมหาวิทยาลัยเทคโนโลยีราชมงคลธัญบุรี

ระบบทำน้ำเย็นพลังงานแสงอาทิตย์โดยใช้มอเตอร์กระแสตรงขับเคลื่อน
ระบบทำความเย็นแบบอัดไอ

ชุมพล กำเหนิดนนท์

วิทยานิพนธ์เป็นส่วนหนึ่งของการศึกษาตามหลักสูตร
ปริญญาวิศวกรรมศาสตรมหาบัณฑิต สาขาวิศวกรรมเครื่องกล

คณะวิศวกรรมศาสตร์

มหาวิทยาลัยเทคโนโลยีราชมงคลธัญบุรี

ปีการศึกษา 2566

ลิขสิทธิ์ของมหาวิทยาลัยเทคโนโลยีราชมงคลธัญบุรี

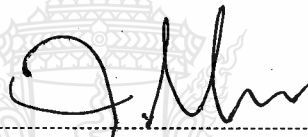
หัวข้อวิทยานิพนธ์ ระบบทำน้ำเย็นพลังงานแสงอาทิตย์โดยใช้มอเตอร์กระแสตรงขับเคลื่อนระบบทำความเย็นแบบอัดไอ
The Solar Water-Cooling System via a DC-Motor Driven Vapor Compression Refrigeration System

ชื่อ - นามสกุล นายชุมพล กำเหนิดนนท์
สาขาวิชา วิศวกรรมเครื่องกล
อาจารย์ที่ปรึกษา รองศาสตราจารย์บุญฤทธิ์ ประสาทแก้ว, D.Eng.
ปีการศึกษา 2566

คณะกรรมการสอบวิทยานิพนธ์



..... ประธานกรรมการ
(ผู้ช่วยศาสตราจารย์พิพัฒน์ ปราโมทย์, Ph.D.)



..... กรรมการ
(รองศาสตราจารย์ฉัตรชัย นิยมล, ปร.ด.)



..... กรรมการ
(ผู้ช่วยศาสตราจารย์มานพ แยมแพง, ปร.ด.)



..... กรรมการ
(รองศาสตราจารย์บุญฤทธิ์ ประสาทแก้ว, D.Eng.)

คณะวิศวกรรมศาสตร์ มหาวิทยาลัยเทคโนโลยีราชมงคลธัญบุรี อนุมัติวิทยานิพนธ์ฉบับนี้เป็นส่วนหนึ่งของการศึกษาตามหลักสูตรปริญญาวิทยาศาสตรบัณฑิต



..... คณบดีคณะวิศวกรรมศาสตร์
(รองศาสตราจารย์สรพงษ์ ภาสุปรีดิ์, Ph.D.)

วันที่ 26 เดือน ตุลาคม พ.ศ. 2566

หัวข้อวิทยานิพนธ์	ระบบทำน้ำเย็นพลังงานแสงอาทิตย์ที่ใช้มอเตอร์กระแสตรงขับเคลื่อนระบบ ทำความเย็นแบบอัดไอ
ชื่อ-นามสกุล	นายชุมพล กำเหนิดนนท์
สาขาวิชา	วิศวกรรมเครื่องกล
อาจารย์ที่ปรึกษา	รองศาสตราจารย์บุญฤทธิ์ ประสาทแก้ว, D.Eng.
ปีการศึกษา	2566

บทคัดย่อ

งานวิจัยนี้มีวัตถุประสงค์เพื่อการศึกษาสมรรถนะของระบบทำน้ำเย็นพลังงานแสงอาทิตย์ที่มีการใช้มอเตอร์กระแสตรงขับเคลื่อนระบบทำความเย็นแบบอัดไอ ซึ่งเมื่อเทียบกับการใช้เครื่องทำความเย็นกระแสสลับแล้วระบบนี้มีจุดเด่นคือเนื่องจากกระแสไฟฟ้าจากโซลาร์เซลล์เป็นกระแสตรง ดังนั้นการใช้มอเตอร์กระแสตรงจะรับกระแสไฟฟ้าจากโซลาร์เซลล์หรือแบตเตอรี่ได้โดยตรงจึงไม่จำเป็นต้องมีอินเวอร์เตอร์

ระบบกักเก็บและจ่ายไฟฟ้าพลังงานแสงอาทิตย์ที่ในการศึกษาทดลองประกอบด้วย แผงโซลาร์เซลล์ขนาด แบตเตอรี่ และตัวควบคุมการจ่ายและประจุไฟฟ้า เพื่อจ่ายกระแสไฟฟ้าให้กับมอเตอร์กระแสตรงขนาด 850 วัตต์ ขับคอมเพรสเซอร์ของระบบทำความเย็นแบบอัดไอโดยใช้สารทำความเย็นชนิด R-134a และมีระบบการกักเก็บความเย็นด้วยถังน้ำเย็นหุ้มฉนวนขนาด 3,000 ลิตร

ผลการทดลองพบว่า ระบบทำน้ำเย็นพลังงานแสงอาทิตย์ที่มีการใช้มอเตอร์กระแสตรงขับเคลื่อนระบบทำความเย็นแบบอัดไอสามารถผลิตน้ำเย็นได้อุณหภูมิต่ำสุด 16.5 องศาเซลเซียส โดยสามารถทำงานประมาณ 10 ชั่วโมงต่อวัน จึงสรุปผลได้ว่าการผลิตน้ำเย็นด้วยพลังงานแสงอาทิตย์โดยใช้มอเตอร์ไฟฟ้ากระแสตรงขับเคลื่อนระบบทำความเย็นแบบอัดไอมีสมรรถนะที่ดีสามารถทำการพัฒนาต่อให้สามารถนำไปใช้ในระบบทำความเย็นจริงได้

คำสำคัญ : โซลาร์เซลล์ การทำความเย็น การกักเก็บความเย็น พลังงานแสงอาทิตย์

Thesis Title The Solar Water-Cooling System via a DC-Motor Driven Vapor
 Compression Refrigeration System

Name – Surname Mr. Chumphon Kamnoednon

Program Mechanical Engineering

Thesis Advisor Associate Professor Boonrit Prasartkaew, D.Eng.

Academic Year 2023

ABSTRACT

This research aimed to study the performance of a solar water-cooling system using direct current motor to drive the vapor compression cooling system. In comparison to the use of AC conventional refrigeration, this system has better feature because the electricity from the solar cells is direct current. As a result, the use of DC motors that can be supplied directly from solar cells or batteries does not require an inverter.

The solar energy storage and supply used in this experimental study consisted of solar panels, batteries and charging controllers. The energy from this storage was supplied to an 850-watt DC motor which drove the compressor of the vapor-compression refrigeration system using refrigerant type R 134 A. In addition, there was a cold-water storage system using a 3,000-liter insulated tank.

The experimental results showed that the solar water-cooling system using DC motor to drive the vapor compression cooling system could produce cold water with the lowest temperature of 16.5 °C and could be operated for 10 h continuously. It could be concluded that the proposed system is promising and could be further developed for an actual cooling system.

Keywords: solar cell, refrigeration, cooling storage, solar energy.

กิตติกรรมประกาศ

วิทยานิพนธ์ฉบับนี้สำเร็จลุล่วงได้ด้วย ความกรุณาจากบุคคลหลายฝ่าย ผู้วิจัยขอขอบพระคุณ รศ.ดร.บุญยฤทธิ์ ประสาทแก้ว อาจารย์ที่ปรึกษาวิทยานิพนธ์ ซึ่งได้ให้คำแนะนำตลอดจนชี้แนะแนวทาง ในการแก้ไขปัญหาต่างๆ มาโดยตลอดทำให้วิทยานิพนธ์สำเร็จได้ด้วยดี

และขอขอบพระคุณคณะกรรมการสอบวิทยานิพนธ์ ผศ.ดร.พิพัฒน์ ปราโมทย์ , ผศ.ดร.มานพ แยมแพง , รศ.ดร.บุญยฤทธิ์ ประสาทแก้ว และผู้ทรงคุณวุฒิ รศ.ดร.ฉัตรชัย นิยมล ที่ให้ความกรุณาให้ คำแนะนำ ชี้แนะข้อบกพร่องพร้อมทั้งเสนอแนะแนวทางแก้ไขเพื่อให้วิทยานิพนธ์ฉบับนี้มีความสมบูรณ์ มากยิ่งขึ้น

ผู้วิจัยขอขอบพระคุณอาจารย์ประจำภาควิชาวิศวกรรมเครื่องกล มหาวิทยาลัยเทคโนโลยีราชมงคลธัญบุรีทุกท่าน ที่กรุณาให้คำแนะนำและให้ความช่วยเหลือสนับสนุนอุปกรณ์และเครื่องมือที่ใช้ในการทำวิจัยมาโดยตลอด ประโยชน์และคุณค่าอันพึงมีจากวิทยานิพนธ์ฉบับนี้ ผู้วิจัยขอมอบเพื่อบูชา พระคุณ บิดา มารดา ครู อาจารย์ ผู้มีพระคุณ ตลอดจนผู้ให้ความช่วยเหลือในการทำวิทยานิพนธ์ทุกท่านและขอขอบพระคุณเป็นอย่างสูงไว้ ณ โอกาสนี้

สุดท้ายนี้ผู้วิจัยต้องขอโทษหากมีข้อผิดพลาดประการใด ในวิทยานิพนธ์เล่มนี้และหวังเป็นอย่างยิ่งว่าข้อมูลในการทำวิจัยที่รวบรวมไว้ อาจมีประโยชน์แก่ผู้ที่สนใจและนำไปพัฒนาต่อได้



ชุมพล กำเหนิดนนท์

สารบัญ

	หน้า
บทคัดย่อภาษาไทย.....	(3)
บทคัดย่อภาษาอังกฤษ.....	(4)
กิตติกรรมประกาศ.....	(5)
สารบัญ.....	(6)
สารบัญรูป.....	(8)
สารบัญตาราง.....	(13)
คำอธิบายสัญลักษณ์และคำย่อ.....	(14)
บทที่ 1 บทนำ.....	15
1.1 ความเป็นมาและความสำคัญ.....	17
1.2 วัตถุประสงค์.....	17
1.3 ขอบเขตงานวิจัย.....	17
1.4 ประโยชน์ที่คาดว่าจะได้รับ.....	17
บทที่ 2 ทฤษฎีและงานวิจัยที่เกี่ยวข้อง.....	18
2.1 รังสีดวงอาทิตย์.....	18
2.2 การผลิตไฟฟ้าด้วยเซลล์แสงอาทิตย์.....	22
2.3 วัฏจักรทำความเย็นแบบอัดไอ.....	46
2.4 การคำนวณขนาดถังกักเก็บความเย็นด้วยน้ำ.....	48
2.5 การเลือกและการออกแบบอุปกรณ์เครื่องแลกเปลี่ยนความร้อน.....	48
2.6 งานวิจัยที่เกี่ยวข้อง.....	59
บทที่ 3 ขั้นตอนการดำเนินการวิจัย.....	62
3.1 การออกแบบระบบพลังงานไฟฟ้าจากโซลาร์เซลล์.....	62
3.2 เขียนแผนภาพ T – s และ P – h ของวัฏจักรทำความเย็นแบบอัดไอ.....	64
3.3 การคำนวณขนาดถังกักเก็บความเย็นด้วยน้ำ.....	65
3.4 เขียนแผนภาพไดอะแกรมอุปกรณ์.....	65
3.5 เลือกอุปกรณ์ที่ใช้สร้างเครื่องทดลอง.....	66
3.6 ออกแบบโครงสร้างและจัดเรียงอุปกรณ์.....	78

สารบัญ (ต่อ)

	หน้า
บทที่ 4 ผลการวิจัย.....	85
4.1 ผลจากการทดลอง.....	85
4.2 ผลจากแผนภูมิความสัมพันธ์.....	92
4.3 การวัดค่าสัมประสิทธิ์สมรรถนะ COP (Coefficient of Performance).....	97
บทที่ 5 สรุปผลการทดลอง.....	99
5.1สรุปผลและอภิปรายผล.....	99
5.2 ข้อเสนอแนะ.....	99
บรรณานุกรม.....	100
ภาคผนวก.....	103
ภาคผนวก ก ผลงานตีพิมพ์และเผยแพร่.....	103
ประวัติผู้เขียน.....	129



สารบัญรูป

	หน้า
รูปที่ 2.1 ภาพแสดงถึงค่าความเข้มของรังสีดวงอาทิตย์ในพื้นที่ของประเทศต่าง ๆ ทั่วโลก.....	18
รูปที่ 2.2 ภาพแสดงถึงค่าความเข้มของรังสีดวงอาทิตย์ในพื้นที่ของประเทศไทย.....	19
รูปที่ 2.3 แสดงพลังงานจากดวงอาทิตย์.....	20
รูปที่ 2.4 รังสีดวงอาทิตย์บางส่วนที่ผ่านเข้าสู่ชั้นบรรยากาศ.....	21
รูปที่ 2.5 รังสีแสงอาทิตย์.....	21
รูปที่ 2.6 รังสีแสงอาทิตย์.....	22
รูปที่ 2.7 ระบบผลิตกระแสไฟฟ้าเซลล์แสงอาทิตย์แบบจ่ายโหลดโดยตรง.....	22
รูปที่ 2.8 ระบบผลิตกระแสไฟฟ้าเซลล์แสงอาทิตย์แบบอิสระทำงานร่วมกับแบตเตอรี่.....	23
รูปที่ 2.9 ระบบผลิตกระแสไฟฟ้าเซลล์แสงอาทิตย์แบบต่อกับระบบจำหน่ายไฟฟ้า.....	23
รูปที่ 2.10 ระบบผลิตกระแสไฟฟ้าเซลล์แสงอาทิตย์แบบผสมผสาน.....	24
รูปที่ 2.11 ส่วนประกอบของเซลล์แสงอาทิตย์.....	24
รูปที่ 2.12 เซลล์แสงอาทิตย์ก่อนได้รับแสง.....	25
รูปที่ 2.13 เซลล์แสงอาทิตย์เมื่อเริ่มได้รับแสง.....	26
รูปที่ 2.14 เซลล์แสงอาทิตย์เมื่อได้รับแสงและเกิดการไหลของกระแสไฟฟ้า.....	26
รูปที่ 2.15 ส่วนประกอบของเซลล์แสงอาทิตย์.....	27
รูปที่ 2.16 Crystalline silicon	27
รูปที่ 2.17 ประเภทและประสิทธิภาพของเซลล์แสงอาทิตย์ที่ทำจากสารกึ่งตัวนำ.....	28
รูปที่ 2.18 ผลึกเดี่ยวของซิลิกอนบริสุทธิ์.....	29
รูปที่ 2.19 แนวเลื่อยแท่งผลึก.....	29
รูปที่ 2.20 เซลล์แสงอาทิตย์แบบโมโนคริสตัลไลน์.....	29
รูปที่ 2.21 แผงเซลล์แสงอาทิตย์แบบโมโนคริสตัลไลน์.....	30
รูปที่ 2.22 ก้อนโพลีคริสตัลไลน์และการเลื่อยเป็นบล็อกสี่เหลี่ยม.....	31
รูปที่ 2.23 การหั่นก้อนโพลีคริสตัลไลน์เป็นเวเฟอร์สี่เหลี่ยมจัตุรัส และการสร้างเป็นเซลล์แสงอาทิตย์.....	31
รูปที่ 2.24 แผงเซลล์แสงอาทิตย์แบบฟิล์มบาง (Thin Film)	32

สารบัญรูป (ต่อ)

หน้า

รูปที่ 2.25 การติดตั้งแผงเซลล์แสงอาทิตย์บนหลังคาโดยด้านซ้ายคือแผง แบบฟิล์มบางและด้านขวาคือแบบโมโนคริสตัลไลน์.....	33
รูปที่ 2.26 การติดตั้งแผงที่เหมาะสมสำหรับประเทศไทย.....	34
รูปที่ 2.27 ตัวอย่างการต่อแผงเซลล์แสงอาทิตย์เป็นอาร์เรย์.....	35
รูปที่ 2.28 ตัวอย่างการต่อแผงเซลล์แสงอาทิตย์ที่เหมือนกันแบบอนุกรม.....	35
รูปที่ 2.29 ตัวอย่างการต่อแผงเซลล์แสงอาทิตย์ที่เหมือนกันแบบขนาน.....	36
รูปที่ 2.30 ตัวอย่างการต่อแผงเซลล์แสงอาทิตย์ขนาดต่างกันมาต่อกันแบบอนุกรม.....	36
รูปที่ 2.31 ตัวอย่างการต่อแผงเซลล์แสงอาทิตย์ขนาดต่างกันมาต่อกันแบบขนาน.....	37
รูปที่ 2.32 แบตเตอรี่ลิเธียมไอออนยี่ห้อหนึ่ง.....	37
รูปที่ 2.33 แบตเตอรี่ประเภทต้องเติมน้ำกลั่นแบบทั่วไป 6 V และ 12 V.....	38
รูปที่ 2.34 แบตเตอรี่แบบแห้ง 12 V.....	38
รูปที่ 2.35 การต่อแบตเตอรี่แบบอนุกรม.....	39
รูปที่ 2.36 การต่อแบตเตอรี่แบบขนาน.....	39
รูปที่ 2.37 การต่อแบตเตอรี่แบบอนุกรมที่มีขนาดความจุต่างกัน.....	40
รูปที่ 2.38 การต่อแบตเตอรี่แบบอนุกรมที่มีขนาดแรงดันต่างกัน.....	40
รูปที่ 2.39 การต่อแบตเตอรี่แบบขนานที่มีขนาดความจุต่างกัน.....	41
รูปที่ 2.40 การต่อแบตเตอรี่แบบขนานที่มีขนาดแรงดันต่างกัน.....	41
รูปที่ 2.41 ตัวควบคุมการชาร์จแบบ PWM ยี่ห้อ Victron 12 V , 10 A.....	42
รูปที่ 2.42 ตัวควบคุมการชาร์จแบบ MPPT ยี่ห้อ Victron 12/24 V , 20 A.....	42
รูปที่ 2.43 สวิตช์ตัดการเชื่อมต่อทั่วไปที่ใช้เพื่อแยกอาร์เรย์แผงเซลล์ แสงอาทิตย์จากตัวควบคุมการชาร์จ.....	43
รูปที่ 2.44 ฟิวส์รถยนต์, ฟิวส์กระแสตรง, เบรกเกอร์กระแสตรง.....	44
รูปที่ 2.45 กล่องต่อสายร่วมของแผงเซลล์แสงอาทิตย์ขนาด 4 kW รวม 10 แผง เพื่อป้องกันสายเคเบิลเดี่ยวไปยังตัวควบคุมการชาร์จ.....	44
รูปที่ 2.46 กล่องแยก (Junction Box)	45
รูปที่ 2.47 การต่อสายดิน.....	45
รูปที่ 2.48 แผนภาพ T - s , P - h ของวัฏจักรทำความเย็นแบบอัดไอ.....	46

สารบัญรูป (ต่อ)

	หน้า
รูปที่ 2.49 เครื่องแลกเปลี่ยนความร้อนแบบเปลือกและท่อ.....	49
รูปที่ 2.50 การไหลที่แตกต่างกันใน cross flow heat exchangers.....	49
รูปที่ 2.51 ลักษณะการไหลที่แตกต่างกัน และการเปลี่ยนแปลงอุณหภูมิในเครื่องแลกเปลี่ยนความร้อนแบบ ท่อสองชั้น (double-pipe heat exchanger).....	50
รูปที่ 2.52 การถ่ายเทความร้อนรวมผ่านผนังระนาบ.....	51
รูปที่ 2.53 แผนภูมิสำเร็จในการหาค่าสัมประสิทธิ์ของการถ่ายเทความร้อนรวม.....	52
รูปที่ 2.54 ลักษณะภาพด้านข้างของอุณหภูมิ การไหลแบบขนาน.....	53
รูปที่ 2.55 ภาพด้านข้างของอุณหภูมิการไหลแบบขนานในเครื่องแลกเปลี่ยนความร้อนแบบท่อคู่.....	53
รูปที่ 2.56 อุปกรณ์แลกเปลี่ยนความร้อนแบบไหลซับซ้อนที่ของไหลในเซลล์ไหลผ่านเครื่องที่เกี่ยวข้องในท่อไหลผ่านเครื่อง 2,4,6,8,10,12 เที้ยว.....	55
รูปที่ 2.57 อุปกรณ์แลกเปลี่ยนความร้อนแบบไหลซับซ้อนที่ของไหลในเซลล์ไหลผ่านเครื่อง 2 เที้ยว ส่วนในท่อไหลผ่านเครื่อง 4,8,12,16,18,20,24 เที้ยว.....	55
รูปที่ 2.58 อุปกรณ์แลกเปลี่ยนความร้อนแบบไหลตั้งฉากที่ของไหลในเซลล์มีการคลุกเคล้าปนกัน ส่วนของไหลในท่อไม่มีการคลุกเคล้าปนกันและไหลผ่านเครื่องเพียงเที้ยวเดียวหรือกลับเดียว.....	56
รูปที่ 2.59 อุปกรณ์แลกเปลี่ยนความร้อนแบบไหลตั้งฉากที่ของไหลแต่ละชนิดไม่มีการคลุกเคล้าปนกันของไหลในท่อไหลผ่านเครื่องเดียว.....	56
รูปที่ 2.60 อีแวนโพเรเตอร์แบบวงจรรอบเดียว.....	57
รูปที่ 2.61 อีแวนโพเรเตอร์แบบแยกวงจรรสรทำความเย็น.....	57
รูปที่ 2.62 อีแวนโพเรเตอร์แบบ 4 วงจรติดตั้ง Header.....	57
รูปที่ 2.63 อีแวนโพเรเตอร์กับหัวจ่ายสารทำความเย็นข้อสังเกตสารทำความเย็นและอากาศจะไหลสวนกัน.....	58
รูปที่ 2.64 การไหลสวนทางของสารทำความเย็นและอากาศแบบนี้มีผลทำให้ภาระในวงจรเรียบสม่ำเสมอ.....	58
รูปที่ 3.1 แผนภาพไดอะแกรมระบบผลิตไฟฟ้าด้วยโซลาเซลล์ของเครื่องทำน้ำเย็นแบบอัดไอ.....	64
รูปที่ 3.2 วัฏจักรทำความเย็นแบบไออัดตัวที่ใช้เป็นต้นแบบคือ วัฏจักรคาร์โนต์.....	64
รูปที่ 3.3 แผนภาพไดอะแกรมอุปกรณ์เครื่องทำความเย็นแบบไออัดพลังงานแสงอาทิตย์.....	66

สารบัญรูป (ต่อ)

	หน้า
รูปที่ 3.4 แผงโซลาร์เซลล์ที่ใช้เป็นของยี่ห้อ Solar Module ขนาด 330 วัตต์.....	67
รูปที่ 3.5 คอมเพรสเซอร์ (Compressor)	67
รูปที่ 3.6 แสดงหาค่าสัมประสิทธิ์ของการถ่ายเทความร้อนรวม จากแผนภูมิสำเร็จในการหาค่า สัมประสิทธิ์ของการถ่ายเทความร้อนรวม รูปที่ 2.53.....	68
รูปที่ 3.7 การหาค่า F จากรูปที่ 2.56 อุปกรณ์แลกเปลี่ยนความร้อนแบบไหลซับซ้อนที่ของไหลในเซลล์ ไหลผ่านเครื่อง เทียวเดียวส่วนในท่อไหลผ่านเครื่อง 2,4,6,8,10,12 เทียว.....	69
รูปที่ 3.8 แสดงเครื่องแลกเปลี่ยนความร้อนแบบเปลือกและท่อโดยติดตั้งอีแวปโปเรเตอร์ อยู่ด้านใน.....	70
รูปที่ 3.9 แสดงเครื่องแลกเปลี่ยนความร้อนแบบเปลือกและท่อโดยติดตั้งอีแวปโปเรเตอร์อยู่ด้านใน ขนาดของท่อสารทำความเย็นเท่ากับ 8 mm.....	71
รูปที่ 3.10 แสดงเครื่องแลกเปลี่ยนความร้อนแบบเปลือกและท่อ ทางเดินน้ำเย็นและท่อสารทำความ เย็นเดินผ่านทั้งหมด 32 ครั้ง	71
รูปที่ 3.11 แสดงเครื่องแลกเปลี่ยนความร้อนแบบเปลือกและท่อโดยติดตั้งอีแวปโปเรเตอร์อยู่ด้านใน ขนาดของความยาวท่อสารทำความเย็นเท่ากับ 300 mm.....	72
รูปที่ 3.12 แสดงหาค่าสัมประสิทธิ์ของการถ่ายเทความร้อนรวม จากแผนภูมิสำเร็จในการหาค่า สัมประสิทธิ์ของการถ่ายเทความร้อนรวมรูปที่ 2.53.....	73
รูปที่ 3.13 การหาค่า F จากรูปที่ 2.53 อุปกรณ์แลกเปลี่ยนความร้อนแบบไหลซับซ้อนที่ของไหลในเซลล์ ไหลผ่านเครื่อง เทียวเดียวส่วนในท่อไหลผ่านเครื่อง 2,4,6,8,10,12 เทียว.....	74
รูปที่ 3.14 แสดงเครื่องแลกเปลี่ยนความร้อนหรือคอนเดินเซอร์โดยขนาดความยาว 450 mm จำนวนหลอดจริงอยู่ที่ 30 , ความหนา 15 mm. ขนาดพื้นที่การถ่ายเทความร้อนเท่ากับ 0.47 m ²	76
รูปที่ 3.15 ป้อนน้ำขนาด 220 V , 0.5 m ³ /hr.....	76
รูปที่ 3.16 มิเตอร์วัดพลังงานแสงอาทิตย์ TENMARS TM-207.....	77
รูปที่ 3.17 การจัดวางอุปกรณ์มิเตอร์วัดพลังงานแสงอาทิตย์ TENMARS TM - 207.....	77
รูปที่ 3.18 เกจวาล์ว (GATE VALVE)	78
รูปที่ 3.19 เครื่องผลิตน้ำเย็นมอเตอร์กระแสตรงอัดไอ.....	78
รูปที่ 3.20 Compressor มอเตอร์กระแสตรงอัดไอ.....	79

สารบัญรูป (ต่อ)

	หน้า
รูปที่ 3.21 พัดลมระบายความร้อน.....	79
รูปที่ 3.22 กรองน้ำยาแอร์.....	80
รูปที่ 3.23 โครงเครื่องผลิตน้ำเย็น.....	80
รูปที่ 3.24 ถังเก็บน้ำเย็น.....	81
รูปที่ 3.25 ไดอะแกรมงานระบบไฟฟ้า.....	81
รูปที่ 3.26 Heat Exchanger.....	82
รูปที่ 3.27 เครื่องผลิตน้ำเย็นที่สร้างตามแบบ.....	82
รูปที่ 3.28 แผงโซลาร์เซลล์ที่ใช้ในงานวิจัย.....	83
รูปที่ 3.29 ไดอะแกรมระบบทำน้ำเย็นพลังงานแสงอาทิตย์โดยใช้มอเตอร์กระแสตรง ขับเคลื่อนระบบทำความเย็นแบบอัดไอ.....	83
รูปที่ 3.30 แบตเตอรี่ จำนวน 6 ลูกต่อแบบอนุกรมและขนานกันตามลำดับเพื่อให้มีความจุ 24 V , 300 A และควบคุมโดยชาร์จคอนโทรลเลอร์ (Charge Controller) จำนวน 3 ชุด.....	84
รูปที่ 3.31 ถังเก็บน้ำเย็น.....	84
รูป 4.1 แผนภาพมอลเลียร์ (Mollier Diagram) สารทำความเย็น R134A , P-h ไดอะแกรมของระบบ ทำเย็นพลังงานแสงอาทิตย์ในงานวิจัย.....	91
รูปที่ 4.2 แผนภูมิความสัมพันธ์ระหว่างอุณหภูมิกับช่วงเวลาของวัน.....	92
รูปที่ 4.3 แผนภูมิความสัมพันธ์ระหว่างกำลังไฟฟ้าที่มอเตอร์ใช้ ขับเคลื่อนเพรสเซอร์กับช่วงเวลาของวัน.....	93
รูปที่ 4.4 แผนภูมิความสัมพันธ์ระหว่างอัตราการทำความเย็นของน้ำเย็น ที่ผลิตได้กับช่วงเวลาของวัน.....	93
รูปที่ 4.5 แผนภูมิความสัมพันธ์ระหว่างพลังงานแสงอาทิตย์กับช่วงเวลาของวัน.....	94
รูปที่ 4.6 แผนภูมิความสัมพันธ์ระหว่างกำลังไฟฟ้าที่แผงโซลาร์เซลล์ผลิตได้ช่วงเวลาของวัน.....	95
รูปที่ 4.7 แผนภูมิการทดสอบเครื่องช่วงอากาศค่า.....	96
รูปที่ 4.8 แผนภูมิการทดสอบเครื่องช่วงอากาศกลางวัน.....	96

สารบัญตาราง

หน้า

ตารางที่ 4.1 ตารางบันทึกที่ 1 ค่าต่างตั้งแต่ 07:30น.– 17:00น. ในช่วงเวลากลางวันโดยใช้พลังงานจากแสงอาทิตย์ที่ผลิตได้เป็นแหล่งพลังงานและบันทึกผลการทดลอง.....	85
ตารางที่ 4.2 ตารางบันทึกที่ 2 ค่าต่างตั้งแต่ 07:30น.– 17:00น. ในช่วงเวลากลางวันโดยใช้พลังงานจากแสงอาทิตย์ที่ผลิตได้เป็นแหล่งพลังงานและบันทึกผลการทดลอง.....	86
ตารางที่ 4.3 ตารางบันทึกที่ 3 ค่าต่างตั้งแต่ 07:30น.– 17:00น. ในช่วงเวลากลางวันโดยใช้พลังงานจากแสงอาทิตย์ที่ผลิตได้เป็นแหล่งพลังงานและบันทึกผลการทดลอง.....	87
ตารางที่ 4.4 ตารางบันทึกที่ 4 ค่าต่างๆในช่วงเวลากลางคืนเป็นการทดสอบสมรรถนะของเครื่องโดยการใช้ไฟฟ้ากระแสตรงจากอุปกรณ์จ่ายไฟ (Power Supply) เพื่อเก็บข้อมูลในช่วงกลางคืนนำไปพัฒนาตัวเครื่อง.....	88
ตารางที่ 4.5 ตารางบันทึกที่ 5 ค่าต่างๆในช่วงเวลากลางคืนเป็นการทดสอบสมรรถนะของเครื่องโดยการใช้ไฟฟ้ากระแสตรงจากอุปกรณ์จ่ายไฟ (Power Supply) เพื่อเก็บข้อมูลในช่วงกลางคืนนำไปพัฒนาตัวเครื่อง	89
ตารางที่ 4.6 ตารางบันทึกที่ 6 ค่าต่างๆในช่วงเวลากลางคืนเป็นการทดสอบสมรรถนะของเครื่องโดยการใช้ไฟฟ้ากระแสตรงจากอุปกรณ์จ่ายไฟ (Power Supply) เพื่อเก็บข้อมูลในช่วงกลางคืนนำไปพัฒนาตัวเครื่อง	90

คำอธิบาย สัญลักษณ์และคำย่อ

สัญลักษณ์	คำอธิบาย	หน่วย
\dot{m}_r	อัตราการไหลเชิงมวลของสารทำความเย็น	กิโลกรัมต่อวินาที
W_{in}	กำลังที่ป้อนให้กับให้คอมเพรสเซอร์	กิโลวัตต์
h_{1r}	เอนทัลปีของสารทำความเย็นสถานะที่ 1	กิโลจูลต่อกิโลกรัม
h_{2r}	เอนทัลปีของสารทำความเย็นสถานะที่ 2	กิโลจูลต่อกิโลกรัม
h_{3r}	เอนทัลปีของสารทำความเย็นสถานะที่ 3	กิโลจูลต่อกิโลกรัม
h_{4r}	เอนทัลปีของสารทำความเย็นสถานะที่ 4	กิโลจูลต่อกิโลกรัม
Q_L	อัตราการถ่ายโอนความร้อน	กิโลวัตต์
\dot{m}_r	อัตราการไหลเชิงมวลของสารทำความเย็น	กิโลกรัมต่อวินาที
\dot{m}_w	อัตราการไหลเชิงมวลของน้ำ	กิโลกรัมต่อวินาที
C_{Pw}	ค่าความร้อนจำเพาะของน้ำ	4.184 กิโลจูลต่อกิโลกรัม ต่อเคลวิน
T_{9w}	อุณหภูมิน้ำสถานะที่ 9	องศาเซลเซียส
T_{5w}	อุณหภูมิน้ำสถานะที่ 5	องศาเซลเซียส
CUM	ปริมาตรของถังเก็บน้ำเย็น	ลูกบาศก์เมตร
RTH	จำนวนตันความเย็นที่สะสม	ตันความเย็น
ΔT	ผลต่างของอุณหภูมิด้านเข้าและออกจากถังเก็บน้ำเย็น	องศาเซลเซียส
η_T	ประสิทธิภาพของถังเก็บความเย็นด้วยน้ำ	

บทที่ 1

บทนำ

1.1 ความเป็นมาและความสำคัญ

การผลิตกระแสไฟฟ้าจากแสงอาทิตย์โดยแผงโซลาร์เซลล์ (Solar Cell) เป็นพลังงานทางเลือกที่สะอาด ไม่มีวันหมด สามารถผลิตได้ทุกที่ที่มีแสงแดด ถูกประดิษฐ์ขึ้นมาครั้งแรกในปี พ.ศ.2497 หรือประมาณ 65 ปีพัฒนาขึ้นตามกาลเวลาโดยปัจจุบันมีการใช้งานอย่างแพร่หลายทั้งในบ้านพักอาศัย โรงงานอุตสาหกรรม โดยมีวัตถุประสงค์ที่เหมือนกันคือต้องการประหยัดค่าใช้จ่ายในการใช้ไฟฟ้าจากสายส่งไฟฟ้าจากภาครัฐ ในปัจจุบันพลังงานไฟฟ้าที่ผลิตจากน้ำมันดีเซลและก๊าซธรรมชาติ (Natural Gas) หรือพลังงานสิ้นเปลืองต่างๆที่มาจากฟอสซิล (Fossil Energy) มีแนวโน้มที่จะหมดไปในอนาคต ในการผลิตกระแสไฟฟ้าต้องนำมาเผาไหม้ก่อนให้เกิดความร้อนและถึงจะเปลี่ยนจากพลังงานความร้อนเป็นพลังงานกลเพื่อขับเคลื่อนเครื่องกำเนิดไฟฟ้า (Generator) โดยการเผาไหม้จะทำให้เกิด ก๊าซคาร์บอนมอนอกไซด์ ฝุ่นละออง ก๊าซซัลเฟอร์ไดออกไซด์ และก๊าซออกไซด์ของไนโตรเจน ซึ่งเป็นพิษต่อบรรยากาศและสิ่งแวดล้อมการดำรงชีวิตของมนุษย์

สำหรับในประเทศไทยยกตัวอย่าง ข้อมูลจาก [6] ปีพ.ศ. 2559 ใช้เชื้อเพลิงน้ำมันดีเซลผลิตไฟฟ้าไปจำนวน 11.95 ล้านลิตร และใช้ก๊าซธรรมชาติ (Natural Gas) ในการผลิตไฟฟ้าไป 370,981.58 ล้าน ลบ.ฟุต ซึ่งเมื่อเปรียบเทียบกับปีพ.ศ. 2565 ใช้เชื้อเพลิงน้ำมันดีเซลในการผลิตไฟฟ้าไป 1,881.95 ล้านลิตรและก๊าซธรรมชาติ (Natural Gas) ในการผลิตไฟฟ้าเป็นไป 516,557.22 ล้าน ลบ.ฟุต พลังงานทางเลือกหรือพลังงานทดแทนที่ใช้ในการผลิตไฟฟ้าจึงเป็นทางเลือกสำหรับอนาคต โดยเฉพาะการผลิตกระแสไฟฟ้าจากแสงอาทิตย์ที่ใช้แผงโซลาร์เซลล์ (Solar Cell) เพราะสามารถนำมาใช้ได้ดีในชุมชนและบ้านพักอาศัย โรงงานอุตสาหกรรมเนื่องจากมีราคาไม่สูงมากเมื่อเทียบกับอัตราการผลิตไฟฟ้าที่ได้ ปัจจุบันโซลาร์เซลล์มีประสิทธิภาพและอายุการใช้งานสูงขึ้น ในขณะที่มีราคาลดลง ข้อมูลจาก [5] ระบุว่า ได้ตั้งเป้าการใช้พลังงานแสงอาทิตย์ในประเทศไทย ไว้ว่าจะมีถึง 6 GW ภายในปี 2579 โดยในปี 2556 กำลังการผลิตไฟฟ้าโซลาร์เซลล์เพิ่มขึ้นเป็นเท่าตัวและมีถึง 704 MW ในสิ้นปี ปลายปี 2558 มีความจุทั้งหมดประมาณ 2.5-2.8 GW ประเทศไทยมีกำลังการผลิตพลังงานจากแสงอาทิตย์มากกว่าทุกประเทศในเอเชียตะวันออกเฉียงใต้รวมกัน

ประเทศไทยมีศักยภาพในด้านพลังงานแสงอาทิตย์ โดยเฉพาะทางใต้และเหนือของภาคตะวันออกเฉียงเหนือของจังหวัดอุดรธานี และบางบริเวณพื้นที่ในภาคกลาง ประมาณ 14.3% ของประเทศมีการรับพลังงานแสงอาทิตย์ได้ประมาณ 19-20 MJ/ตารางเมตร/วัน ในขณะที่ 50% ของ

ประเทศได้รับประมาณ 18-19 MJ/ตารางเมตร/วัน ถ้าเป็นในแง่ของศักยภาพ ประเทศไทยยังล้าหลังกว่าประเทศสหรัฐอเมริกา แต่นำหน้าประเทศญี่ปุ่นอยู่

โดย [5] ได้มีการศึกษาเกี่ยวกับระบบปรับอากาศพลังงานแสงอาทิตย์แล้วสรุปว่า เครื่องปรับอากาศที่นิยมใช้อย่างแพร่หลายในปัจจุบันนี้มีอยู่ 2 ชนิด คือ เครื่องปรับอากาศชนิดอัดไอ (Vapor Compression) และเครื่องปรับอากาศชนิดดูดซึมไอ (Vapor Absorption) โดยที่ระบบปรับอากาศพลังงานแสงอาทิตย์แบบดูดซึมไอนั้นมุ่งเน้นการประยุกต์การใช้พลังงานความร้อนจากแสงอาทิตย์ที่ได้รับจากแผงรับแสงอาทิตย์ที่เป็นแหล่งกำเนิดพลังงานความร้อนด้วยการเปลี่ยนพลังงานแสงอาทิตย์ไปเป็นพลังงานความร้อน ร่วมกับเครื่องทำความเย็นชนิดดูดซึมไอ (Absorption Chiller) ที่เป็นแหล่งรับพลังงานความร้อนมาเปลี่ยนเป็นความเย็นโดยอาศัยหลักการของวัฏจักรเทอร์โมไดนามิกส์ และท้ายที่สุดกระบวนการทำความเย็นของระบบปรับอากาศจะเหมือนกับระบบปรับอากาศชนิดอัดไอ แต่จากข้อมูล [7] จะเห็นว่าประสิทธิภาพของระบบอัดไอมีค่าสูงกว่าระบบดูดซึมไออย่างชัดเจนมาก ซึ่งโดยทั่วไป ค่าสัมประสิทธิ์ของสมรรถนะของระบบอัดไอจะมีค่าประมาณ (COP 3.5) ในขณะที่ระบบดูดซึมไอมีค่าประมาณ (COP 1.2) นอกจากนี้ราคาหรือต้นทุนการสร้างระบบยังแตกต่างกันมากเช่นกัน ซึ่งโดยต้นทุนการติดตั้งระบบอัดไอจะมีค่าประมาณ 18,000 – 20,000 บาทต่อตันความเย็น ในขณะที่ระบบดูดซึมไอมีค่าประมาณ 40,000 บาทต่อตันความเย็น

กล่าวโดยสรุปจะเห็นว่า รูปแบบการประยุกต์ใช้พลังงานแสงอาทิตย์ซึ่งเป็นพลังงานหมุนเวียนที่ประเทศไทยมีศักยภาพสูง มาใช้เป็นแหล่งพลังงานในการขับเคลื่อนระบบปรับอากาศภายในอาคารเพื่อแบ่งเบาภาระการใช้พลังงานไฟฟ้าในภาพรวม ซึ่งในปัจจุบันอาคารสำนักงานในประเทศไทย มีความจำเป็นที่จะต้องใช้ระบบปรับอากาศแทบทั้งสิ้น นอกจากนี้ยังพบอีกด้วยว่า ปริมาณการใช้พลังงานไฟฟ้าในการขับเคลื่อนระบบปรับอากาศมีการทำลายสถิติการใช้ไฟฟ้าเพิ่มขึ้นทุกปีดังนั้น ถ้าหากให้ความสำคัญในการประยุกต์ใช้พลังงานแสงอาทิตย์ด้วยระบบที่มีประสิทธิภาพสูงกว่าและต้นทุนต่ำกว่า ย่อมที่จะเป็นการนำพลังงานหมุนเวียนมาใช้ในการแบ่งเบาภาระการใช้พลังงานฟอสซิลได้ดีกว่า

วิทยานิพนธ์นี้จึงเสนอเกี่ยวกับการนำพลังงานแสงอาทิตย์มาใช้เป็นพลังงานในการทำความเย็นโดยใช้ไฟฟ้ากระแสตรงในการขับเคลื่อนระบบทำความเย็นโดยตรง โดยมีวัตถุประสงค์หลักเพื่อออกแบบและสร้างระบบทำความเย็นที่ใช้ไฟฟ้ากระแสตรงเป็นพลังงานในการขับเคลื่อนเครื่องอัดของระบบทำความเย็นแบบอัดไอ ซึ่งระบบที่ใช้ไฟฟ้ากระแสตรงจะไม่จำเป็นต้องมีเครื่องแปลงกระแสไฟฟ้าจากกระแสตรงให้เป็นกระแสสลับ จึงเป็นการเพิ่มประสิทธิภาพและลดต้นทุนของระบบ และเพื่อศึกษาสมรรถนะของระบบระบบทำความเย็นที่ใช้ไฟฟ้ากระแสตรงที่เสนอนี้

1.2 วัตถุประสงค์

1.2.1 เพื่อออกแบบและสร้างระบบทำความเย็นที่ใช้ไฟฟ้ากระแสตรงเป็นพลังงานในการขับเคลื่อนเครื่องอัดของระบบทำความเย็นแบบอัดไอ

1.2.2 เพื่อศึกษาสมรรถนะของระบบระบบทำความเย็นที่ใช้ไฟฟ้ากระแสตรงเป็นพลังงานในการขับเคลื่อนเครื่องอัดของระบบทำความเย็นแบบอัดไอ

1.3 ขอบเขตงานวิจัย

1.3.1 ใช้มอเตอร์กระแสตรงขับเคลื่อนคอมเพรสเซอร์ขนาดไม่เกิน 1,000 W (Watt)

1.3.2 สร้างระบบผลิตน้ำเย็นโดยใช้แผงโซลาร์เซลล์เป็นแหล่งจ่ายไฟฟ้า

1.3.3 วัดประสิทธิภาพการทำความเย็นของระบบผลิตน้ำเย็นโดยใช้แหล่งพลังงานไฟฟ้าจากแผงโซลาร์เซลล์และเก็บข้อมูลทางเทคนิคต่างๆที่สามารถทำได้

1.3.4 ใช้สารทำความเย็นชนิด R134A เพราะส่งผลกระทบต่อบรรยากาศน้อยและยังมีคุณสมบัติไม่มีสี ไม่มีกลิ่น ไม่ติดไฟ

1.4 ประโยชน์ที่คาดว่าจะได้รับ

1.4.1 ได้ศึกษาระบบทำน้ำเย็นโดยใช้พลังงานจากแสงอาทิตย์เป็นแหล่งพลังงาน

1.4.2 ทำให้ได้รับความรู้ และสามารถนำไปประยุกต์ใช้ในแก้ไขปัญหาหรือพัฒนางานด้านการผลิตไฟฟ้าจากแสงอาทิตย์และระบบทำความเย็นแบบอัดไอ

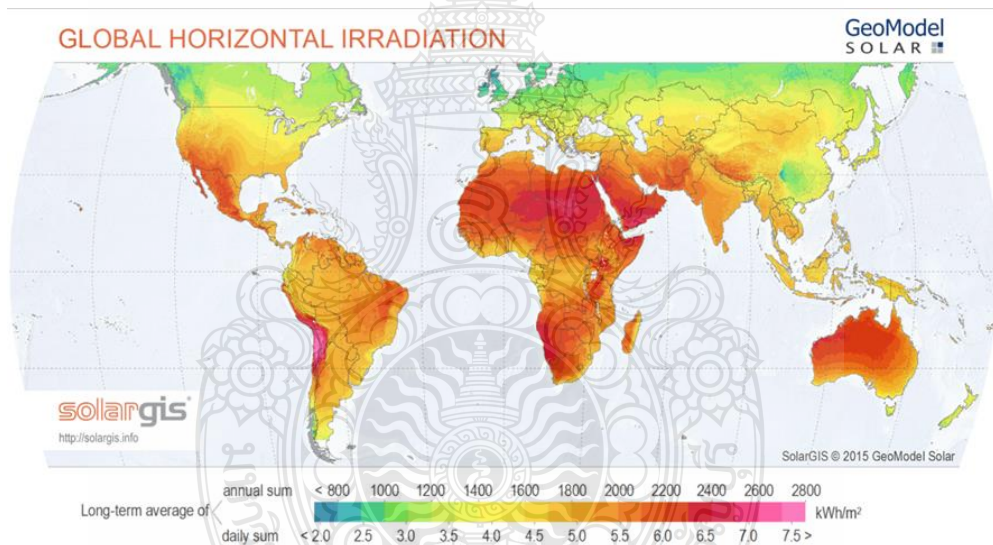
บทที่ 2

ทฤษฎีและงานวิจัยที่เกี่ยวข้อง

2.1 รังสีดวงอาทิตย์ [1][2]

2.1.1 ความเข้มของรังสีดวงอาทิตย์ต่อพื้นที่ (Solar Irradiation)

การผลิตไฟฟ้าด้วยแสงจากดวงอาทิตย์จำเป็นต้องติดตั้งแผงโซลาร์เซลล์ พื้นที่ในการติดตั้งและความเข้มของรังสีดวงอาทิตย์มีความสัมพันธ์โดยตรงต่อปริมาณไฟฟ้าสามารถผลิตได้มากหรือน้อย โดยแสงจากดวงอาทิตย์เกิดจากปฏิกิริยาเทอร์โมนิวเคลียร์ (Thermonuclear reaction) หรือปฏิกิริยา หลอมตัวทางนิวเคลียร์ในดวงอาทิตย์กลายเป็นแหล่งพลังงานที่แผ่รังสีมายังโลกของเรา



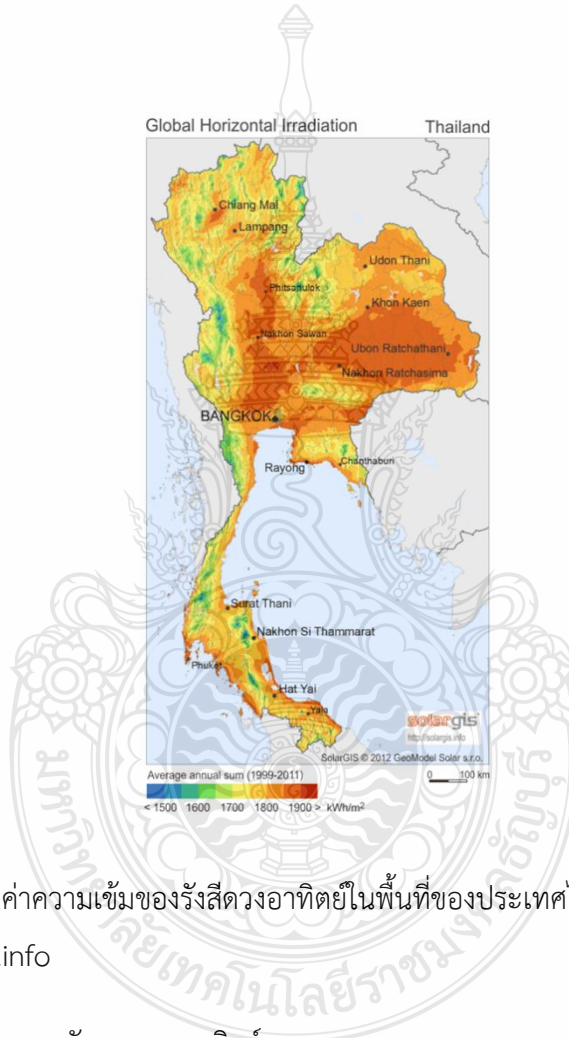
รูปที่ 2.1 ภาพแสดงถึงค่าความเข้มของรังสีดวงอาทิตย์ในพื้นที่ของประเทศต่าง ๆ ทั่วโลก

ที่มา:<https://solargis.info>

จากรูปที่ 2.1 จะพอมองเห็นว่าประเทศที่อยู่ในเขตร้อนศูนย์สูตร ที่มีอากาศที่ร้อนแดดจัด บางประเทศก็ได้มีความเข้มของรังสีดวงอาทิตย์มากที่สุด เช่น กลุ่มประเทศอาเซียน แต่ถ้าเป็นประเทศในทวีปแอฟริกาบางประเทศมีความเข้มของรังสีดวงอาทิตย์สูงมากและบางประเทศมีความเข้มของรังสี

ดวงอาทิตย์ใกล้เคียงกับบ้านเรา แต่ที่น่าสนใจคือประเทศในฝั่งตะวันตกของทวีปอเมริกาใต้ซึ่งเป็นพื้นที่
รอยต่อของประเทศ ชิลี โบลิเวีย และ อาร์เจนติน่า นั้นมีความเข้มของรังสีดวงอาทิตย์สูงที่สุดในโลก

ศักยภาพพลังงานแสงอาทิตย์ในประเทศไทย พบว่าพื้นที่ส่วนใหญ่ได้รับรังสีจากดวง
อาทิตย์สูงสุดระหว่างเดือน เมษายน และบริเวณที่ได้รับรังสีดวงอาทิตย์สูงสุดเฉลี่ยทั้งปีอยู่ที่ภาค
ตะวันออกเฉียงเหนือ โดยครอบคลุมบางส่วนของจังหวัดนครราชสีมา บุรีรัมย์ สุรินทร์ ศรีสะเกษ
ร้อยเอ็ด ยโสธร อุบลราชธานี และอุดรธานี และบางส่วนของภาคกลางที่จังหวัดสุพรรณบุรี ชัยนาท
อยุธยา และลพบุรี



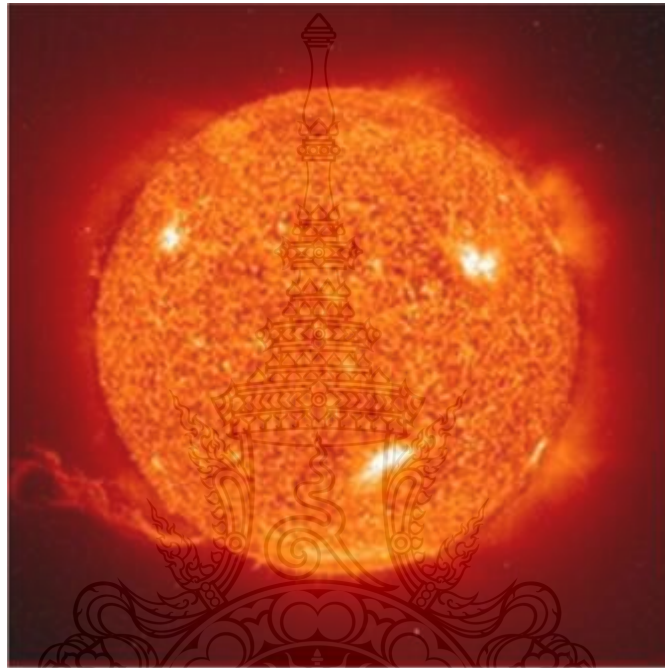
รูปที่ 2.2 ภาพแสดงถึงค่าความเข้มของรังสีดวงอาทิตย์ในพื้นที่ของประเทศไทย

ที่มา: <https://solargis.info>

2.1.2 ทรัพยากรพลังงานแสงอาทิตย์

ดวงอาทิตย์เป็นแหล่งพลังงานเราเรียกพลังงานจากดวงอาทิตย์ว่า “พลังงานทดแทน”
เพราะพลังงานจากดวงอาทิตย์นั้นมีปริมาณมากจนเกือบจะไม่มีวันหมด ดวงอาทิตย์ทำให้มีแสงสว่างโลก
มานานกว่า 4,000 ล้านปี แม้ว่าดวงอาทิตย์จะอยู่ไกลมากแต่ก็มีพลังอย่างไม่น่าเชื่อและเป็นพื้นฐานของ
ชีวิตหรือพลังงานทุกรูปแบบบนโลก

พลังงานแสงอาทิตย์หมายถึงรังสีจากดวงอาทิตย์ที่มาถึงโลกพลังงานนี้สามารถแปลงเป็นความร้อนและไฟฟ้าโดยใช้เทคโนโลยีที่แตกต่างกันซึ่งพลังงานแสงอาทิตย์คือพลังงานจากดวงอาทิตย์ ดังแสดงในรูปที่ 2.3 พลังงานแสงอาทิตย์ (Solar Energy) เป็นภาษาละตินและแปลว่า “เกี่ยวข้องกับดวงอาทิตย์” หากปราศจากแหล่งพลังงานอันทรงพลังนี้ก็จะไม่มีสิ่งมีชีวิตพลังงานแสงอาทิตย์ถือว่าเป็นพลังงานหมุนเวียนเนื่องจากมีปริมาณมาก



รูปที่ 2.3 แสดงพลังงานจากดวงอาทิตย์

2.1.3 ข้อดีของพลังงานแสงอาทิตย์

2.1.3.1 พลังงานแสงอาทิตย์นั้นไร้ขีดจำกัดและจะไม่หมดไป

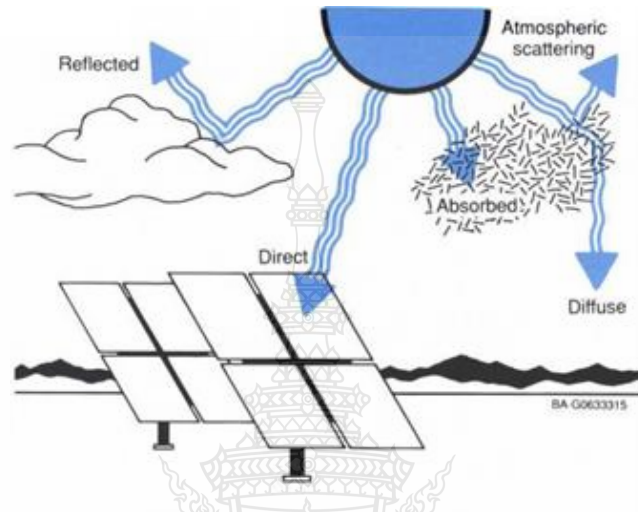
2.1.3.2 เทคโนโลยีที่ใช้แปลงแสงอาทิตย์เป็นไฟฟ้าไม่ได้ก่อให้เกิดควัน

(คาร์บอนไดออกไซด์และมลพิษในอากาศ)

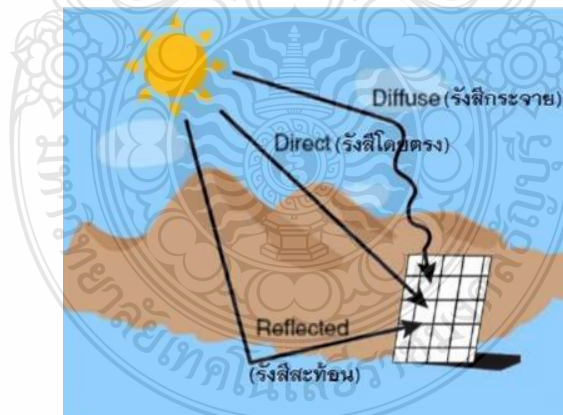
2.1.3.3 การใช้งานพลังงานจากแสงอาทิตย์ไม่เป็นอันตรายต่อสิ่งแวดล้อม

ทุกวินาทีดวงอาทิตย์จะปลดปล่อยพลังงานความร้อนจำนวนมหาศาลออกสู่ระบบสุริยะ โลกได้ พลังงานนี้เพียงเล็กน้อยมีค่าเฉลี่ย $1,367 \text{ W/m}^2$ ที่ขอบด้านนอกของชั้นบรรยากาศโลก ชั้นบรรยากาศดูดซับและสะท้อนการแผ่รังสีนี้ รังสีนี้ส่วนใหญ่เป็นรังสีเอกซ์และรังสีอัลตราไวโอเล็ต ของ พลังงานแสงอาทิตย์ที่กระทบพื้นผิวโลกทุกนาทินั้นมากกว่าปริมาณพลังงานทั้งหมดที่ประชากรบริโภคใน

หนึ่งปีชั้นบรรยากาศของโลกและก้อนเมฆปกคลุมดูดซับ สะท้อน และกระจาย รังสีดวงอาทิตย์ บางส่วน เข้าสู่ชั้นบรรยากาศ อย่างไรก็ตามมีพลังงานแสงอาทิตย์ที่ส่องผ่านโดยตรงและแพร่กระจายจำนวน มหาศาลไปถึงพื้นผิวของโลกและสามารถใช้ในการผลิตไฟฟ้าได้ดังแสดงในรูปที่ 2.4 และรูปที่ 2.5



รูปที่ 2.4 รังสีดวงอาทิตย์บางส่วนที่ผ่านเข้าสู่ชั้นบรรยากาศ

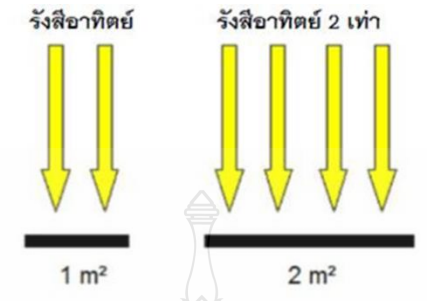


รูปที่ 2.5 รังสีแสงอาทิตย์

2.1.4 การแผ่รังสีของแสงอาทิตย์

การแผ่รังสีของแสงอาทิตย์จะทำให้เกิดพลังงานขึ้นและหน่วยสำหรับการวัดกำลังคือวัตต์ (Watt) อย่างไรก็ตามปริมาณพลังงานขึ้นอยู่กับความเข้มของรังสีจากดวงอาทิตย์และขนาดของพื้นที่ผิว

ที่รับแสง พื้นผิวที่ใหญ่ขึ้นจะได้รับพลังงานมากขึ้นแสดงในรูปที่ 2.6 ดังนั้นการฉายรังสีจึงมีหน่วยวัดเป็นวัตต์ต่อตารางเมตร (W/m^2)



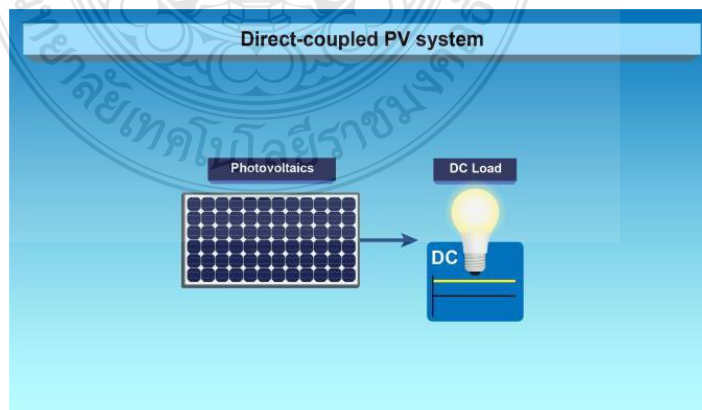
รูปที่ 2.6 รังสีแสงอาทิตย์

2.2 การผลิตไฟฟ้าด้วยเซลล์แสงอาทิตย์ [1][2][3]

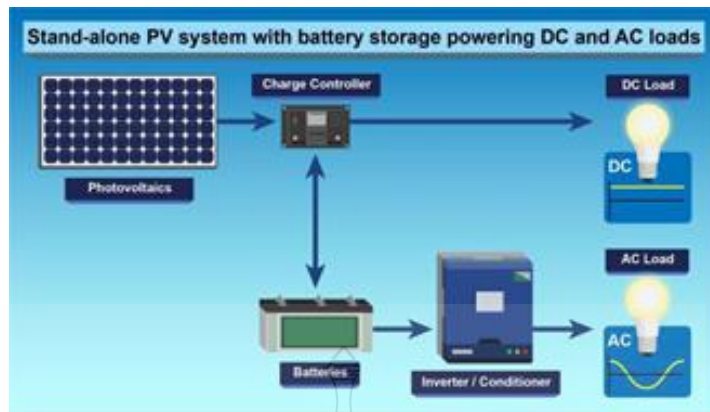
2.2.1 การผลิตไฟฟ้าด้วยเซลล์แสงอาทิตย์แบ่งออกเป็น 3 ระบบ

2.2.1.1 ระบบผลิตกระแสไฟฟ้าเซลล์แสงอาทิตย์แบบอิสระ PV Stand (Alone System) เป็นระบบผลิตไฟฟ้าที่ได้รับการออกแบบสำหรับใช้งานในพื้นที่ชนบทที่ไม่มีระบบสายส่งไฟฟ้า โดยจะต่อใช้งานกับอุปกรณ์ทางไฟฟ้าโดยตรงเช่น หลอดไฟ ปั้มน้ำ ที่เป็นโหลดไฟฟ้ากระแสตรงดังแสดงในรูปที่ 2.7

ในรูปที่ 2.8 แสดงการต่อโดยใช้แบตเตอรี่เป็นตัวเก็บประจุไฟฟ้าไว้ใช้เวลาที่ไม่มีแสงแดดหรือเวลากลางคืนโดยมีอุปกรณ์ควบคุมการประจุไฟฟ้าเข้าแบตเตอรี่หรือเรียกว่า โซล่าชาร์จคอนโทรลเลอร์ (Solar Charge Controller) และถัดมาเป็นอุปกรณ์แปลงพลังงานไฟฟ้ากระแสตรงเป็นไฟฟ้ากระแสสลับหรือเรียกว่า อินเวอร์เตอร์ (Inverter) ก่อนนำไฟจ่ายให้กับอุปกรณ์ไฟฟ้ากระแสสลับและเครื่องใช้ไฟฟ้าตามบ้านพักอาศัยต่างๆ เช่น พัดลม หลอดไฟ เป็นต้น

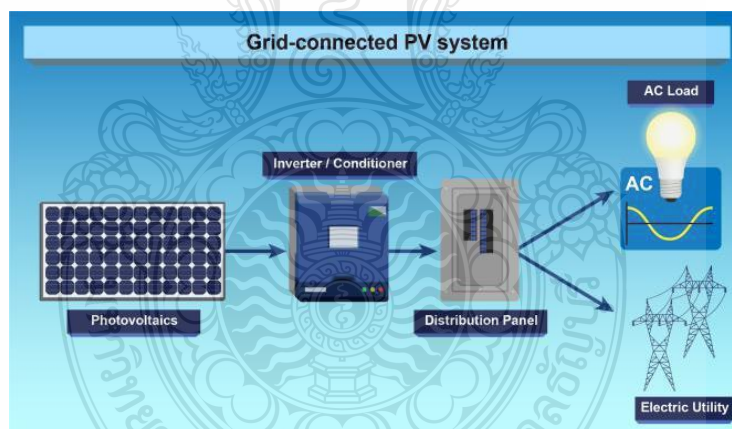


รูปที่ 2.7 ระบบผลิตกระแสไฟฟ้าเซลล์แสงอาทิตย์แบบจ่ายโหลดโดยตรง



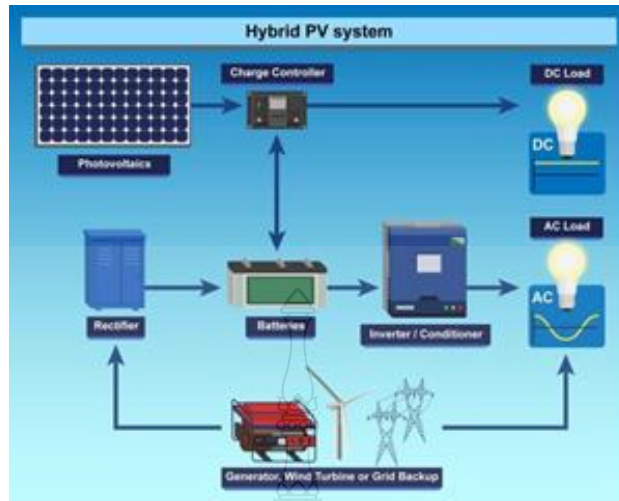
รูปที่ 2.8 ระบบผลิตกระแสไฟฟ้าเซลล์แสงอาทิตย์แบบอิสระทำงานร่วมกับแบตเตอรี่

2.2.1.2 ระบบผลิตกระแสไฟฟ้าเซลล์แสงอาทิตย์แบบต่อกับระบบจำหน่ายไฟฟ้า PV grid (Connected System) ระบบผลิตไฟฟ้าที่ถูกออกแบบมาให้สามารถจ่ายกระแสไฟฟ้าเข้าสายส่งของการไฟฟ้าสำหรับผลิตไฟฟ้างดแสดงในรูปที่ 2.9



รูปที่ 2.9 ระบบผลิตกระแสไฟฟ้าเซลล์แสงอาทิตย์แบบต่อกับระบบจำหน่ายไฟฟ้า

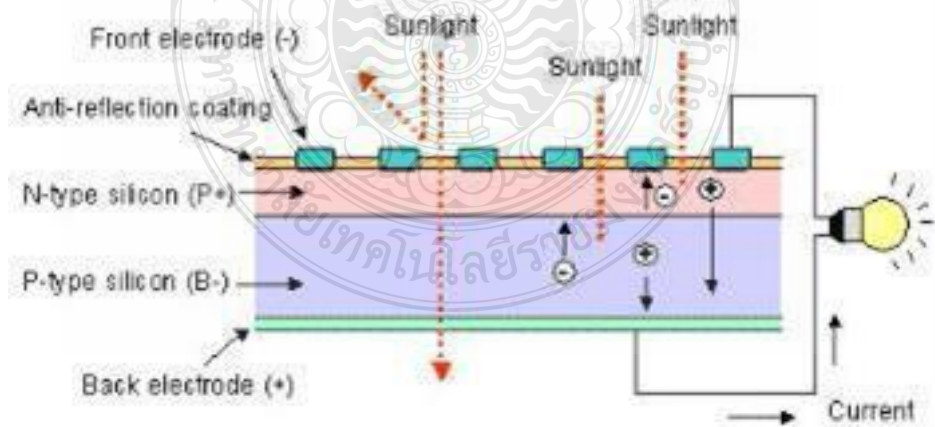
2.2.1.3 ระบบผลิตกระแสไฟฟ้าเซลล์แสงอาทิตย์แบบผสมผสาน (PV Hybrid System) ระบบผลิตไฟฟ้าที่ถูกออกแบบสำหรับผลิตไฟฟ้างร่วมกับอุปกรณ์ผลิตไฟฟ้าชนิดอื่นๆ โดยสามารถใช้งานร่วมกับเครื่องกำเนิดไฟฟ้า กังหันลมผลิตไฟฟ้า และแบตเตอรี่และในขณะเดียวกันก็สามารถต่อกับระบบจำหน่ายไฟฟ้าของการไฟฟ้าได้ด้วยดังแสดงในรูปที่ 2.10



รูปที่ 2.10 ระบบผลิตกระแสไฟฟ้าเซลล์แสงอาทิตย์แบบผสมผสาน

2.2.2 หลักการพื้นฐานของไฟฟ้าเซลล์แสงอาทิตย์

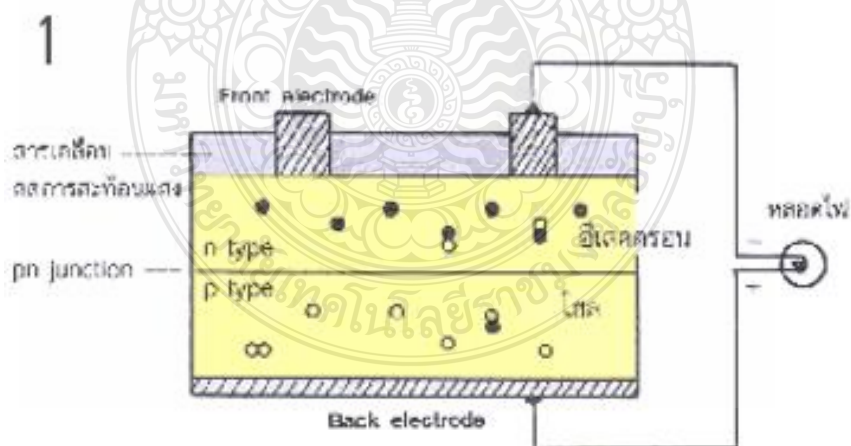
การทำงานของเซลล์แสงอาทิตย์เป็นขบวนการเปลี่ยนพลังงานแสงเป็นกระแสไฟฟ้าโดยตรง โดยเมื่อ แสงซึ่งเป็นคลื่นแม่เหล็กไฟฟ้าและมีพลังงาน กระแทกกับสารกึ่งตัวนำจะเกิดการถ่ายทอดพลังงานจากแสงจะทำให้เกิดการเคลื่อนที่ของกระแสไฟฟ้า (อิเล็กตรอน) ขึ้นในสารกึ่งตัวนำจึงสามารถนำกระแสไฟฟ้าดังกล่าวไปใช้งาน



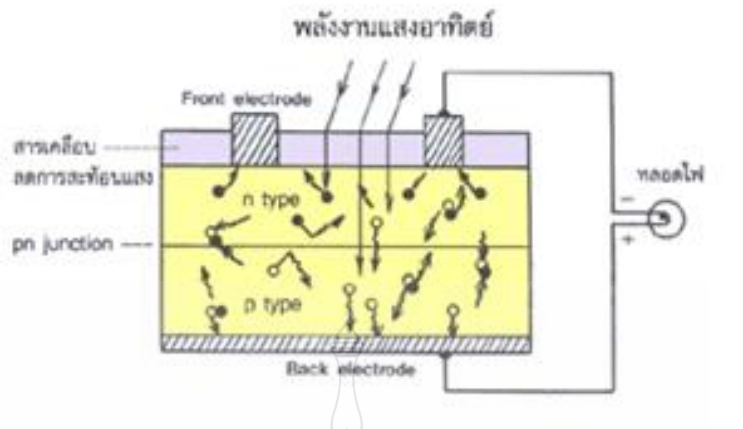
รูปที่ 2.11 ส่วนประกอบของเซลล์แสงอาทิตย์

จากรูปที่ 2.11 N-type ซิลิคอนคือสารกึ่งตัวนำที่ได้การโดปด้วยสารฟอสฟอรัสทำให้มีคุณสมบัติตัวให้อิเล็กตรอนเมื่อรับพลังงานจากแสงอาทิตย์ติดอยู่ด้านหน้าของเซลล์แสงอาทิตย์และชั้นถัดมาคือ P-type ซิลิคอนคือสารกึ่งตัวนำที่ได้การโดปด้วยสารโบรอนทำให้โครงสร้างของอะตอมสูญเสียอิเล็กตรอน (โฮล) พลังงานจากแสงอาทิตย์จะทำหน้าที่เป็นตัวรับอิเล็กตรอน เมื่อนำสารทั้ง 2 ชนิดมาประกบกันด้วย P-N Junction จึงทำให้เกิดเป็น "เซลล์แสงอาทิตย์"

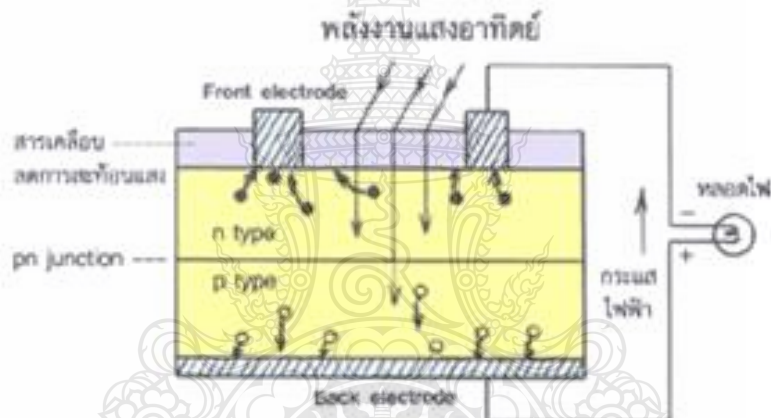
ในสถานะที่ยังไม่มีแสงแดด N-type ซิลิคอนซึ่งอยู่ด้านหน้าของเซลล์ส่วนประกอบส่วนใหญ่พร้อมจะให้อิเล็กตรอน แต่ก็ยังมีโฮลปะปนอยู่บ้างเล็กน้อยและบริเวณด้านหน้าของ N-type จะมีแถบโลหะเรียกว่า Front Electrode ทำหน้าที่เป็นตัวรับอิเล็กตรอน P-type ซิลิคอนซึ่งอยู่ด้านล่างของเซลล์โครงสร้าง ส่วนใหญ่ เป็นโฮลแต่ยังคงมีอิเล็กตรอนปะปนบ้างเล็กน้อยด้านล่างของ P-type ซิลิคอนจะมีแถบโลหะเรียกว่า Back Electrode ทำหน้าที่รวบรวมโฮลแสดงดังในรูปที่ 2.12 เมื่อมีแสงอาทิตย์ตกกระทบแผง แสงอาทิตย์จะถ่ายเทพลังงานให้กับอิเล็กตรอนและโฮลทำให้เกิดการเคลื่อนไหว เมื่อพลังงานสูงพอทั้งอิเล็กตรอนและโฮลจะวิ่งเข้าหา เพื่อจับคู่กันอิเล็กตรอนจะวิ่งไปยังชั้น N-type และโฮลจะวิ่งไปยังชั้น P-type ดังแสดงในรูปที่ 2.13 อิเล็กตรอน วิ่งไปรวมกันที่ Front Electrode และโฮลวิ่งไปรวมกันที่ Back Electrode เมื่อมีการต่อวงจรไฟฟ้าจาก Front Electrode และ Back Electrode ให้ครบวงจรก็จะเกิดกระแสไฟฟ้าขึ้น เนื่องจากทั้งอิเล็กตรอนและ Electrode และ Back Electrode ให้ครบวงจรก็จะเกิดกระแสไฟฟ้าขึ้น เนื่องจากทั้งอิเล็กตรอนและโฮลจะวิ่ง เพื่อจับคู่กันดังแสดงในรูปที่ 2.14



รูปที่ 2.12 เซลล์แสงอาทิตย์ก่อนได้รับแสง



รูปที่ 2.13 เซลล์แสงอาทิตย์เมื่อเริ่มได้รับแสง



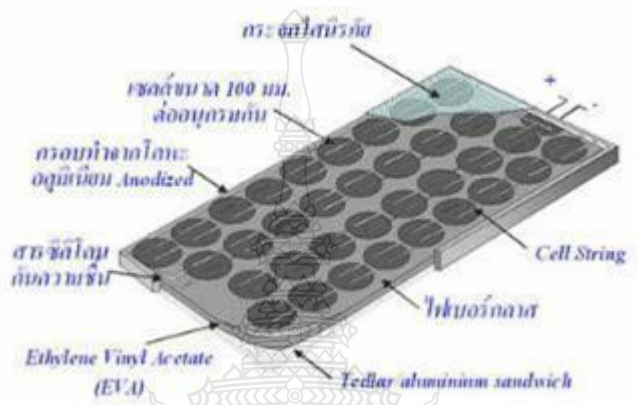
รูปที่ 2.14 เซลล์แสงอาทิตย์เมื่อได้รับแสงและเกิดการไหลของกระแสไฟฟ้า

2.2.3 เซลล์แสงอาทิตย์กับแผงเซลล์แสงอาทิตย์

แรงเคลื่อนไฟฟ้าที่ผลิตขึ้นจากเซลล์แสงอาทิตย์เพียงเซลล์เดียวจะมีค่าต่ำมาก การนำมาใช้งานจะต้องนำเซลล์หลายๆ เซลล์มาต่อกันแบบอนุกรมเพื่อเพิ่มค่าแรงเคลื่อนไฟฟ้าให้สูงขึ้น เซลล์ที่นำมาต่อกันขนาดที่เหมาะสมเรียกว่า แผงเซลล์แสงอาทิตย์ Solarmodule หรือ (Solar panel) การทำเซลล์แสงอาทิตย์ให้เป็น แผงก็เพื่อความสะดวกในการนำไปใช้งาน ด้านหน้าของแผงเซลล์ประกอบด้วย แผ่นกระจกที่มีส่วนผสมของเหล็กต่ำซึ่งมีคุณสมบัติในการยอมให้แสงผ่านได้ดีและยังเป็นเกราะป้องกันแผ่นเซลล์อีกด้วยแผงเซลล์จะต้องมีการ ป้องกันความชื้นที่ดีมากเพราะจะต้องอยู่กลางแจ้งกลางฝนเป็นเวลายาวนาน ในการประกอบจะต้องใช้วัสดุที่มีความคงทนและป้องกันความชื้นที่ดี เช่น

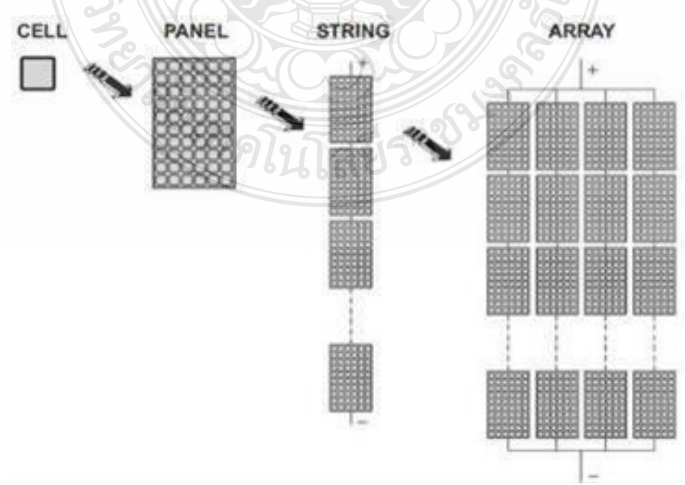
ซิลิโคน Ethelele และอีวีเอ (Vinyl Acetate) เป็นต้น เพื่อเป็นการป้องกันแผ่น กระจกด้านบนของแผง เซลล์จึงต้องมีการทำกรอบด้วยวัสดุที่มีความแข็งแรง

แต่บางครั้งก็ไม่มี ความจำเป็น ถ้ามีการเสริมความแข็งแรงของแผ่นกระจกให้เพียงพอ ซึ่งก็สามารถทดแทนการทำกรอบได้เช่นกัน ดังนั้นแผงเซลล์จึงมีลักษณะเป็นแผ่นเรียบซึ่งสะดวกในการ ติดตั้งแสดงในรูปที่ 2.15



รูปที่ 2.15 ส่วนประกอบของเซลล์แสงอาทิตย์

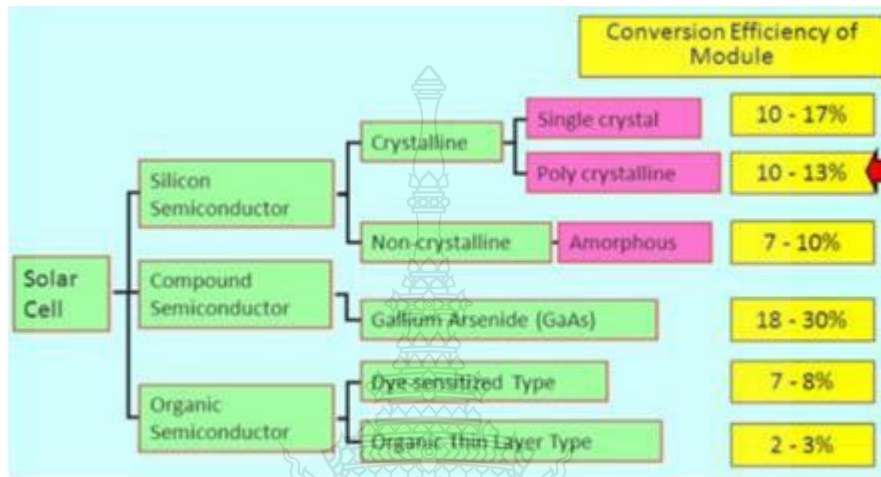
Crystalline Silicon (C-Si) โขล่ำเซลล์ถูกเรียกว่า (Cell) ถัดมาคือการนำเซลล์หลาย ๆ เซลล์มาต่ออนุกรมกันจะเรียกว่าพาเนล (Panel) ถัดมาคือการนำพาเนลหลายๆพาเนล มาต่ออนุกรมกัน เรียกว่าสตริง (String) และถัดมาคือการนำสตริงหลายๆสตริงมาต่อขนานกันเรียกว่าอาร์เรย์ (Array) ดัง แสดงในรูปที่ 2.16



รูปที่ 2.16 Crystalline Silicon

2.2.4 ชนิดของเซลล์แสงอาทิตย์

เซลล์แสงอาทิตย์ที่นิยมใช้กันอยู่ในปัจจุบันจะแบ่งออกเป็น 2 กลุ่มใหญ่ๆ คือ แบบใช้สารกึ่งตัวนำซิลิกอน (Silicon Semiconductor) และชนิดหนึ่งที่ใช้สารกึ่งตัวนำแบบผสม (Compound Semiconductor) ดังแสดงในรูปที่ 2.17



รูปที่ 2.17 ประเภทและประสิทธิภาพของเซลล์แสงอาทิตย์ที่ทำจากสารกึ่งตัวนำ

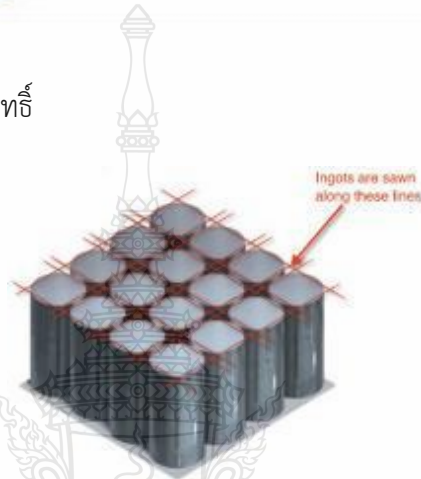
เซลล์แสงอาทิตย์ที่ใช้สารกึ่งตัวนำซิลิกอนจะถูกแบ่งออกเป็นสารกึ่งตัวนำ (Crystal) และไม่เป็นผลึก (Amorphous) สารกึ่งตัวนำชนิดผลึกซิลิกอนจะใช้กันอย่างแพร่หลายสำหรับอัตราการแปลงสูงและน่าเชื่อถือติดตาม เซมิคอนดักเตอร์ไม่เป็นผลึกทำงานได้ดีแม้ภายใต้หลอดฟลูออเรสเซนต์ดังนั้นจึงใช้เป็นแหล่งพลังงานสำหรับเครื่องคิดเลขและนาฬิกาข้อมือ ในระบบผลิตไฟฟ้าด้วยพลังงานแสงอาทิตย์ องค์ประกอบของระบบคือ “แผงเซลล์แสงอาทิตย์” ซึ่งทำหน้าที่เปลี่ยนพลังงานแสงอาทิตย์ เป็นพลังงานไฟฟ้าโดยปรากฏการณ์ที่เรียกว่า ปรากฏการณ์ โฟโตวอลเทจิก โดยในท้องตลาดมีเทคโนโลยีของเซลล์แสงอาทิตย์อยู่ 3 ชนิดหลัก ๆ คือ โมโนคริสตัลไลน์ (Monocrystalline) , โพลีคริสตัลไลน์ (Polycrystalline) และ ฟิล์มบาง (Thin Film)

2.2.4.1 แผงเซลล์แสงอาทิตย์แบบโมโนคริสตัลไลน์ หลายคนคิดว่าเป็นแผงเซลล์แสงอาทิตย์แบบโมโนคริสตัลไลน์ เป็นเทคโนโลยีพลังงานแสงอาทิตย์และทางเลือกที่ดีที่สุด โมโนคริสตัลไลน์เป็นหนึ่งในเทคโนโลยีที่เก่าแก่ที่สุดและมีราคาแพงกว่าแผงเซลล์แสงอาทิตย์ประเภทนี้แต่ มีประสิทธิภาพสูงสุด โดยทั่วไปแล้วแผงชนิดนี้มีประสิทธิภาพอยู่ที่ร้อยละ 15-20 โมโนคริสตัลไลน์ ทำจากผลึกเดี่ยวของซิลิกอนบริสุทธิ์พิเศษขนาดประมาณขนาดนิ้วดังแสดงในรูปที่ 2.18 และหันเป็นแผ่นบางดัง

แสดงในรูปที่ 2.19 เวเฟอร์วงกลมเหล่านี้ถูกตัด 18 ด้านข้างออกเป็นสี่เหลี่ยมจัตุรัสแล้วจะถูกเปลี่ยนเป็น "เซลล์แสงอาทิตย์" แบบโมโนคริสตัลไลน์ ดังแสดงในรูปที่ 2.20



รูปที่ 2.18 ผลึกเดี่ยวของซิลิกอนบริสุทธิ์



รูปที่ 2.19 แนวเลื่อยแบ่งผลึก



รูปที่ 2.20 เซลล์แสงอาทิตย์แบบโมโนคริสตัลไลน์

เส้นสีเงินเป็นลวดตัวนำซึ่งทำหน้าที่รวบรวมกระแสไฟฟ้าที่ถูกสร้างขึ้นเมื่อแสงกระทบกับเซลล์ย่อย แผงเซลล์แสงอาทิตย์ประกอบด้วยเมทริกซ์ของเซลล์แสงอาทิตย์แบบโมโนคริสตัลไลน์วางต่อกันใน แนวราบในลักษณะเหมือนกระเบื้องปูพื้นห้องน้ำโดยทั่วไปแล้วเซลล์แสงอาทิตย์แบบโมโนคริสตัลไลน์มี ประสิทธิภาพสูง แต่จะเสียพื้นที่บางส่วนระหว่างเซลล์เมื่อถูกนำมาประกอบเป็นแผงเซลล์แสงอาทิตย์รูปเพชรสีขาวเล็กๆ ดังแสดงในรูปที่ 2.21



รูปที่ 2.21 แผงเซลล์แสงอาทิตย์แบบโมโนคริสตัลไลน์

ผู้ผลิตบางรายจะใช้เทคนิคพิเศษ เพื่อสร้างเซลล์แสงอาทิตย์แบบโมโนคริสตัลไลน์ประสิทธิภาพพิเศษ เช่น "สร้างสนามที่พื้นผิวด้านหลังหรือใช้เลเซอร์เจาะร่อง" และเทคโนโลยีไฮบริด แผงโมโนคริสตัลไลน์ประสิทธิภาพสูงพิเศษเหล่านี้จะมีประสิทธิภาพมากกว่าร้อยละ 20 แต่ราคาจะสูงขึ้น ประมาณร้อยละ 30 เมื่อเทียบกับแผงเซลล์แสงอาทิตย์แบบโมโนคริสตัลไลน์ทั่วไป

ข้อดีของแผงเซลล์แสงอาทิตย์แบบโมโนคริสตัลไลน์

- แผงเซลล์แสงอาทิตย์แบบโมโนคริสตัลไลน์ มีประสิทธิภาพสูงสุด ประมาณร้อยละ 15-20 เนื่องจากทำจากซิลิคอนประสิทธิภาพสูง
- แผงเซลล์แสงอาทิตย์แบบโมโนคริสตัลไลน์ประหยัดพื้นที่เนื่องจากแผงชนิดนี้ผลิตพลังงานสูงสุดจึงใช้พื้นที่จำนวนน้อยที่สุดเมื่อเทียบกับชนิดอื่นๆ แผงเซลล์แสงอาทิตย์แบบโมโนคริสตัลไลน์ผลิตพลังงานไฟฟ้าได้มากถึง 4 เท่าของปริมาณการผลิตไฟฟ้าเป็นแผงเซลล์แสงอาทิตย์แบบฟิล์มบาง พื้นที่เท่ากัน
- แผงเซลล์แสงอาทิตย์แบบโมโนคริสตัลไลน์มีอายุการใช้งานนานที่สุดผู้ผลิตแผงเซลล์แสงอาทิตย์ส่วนใหญ่รับประกัน 25 ปีสำหรับแผงเซลล์แสงอาทิตย์แบบโมโนคริสตัลไลน์
- แผงเซลล์แสงอาทิตย์แบบโมโนคริสตัลไลน์มีแนวโน้มที่จะทำงานได้ดีกว่าแผงเซลล์แสงอาทิตย์แบบโพลีคริสตัลไลน์ที่มีพิกัดเดียวกันในสภาพแสงน้อย

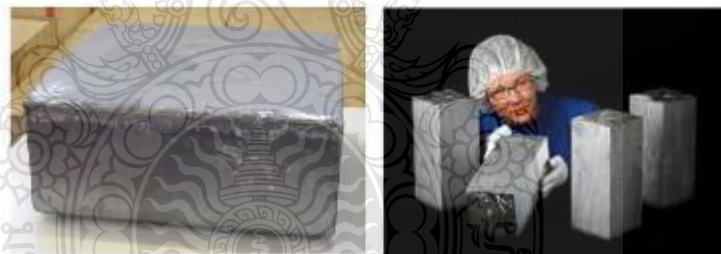
ข้อเสียของแผงเซลล์แสงอาทิตย์แบบโมโนคริสตัลไลน์

- แผงเซลล์แสงอาทิตย์แบบโมโนคริสตัลไลน์นั้นมีราคาแพงที่สุดจากมุมมองการใช้งาน แผงเซลล์แสงอาทิตย์แบบโพลีคริสตัลไลน์ และในบางกรณีฟิล์มบางอาจเป็นทางเลือกที่ดีกว่าสำหรับเจ้าของบ้านบางคน
- หากแผงเซลล์แสงอาทิตย์ถูกปกคลุมด้วยร่มเงา ฝุ่น หรือหิมะ บางส่วน วงจรทั้งหมดอาจเสีย ได้ ถ้าไม่มีการป้องกันที่ดี

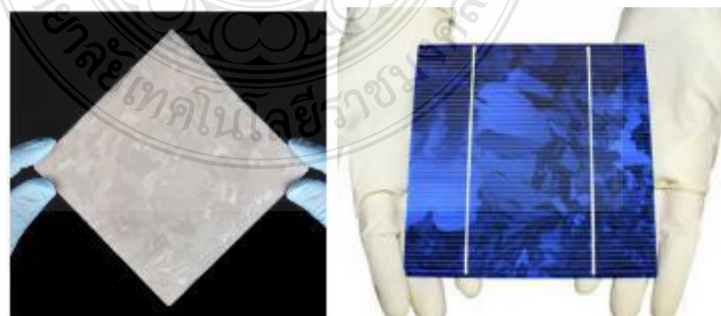
- กระบวนการดึงผลึกซิลิกอน (Zochralski) ในการผลิตโมโนคริสตัลไลน์ ซิลิกอนส่งผลให้ได้ แท่งทรงกระบอกขนาดใหญ่ ด้านข้างที่ถูกต้องออกจากแท่งเพื่อสร้างแผ่นเวเฟอร์ ซิลิกอน ซิลิกอนที่เหลือจากการตัดจำนวนมากจะกลายเป็นขยะ

- แผงเซลล์แสงอาทิตย์แบบโมโนคริสตัลไลน์มีแนวโน้มที่จะมีประสิทธิภาพมากขึ้นในสภาพ อากาศเย็น ประสิทธิภาพลดลงเมื่ออุณหภูมิสูงขึ้น

2.2.4.2 แผงเซลล์แสงอาทิตย์แบบโพลีคริสตัลไลน์ เรียกอีกอย่างว่า (Multicrystalline) แผงเซลล์แสงอาทิตย์แบบโพลีคริสตัลไลน์ทำจากซิลิกอนเช่นกัน แต่ถูกหล่อเป็นบล็อกแทนที่จะเป็นรูปผลึกเดี่ยวดังแสดงในรูปที่ 2.22 ด้านซ้าย ความจริงที่ว่าผลึกถูกจัดเรียงแบบสุ่มหมายความว่ามองเห็นเป็นผลึกย่อยๆเมื่อก่อนโพลีคริสตัลไลน์ถูกหล่อ มันจะถูกเลื่อยเป็นบล็อกสี่เหลี่ยม จากนั้นหันเป็นเวเฟอร์สี่เหลี่ยมจัตุรัสที่ถูกเปลี่ยนให้ดัง แสดงในรูปที่ 2.22 ด้านขวาเซลล์แสงอาทิตย์แบบโพลีคริสตัลไลน์คล้ายกับแบบโมโนคริสตัลไลน์ในด้านประสิทธิภาพ และการเสื่อมสภาพ ยกเว้นเซลล์โพลีคริสตัลไลน์โดยทั่วไปจะมีประสิทธิภาพต่ำกว่าเล็กน้อย แต่อย่างไร จะเห็นว่าไม่มีการเสียพื้นที่ระหว่างมุมของเซลล์สี่เหลี่ยมดังแสดงในรูปที่ 2.23 ผลที่ได้คือประสิทธิภาพของแผงเซลล์แสงอาทิตย์แบบโพลีคริสตัลไลน์นั้นเกือบจะเท่ากับแผงเซลล์แสงอาทิตย์แบบโมโนคริสตัลไลน์



รูปที่ 2.22 ก้อนโพลีคริสตัลไลน์และการเลื่อยเป็นบล็อกสี่เหลี่ยม



รูปที่ 2.23 การหันก้อนโพลีคริสตัลไลน์เป็นเวเฟอร์สี่เหลี่ยมจัตุรัส และการสร้างเป็นเซลล์แสงอาทิตย์แบบโพลีคริสตัลไลน์

ข้อดีของแผงเซลล์แสงอาทิตย์แบบโพลีคริสตัลไลน์

- กระบวนการผลิตโพลีคริสตัลไลน์ซิลิคอนนั้นง่ายกว่าและเสียค่าใช้จ่ายน้อยกว่าปริมาณของเสียซิลิคอนจะน้อยกว่าแบบโมโนคริสตัลไลน์
 - แผงเซลล์แสงอาทิตย์แบบโพลีคริสตัลไลน์ มีแนวโน้มที่จะมีค่าความคลาดเคลื่อนจากความร้อนต่ำกว่าแผงเซลล์แสงอาทิตย์แบบโมโนคริสตัลไลน์
 - อายุการใช้งานยาวนาน
- ข้อเสียของแผงเซลล์แสงอาทิตย์แบบโพลีคริสตัลไลน์
- ประสิทธิภาพของแผงเซลล์แสงอาทิตย์แบบโพลีคริสตัลไลน์อยู่ที่ร้อยละ 13-16 เนื่องจากความบริสุทธิ์ของซิลิคอนที่ต่ำกว่าแผงเซลล์แสงอาทิตย์แบบโมโนคริสตัลไลน์
 - ใช้พื้นที่มากกว่าในการผลิตพลังงานไฟฟ้าเมื่อเทียบกับ แผงเซลล์แสงอาทิตย์แบบโมโนคริสตัลไลน์

2.2.4.3 แผงเซลล์แสงอาทิตย์แบบฟิล์มบาง (Thin Film)

แผงเซลล์แสงอาทิตย์แบบโมโนคริสตัลไลน์และแบบโพลีคริสตัลไลน์ถูกผลิตขึ้นในลักษณะที่คล้ายกันมากแต่ แผงเซลล์แสงอาทิตย์แบบฟิล์มบางใช้วิธีการผลิตที่แตกต่างอย่างสิ้นเชิง เซลล์แสงอาทิตย์ด้วยการเลื่อยซิลิคอนก้อนใหญ่ๆฟิล์มที่มีซิลิคอนผสมอยู่จะถูกรีด "พ่น" ไปยังพื้นผิวซึ่งจะทำให้กลายเป็นแผงเซลล์ ดังแสดงในรูปที่ 2.24 แม้ว่ากระบวนการเหล่านี้จะมีระยะหนึ่งแล้ว กระบวนการผลิตฟิล์มบางเป็นเทคโนโลยีที่ค่อนข้างใหม่ โดยได้มีการประมาณอายุการใช้งานของแผงชนิดนี้ประมาณซึ่งฟิล์มบาง 20 ปี ซึ่งฟิล์มบาง เป็นคำทั่วไปสำหรับแผงเซลล์แสงอาทิตย์ที่ทำจากวัสดุเหล่านี้คือซิลิคอนที่ไม่เป็นรูปผลึก (a-Si) แคดเมียมเทลลูไรด์ (CdTe) และคอปเปอร์อินเดียมไดเซเลไนด์ (CIGS)

แผงเซลล์แสงอาทิตย์แบบฟิล์มบาง มีใช้อยู่ประมาณร้อยละ 5 ในตลาดแผงเซลล์แสงอาทิตย์แบบฟิล์มบางได้รับความนิยมในโซลาร์ฟาร์มขนาดใหญ่ แต่ค่อนข้างหายากในตลาดที่อยู่อาศัย



รูปที่ 2.24 แผงเซลล์แสงอาทิตย์แบบฟิล์มบาง (Thin Film)

ประสิทธิภาพแผงเซลล์แสงอาทิตย์แบบฟิล์มบาง ถึงแม้ว่าขั้นตอนการผลิตจะถูกปรับปรุงให้ดีขึ้นแต่แผงเซลล์แสงอาทิตย์แบบฟิล์มบางก็มีประสิทธิภาพ ร้อยละ 8-10 ซึ่งหมายความว่ามันจะมีขนาดใหญ่เป็นสองเท่าของแบบโมโนคริสตัลไลน์และแบบโพลีคริสตัลไลน์ที่ผลิตพลังงานได้เท่ากันและมีน้ำหนักมาก ดังนั้นต้องมีหลังคาที่ใหญ่และแข็งแรงกว่า และอุปกรณ์ต้องใหญ่และแข็งแรงกว่า สิ่งที่เราควรระวังอีกประการคือ แผงเซลล์แสงอาทิตย์แบบฟิล์มบาง สามารถเสื่อม ได้ถึงร้อยละ 20 ในช่วงปีแรกของการติดตั้งก่อนที่จะคงตัวสู่ระดับการผลิตพลังงานที่ กำหนดโดยปกติเราสามารถมองเห็นแผงเซลล์แสงอาทิตย์แบบฟิล์มบางเพราะไม่มีรูปแบบเมทริกซ์ของแผงผลึก แผงเซลล์แสงอาทิตย์ ฟิล์มบางมีเพียงสี่เดี่ยวซึ่งมักจะเป็นสีน้ำเงิน สีดำหรือสีน้ำตาล และจะเป็นอาร์เรย์ขนาดใหญ่เพื่อชดเชยประสิทธิภาพต่ำ ซึ่งรูปที่ 2.25 คือหลังคาที่มีแผงพลังงานแสงอาทิตย์ 2 ชนิด คือ แผงฟิล์มบางอยู่ทางด้านซ้ายและแผงแบบโมโนคริสตัลไลน์ทางด้านขวา อาร์เรย์แบบฟิล์มบางผลิตพลังงานไฟฟ้าได้มากกว่าแบบโมโนคริสตัล เพียงประมาณร้อยละ 20 แม้จะใช้พื้นที่ใหญ่กว่าประมาณร้อยละ 300



รูปที่ 2.25 การติดตั้งแผงเซลล์แสงอาทิตย์บนหลังคาโดยด้านซ้ายคือแผงแบบฟิล์มบางและด้านขวาคือแบบโมโนคริสตัลไลน์

ข้อดีของแผงเซลล์แสงอาทิตย์แบบฟิล์มบาง

- การผลิตจำนวนมากนั้นทำได้ง่าย ทำให้มีราคาถูกกว่าการผลิตกว่าเซลล์แสงอาทิตย์ที่ใช้ผลึก
- กำลังไฟฟ้าได้รับผลกระทบน้อยกว่าจากอุณหภูมิสูง
- ใช้วัสดุน้อยลงในการผลิตแผง
- ดูแลอะตมมากและสามารถโค้งงอเป็นรูปร่างต่างๆได้
- ทำงานได้ดีในสภาพแสงน้อย
- หากมีเงาบดบังโมดูลบางส่วนพลังงานที่ผลิตได้จะลดลงน้อยกว่าแผงผลึก

ข้อเสียของแผงเซลล์แสงอาทิตย์แบบฟิล์มบาง

- มีประสิทธิภาพเพียงครึ่งหนึ่งของแผงเซลล์แสงอาทิตย์แบบผลึกใช้พื้นที่บนหลังคาเป็นสองเท่า

- ใช้เวลาหกเดือนถึงหนึ่งปีก่อนที่กำลัการผลิตจะมีเสถียรภาพ
- ใช้เวลานานกว่าในการติดตั้ง
- มีข้อจำกัด ในการเลือกใช้อินเวอร์เตอร์
- ใช้กระบวนการผลิตที่เป็นพิษมากขึ้น

กลุ่มเซลล์แสงอาทิตย์ที่ทำจากสารประกอบซิลิคอน (Compound Silicon Semiconductor) ซึ่งเซลล์แสงอาทิตย์ประเภทนี้ จะเป็นเซลล์แสงอาทิตย์ที่มีประสิทธิภาพสูงถึงร้อยละ 25 ขึ้นไปแต่มีราคาสูงมากไม่นิยมนำมาใช้บนพื้นโลก นิยมใช้งานสำหรับดาวเทียมและระบบรวมแสงเป็นส่วนใหญ่ แต่การพัฒนาขบวนการผลิตสมัยใหม่จะทำให้มีราคาถูกลง และนำมาใช้มากขึ้นในอนาคต (ปัจจุบันนำมาใช้เพียงร้อยละ 7 ของปริมาณที่มีใช้ทั้งหมด) ซึ่งกำลังอยู่ระหว่างการพัฒนาเพื่อลดต้นทุนต่อไป

2.2.5 การยึดและการติดตั้งแผง

การยึดและการติดตั้งแผงเป็นอีกหนึ่งตัวแปรที่เกี่ยวข้องกับประสิทธิภาพ การติดตั้งแผงจะต้องคำนวณว่าแผงควรจะติดตั้งให้มีความชันและความลาดเอียงจากพื้นกึ่งองศาและหันหน้าไปทางทิศใด (โดยทั่วไปในประเทศไทยจะติดตั้งให้ระนาบแผงโซลาร์เซลล์หันไปทางทิศใต้ โดยมีความชันประมาณ 15 องศาจากพื้นดิน) ดังแสดงในรูปที่ 2.26 การยึดและติดตั้งแผงนั้นมีผลอย่างมากต่อประสิทธิภาพโดยรวมของแผงหรือทั้งระบบ ถ้าติดตั้งไปผิดทิศหรือความชันแผงจากพื้นไม่เหมาะสม กำลังไฟฟ้าที่ผลิตได้ก็จะลดลงไปอย่างมาก

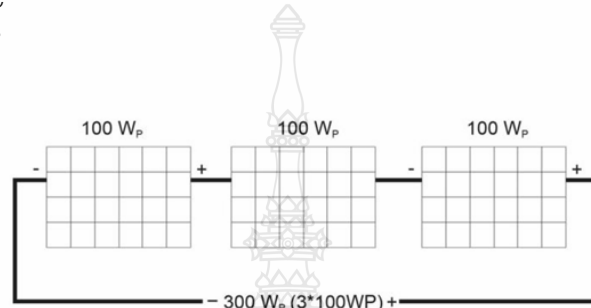


รูปที่ 2.26 การติดตั้งแผงที่เหมาะสมสำหรับประเทศไทย

2.2.6 การต่อแผงโซลาร์เซลล์

2.2.6.1 การต่อแผงโซลาร์เซลล์เป็นอาร์เรย์

เมื่อเชื่อมต่อแผงโซลาร์เซลล์หลายแผงเข้าด้วยกันเพื่อทำการเป็นสร้างอาร์เรย์ พลังงานทั้งหมดจากอาร์เรย์ คือผลรวมของพลังงาน ของแต่ละแผงโซลาร์เซลล์ ตัวอย่างเช่นมีแผงโซลาร์เซลล์ขนาด 100 W สูงสุด และจะต้องเชื่อมต่อทั้งแบบอนุกรมหรือแบบขนานกำลังไฟฟ้าทั้งหมดจากอาร์เรย์เท่ากับ 300 W สูงสุด ดังแสดงในรูปที่ 2.27 และการเชื่อมต่อแผงโซลาร์เซลล์เพื่อสร้างอาร์เรย์สามารถทำได้ 3 วิธีดังนี้

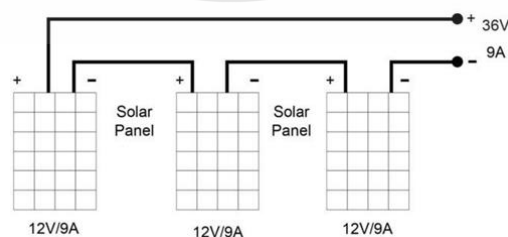


รูปที่ 2.27 ตัวอย่างการต่อแผงโซลาร์เซลล์เป็นอาร์เรย์

2.2.6.2 การต่อแบบอนุกรม

เมื่อต่อแผงเซลล์แสงอาทิตย์ที่เหมือนกัน (มีพารามิเตอร์เดียวกัน) แบบอนุกรม จะได้แรงดันขาออกที่สูงขึ้นแรงดันไฟฟ้าที่เพิ่มขึ้นจะมีค่าเท่ากับผลรวมของแรงดันไฟฟ้าที่แผงเซลล์แสงอาทิตย์รวมกันทั้งหมด

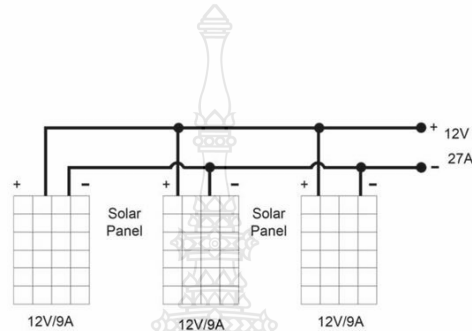
ในการต่อแผงเซลล์แสงอาทิตย์แบบอนุกรมขั้วบวก (+) ของแผงจะต้องต่อกับขั้วลบ (-) ของแผงถัดไปในอาร์เรย์ดังแสดงในรูปที่ 2.28 ตัวอย่างเช่น มีแผงโซลาร์เซลล์ 3 แผง แต่ละแผงมีแรงดันไฟฟ้าขนาด 12 V และขนาดกระแสไฟฟ้าเท่ากับ 9 A ต่อแบบอนุกรม แรงดันไฟฟ้าจะมากขึ้นเท่ากับผลรวมของทั้ง 3 แผงคือ 36 V และมีกระแสไฟฟ้าเท่ากับ 9 A เหมือนเดิมโดยกระแสไฟฟ้าที่แผงโซลาร์เซลล์สร้างขึ้นเป็นแบบกระแสตรง



รูปที่ 2.28 ตัวอย่างการต่อแผงโซลาร์เซลล์ที่เหมือนกันแบบอนุกรม

2.2.6.3 การต่อแบบขนาน

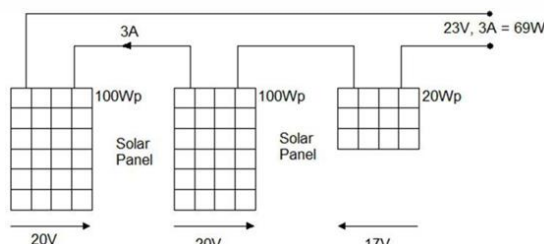
การต่อแผงโซลาร์เซลล์ที่เหมือนกันแบบขนาน กระแสไฟฟ้าขาออกจะสูงขึ้นเท่าผลรวมของทั้งรวมกัน ส่วนทางด้านแรงดันไฟฟ้าขาออกจะเท่าเดิม ในการต่อแผงโซลาร์เซลล์แบบขนาน ขั้วบวก แต่ละแผงจะต่อเข้าด้วยกัน (+) และขั้วลบ (-) ของแต่ละแผงก็จะต่อเข้าด้วยกันในการอาร์เรย์ดังแสดงในรูปที่ 2.29 ตัวอย่างเช่นมีแผงโซลาร์เซลล์ 3 แผง แต่ละแผงมีแรงดันไฟฟ้าขนาด 12 V และขนาดกระแสไฟฟ้าเท่ากับ 9 A ต่อแบบขนาน แรงดันไฟฟ้าและกระแสไฟ ขาออกของอาร์เรย์นั้นจะเท่ากับ 12 V, 27 A ตามลำดับ



รูปที่ 2.29 ตัวอย่างการต่อแผงโซลาร์เซลล์ที่เหมือนกันแบบขนาน

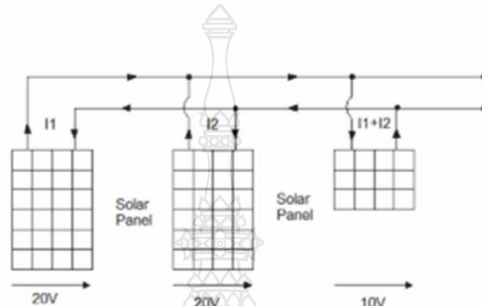
2.2.6.4 การต่อแผงโซลาร์เซลล์ที่เป็นอาร์เรย์ในกรณีแผงมีกำลังไฟฟ้าไม่เท่ากัน

ถ้าต่อแผงโซลาร์เซลล์ที่มีพิกัดกำลังไฟฟ้าต่างกันกำลังไฟฟ้าขาออกจากอาร์เรย์จะ ผลรวมของกำลังไฟฟ้าของแต่ละโมดูล กำลังไฟฟ้าที่สูญเสียไปนั้นขึ้นอยู่กับแบบของการต่อ ระหว่างโมดูล และโหมดการทำงานเมื่อต่อโมดูลที่มีกระแสต่างกันแบบอนุกรมกับโหลดดังแสดงในรูปที่ 2.30 โมดูลที่มีกระแสไฟต่ำ จะกลายเป็นตัวต้านทานหรือโหลดในวงจร โมดูลที่มี กระแสสูงจะสร้างกระแสที่ไหลผ่านวงจร กระแสจะลดลงเนื่องจากความต้านทานของโมดูลกระแสต่ำ และสร้างแรงดันไฟฟ้าตกคร่อมโมดูลกระแสต่ำแรงดันไฟฟ้าตกคร่อมนี้มีขั้วไฟฟ้าในทิศทางตรงกันข้าม จึงลดแรงดันไฟฟ้ารวมของการเชื่อมต่ออนุกรมของโมดูลทั้งหมด นอกจากนี้ยังใช้พลังงานของโมดูลอื่นๆ ตัวอย่างเช่นแรงดันตกคร่อมโมดูลกระแสต่ำปรับตัวลดลงคือ 17 V ดังนั้นแรงดันไฟฟ้ารวมของวงจรคือ $(2 \times 20) \text{ โวลต์} - 17 \text{ V} = 23 \text{ V}$ กำลังทั้งหมดนั้นน้อยกว่ากำลังของโมดูลที่กระแสสูงรวมกัน



รูปที่ 2.30 ตัวอย่างการต่อแผงเซลล์แสงอาทิตย์ขนาดต่างกันมาต่อกันแบบอนุกรม

หรือหากนำแผงเซลล์แสงอาทิตย์ที่ไม่เหมือนกัน แต่มีแรงดันไฟฟ้าเท่ากันต่อขนานกันดังแสดงในรูปที่ 2.31 กำลังไฟฟ้ารวมจะเท่ากับผลรวมของกำลังไฟฟ้าของแต่ละโมลซึ่งจะไม่มี การสูญเสียกำลังไฟฟ้าแต่เมื่อต่อแผงเซลล์แสงอาทิตย์ที่ไม่เหมือนกัน มีแรงดันเอาต์พุตต่างกันต่อขนาน กัน โมดูลที่มีแรงดันไฟฟ้าต่ำกว่าจะทำ ในวงจร หากไม่มีการเชื่อมต่อโหลดเข้ากับวงจรดังนั้นกระแสของ โมดูลที่มีแรงดันไฟฟ้าสูงกว่าจะไหลเข้า แรงดันไฟฟ้าต่ำถ้ากระแสที่ไหลสูงอาจทำให้โมดูลที่มี แรงดันไฟฟ้าต่ำกว่าเสียหายได้



รูปที่ 2.31 ตัวอย่างการต่อแผงเซลล์แสงอาทิตย์ขนาดต่างกันมาต่อกันแบบขนาน

2.2.7 แบตเตอรี่

แผงเซลล์แสงอาทิตย์หรือแผงโซลาร์เซลล์ผลิตกระแสไฟฟ้าในเวลากลางวันเมื่อดวงอาทิตย์ส่องแสงแต่ไม่สามารถเก็บพลังงานได้ แต่เมื่อต้องการไฟฟ้าในช่วงกลางคืนจะต้องมีการใช้ แบตเตอรี่ในการเก็บพลังงานแบตเตอรี่ที่เหมาะสมสำหรับใช้กับระบบไฟฟ้าเซลล์แสงอาทิตย์มี 2 ประเภท ได้แก่

2.2.7.1 แบตเตอรี่ลิเทียมไอออน (Li-ion) เป็นเทคโนโลยีใหม่ในตลาดปัจจุบันพบใน อุปกรณ์อิเล็กทรอนิกส์ เช่น โทรศัพท์มือถือและแล็ปท็อปดังแสดงในรูปที่ 2.32 ในบ้านยังไม่นิยมนำมาใช้งานเนื่องจากมีราคาสูงและเมื่อเทียบกับขนาดและน้ำหนักของแบตเตอรี่ลิเทียมไอออน มีอายุการใช้งานที่ยาวนานและความจุพลังงานสูงโดยเฉลี่ยสามารถใช้งานได้ยาวนานถึง 5 ปีนับจากวันผลิตขึ้นอยู่กับวิธีการใช้งาน



รูปที่ 2.32 แบตเตอรี่ลิเทียมไอออนยี่ห้อหนึ่ง

2.2.7.2 แบตเตอรี่ตะกั่วกรด (Lead acid) เป็นแบตเตอรี่ที่นิยมใช้ในระบบพลังงานแสงอาทิตย์มากที่สุด อายุการใช้งานตั้งแต่ 2 ถึง 10 ปี แบตเตอรี่ชนิดนี้เป็นแบตเตอรี่ที่คุ้มค่าในการติดตั้งที่สุดในตลาดแต่ต้องติดตั้งในสถานที่ที่มีการระบายอากาศเพียงพอมีอยู่ 2 แบบ

- ประเภทต้องเติมน้ำกลั่นเป็นแบตเตอรี่ชนิดที่มีอยู่ทั่วไป กรดในแบตเตอรี่ ในแบตเตอรี่ชนิดนี้เป็นของเหลวดังแสดงในรูปที่ 2.33 ซึ่งแบตเตอรี่เซลล์เปียกจำเป็นต้องมีการบำรุงรักษาเติมน้ำกลั่นเป็นประจำ

- แบตเตอรี่แห้งแบบไม่ต้องเติมน้ำกลั่นแบตเตอรี่แห้งเป็นแบตเตอรี่ที่ถูกปิดผนึกโดยสนิทไม่ต้องบำรุง ดังแสดงรูปที่ 2.34



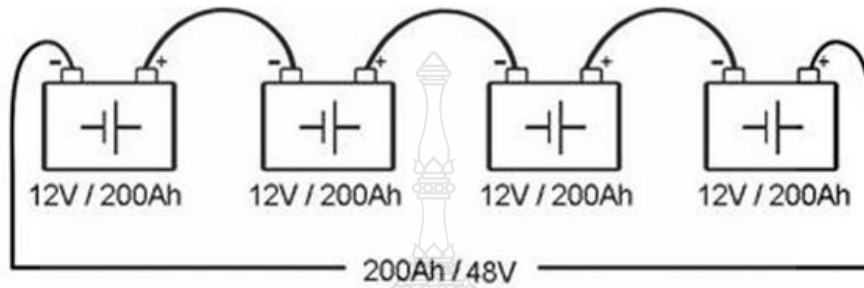
รูปที่ 2.33 แบตเตอรี่ประเภทต้องเติมน้ำกลั่นแบบทั่วไป 6 V และ 12 V



รูปที่ 2.34 แบตเตอรี่แบบแห้ง 12 V

2.2.7.3 การต่อแบตเตอรี่แบบอนุกรม

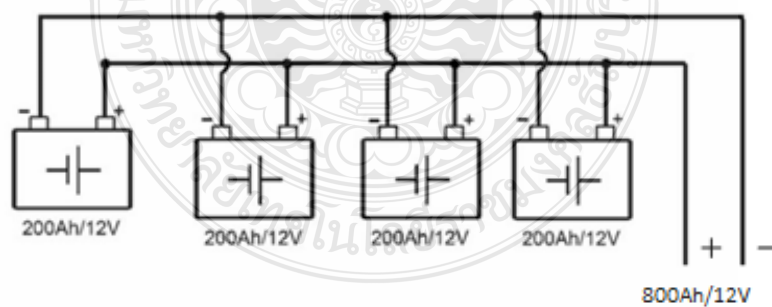
ตัวอย่าง เช่น ถ้ามีแบตเตอรี่ 4 ก้อนขนาดพิกัด 200 Ah , 12 V และต่อแบบอนุกรมกำลังไฟฟ้ารวมจากแบตเตอรี่จะเท่ากับ 48 V, 200 Ah สำหรับการต่อแบตเตอรี่แบบอนุกรม ขั้วลบของแบตเตอรี่จะต้องต่อกับขั้วบวกของแบตเตอรี่ก้อนถัดไปดังแสดงในรูปที่ 2.35



รูปที่ 2.35 การต่อแบตเตอรี่แบบอนุกรม

2.2.7.4 การต่อแบตเตอรี่แบบขนาน

ตัวอย่าง เช่น หากมีแบตเตอรี่สี่ก้อนขนาดพิกัด 200 Ah , 12 V และมีการต่อแบบขนานพลังงานขาออกทั้งหมดจากแบตเตอรี่จะเป็น 12 V , 800 Ah ในการต่อแบตเตอรี่แบบขนาน ขั้วลบของแบตเตอรี่จะต้องเชื่อมต่อกับขั้วลบของแบตเตอรี่ตัวถัดไปและขั้วบวกก็จะเชื่อมต่อกับแบตเตอรี่ตัวถัดไปดังแสดงในรูปที่ 2.36

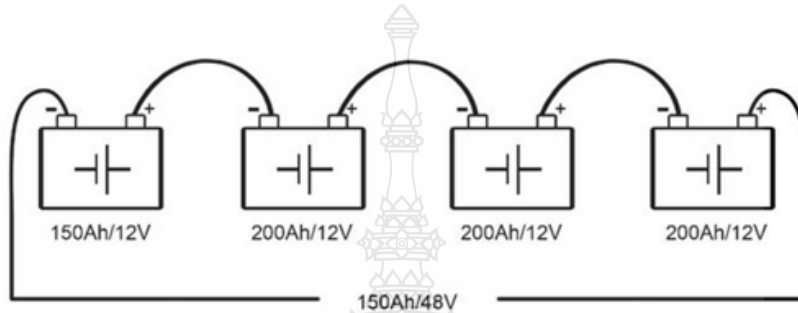


รูปที่ 2.36 การต่อแบตเตอรี่แบบขนาน

การต่อแบตเตอรี่แบงก์เมื่อแบตเตอรี่ต่อกันเพื่อสร้างแบตเตอรี่แบงก์ แรงดันทั้งหมดและความจุของแบตเตอรี่แบงก์ก็บ่งชี้ลักษณะการเชื่อมต่อและต้องไปเชื่อมต่อแบตเตอรี่ที่มีชนิด

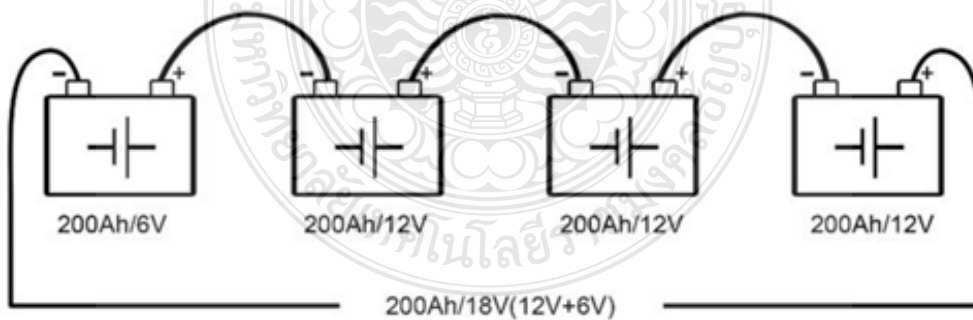
และขนาดที่แตกต่างกันแบตเตอรี่ในแบตเตอรี่แบงก์จะต้องเป็นประเภทเดียวกันและขนาดความจุเท่ากัน ซึ่งมีการต่ออยู่ 3 ประเภทได้แก่

2.2.7.5 การต่อแบบอนุกรม-แบตเตอรี่ที่มีแรงดันไฟฟ้าเท่ากัน แต่มีกระแสแตกต่างกัน เช่นมีแบตเตอรี่ 4 ก้อน มีพิกัด 150 Ah , 12 V หนึ่งก้อนและอีก 3 ก้อนมีพิกัด 200 Ah , 12 V ทั้งหมด ต่ออนุกรมดังแสดงในรูปที่ 2.37 แรงดันไฟฟ้าขาออกคือ 48 V แต่ค่ากระแสไฟฟ้าของแบตเตอรี่คือก้อนที่มีกระแสไฟฟ้าที่ต่ำสุดคือ 150 Ah



รูปที่ 2.37 การต่อแบตเตอรี่แบบอนุกรมที่มีขนาดความจุต่างกัน

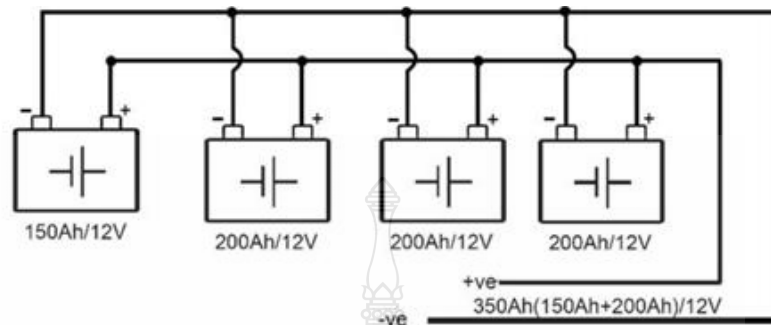
2.2.7.6 การต่อแบบอนุกรม - แบตเตอรี่ที่มีความจุเท่ากันแต่มีแรงดันไฟฟ้าแตกต่างกัน ในการต่อแบตเตอรี่ที่มีขนาดแรงดันไฟฟ้าต่างกันตัวอย่างเช่น ในกรณีที่มีแบตเตอรี่แบงก์จำนวน 4 ก้อน โดยก้อนหนึ่งมีพิกัด 200 Ah , 6 V และอีกสามก้อนมีพิกัดอยู่ที่แอมแปร์ 200 Ah , 12 V และต่อแบบอนุกรมด้วยแบตเตอรี่ทั้ง 4 ก้อนดังแสดงในรูปที่ 2.38 ขนาดแรงดันไฟฟ้ารวมของแบตเตอรี่จะกลายเป็น 6 V ที่ความจุยังคงอยู่ที่ 200 Ah



รูปที่ 2.38 การต่อแบตเตอรี่แบบอนุกรมที่มีขนาดแรงดันต่างกัน

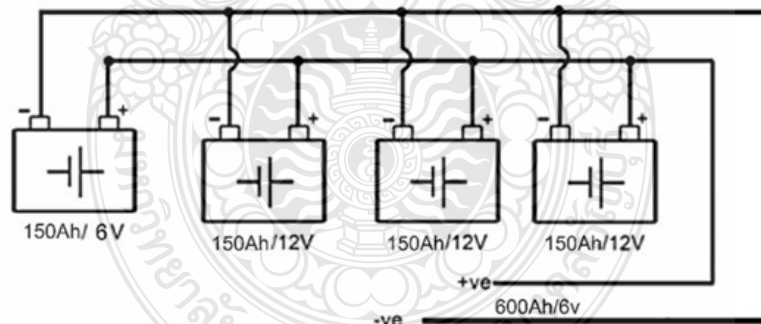
2.2.7.7 การต่อแบบขนาน - แบตเตอรี่ที่มีแรงดันไฟฟ้าเท่ากัน แต่มีกระแสไฟฟ้าแตกต่างกันตัวอย่างเช่นแบตเตอรี่แบงก์ 4 ก้อนที่มีก้อนหนึ่งมีพิกัด 150 Ah , 12 V และอีก 3 ก้อนมี

พิกัด 200 Ah , 12 V ทั้งหมดต่อแบบขนานดังแสดงในรูปที่ 2.39 แรงดันไฟฟ้าขาออกจากแบตเตอรี่
 แบงก์คือ 12 V ในขณะที่กระแสเอาต์พุตคือ 750 Ah



รูปที่ 2.39 การต่อแบตเตอรี่แบบขนานที่มีขนาดความจุต่างกัน

2.2.7.8 การต่อแบบขนาน - แบตเตอรี่ที่มีแรงดันของไฟฟ้าไม่เท่ากันแต่มีกระแสไฟฟ้า
 เท่ากันตัวอย่างแบตเตอรี่ 4 ก้อน พิกัด 150 Ah, 6 V หนึ่งก้อนและอีก 3 ก้อนมีพิกัด 150 Ah , 12 V
 ทั้งหมดต่อแบบขนานดังแสดงในรูปที่ 2.40 แรงดันไฟฟ้าสูงสุดจะเท่ากับแบตเตอรี่ 6 V แต่
 กระแสไฟฟ้าจะเท่ากับผลรวมทั้งหมดรวมกันคือ 600 Ah แต่ควรระวังเนื่องจากแบตเตอรี่ 6 V จะถูกยก
 แรงดันไฟฟ้าสูงขึ้นมาใกล้กับ 12 V และถูกอัดประจุมากเกินไปซึ่งจะทำให้ แบตเตอรี่เสียหายได้



รูปที่ 2.40 การต่อแบตเตอรี่แบบขนานที่มีขนาดแรงดันต่างกัน

2.2.8 ตัวควบคุมการชาร์จประจุ (Charger controllers)

เครื่องควบคุมการชาร์จประจุจะควบคุมการจ่ายพลังงานจากแผงเซลล์แสงอาทิตย์ซึ่งใช้
 ในการชาร์จแบตเตอรี่ ทำได้โดยการรับแรงดันไฟฟ้าจากแผงเซลล์แสงอาทิตย์ไปยังแบตเตอรี่

2.2.8.1 หน้าที่ตัวควบคุมการชาร์จประจุที่หลักๆ 4 ประการดังนี้

- ควบคุมให้การชาร์จประจุแบตเตอรี่เป็นไปอย่างปลอดภัย

- ตัวควบคุมการชาร์จที่มีฟังก์ชันโพลดคอนโทรลเลอร์ จะช่วยป้องกัน
แบตเตอรี่จากการคายประจุ

- เพื่อป้องกันแบตเตอรี่จากการชาร์จประจุมากเกินไป
- เพื่อป้องกันกระแสไฟฟ้าไหลย้อนกลับจากแบตเตอรี่ไปยังแผงเซลล์

แสงอาทิตย์

2.2.8.2 ตัวควบคุมการชาร์จประจุส่วนใหญ่มี 2 แบบได้แก่

2.2.8.2.1 การปรับความกว้างพัลส์ (Pulse Width Modulation, PWM) ซึ่งเป็นเครื่องควบคุมการชาร์จที่พบมากที่สุดดังแสดงในรูปที่แรงดันไฟฟ้าในการชาร์จประจุของแบตเตอรี่จะถูกกำหนดให้อยู่ระดับที่ต้องการโดยการสลับการเปิด/ปิดอุปกรณ์อิเล็กทรอนิกส์ด้วยความถี่สูงดังแสดงรูปที่ 2.41

2.2.8.2.2 การติดตามกำลังสูงสุด (Maximum Power Point Tracking, MPPT หรือ MPPT) ตัวควบคุม MPPT จะควบคุมให้กระแสและแรงดันไฟฟ้าที่ได้จากแผงเซลล์แสงอาทิตย์ให้มีค่าเหมาะสม เพื่อให้ได้กำลังไฟฟ้าเหมาะสมที่สุดในการชาร์จประจุให้กับแบตเตอรี่ ตัวควบคุมมีราคาแพงกว่า และส่วนใหญ่ใช้สำหรับแผงเซลล์แสงอาทิตย์ขนาดใหญ่ดังแสดงรูปที่ 2.42



รูปที่ 2.41 ตัวควบคุมการชาร์จแบบ PWM ยี่ห้อ Victron 12 V , 10 A



รูปที่ 2.42 ตัวควบคุมการชาร์จแบบ MPPT ยี่ห้อ Victron 12/24 V , 20 A

2.2.9 อุปกรณ์ป้องกันไฟฟ้า

ในการติดตั้งระบบโซลาร์เซลล์นั้น ควรติดตั้งอุปกรณ์ป้องกันแรงดันเกินชั่วขณะจากฟ้าผ่า (Surge Protection Device, SPD) ซึ่งมีหน้าที่คือ ทำการลัดวงจรตัวเองในขณะที่เกิดแรงดันจากฟ้าผ่า เพื่อให้กระแสเปลี่ยนทิศทางวิ่งผ่านตัวเองลงกราวด์ แทนที่จะเข้าไปทำอันตรายกับอุปกรณ์เครื่องใช้ไฟฟ้าในระบบ

2.2.10 สวิตช์ตัดตอน

เพื่อความปลอดภัยสำหรับ บุคลากร ระบบและการบำรุงรักษาเราอาจติดตั้งสวิตช์ตัดการเชื่อมต่อ เพื่อแยกส่วนประกอบต่างๆของระบบได้สวิตช์ตัดการเชื่อมต่อ ถูกติดตั้งระหว่างแผงเซลล์แสงอาทิตย์กับอุปกรณ์ควบคุมการชาร์จดังแสดงในรูปที่ 2.43 โดยแนะนำให้ใช้ที่แรงดันไฟฟ้ากระแสตรงตั้งแต่ 60 โวลต์ ขึ้นไปเพื่อให้แน่ใจว่าการติดตั้งและการบำรุงรักษาจะปลอดภัยสวิตช์ตัดการเชื่อมต่อจะต้องใช้สำหรับการตัดต่อไฟฟ้ากระแสตรงและมีพิกัดกระแสเท่ากับกระแสสูงสุดของอาร์เรย์แสงอาทิตย์โดยห้ามใช้สวิตช์ตัดการเชื่อมต่อที่ใช้สำหรับไฟฟ้ากระแสสลับทั่วไปเพราะทุกครั้งที่ทำการตัดการเชื่อมต่อในขณะที่จ่ายโหลดจะเกิดประกายไฟประกายไฟจากไฟฟ้ากระแสตรงนั้นทำให้เกิดความเสียหายมากกว่าประกายไฟกระแสสลับ และสามารถทำลายอุปกรณ์ตัดการเชื่อมต่อที่ไม่ได้ออกแบบมาเพื่อจัดการกับประกายไฟจากไฟฟ้ากระแส

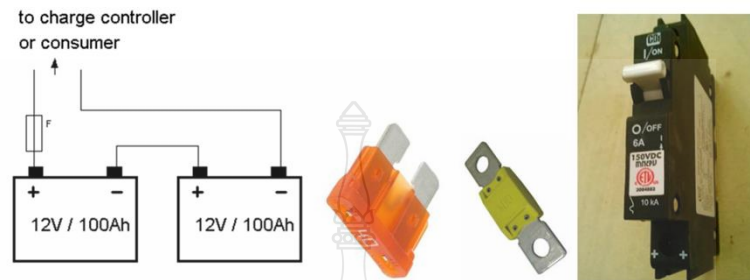


รูปที่ 2.43 สวิตช์ตัดการเชื่อมต่อทั่วไปที่ใช้เพื่อแยกอาร์เรย์แผงเซลล์แสงอาทิตย์จากตัวควบคุมการชาร์จ

2.2.11 ฟิวส์และเซอร์กิตเบรกเกอร์

การลัดวงจรระหว่างขั้วแบตเตอรี่ทั้งสองขั้วจะปล่อยกระแสสูงมาก ยิ่งแบตเตอรี่มีความจุมาก กระแสก็ยิ่งสูง สำหรับแบตเตอรี่ขนาดใหญ่ กระแสนี้สามารถละลายสายไฟและก่อให้เกิดไฟไหม้ได้ง่ายดังนั้น แบตเตอรี่หรือแบตเตอรี่แบงก์ควรมีการป้องกันด้วยฟิวส์กระแสตรง (DC) หรือเบรกเกอร์กระแสตรงด้วยขนาดของอุปกรณ์ที่เหมาะสมดังแสดงในรูปที่ 2.44 โดยที่ฟิวส์กระแสสลับ (AC) ไม่สามารถใช้กับไฟฟ้ากระแสตรงได้สำหรับแบตเตอรี่ขนาดเล็กและกระแสไฟฟ้ากระแสตรงขนาดเล็กสามารถใช้ฟิวส์รถยนต์ได้แต่ถ้ากระแสสูง มาก และแบตเตอรี่แบงก์จำเป็นต้องใช้ฟิวส์กระแสตรงที่มีพิกัด

กระแสและแรงดันไฟฟ้าที่สูงขึ้นการต่อวงจรให้ เดินสายระหว่างแบตเตอรี่และเครื่องควบคุมการชาร์จ ประจุต้องใส่เบรกเกอร์กระแสตรงหรือฟิวส์ กระแสตรง และระหว่างขาออกของอินเวอร์เตอร์และผู้ใช้ ไฟฟ้า ต้องใส่เบรกเกอร์กระแสสลับ



รูปที่ 2.44 ฟิวส์รถยนต์, ฟิวส์กระแสตรง, เบรกเกอร์กระแสตรง

สำหรับระบบขนาดใหญ่จะใช้กล่องต่อสายร่วม (Combiner Box) เป็นกล่องที่รวมจุดต่อวงจร ของการเชื่อมต่อแผงเซลล์แสงอาทิตย์เพื่อสร้างเป็นอาร์เรย์ดังแสดงในรูปที่ 2.65 ในการต่อวงจรขาออกของ กล่องต่อสายร่วม มักจะเป็นสายเคเบิลสองเส้นซึ่งเชื่อมต่อกับตัวควบคุมการชาร์จประจุ กล่องต่อสายร่วม จะประกอบด้วยสวิตช์ตัดการเชื่อมต่อหรือเบรกเกอร์ตัดกระแสไฟฟ้ากระแสตรง สำหรับวงจรแสงอาทิตย์อาร์เรย์และกล่องแยก (Junction Box) หรือกล่องรวมสัญญาณใช้เป็นกล่องหุ้มที่สายไฟและสายเคเบิลของวงจรต่างๆ เชื่อมต่อดังแสดงในรูปที่ 2.46



รูปที่ 2.45 กล่องต่อสายร่วมของแผงเซลล์แสงอาทิตย์ขนาด 4 kW รวม 10 แผง เพื่อป้องกันในสายเคเบิลเดี่ยวไปยังตัวควบคุมการชาร์จ



รูปที่ 2.46 กล่องแยก (Junction Box)

2.2.12 การต่อลงดิน

การต่อลงดินของอุปกรณ์ต่างๆ สามารถป้องกันแรงดันไฟฟ้าที่เป็นอันตรายเนื่องจากการทำงานที่ผิดพลาดของอุปกรณ์นอกจากนี้ยังช่วยป้องกันอุปกรณ์จากแรงดันไฟฟ้าที่เป็นอันตรายในกรณีที่เกิดการ ต่อลงดินของอุปกรณ์หมายถึงการเชื่อมต่อตัวโลหะและโครงโลหะทั้งหมดของอุปกรณ์เข้าด้วยกันและต่อเข้ากับสายดิน โครงโลหะเหล่านี้ประกอบด้วย กรอบแผงเซลล์แสง, อินเวอร์เตอร์อาทิตย์, กล่องของตัวควบคุมชาร์จประจุ, กล่องแยกสายที่เป็นโลหะ รวมถึงตัวนำอิเล็กทรอนิกส์ PE ที่ด้านกระแสดับแสดงในรูปที่ 2.47 การต่อสายดินทำให้มั่นใจได้ว่าชิ้นส่วนโลหะของส่วนประกอบทั้งหมดของระบบอยู่ในแรงดันไฟฟ้าเท่ากันและ ศูนย์เมื่อเทียบกับโลก ดังนั้นเมื่อเกิดฟ้าผ่า กระแสไฟฟ้าไหลผ่านอุปกรณ์ จะไม่สามารถก่อให้เกิด หรือการบาดเจ็บได้ต่อการต่อสายดินของระบบจำเป็นต้องการทำงาน ของอุปกรณ์ แผงเซลล์แสงอาทิตย์บาง ประเภทจะต้องต่อสายดิน ไม่เช่นนั้นจะสูญเสียพลังงานเนื่องจากการสะสมของประจุไฟฟ้าสถิตนอกจากนี้จำเป็นต้องต่อสายดินกับอุปกรณ์ป้องกันส่วนบุคคลบางอย่าง เช่น DCRCDS ไม่เช่นนั้นอุปกรณ์จะไม่ทำงาน หากไม่มีระบบกราวด์การต่อสายดินเพียงชั่วคราวจะเพิ่มความเสี่ยงของการเกิดไฟฟ้าช็อตในระหว่างการติดตั้งและการบำรุงรักษาระบบพลังงานแสงอาทิตย์

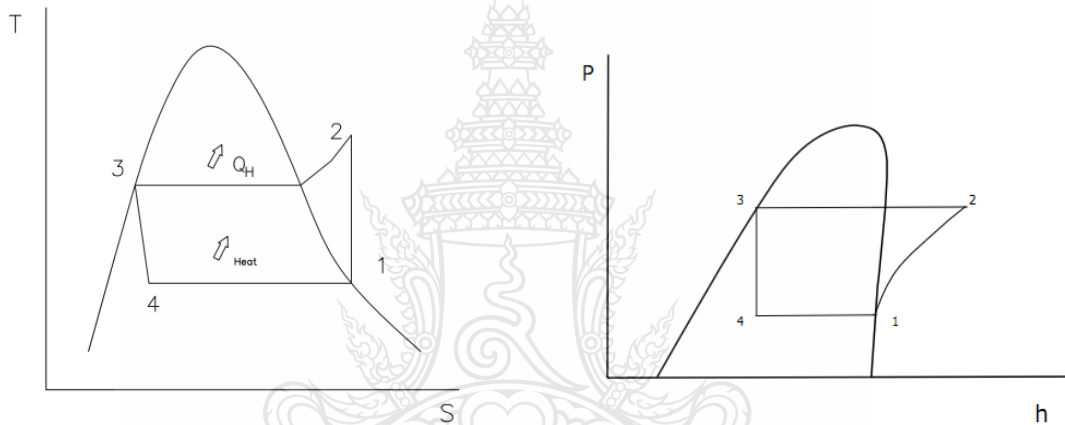


รูปที่ 2.47 การต่อสายดิน

2.3 วัฏจักรทำความเย็นแบบอัดไอ

วัฏจักรทำความเย็นแบบไออัดพื้นฐานจะใช้หลักการของ วัฏจักรคาร์โนต์ โดยมีกระบวนการต่าง ๆ ดังนี้ [22]

- กระบวนการ 1 → 2 การอัดตัวแบบไอเซนโทรปิกในเครื่องอัด
- กระบวนการ 2 → 3 การคายความร้อนโดยความดันคงที่ในเครื่องควบแน่น
- กระบวนการ 3 → 4 การขยายตัวในอุปกรณ์ทรอตทลิ่ง
- กระบวนการ 4 → 1 การดูดความร้อนโดยความดันคงที่ในเครื่องระเหย



รูปที่ 2.48 แผนภาพ $T-s$, $P-h$ ของวัฏจักรทำความเย็นแบบอัดไอ

จากกระบวนการต่างๆ และแผนภาพของวัฏจักรทำความเย็นและสามารถแบ่งออกเป็นสภาวะต่างๆ ดังนี้

สภาวะที่ 1 (ไออิ่มตัว) $h_1 = h_g @ P_1$

$$S_1 = S_g @ P_1$$

$$T_1 = T @ P_1$$

สภาวะที่ 2 (ไอร้อนยิ่งยวด) $S_2 = S_1$, $h_2 = h_{fg} @ P_2$

$$T_2 = T @ P_2$$

สภาวะที่ 3 (ของเหลวอิ่มตัว) $h_3 = h_f @ P_3$

สภาวะที่ 4 $h_4 \cong h_3$ (กระบวนการทรอตทลิ่ง)

สามารถหาอัตราการไหลเชิงมวลของสารทำความเย็น R 134 A โดยคำนวณหาจากสมการ

ที่ 2.1

$$\dot{m}_r = \frac{\dot{W}_{in}}{(h_{2r} - h_{1r})} \quad (2.1)$$

โดยที่

\dot{m}_r = อัตราการไหลเชิงมวลของสารทำความเย็น R 134 A (kg /s)

\dot{W}_{in} = กำลังที่ป้อนให้กับคอมเพรสเซอร์ (kw)

h_{1r} = เอนทัลปีของสารทำความเย็น R-134a สภาวะที่ 1 (kJ /kg)

h_{2r} = เอนทัลปีของสารทำความเย็น R-134a สภาวะที่ 2 (kJ /kg)

หาอัตราการถ่ายโอนความร้อนจากสมการที่ 2.2

$$Q_L = \dot{m}_r(h_{1r} - h_{4r}) \quad (2.2)$$

โดยที่

Q_L = อัตราการถ่ายโอนความร้อน (kw)

\dot{m}_r = อัตราการไหลเชิงมวลของสารทำความเย็น R-134a (kg /s)

h_{1r} = เอนทัลปีของสารทำความเย็น R-134a สภาวะที่ 1 (kJ /kg)

h_{4r} = เอนทัลปีของสารทำความเย็น R-134a สภาวะที่ 4 (kJ /kg)

หาอัตราการไหลของน้ำเย็นโดยคำนวณหาจากสมการสมดุลพลังงานและความแตกต่างของอุณหภูมิที่คำนวณได้จากสมการที่ 2.3

$$\dot{m}_w = \frac{\dot{m}_r(h_{1r} - h_{2r})}{C_{Pw}(T_{2w} - T_{1w})} \quad (2.3)$$

โดยที่

\dot{m}_r = อัตราการไหลเชิงมวลของสารทำความเย็น R-134a (kg /s)

\dot{m}_w = อัตราการไหลเชิงมวลของน้ำ (kg /s)

C_{Pw} = ค่าความร้อนจำเพาะของน้ำ (4.184 kJ / kg. K)

h_{1r} = เอนทัลปีของสารทำความเย็น R-134a สภาวะที่ 1 (kJ /kg)

h_{2r} = เอนทัลปีของสารทำความเย็น R-134a สภาวะที่ 4 (kJ /kg)

T_{9w} = อุณหภูมิน้ำสภาวะที่ 9 (° C)

T_{5w} = อุณหภูมิน้ำสภาวะที่ 5 (° C)

2.4 การคำนวณขนาดถังกักเก็บความเย็นด้วยน้ำ [11] หาได้จากสมการที่ 2.4

$$CUM = \frac{RTH \times 3024 \text{ kcal /RTH}}{\eta_T \times \Delta T \times 1000 \text{ kcal/C}^\circ \cdot \text{m}^3} \quad (2.4)$$

โดยที่

CUM = ปริมาตรของถังเก็บน้ำเย็น (m^3)

RTH = จำนวนตันความเย็นที่สะสมเท่ากับ 3 ตันความเย็น

ΔT = ผลต่างของอุณหภูมิด้านเข้าและออกจากถังกักเก็บความเย็นด้วยน้ำเท่ากับ 10 (° C)

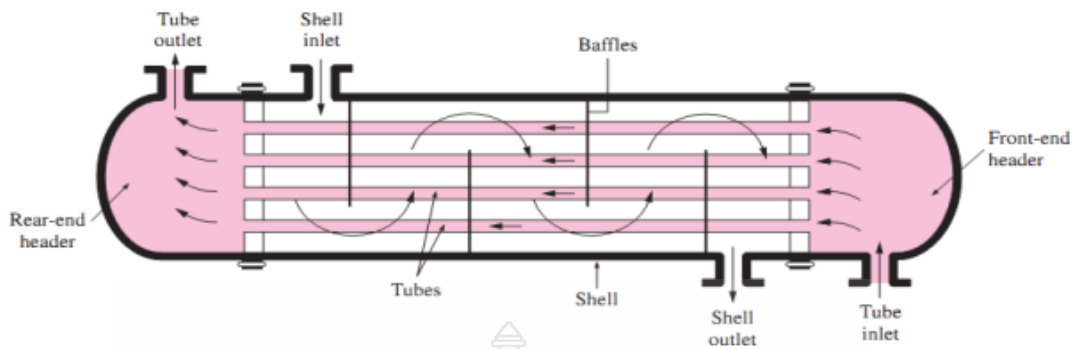
η_T = ประสิทธิภาพของถังกักเก็บความเย็นด้วยน้ำเท่ากับ 80 เปอร์เซ็นต์

2.5 การเลือกและการออกแบบอุปกรณ์เครื่องแลกเปลี่ยนความร้อน [19] [20] [21]

ในงานวิจัยนี้มีอุปกรณ์เครื่องแลกเปลี่ยนความร้อนอยู่ 2 ตัวด้วยกันก็คือ คอนเดนเซอร์หรือคอยล์ร้อนทำหน้าที่ในการระบายความร้อนออกจากสารทำความเย็นทำให้เกิดการควบแน่นและอีแวปโปเรเตอร์หรือคอยล์เย็นโดยหลักการในการเลือกและการออกแบบอุปกรณ์เครื่องแลกเปลี่ยนความร้อนมีดังนี้

2.4.1 การกำหนดการไหลอุปกรณ์เครื่องแลกเปลี่ยนความร้อนเกือบทั้งหมดทำงานในลักษณะที่ของไหลร้อนและของไหลเย็นถูกกันแยกจากกันด้วยผนังร่วมจะทำการแลกเปลี่ยนความร้อนด้วยทางกลการพาความร้อนและการนำความร้อน ประสิทธิภาพของการแลกเปลี่ยนความร้อนขึ้นอยู่กับลักษณะของการไหลที่เกิดขึ้น การไหลของของไหลมีทางเป็นไปได้ 3 ลักษณะคือ

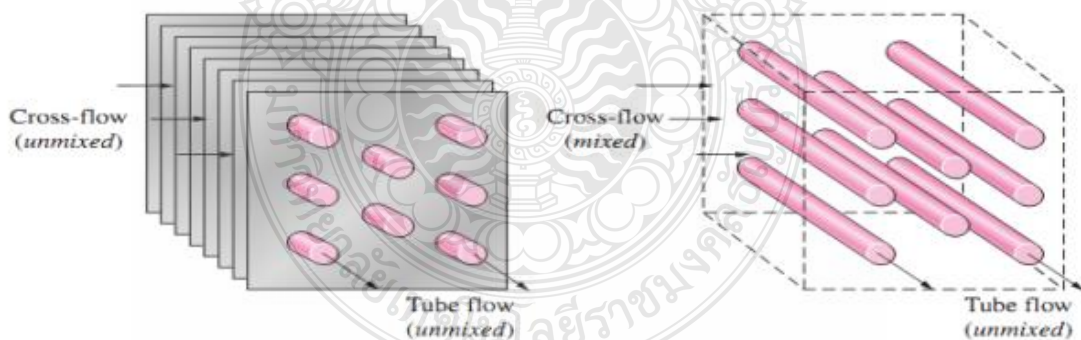
2.4.1.1 เครื่องแลกเปลี่ยนความร้อนแบบเปลือกและท่อ เครื่องแลกเปลี่ยนความร้อนชนิดนี้ของไหลอย่างหนึ่งจะอยู่ในเปลือกและอีกอย่างหนึ่งจะอยู่ในท่อ สำหรับการไหลนั้นจะอยู่ในลักษณะไหลสวนทางหรือไหลขนานก็ได้ หรือทั้งสองอย่างในเครื่องเดียวกันก็ได้ นอกจากนี้นี้อาจออกแบบให้ของไหลมีทิศทางตั้งฉากกับท่อก็ได้แสดงในรูปที่ 2.49



รูปที่ 2.49 เครื่องแลกเปลี่ยนความร้อนแบบเปลือกและท่อ

2.4.1.2 เครื่องแลกเปลี่ยนความร้อนแบบที่ของไหลมีทิศทางตั้งฉากกัน ในเครื่องแลกเปลี่ยนความร้อน แบบนี้ ของไหลจะไหลในทิศทางตั้งฉากกัน ดังแสดงในรูปที่ 2.50 การสร้างนั้นอาจให้อยู่ในลักษณะของไหล เทียบเดียวหรือ ไหลสองเที่ยวหรือมากกว่าก็ได้

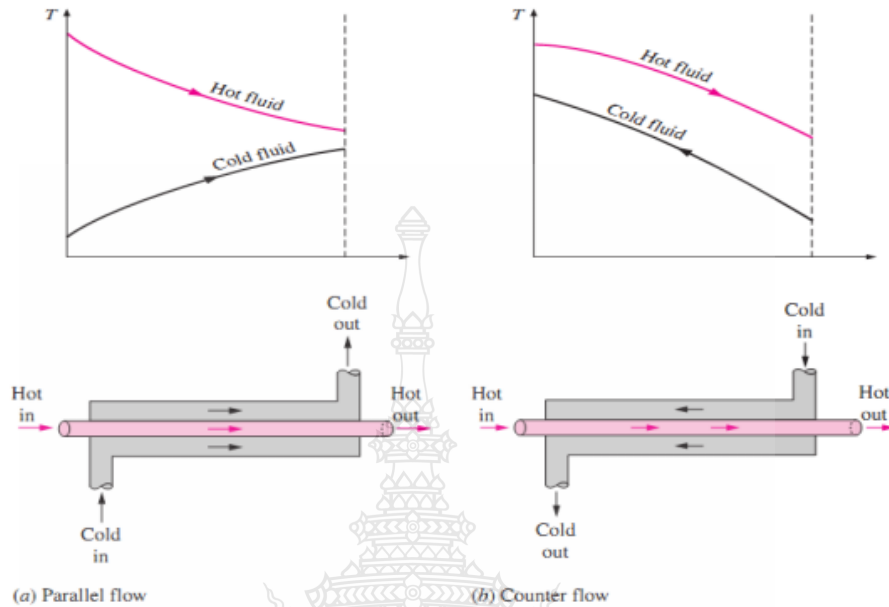
จากรูปที่ 2.50 ด้านขวา ของเหลวร้อนไหลอยู่ในท่อ ส่วนอากาศเย็นไหลผ่านบนท่อ เนื่องจากเหลวไหลอยู่ในท่อจึงไม่เกิดการผสมกันสิ่งที่เกิดขึ้นท่อใดท่อหนึ่งมีผลกระทบน้อยมากกับสิ่งที่เกิดขึ้นกับท่ออื่นๆ จากรูป 2.50 ด้านซ้าย เมื่อท่อถูกติดตั้งครบอากาศที่ไหลผ่านจะไม่ผสม การถ่ายเทความร้อนไปสู่อากาศจะมีค่าสูงมาก เนื่องจากพื้นที่ถ่ายเทความร้อนเพิ่มมากขึ้น



รูปที่ 2.50 การไหลที่แตกต่างกันใน cross flow heat exchangers

2.4.1.3 เครื่องแลกเปลี่ยนความร้อนแบบท่อสองชั้น (Concentric tube or Double pipe) เครื่องแลกเปลี่ยนความร้อนชนิดนี้อาจอยู่ในลักษณะที่ท่อสองท่อสวมเข้าด้วยกันแสดงในรูปที่ 2.51

ส่วนการไหลของของไหล อาจไหลสวนทางกัน เรียกว่า counter flow หรือไหลขนานกัน เรียกว่า parallel flow ดังแสดงในรูปที่ 2.51



รูปที่ 2.51 ลักษณะการไหลที่ต่างกันไป และการเปลี่ยนแปลงอุณหภูมิในเครื่องแลกเปลี่ยนความร้อนแบบ ท่อสองชั้น (double-pipe heat exchanger)

2.4.2 สัมประสิทธิ์ของการถ่ายเทความร้อนรวม

เมื่อพิจารณาผนังระนาบดังแสดงในรูปที่ 2.52 กระบวนการถ่ายเทความร้อนมาแสดงเป็นโครงข่ายของความต้านทานและการถ่ายเทความร้อนรวมสามารถคำนวณได้จากอัตราส่วนของอุณหภูมิแตกต่างทั้งหมดหารด้วยผลรวมของความต้านทานของความร้อนในสมการที่ 2.5

$$q = \frac{T_A - T_B}{1/h_1A + \Delta X/kA + 1/h_2A} \quad (2.5)$$

โดยที่

q = พลังงานการถ่ายเทความร้อน (kW)

T_A = อุณหภูมิของไหลร้อน A ($^{\circ}\text{C}$)

T_B = อุณหภูมิของไหลเย็น B ($^{\circ}\text{C}$)

$$\frac{1}{hA} = \text{ค่าการพาความร้อน (W)}$$

$$\Delta X/kA = \text{ค่าการนำความร้อน (W)}$$

สังเกตได้ว่า $\frac{1}{hA}$ ที่ใช้คือค่าความต้านทานของการพาความร้อน การถ่ายเทความร้อนรวมทั้งหมดจากการรวมของค่าการนำความร้อนกับการพาความร้อนให้อยู่ในเทอมของสัมประสิทธิ์ของการถ่ายเทความร้อนรวม U ซึ่งกำหนดได้จากความสัมพันธ์ดังแสดงในสมการที่ 2.6

$$q = UA\Delta T_{\text{รวม}} \quad (2.6)$$

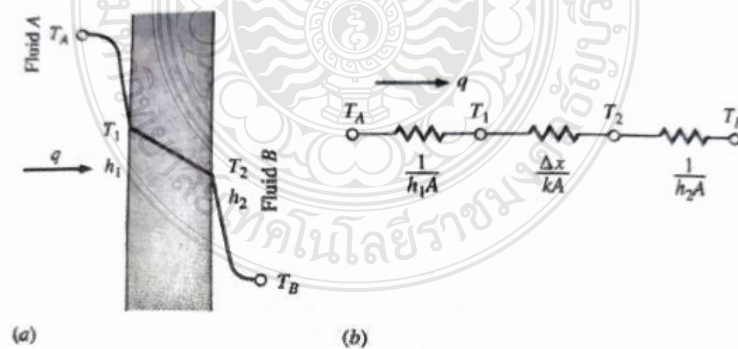
โดยที่

q = พลังงานการถ่ายเทความร้อน (KW)

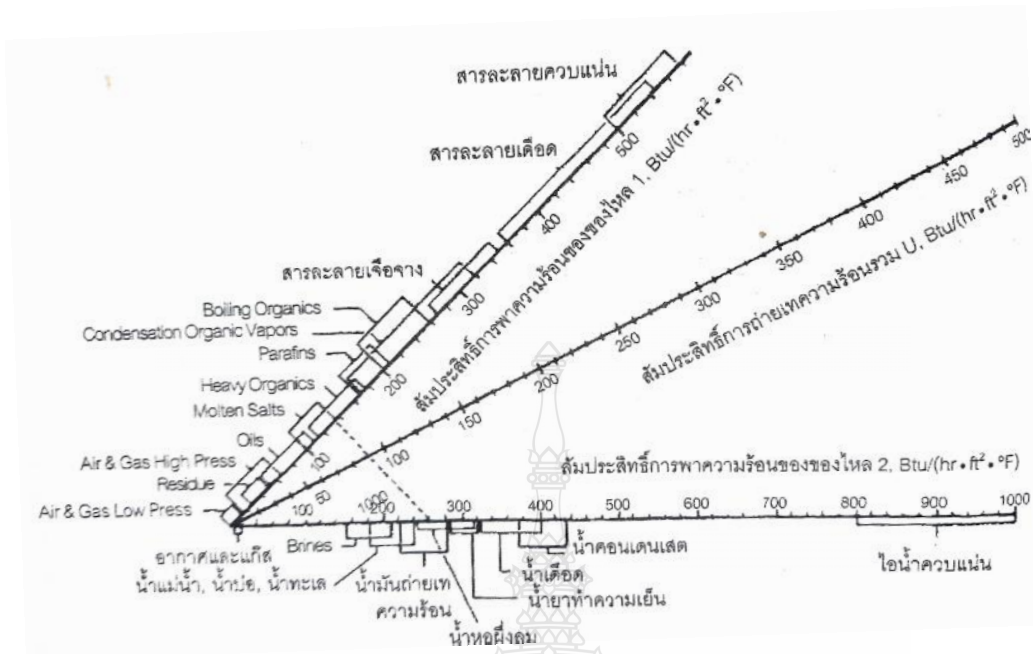
U = สัมประสิทธิ์ของการถ่ายเทความร้อนรวม ($W/m^2.K$)

A = พื้นที่การถ่ายเทความร้อน (m^2)

$\Delta T_{\text{รวม}}$ = ผลรวมของอุณหภูมิ ($^{\circ}C$)



รูปที่ 2.52 การถ่ายเทความร้อนรวมผ่านผนังระนาบ



รูปที่ 2.53 แผนภูมิสำเร็จในการหาค่าสัมประสิทธิ์ของการถ่ายเทความร้อนรวม [15]

เนื่องจากต้องการให้มีการถ่ายเทความร้อนมากๆ ดังนั้นควรใช้โลหะที่ใช้ทำท่อที่มีค่า U มากๆ โดยค่าสัมประสิทธิ์ของการถ่ายเทความร้อนรวมจะมีค่ามากเมื่อถ่ายเทให้กับน้ำและจะมีค่าน้อยเมื่อถ่ายเทความร้อนให้อากาศ

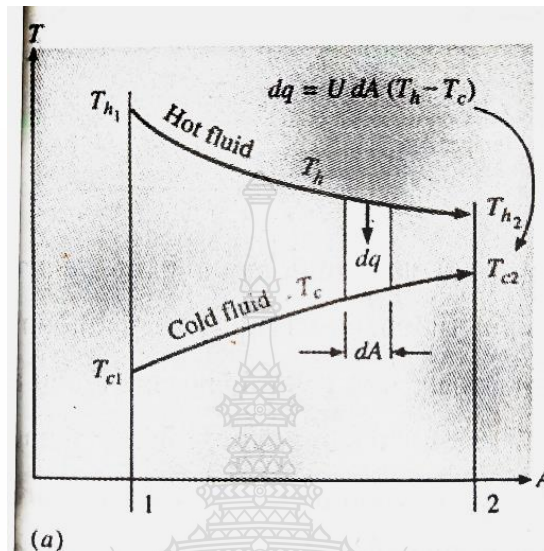
แผนภูมิสำเร็จในการหาค่าสัมประสิทธิ์ของการถ่ายเทความร้อนรวมดังแสดงในรูปที่ 2.53 จะใช้หาค่า U สัมประสิทธิ์ของการถ่ายเทความร้อนรวมแทนค่าในสมการที่ 2.6

2.43 ความแตกต่างของค่าอุณหภูมิเฉลี่ย (Log Mean Temperature Difference Method : LMTD)

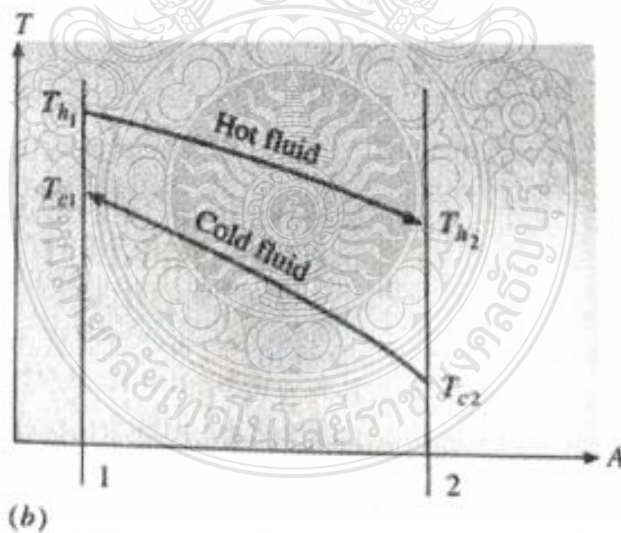
เมื่อพิจารณา $\Delta T_{รวม}$ ของไหลผ่านคอลัมน์เย็น จะทำให้อุณหภูมิลดลง ในทางปฏิบัติอัตราการลดลงจะไม่คงที่จะมีมากที่สุดเมื่อผ่านคอลัมน์เย็นแถวแรกๆ เพราะในแถวแรกอุณหภูมิระหว่างของไหลและสารทำความเย็นมีมากกว่า ในแถวต่อๆไป

อุณหภูมิของของไหลต่างๆในอุปกรณ์แลกเปลี่ยนความร้อนนั้นปกตินั้นแล้วจะมีค่าไม่คงที่ แต่จะแปรค่าจากจุดหนึ่งไปจุดหนึ่งเมื่อมีความร้อนไหลจากของไหลที่ร้อนไปของไหลที่เย็นกว่า ดังนั้นถึงแม้ว่าความต้านทานความร้อนตามทางของไหลจะมีค่าคงที่ก็ตาม อัตราการถ่ายเทความร้อนจะแปรค่าตามเส้นการไหลในอุปกรณ์แลกเปลี่ยน ความร้อน ทั้งนี้เพราะอัตราการถ่ายเทความร้อนจะแปรค่า

ตามความแตกต่างของอุณหภูมิของไหลร้อนและของไหลเย็นที่แต่หน้าตัด ดังรูปที่ 2.54 ระยะห่างระหว่างเส้นกราฟทั้งสองจะเป็นความแตกต่างของอุณหภูมิ ΔT ระหว่างของไหลทั้งสอง



รูปที่ 2.54 ลักษณะภาพด้านข้างของอุณหภูมิ การไหลแบบขนาน



รูปที่ 2.55 ภาพด้านข้างของอุณหภูมิการไหลแบบขนานในเครื่องแลกเปลี่ยนความร้อนแบบท่อคู่

ดังนั้นจะเห็นว่าค่า $Meam$ ทั้งสองจุดจะไม่ใช่จุดเดียวกัน การถ่ายเทความร้อนผ่านพื้นที่ของอีเลเมนต์ dA นำมาเขียนใหม่แสดงในสมการที่ 2.7

$$\Delta T_m = \frac{(T_{h2}-T_{c2})-(T_{h1}-T_{c1})}{\ln\left[\frac{(T_{h2}-T_{c2})}{(T_{h1}-T_{c1})}\right]} \quad (2.7)$$

โดยที่

ΔT_m = ชุดค่าอุณหภูมิแตกต่างของไหลที่ผ่านเครื่องแลกเปลี่ยนความร้อน

T_{h1} = อุณหภูมิของไหลร้อนเข้า (° C)

T_{h2} = อุณหภูมิของไหลร้อนออก (° C)

T_{c1} = อุณหภูมิของไหลเย็นเข้า (° C)

T_{c2} = อุณหภูมิของไหลเย็นออก (° C)

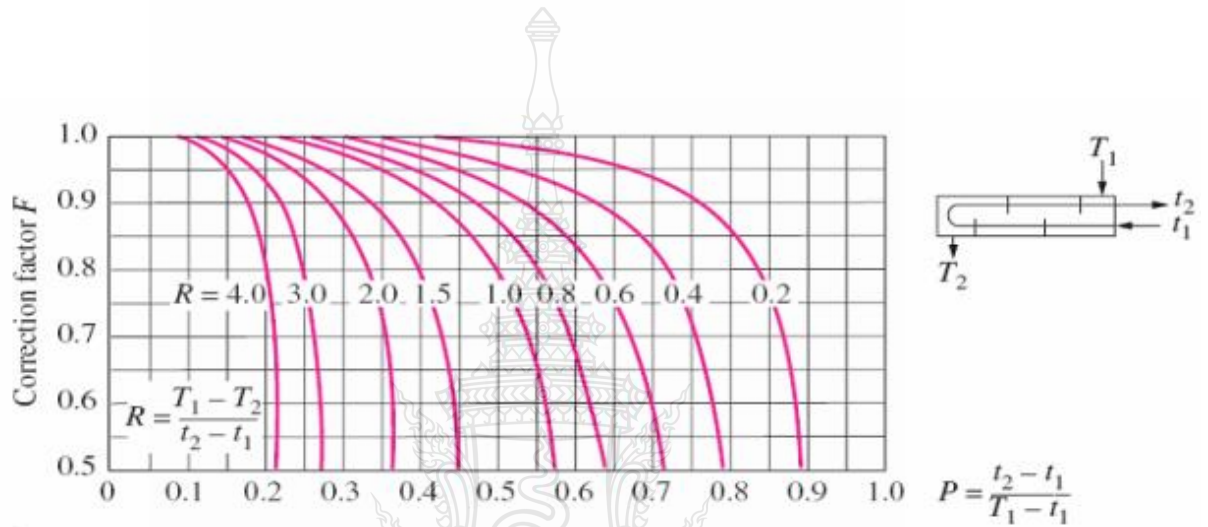
ค่า LMTD มีประโยชน์เพียงแค่ว่าใช้ในการคำนวณหาอัตราการถ่ายเทความร้อนอย่างหยาบ ๆ ทั้งนี้เพราะโดยปกติแล้วค่าของ U นี้จะไม่คงที่อย่างไรก็ตามในการออกแบบนั้นมักจะนำเอาค่า U ของหน้าตัดที่อยู่กึ่งกลางปลายทั้งสองของอุปกรณ์แลกเปลี่ยนความร้อนมาใช้ในการคำนวณโดยถือว่า มีค่าคงที่ แต่ถ้าหากค่า U นี้แปรค่ามากก็จะต้องคำนวณหาที่ละขั้นตอนโดยการนำค่า U นั้นไปแทนค่าลงในสมการแล้วอินทิเกรตหาอัตราการถ่ายเทความร้อนอีกทีหนึ่ง สำหรับอุปกรณ์แลกเปลี่ยนความร้อนที่ซับซ้อน เช่น แบบท่อกับเซลล์ที่ของไหลในท่อและในเซลล์ ไหลผ่านเครื่องหลายเที่ยวหรือ หลายกลับ หรืออุปกรณ์แลกเปลี่ยนความร้อนแบบไหลตั้งฉากที่ของไหลมีการ คลุกเคล้าปนกัน และไม่คลุกเคล้า จะหาความแตกต่างของอุณหภูมิเฉลี่ยโดยวิธีคณิตศาสตร์ได้ยากมาก วิธีที่นิยมใช้ กันก็คือ ให้ตัดแปลงค่า LMTD ที่จะนำไปใช้งานโดยการคูณด้วยแก้ไข F ที่อยู่ในรูปเส้นกราฟ ในการหาความแตกต่างของอุณหภูมิเฉลี่ยที่แท้จริงของอุปกรณ์และเปลี่ยนความร้อนที่ไหลซับซ้อนนั้น ให้คูณค่า LMTD ของอุปกรณ์และเปลี่ยนความร้อนแบบไหลสวนทางกันที่ใช้ข้อมูลอุณหภูมิของอุปกรณ์แลกเปลี่ยนความร้อนที่ไหลซับซ้อนนั้นด้วย แฟคเตอร์แก้ไข (F) ของอุปกรณ์แลกเปลี่ยนความร้อนแต่ละระบบดังแสดงในสมการที่ 2.8

$$q = UAF\Delta T_m \quad (2.8)$$

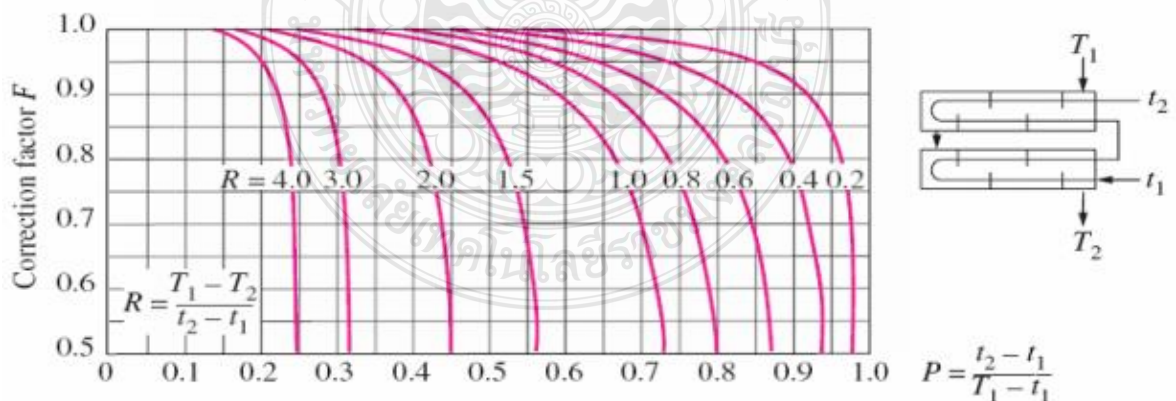
โดยการหาค่า F หาได้จากรูปที่ 2.56 ถึง รูปที่ 2.59 ลากเส้นในส่วนแนวนอน P และ ค่า R ซึ่งแทนค่าอุณหภูมิ ในสมการที่ 2.9 และ 2.10

$$P = \frac{t_2 - t_1}{T_1 - t_1} \quad (2.9)$$

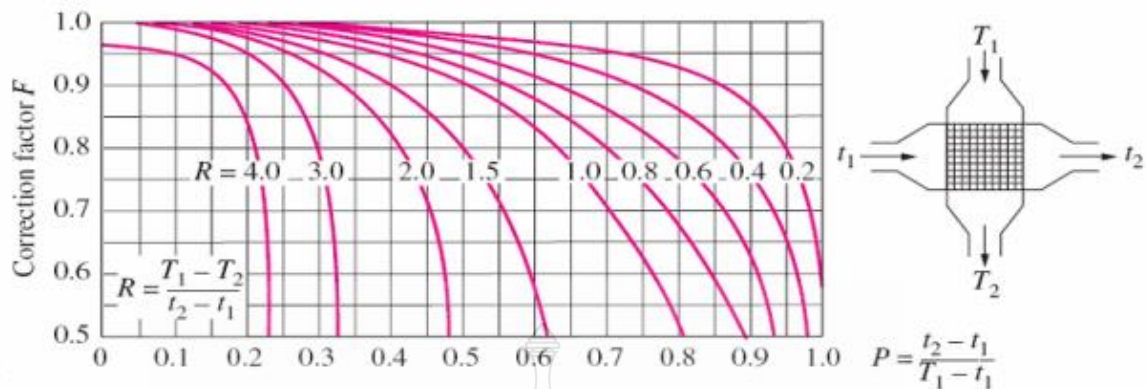
$$R = \frac{T_1 - T_2}{t_2 - t_1} \quad (2.10)$$



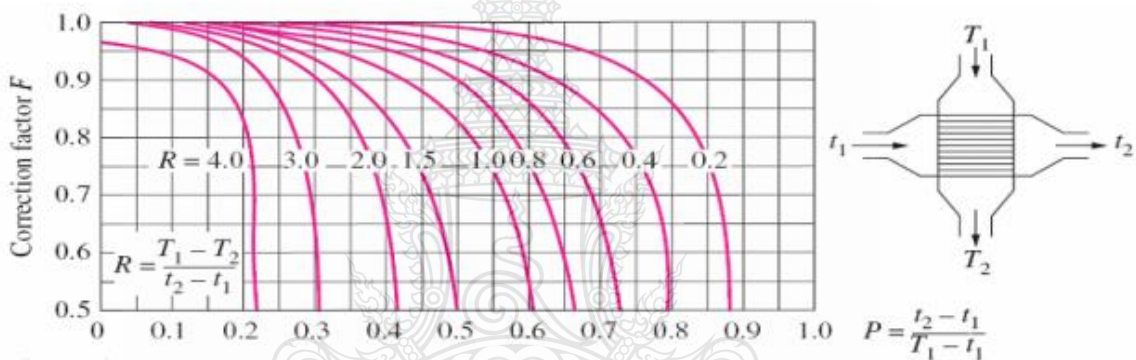
รูปที่ 2.56 อุปกรณ์แลกเปลี่ยนความร้อนแบบไหลซับซ้อนที่ของไหลในเซลล์ไหลผ่านเครื่อง เทียวเดียว ส่วนในท่อไหลผ่านเครื่อง 2,4,6,8,10,12 เทียว



รูปที่ 2.57 อุปกรณ์แลกเปลี่ยนความร้อนแบบไหลซับซ้อนที่ของไหลในเซลล์ไหลผ่านเครื่อง 2 เทียว ส่วนในท่อไหลผ่านเครื่อง 4,8,12,16,18,20,24 เทียว



รูปที่ 2.58 อุปกรณ์แลกเปลี่ยนความร้อนแบบไหลตั้งฉากที่ของไหลในเซลล์มีการคลุกเคล้าปนกัน ส่วนของไหลในท่อไม่มีการคลุกเคล้าปนกัน และไหลผ่านเครื่อง เพียงเที่ยวเดียวหรือกลับเดียว



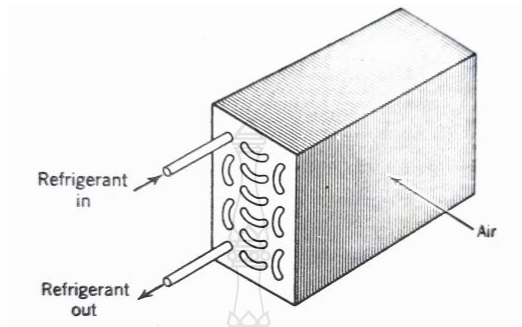
รูปที่ 2.59 อุปกรณ์แลกเปลี่ยนความร้อนแบบไหลตั้งฉากที่ของไหลแต่ละชนิดไม่มีการคลุกเคล้าปนกัน ของไหลในท่อไหลผ่านเครื่องเดียว

2.4.4 อีแวนโพเรเตอร์ [18]

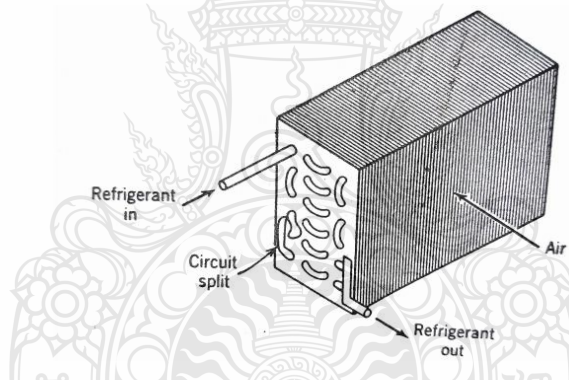
การออกแบบท่อทางอีแวนโพเรเตอร์ มีวัตถุประสงค์เพื่อลดการสูญเสียแรงดันในท่อ ถ้าแรงดันมีการสูญเสียน้อยการไหลก็จะมากขึ้น

อีแวนโพเรเตอร์แบบวงจรมีเพียงตัวเดียว ดังแสดงในรูปที่ 2.60 จะทำงานได้ภายในภาวะจำกัดอันหนึ่งคือ ถ้าภาระเพิ่มขึ้น อัตราการไหลก็จะเพิ่มขึ้น ทำให้เกิดความดันมากขึ้น ซึ่งอาจแก้ปัญหาโดยแตกเป็น 2 วงจรในส่วนล่างของอีแวนโพเรเตอร์ ทั้งนี้เพราะว่าสารทำความเย็นไหลออกด้านล่าง ซึ่งจะกลายเป็นไอเพิ่มขึ้นๆที่ทางออกทำให้เกิดแรงต้านทานเพิ่มขึ้นอีก จึงได้ต้องทำเป็น 2 วงจรที่ส่วนด้านล่างดังแสดงในรูปที่ 2.61 ในการแบ่งเป็น 2 วงจรนี้ จะทำให้สารทำความเย็นแบ่งการไหลมีผลทำให้ความเร็วในการไหลลดลง จึงทำให้ความดันต่อความยาวลดลง อีกวิธีหนึ่งที่ลดการสูญเสียแรงดันได้คือการ ติดตั้ง Header ที่ตอนบนและตอนล่างของอีแวนโพเรเตอร์แต่จะมีผลเสียคือวงจรแรงจะมีภาระ

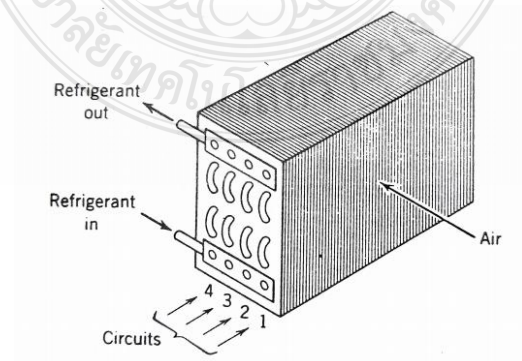
มากที่สุดจะทำให้ภาระในวงจรไม่ราบเรียบแสดงในรูปที่ 2.62 วงจรที่นิยมมากแสดงในรูปที่ 2.63 เมื่อภาระของวงจรหลายๆจะสังเกตว่าอากาศไหลสวนกับสารความเย็น จึงทำให้อัตราการถ่ายเทความร้อนสูงสุด ส่วนในรูปที่ 2.64 การไหลสวนทางของสารทำความเย็นและอากาศแบบนี้มีผลทำให้ภาระในวงจรเรียบสม่ำเสมอ



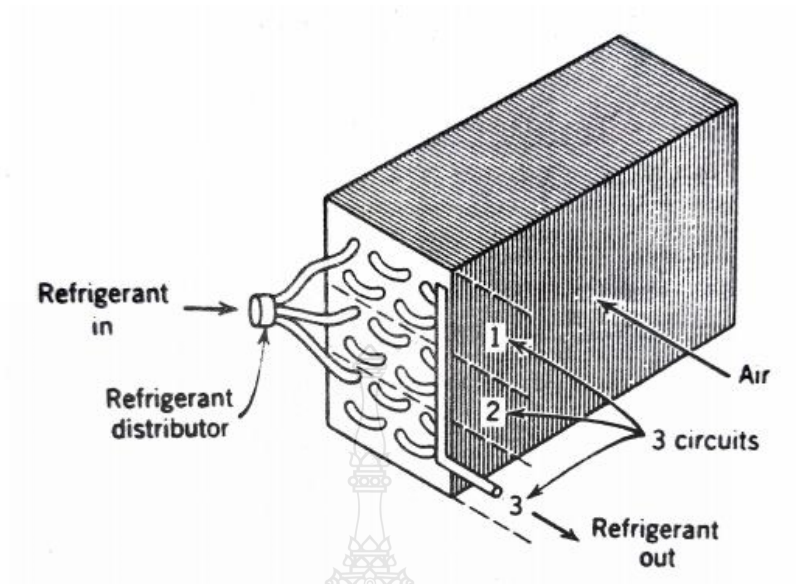
รูปที่ 2.60 อีแวปโปเรเตอร์แบบวงจรอนุกรมเดียว



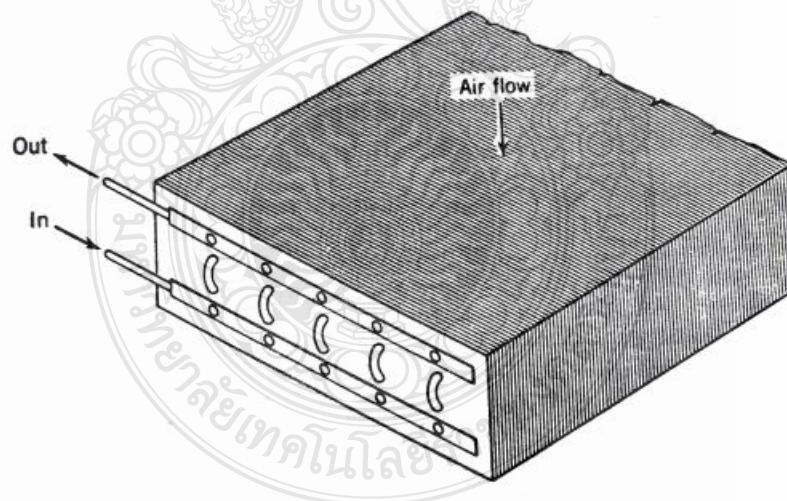
รูปที่ 2.61 อีแวปโปเรเตอร์แบบแยกวงจรสารทำความเย็น



รูปที่ 2.62 อีแวปโปเรเตอร์แบบ 4 วงจรติดตั้ง Header



รูปที่ 2.63 อีแวนโปเรเตอร์กับหัวจ่ายสารทำความเย็นข้อสังเกตสารทำความเย็นและอากาศจะไหลสวนกัน



รูปที่ 2.64 การไหลสวนทางของสารทำความเย็นและอากาศแบบนี้มีผลทำให้ภาระในวงจรเรียบสม่ำเสมอ

2.6 งานวิจัยที่เกี่ยวข้อง

จักรตุพล ลงเงิน สาขา วิชาเทคโนโลยีพลังงาน มหาวิทยาลัยเทคโนโลยีพระจอมเกล้าธนบุรี [8] ได้ศึกษาการจำลองระบบการผลิตไฟฟ้าโดยเซลล์แสงอาทิตย์สำหรับบ้านพักอาศัยโดยใช้โปรแกรม PVSYST โดยระบบจำลองการผลิตไฟฟ้าอาทิตย์จะใช้แผงเซลล์แสงอาทิตย์ชนิด (Mono Crystalline Silicon) , (Poly Crystalline Silicon) และ (Amorphous Silicon) ทำการกำหนดมุมเอียงของของแสงอาทิตย์ที่ 15 , 30 , 45 องศา กับพื้นราบ หันแผงเซลล์แสงอาทิตย์ไปทางทิศใต้ และทำการคำนวณหาปริมาณกำลังไฟฟ้าที่เซลล์แสงอาทิตย์จะผลิตได้ระยะเวลา 1 ปีที่ระบบสามารถผลิตได้ จากการศึกษาพบว่าแผงเซลล์แสงอาทิตย์ชนิด (Amorphous Silicon) ที่มีมุมเอียง 15 องศา กับพื้นราบมีประสิทธิภาพในการผลิตพลังงานไฟฟ้าดีที่สุด เมื่อทำการพิจารณาผลการทดลองที่ได้จากผลการทดลองจริงกับผลการทดลองที่ได้จากโปรแกรม PVSYST ปรากฏว่ามีค่าความคลาดเคลื่อนของโปรแกรมอยู่ที่ร้อยละ 2.59

มิตติ มาลีทิพย์วรรณ ภาควิชาวิศวกรรมเครื่องกลมหาวิทยาลัยขอนแก่น [9] งานวิจัยเป็นการศึกษาการประหยัดพลังงานของเครื่องปรับอากาศในอาคารเรียนที่มีห้องเรียนเป็นจำนวนมาก การใช้ห้องแบบไม่เป็นระเบียบไม่ต่อเนื่องจะทำให้ระบบปรับอากาศทำงานมากเกินความจำเป็น งานวิจัยนี้เล็งมีแนวคิดที่จะจัดการใช้ห้องเรียนให้ต่อเนื่องกันและใช้จำนวนห้องเรียนให้น้อยที่สุด เพื่อลดการใช้พลังงานในระบบปรับอากาศ โดยใช้โปรแกรมคอมพิวเตอร์จัดการใช้ห้องเรียนให้เป็นระบบมากขึ้นโดยคำนึงถึงการใช้พลังงานอย่างมีประสิทธิภาพ หลักการของโปรแกรมนี้คือ จัดคาบเรียนลงในห้องหมายเลขแรกให้เต็มก่อน แล้วค่อยจัดลงห้องหมายเลขลำดับถัดไปเรื่อยๆ จะทำให้คาบเรียนที่จัดลงในห้องต่อเนื่องกันมากขึ้น ลดจำนวนครั้งที่ต้องเริ่มเปิดเครื่องปรับอากาศที่สภาวะอุณหภูมิและความชื้นสูงเท่ากับอากาศนอกห้อง และสร้างโปรแกรมคอมพิวเตอร์หาการใช้พลังงานของเครื่องปรับอากาศในห้องเรียน โดยโปรแกรมนี้ใช้ได้กับเครื่องปรับอากาศที่ควบคุมแบบเปิด-ปิด หลักการคือหาเวลาทั้งหมดที่คอมเพรสเซอร์เปิดและปิด นำมาคำนวณหาการใช้พลังงานไฟฟ้า จากการใช้โปรแกรมนี้คำนวณหาการใช้พลังงานไฟฟ้าในระบบปรับอากาศของการจัดตารางการใช้ห้องแบบเดิมและแบบใช้โปรแกรมจัดตารางการใช้ห้อง เปรียบเทียบกันพบว่าการจัดตารางการใช้ห้องอย่างเป็นระบบโดยใช้โปรแกรมที่สร้างขึ้นสามารถลดการใช้พลังงานในระบบปรับอากาศในอาคารเรียนได้เท่ากับ 0.5 – 2.5 % เนื่องจากอาคารเรียนที่ใช้ทำการวิจัยครั้งนี้มีห้องเรียนอยู่ 2 ฝั่งของตัวอาคารห้องเรียนที่ตั้งอยู่ฝั่งทิศตะวันออกและฝั่งทิศตะวันตกของตัวอาคาร แสงแดดที่กระทบอาคาร ทำให้ช่วงเช้า ห้องฝั่งทิศตะวันออกของตัวอาคารมีภาระการทำความเย็นมาก, ห้องฝั่งทิศตะวันตกมีภาระการทำความเย็นน้อย และผลตรงกันข้ามในช่วงบ่าย ดังนั้นอีกแนวคิดหนึ่งของงานวิจัยนี้ คือ การใช้โปรแกรมจัดตารางการใช้ห้องโดยคำนึงถึงช่วงเวลาและภาระการทำความเย็นของห้อง หลักการของโปรแกรมนี้ คือ จัดวิชา

คาบเข้าไว้กลุ่มห้องฝั่งทิศตะวันตกที่มีภาระการทำความเย็นช่วงเช้าน้อยและจัดวิชาคาบบ่ายไว้กลุ่มห้องฝั่งทิศตะวันออกที่มีภาระการทำความเย็นช่วงบ่ายน้อย จากการคำนวณโดยใช้โปรแกรมที่สร้างขึ้นสามารถลดการใช้พลังงานในระบบปรับอากาศในอาคารเรียนได้เท่ากับ 1.6 – 5.1 %

ธนาคม สุนทรชัยนาคแสง ภาควิชาวิศวกรรมเครื่องกล สถาบันเทคโนโลยีพระจอมเกล้าพระนครเหนือ [10] แหล่งความร้อนเป็นปัจจัยสำคัญที่ต้องการประเมิน ทั้งนี้ก็เพื่อปรับสภาวะอากาศให้เหมาะสมกับการใช้งาน ไม่จะเป็นช่วงฤดูหนาวของหรือช่วงฤดูร้อนก็ตาม ล้วนต้องการการปรับสภาวะอากาศทั้งสิ้น ดังกล่าวแล้วข้างต้นจะเห็นว่า การประเมินภาระความร้อนให้ดี มีความสัมฤทธิ์ผลที่ดีนั้น ต้องมีความเข้าใจถึงการถ่ายโอนความร้อน การคำนวณปริมาณความร้อน หรือความเย็นที่ต้องการใช้ และการที่จะประมาณการให้ได้ผลนั้น ส่วนใหญ่แล้วต้องมีประสบการณ์ มีความรู้ ความเข้าใจในระบบการปรับอากาศเป็นอย่างดีด้วย ดังนั้นภาระต่างจึงขอนำสรุปอีกครั้งหนึ่งกล่าวคือประกอบด้วย ส่วนหลักๆคือ ประการแรก เป็นภาระการทำความเย็น (แหล่งความร้อนนอกอาคาร) ประการที่สอง เป็นภาระการทำความเย็น (แหล่งความร้อนในอาคาร) ประการที่สามเป็นการสะสมการทำความเย็นประการที่สี่ เป็นการแบ่งขอบเขตพื้นที่หรือการแบ่งโซน ประการที่ห้า เป็นการสูญเสียความร้อนอันเนื่องจากการภาระการทำความร้อน และรวมทั้งประการที่หก เป็นการลดภาระความร้อน โดยเฉพาะอย่างยิ่งกับการใช้ ฉนวนและอุปกรณ์บังแดด ดังกล่าวไปแล้วอย่างครบถ้วน

นายภานุ สุวิชาเชิดชู ภาควิชาวิศวกรรมเครื่องกล สถาบันเทคโนโลยีพระจอมเกล้าพระนครเหนือ [11] ได้การศึกษาการประเมินศักยภาพการใช้งานระบบกักเก็บความเย็นด้วยน้ำในอาคาร ท. 101 กฟผ. สำนักงานใหญ่กล่าวไว้ว่า การศึกษาและประเมินศักยภาพการใช้งานระบบกักเก็บความเย็นด้วยน้ำใน

อาคาร ท. 101 กฟผ. สำนักงานใหญ่ ซึ่งก่อสร้างเสร็จเรียบร้อยแล้ว โดยมีขนาดการทำความเย็น 1500 TR-hr ทดแทนเครื่องทำน้ำเย็นในระบบปรับอากาศช่วงเวลา 13:00 น. ถึง 16:00 น. ซึ่งเป็นช่วงความต้องการใช้พลังงานไฟฟ้าสูงสุดของประเทศ ระบบการทำความเย็นสำรอง (Stand-By Chiller no.4) ขนาด 500 TR น้ำเย็นที่ออกจากเครื่องทำน้ำเย็น (Chiller) มีอุณหภูมิ 6-7 ซึ่งการกักเก็บความเย็นที่ต้องการกักเก็บความเย็นคือประมาณ 7-8 ซึ่งการกักเก็บความเย็นจะกระทำในช่วงความต้องการไฟฟ้าต่ำ การทดลองได้ค่าประสิทธิภาพการทำงานเท่ากับ 0.95 และ 0.93 สำหรับช่วงการชาร์ตและดิสชาร์ตตามลำดับ และการวิเคราะห์ทางด้านการใช้พลังงานพบว่าสามารถลดความต้องการไฟฟ้าได้ 300 KW

นายสุกิตติ์ आयูยีน สาขาวิชาเทคโนโลยีการจัดการพลังงาน มหาวิทยาลัยเทคโนโลยีพระจอมเกล้าธนบุรี [12] ได้ทำการวิจัยเกี่ยวกับการเพิ่มประสิทธิภาพพลังงานของระบบปรับอากาศโดยการลดเอนทัลปีของอากาศใหม่การศึกษางานวิจัยนี้มีวัตถุประสงค์เพื่อศึกษาการนำระบบลดเอนทัลปีมาใช้

ร่วมกับระบบปรับอากาศเพื่อเพิ่มประสิทธิภาพของระบบปรับอากาศ โดยการใช้กระบวนการลดความชื้นของอากาศแวดล้อมก่อนนำเข้าสู่ระบบ ซึ่งวิธีการลดความชื้นโดยใช้สารดูดความชื้นซิลิกาเจลแล้วจึงให้อากาศไหลผ่านอุปกรณ์แลกเปลี่ยนความร้อนเพื่อลดอุณหภูมิของอากาศก่อนเข้าสู่ระบบปรับอากาศ ซึ่งเป็นการลดภาระความร้อนแฝงและภาระความร้อนสัมผัส

ในการออกแบบระบบลดเอนทัลปีที่ใช้ร่วมกับระบบปรับอากาศ แบ่งออกเป็น 3 กรณี โดยทั้ง 3 กรณีได้ทำการศึกษานำเอาข้อมูลสถานะอากาศตลอดปี แล้วนำเอาสมการทางคณิตศาสตร์ของอุปกรณ์ลดความชื้นและอุปกรณ์แลกเปลี่ยนความร้อนมาจำลองการทำงานของระบบเพื่อเปรียบเทียบจากผลการศึกษาพบว่า การจำลองการทำงานทางคณิตศาสตร์ของระบบลดเอนทัลปีสามารถลดการใช้พลังงานไฟฟ้าให้กับระบบปรับอากาศได้ โดยกรณีที่ 1 สามารถที่ลดการใช้พลังงานไฟฟ้าได้ 1217669 kWh กรณีที่ 2 สามารถที่จะลดการใช้พลังงานไฟฟ้าได้ 851291 kWh และในกรณีที่ 3 สามารถที่ลดการใช้พลังงานไฟฟ้าลงได้ 217973 kWh แต่เมื่อพิจารณาทางเศรษฐศาสตร์พบว่าในกรณี 2 สามารถที่จะให้ผลตอบแทนที่คุ้มค่ามากที่สุดโดยมีระยะเวลาคืนทุน 7.4 ปีและอัตราผลตอบแทน 12%

กรมพัฒนาพลังงานทดแทนและอนุรักษ์พลังงาน กระทรวงพลังงาน [3] ได้มีการจัดทำ คู่มือฝึกอบรมการประเมินศักยภาพการอนุรักษ์พลังงาน มีวัตถุประสงค์เพื่อให้ผู้ปฏิบัติได้ ทราบวิธีการวิเคราะห์และประเมินการใช้พลังงานรวมถึงประสิทธิภาพการใช้พลังงานของโรงงานและอาคารควบคุม ให้ผู้ปฏิบัติงานมีความรู้ในการที่จะกำหนดวิธีการอนุรักษ์พลังงาน เครื่องจักรและอุปกรณ์ที่ใช้ในโรงงานและอาคารควบคุม ได้อย่างมีประสิทธิภาพ และมีโอกาสแลกเปลี่ยนความคิดเห็นและประสบการณ์ในการอนุรักษ์พลังงาน

กรมพัฒนาพลังงานทดแทนและอนุรักษ์พลังงาน กระทรวงพลังงาน [4] ได้มีการจัดทำ คู่มือการผลิตไฟฟ้าจากพลังงานแสงอาทิตย์ การถ่ายทอดและเผยแพร่การใช้พลังงานแสงอาทิตย์ โดยเนื้อหา กล่าวถึงอุปกรณ์และวิธีการในการผลิตกระแสไฟฟ้าจากพลังงานแสงอาทิตย์

ศูนย์เทคโนโลยีอิเล็กทรอนิกส์และคอมพิวเตอร์แห่งชาติ (เนคเทค-สวทช.) [5] ได้มีการศึกษาเกี่ยวกับ ระบบปรับอากาศพลังงานแสงอาทิตย์ เครื่องปรับอากาศที่นิยมใช้อย่างแพร่หลายในปัจจุบันนี้มีอยู่ 2 ชนิด คือ เครื่องปรับอากาศชนิดอัดไอ (Vapor Compression) และเครื่องปรับอากาศชนิดดูดซึมไอ (Vapor Absorption)

สำนักงานพัฒนาพลังงานทดแทน (องค์การมหาชน) (สพร.) [6] ได้แสดงข้อมูลการใช้เชื้อเพลิงในการผลิตกระแสไฟฟ้าในประเทศไทยเช่นในปี พ.ศ. 2559 ใช้เชื้อเพลิงน้ำมันดีเซลผลิตไฟฟ้าไปจำนวน 11.95 ล้านลิตร และใช้ก๊าซธรรมชาติ (Natural Gas) ในการผลิตไฟฟ้าไป 370,981.58 ล้าน ลบ.ฟุต ซึ่งเมื่อเปรียบเทียบกับปี พ.ศ. 2565 ใช้เชื้อเพลิงน้ำมันดีเซลในการผลิตไฟฟ้าไป 1,881.95 ล้านลิตรและก๊าซธรรมชาติ (Natural Gas) ในการผลิตไฟฟ้าเป็นไป 516,557.22 ล้าน ลบ.ฟุต

บทที่ 3

ขั้นตอนการดำเนินการวิจัย

3.1 การออกแบบระบบพลังงานไฟฟ้าจากโซลาร์เซลล์ [10]

ในการออกแบบระบบพลังงานไฟฟ้าจากโซลาร์เซลล์เพื่อจ่ายให้เครื่องทำน้ำเย็นพลังงานแสงอาทิตย์โดยมีข้อมูลที่ใช้ออกแบบดังนี้

- แรงดันไฟฟ้าที่แผงโซลาร์เซลล์ผลิตได้รวมกันสูงสุดต้องไม่เกิน 80 VDC เพื่อป้องกันอันตรายจากไฟฟ้าดูด

- แบตเตอรี่ต้องจ่ายไฟฟ้าได้ 5 ชั่วโมงและเมื่อทำงานร่วมกับแผงโซลาร์เซลล์ต้องจ่ายไฟได้ตลอดในช่วงกลางวันในช่วงกลางวันเพื่อต้องการศึกษาการทำงานของระบบ

- ระบบจ่ายไฟให้กับโหลดมอเตอร์กระแสตรงขับเคลื่อนคอมเพรสเซอร์ขนาด 850 W แรงดันไฟฟ้า 24 V

- สามารถชาร์จแบตเตอรี่ให้เต็มภายใน 2 ชั่วโมง

3.1.1 แบตเตอรี่

จากข้อมูลที่ใช้ในการออกแบบระบบสำรองไฟฟ้าโดยใช้แบตเตอรี่ในการเก็บประจุไฟฟ้าที่แผงโซลาร์เซลล์ผลิตได้ เพื่อต้องการให้มอเตอร์ที่ใช้ขับเคลื่อนคอมเพรสเซอร์ ทำงานได้สม่ำเสมอราบเรียบ แบตเตอรี่ต้องจ่ายไฟฟ้าได้ 5 ชั่วโมงและเมื่อทำงานร่วมกับแผงโซลาร์เซลล์ต้องจ่ายไฟได้ตลอดในช่วงกลางวัน โดยภาระทางไฟฟ้าจะเป็นตามขอบเขตของงานวิจัยโดยใช้มอเตอร์กระแสตรงขับเคลื่อนคอมเพรสเซอร์ขนาดไม่เกิน 1,000 W แรงดันไฟฟ้า 24 V โดยในงานวิจัยนี้เลือกใช้มอเตอร์กระแสตรงขับเคลื่อนคอมเพรสเซอร์ขนาด 850 W แรงดันไฟฟ้า 24 V สูตรคำนวณที่ใช้หาขนาดของแบตเตอรี่สามารถคำนวณได้จากจากสมการที่ 3.1

ขนาดแบตเตอรี่ = ค่าพลังงานรวมที่คอมเพรสเซอร์ใช้ X ชั่วโมงที่ใช้ (ระบบจะทำงานได้โดยไม่มีภาระที่ไฟที่ 5 ชั่วโมง) / แรงดันไฟฟ้าแบตเตอรี่ X (0.6 % การใช้งานกระแสไฟฟ้าที่อยู่แบตเตอรี่) (3.1)

จะได้

$$= 850 \text{ W} \times 5 \text{ hr} / [24\text{V} \times 0.6]$$

$$= 300 \text{ Ah}$$

ดังนั้นขนาดของแบตเตอรี่ที่ใช้เลือกจะเป็นแรงดัน 24 V และกระแสไฟอยู่ที่ 300 Ah

เลือกใช้แบตเตอรี่ขนาดแรงดัน 12 V และกระแสไฟอยู่ที่ 100 Ah จำนวน 2 ลูกต่ออนุกรมกันจะได้ขนาดแรงดัน 24 V และกระแสไฟอยู่ที่ 100 Ah ใช้จำนวน 6 ชุด และต่อแบบขนานกันอีกทีจะได้กำลังไฟฟ้าขนาด 24 โวลต์ 300 Ah

3.1.2 หาขนาดของแผงโซลาร์เซลล์

การหาขนาดของแผงโซลาร์เซลล์โดยแรงดันไฟฟ้าที่แผงโซลาร์เซลล์ผลิตได้รวมกันและจ่ายออกสูงสุดต้องไม่เกิน 80 VDC เพื่อป้องกันอันตรายจากไฟฟ้าดูด ที่สามารถ ผลิตกระแสไฟฟ้าบรรจุเข้าแบตเตอรี่ 24 V ที่มีกระแสไฟขนาด 100 A เต็มภายใน 2 ชั่วโมง คำนวณได้จากจากสมการที่ 3.2

$$\begin{aligned} \text{ขนาดของแผงโซลาร์เซลล์} &= \text{พลังงานรวม/ชั่วโมงการทำงานของแผงโซลาร์เซลล์} \quad (3.2) \\ &= (24 \text{ V} \times 100 \text{ A}) / 2 \text{ hr} \\ &= 1200 \text{ W} \end{aligned}$$

เนื่องจากประสิทธิภาพของแผงโซลาร์เซลล์สูงสุดอยู่ที่ 25 %

$$\begin{aligned} \text{ขนาดของแผงโซลาร์เซลล์} &= 1200 \times 1.75 \\ &= 2100 \text{ W} \end{aligned}$$

เลือกใช้แผงโซลาร์เซลล์ขนาด 340 วัตต์ จำนวน 6 แผง จะมีขนาด 2,040 W และต่อแบบขนานกันเพื่อป้องกันแรงดันไฟฟ้าเกิน 80 VDC คิดเป็น 1 ชุด ใช้ทั้งหมด 3 ชุด หรือ 18 แผง

3.1.3 เครื่องควบคุมการประจุกระแสไฟฟ้า

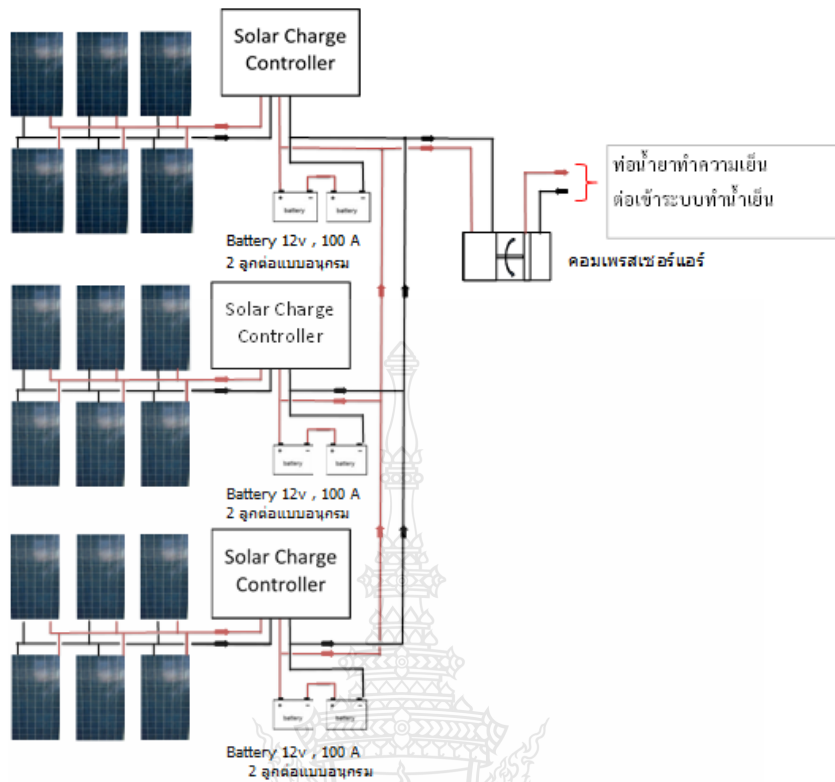
ทำหน้าที่ควบคุมการประจุกระแสไฟฟ้าลงในแบตเตอรี่ ซึ่งบางช่วงขณะก็เป็นการประจุไฟฟ้าไปด้วยพร้อมทั้งจ่ายไฟฟ้าให้ระบบทำน้ำเย็นไปด้วยแสดงในรูปที่ 3.1

การหาขนาดของเครื่องควบคุมการประจุกระแสไฟฟ้าสามารถคำนวณได้จากสมการที่ 3.3

$$\begin{aligned} \text{เครื่องควบคุมการประจุกระแสไฟฟ้า} &= 1.25 \times \text{กำลังไฟฟ้าที่ PV ผลิตได้} \quad (3.3) \\ &= 1.25 \times 2,040 \end{aligned}$$

ขนาดของเครื่องควบคุมการประจุกระแสไฟฟ้า = 2,550 W

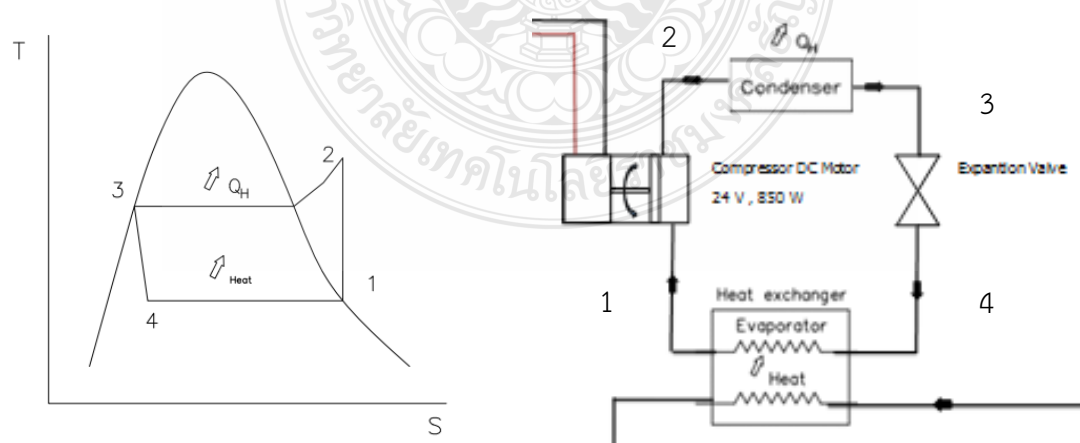
โดยขนาดของแอมป์เครื่องควบคุมการประจุกระแสไฟฟ้าอยู่ที่ 50 A เนื่องจากแบตเตอรี่ 1 ชุดจะมีขนาดกระแสไฟเท่ากับ 100 Ah ต้องการให้สามารถชาร์จเต็มภายใน 2 ชั่วโมง ดังนั้น ขนาดของเครื่องควบคุมการประจุกระแสไฟฟ้า เป็น ระบบ 24 V ขนาด 100 A ทั้งหมดใช้ 3 ชุดดังที่ได้แสดงในรูปที่ 3.1 แผนภาพไดอะแกรมระบบผลิตไฟฟ้าด้วยโซลาร์เซลล์ของเครื่องทำน้ำเย็นแบบอัดไอ ด้าน



รูปที่ 3.1 แผนภาพไดอะแกรมระบบผลิตไฟฟ้าด้วยโซลาเซลล์ของเครื่องทำน้ำเย็นแบบอัตโนมัติ

3.2 เขียนแผนภาพวัฏจักรทำความเย็นแบบอัตโนมัติ

จากหัวข้อที่ 2.3 วัฏจักรทำความเย็นแบบอัตโนมัติที่ใช้เป็นต้นแบบคือ วัฏจักรคาร์โนต์ แสดงในรูปที่ 3.2



รูปที่ 3.2 วัฏจักรทำความเย็นแบบอัตโนมัติที่ใช้เป็นต้นแบบคือ วัฏจักรคาร์โนต์

3.3 การคำนวณขนาดถังกักเก็บความเย็นด้วยน้ำหาได้จากสมการที่ 2.4

ถังกักเก็บความเย็นด้วยน้ำในงานวิจัยนี้ใช้สำหรับกักเก็บน้ำเย็นที่ผลิตได้จากเครื่องผลิตน้ำเย็นพลังงานแสงอาทิตย์ที่สร้างขึ้น [5]

$$CUM = \frac{RTH \times 3024kcal /RTH}{\eta_T \times \Delta T \times 1000kcal/C^\circ.m^3} \quad (2.4)$$

$$= \frac{3 \times 3024/3}{0.08 \times 10 \times 1000}$$
$$= 3.78 m^3$$

โดยที่

CUM = ปริมาตรของถังเก็บน้ำเย็น (m^3)

RTH = จำนวนตันความเย็นที่สะสมเท่ากับ 3 ตันความเย็น

ΔT = ผลต่างของอุณหภูมิด้านเข้าและออกจากถังกักเก็บความเย็นด้วยน้ำเท่ากับ 10

η_T = ประสิทธิภาพของถังกักเก็บความเย็นด้วยน้ำเท่ากับ 80 เปอร์เซ็นต์

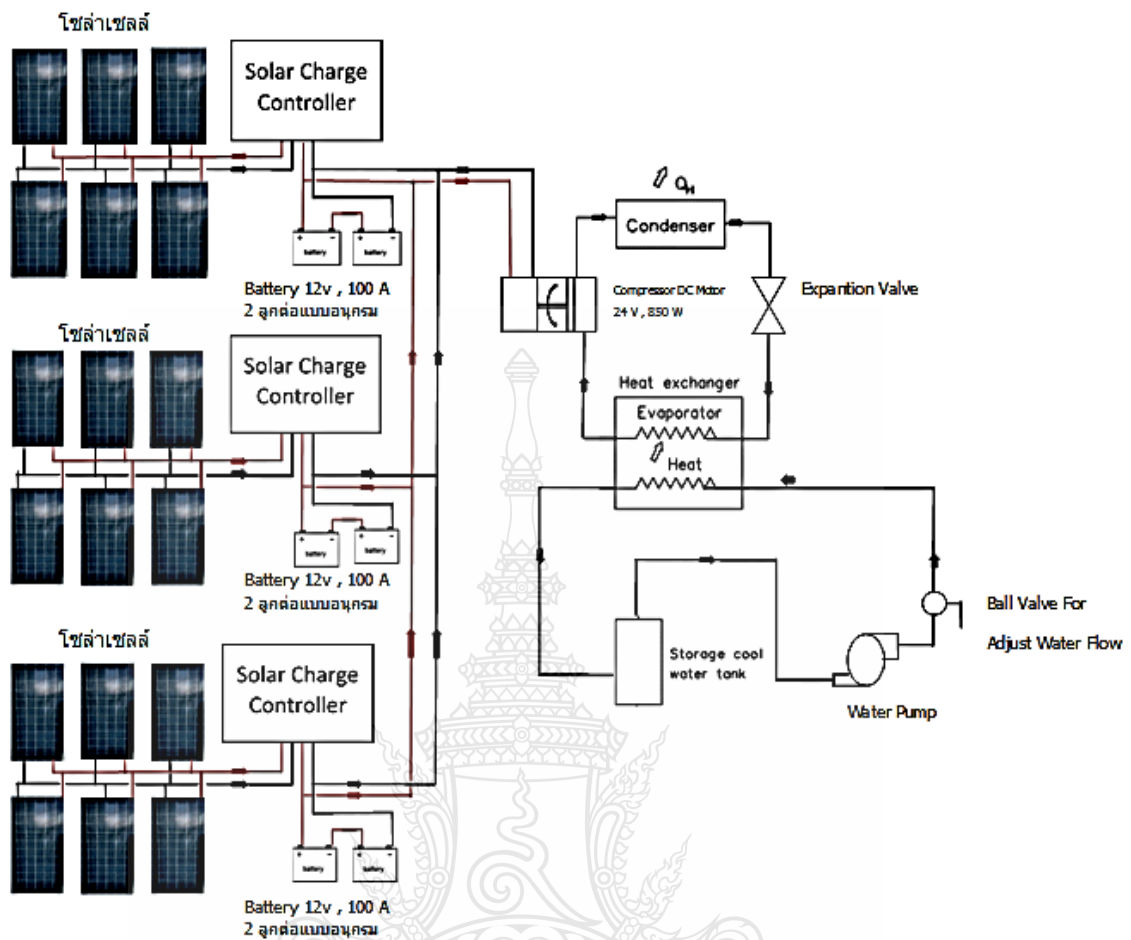
หมายเหตุ : การหาขนาดถังกักเก็บความเย็นด้วยน้ำ ในการทำงานวิจัยนี้ใช้ ขนาด 3,000 ลิตร เนื่องจากอัตราของน้ำเย็นเท่ากับ 1 GPM หรือ 3.78 L/min ซึ่งน้ำในถังกักเก็บความเย็นด้วยน้ำจะสามารถใช้งานได้ 13 ชั่วโมงเป็นข้อมูลในการออกแบบ

3.4 เขียนแผนภาพไดอะแกรมอุปกรณ์

ก่อนที่จะทำการสร้างเครื่องทดลองในการทำวิจัยของวิทยานิพนธ์ จำเป็นต้องเขียนแผนภาพไดอะแกรมอุปกรณ์เพื่อให้ทราบถึงอุปกรณ์หลักๆ ที่จำเป็นต้องใช้ โดยถ้าพิจารณาระบบทำน้ำเย็นพลังงานแสงอาทิตย์โดยใช้มอเตอร์กระแสตรงขับเคลื่อนระบบทำความแบบอัดไอ จะสามารถแบ่งออกเป็น 3 ส่วนใหญ่ๆก็คือ

- ระบบผลิตกระแสไฟฟ้าจากแสงอาทิตย์
- ระบบกักเก็บพลังงานด้วยแบตเตอรี่
- ระบบทำน้ำเย็น

ดังที่ได้แสดงระบบทำน้ำเย็นพลังงานแสงอาทิตย์โดยใช้มอเตอร์กระแสตรงขับเคลื่อนระบบทำความแบบอัดไอไว้ในรูปที่ 3.3



รูปที่ 3.3 แผนภาพไดอะแกรมอุปกรณ์เครื่องทำความเย็นแบบไออัดพลังงานแสงอาทิตย์

3.5 เลือกอุปกรณ์ที่ใช้สร้างเครื่องทดลอง

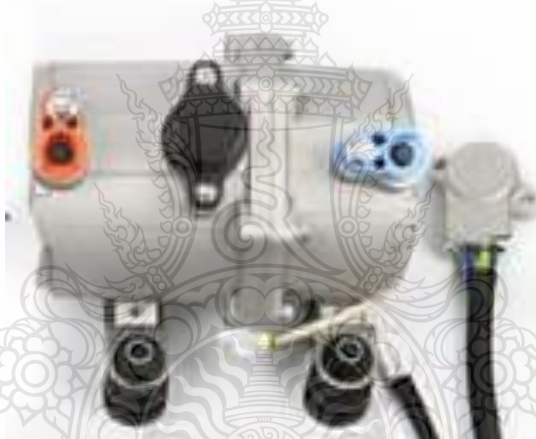
ขอบเขตของงานวิจัยเล่มนี้คือการใช้มอเตอร์กระแสตรงขับเคลื่อนคอมเพรสเซอร์ (Compressor) ขนาดไม่เกิน 1,000 W จึงเลือกใช้อุปกรณ์ระบบปรับอากาศของรถยนต์เนื่องจากสามารถหาซื้อได้ง่ายราคาอยู่ในงบประมาณที่คาดไว้เพื่อนำมาประกอบเป็นเครื่องทดสอบในงานวิจัย และขนาดของมอเตอร์กระแสตรงที่ใช้ขับเคลื่อนคอมเพรสเซอร์ จึงมีขนาด 850 W , 24 V และกินกระแสไฟอยู่ที่ 30 – 40 A โดยอุปกรณ์ที่เลือกใช้ทั้งหมดมีดังนี้

3.5.1 แผงโซลาร์เซลล์ที่ใช้เป็นของยี่ห้อ Solar Module ขนาด 330 W เป็นแบบโพลีคริสตัลไลน์ ใช้เป็นที่ผลิตพลังงานจากแสงอาทิตย์จำนวน 18 แผงตามที่ได้คำนวณในหัวข้อที่ 3.1.3



รูปที่ 3.4 แผงโซลาร์เซลล์ที่ใช้เป็นของยี่ห้อ Solar Module ขนาด 330 W

3.5.2 คอมเพรสเซอร์ที่นำมาใช้เป็นแบบมี DC มอเตอร์ในตัวขนาด 850 W , 24 V , 30 – 40 A ใช้กับสารทำความเย็น R-134a

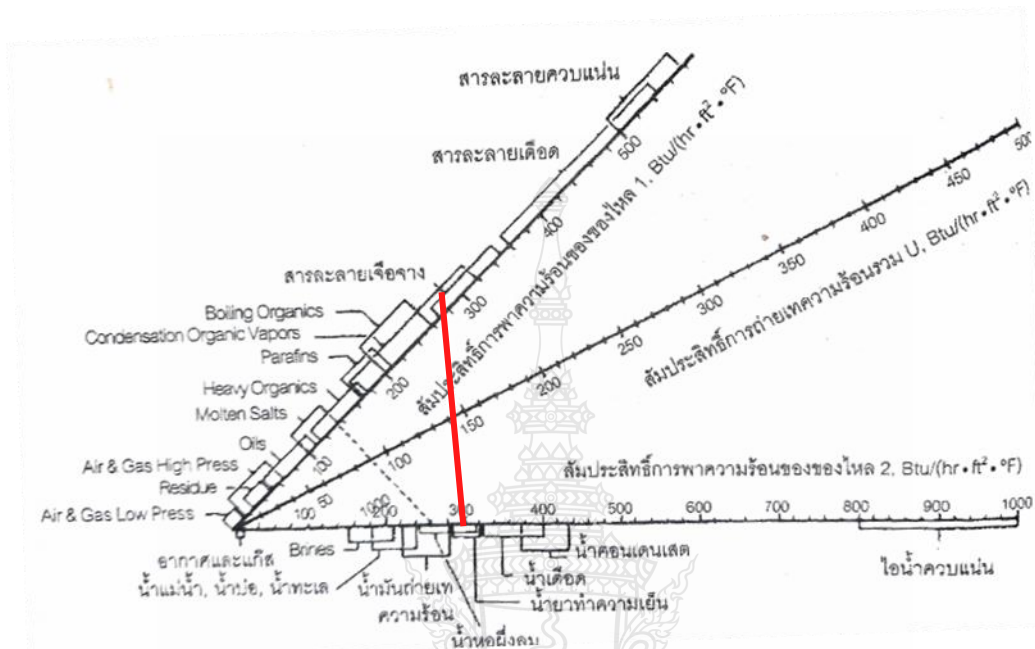


รูปที่ 3.5 คอมเพรสเซอร์

3.5.3 อุปกรณ์แลกเปลี่ยนความร้อน จะใช้เป็นท่อ PVC ขนาดเส้นผ่านศูนย์กลางขนาด 6 นิ้ว ทำเป็นเปลือกหุ้มเพื่อป้องกันน้ำรั่วซึมและภายในจะติดตั้งคอยล์เย็นหรืออีแวปโปเรเตอร์รูปทรงเป็นแท่งสี่เหลี่ยมแบบที่แสดงในรูปที่ 2.63 ได้มีการตรวจสอบเลือกขนาดของอีแวปโปเรเตอร์ที่อยู่ด้านในโดยใช้ ทฤษฎีที่แสดงในหัวข้อที่ 2.4 โดยเบื้องต้นใช้ขนาด $q = 850 \text{ W}$ ค่าการถ่ายเทความร้อนมาจากขนาดของกำลังไฟฟ้ามอเตอร์ที่ใช้ขับเคลื่อนคอมเพรสเซอร์ออกมาแบบเบื้องต้นโดยยังไม่ได้คำนวณค่า COP แต่อย่างไร

หาค่าสัมประสิทธิ์ของการถ่ายเทความร้อนรวม U รูปที่ 2.53 โดยสัมประสิทธิ์ของการถ่ายเทความร้อนรวม 1 เป็นสารละลายเจือจาง เนื่องจากน้ำเย็นในระบบทำความเย็นหรือระบบปรับอากาศจะถูกผสมด้วยสารเคมีต่างๆ เพื่อป้องกันการเกิดสนิมในท่อ และสัมประสิทธิ์ของการถ่ายเทความร้อน

ร้อนรวม 2 เป็นน้ำยาทำความเย็น ลากเส้นตัดกันดังแสดงในรูปที่ ได้ค่าสัมประสิทธิ์ของการถ่ายเทความร้อนรวมเท่ากับ 145 Btu/(hr·ft²·F) เท่ากับ 457.11 W/m²·K



รูปที่ 3.6 แสดงหาค่าสัมประสิทธิ์ของการถ่ายเทความร้อนรวม จากแผนภูมิสำเร็จในการหาค่าสัมประสิทธิ์ของการถ่ายเทความร้อนรวม รูปที่ 2.53

หาค่า F โดยแทนค่าอุณหภูมิในสมการที่ 2.9 กับ 2.10 , P และ R ตามลำดับ โดยที่เครื่องแลกเปลี่ยนความร้อนแบบเปลือกและท่อ ในรูปที่ 2.56 อุปกรณ์แลกเปลี่ยนความร้อนแบบไหลซับซ้อนที่ของไหลในเซลล์ไหลผ่านเครื่อง เทียบเดียวส่วนในท่อไหลผ่านเครื่อง 2,4,6,8,10,12 เที้ยว

$$P = \frac{t_2 - t_1}{T_1 - t_1} \quad (2.9)$$

$$R = \frac{T_1 - T_2}{t_2 - t_1} \quad (2.10)$$

โดยที่

$T_1 = T_{h1} = 27 \text{ }^{\circ}\text{C}$ เป็นอุณหภูมิน้ำเย็นก่อนเข้าเครื่องแลกเปลี่ยนความร้อน

$T_2 = T_{h2} = 24 \text{ }^{\circ}\text{C}$ เป็นอุณหภูมิน้ำเย็นออกจากเครื่องแลกเปลี่ยนความร้อน

$t_1 = T_{C_1} = 0\text{ }^{\circ}\text{C}$ เป็นอุณหภูมิสารทำความเย็นก่อนเข้าเครื่องแลกเปลี่ยนความร้อน

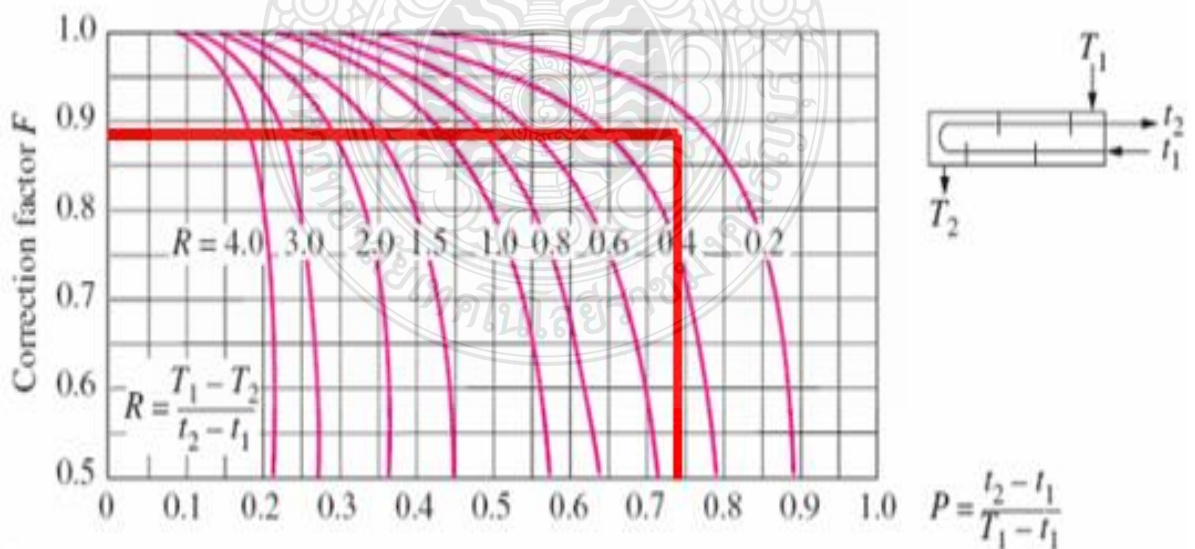
$t_2 = T_{C_2} = 20\text{ }^{\circ}\text{C}$ เป็นอุณหภูมิสารทำความเย็นออกจากเครื่องแลกเปลี่ยนความร้อน

ความแตกต่างของน้ำเย็นก่อนและหลังเข้าเครื่องแลกเปลี่ยนความร้อนอยู่ที่ $3\text{ }^{\circ}\text{C}$ และค่าอุณหภูมิต่างๆ ที่ใช้ในการออกแบบเป็นสมมุติฐานเบื้องต้นในการหาขนาด ฮีลเวปโพเรเตอร์ที่อยู่ด้านในงานวิจัยนี้ให้สอดคล้องกับข้อมูลในการออกแบบที่และจะมีการเปรียบเทียบกับผลการทดลองอีกที่แทนค่าในสมการที่ 2.9 จะได้

$$P = \frac{20 - 0}{27 - 0} = 0.74$$

แทนค่าในสมการที่ 2.10 จะได้

$$R = \frac{27 - 22}{22 - 0} = 0.22$$



รูปที่ 3.7 การหาค่า F จากรูปที่ 2.56 อุปกรณ์แลกเปลี่ยนความร้อนแบบไหลซับซ้อนที่ของไหลในเซลล์ไหลผ่านเครื่อง เที้ยวเดียวส่วนในท่อไหลผ่านเครื่อง 2,4,6,8,10,12 เที้ยว ได้ค่า F = 0.89

หาค่า ΔT_m โดยแทนค่าในสมการที่ 2.7

$$\Delta T_m = \frac{(T_{h2}-T_{c2})-(T_{h1}-T_{c1})}{\ln\left[\frac{(T_{h2}-T_{c2})}{(T_{h1}-T_{c1})}\right]} \quad (2.7)$$

$$\Delta T_m = \frac{(22-20)-(27-0)}{\ln\left[\frac{(22-20)}{(27-0)}\right]}$$

$$= 9.60$$

แทนค่าในสมการที่ 2.6 หาพื้นที่ของเครื่องแลกเปลี่ยนความร้อน จะได้

$$A = \frac{q}{UF\Delta T_m}$$

$$= \frac{850}{(457.11)(0.89)(9.6)}$$

$$= 0.21 \text{ m}^2$$

เมื่อพิจารณาเครื่องแลกเปลี่ยนความร้อนแบบเปลือกและท่อที่ใช้ผลิตน้ำเย็นในงานวิจัยนี้



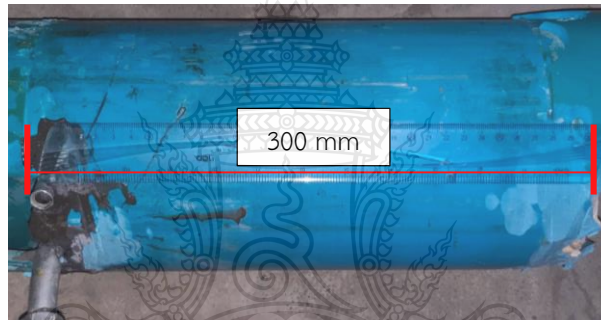
รูปที่ 3.8 แสดงเครื่องแลกเปลี่ยนความร้อนแบบเปลือกและท่อโดยติดตั้งอีแวปโปเรเตอร์อยู่ด้านใน



รูปที่ 3.9 แสดงเครื่องแลกเปลี่ยนความร้อนแบบเปลือกและท่อโดยติดตั้งอีแวปโปเรเตอร์อยู่ด้านใน
ขนาดของท่อสารทำความเย็นเท่ากับ 8 mm



รูปที่ 3.10 แสดงเครื่องแลกเปลี่ยนความร้อนแบบเปลือกและท่อ ทางเดินน้ำเย็นและท่อสารทำความเย็นเดินผ่านทั้งหมด 32 ครั้ง



รูปที่ 3.11 แสดงเครื่องแลกเปลี่ยนความร้อนแบบเปลือกและท่อโดยติดตั้งฮีวเปโพเรเตอร์อยู่ด้านใน ขนาดของความยาวท่อสารทำความเย็นเท่ากับ 300 mm

โดยจากข้อมูลรูปที่ 2.6 ถึง รูปที่ 2.11 สามารถหาพื้นที่ของการถ่ายเทความร้อนของฮีวเปโพเรเตอร์ที่เราเลือกได้จากสมการที่ 3.4

พื้นที่ของการถ่ายเทความร้อนของฮีวเปโพเรเตอร์ = เส้นรอบวงท่อสารทำความเย็น \times ความยาวท่อสารทำความเย็น \times จำนวนครั้งที่ท่อสารทำความเย็นไหลผ่าน

$$= (0.008 \times \pi) \times 0.3 \times 32 \quad (3.4)$$

$$= 0.241 \text{ m}^2$$

โดยที่

เส้นรอบวงท่อสารทำความเย็น เท่ากับ 0.008 m จากรูปที่ 3.9

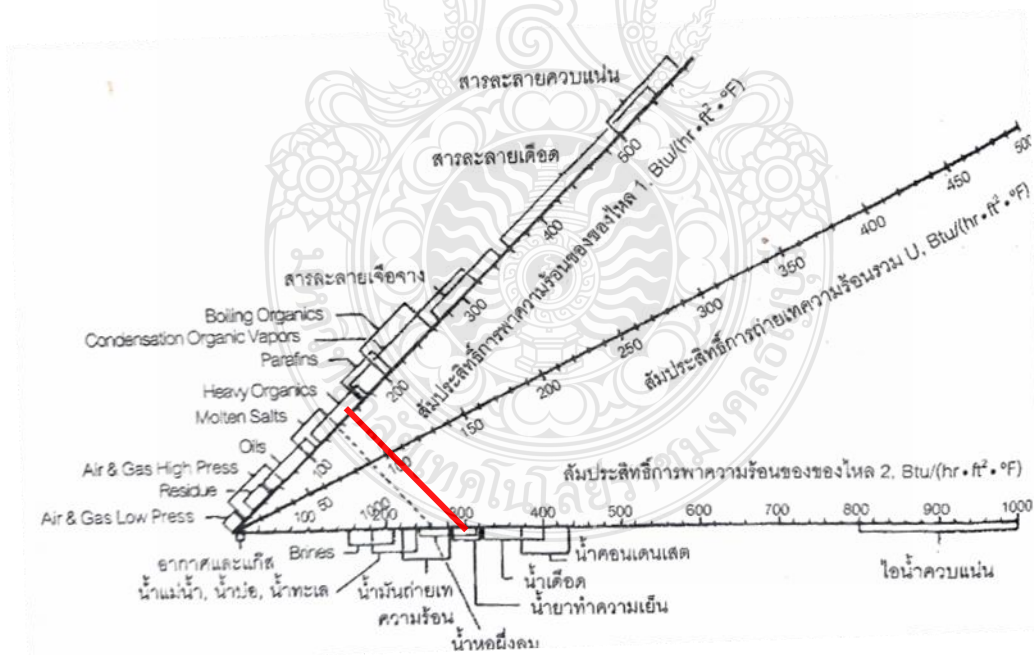
ความยาวท่อสารทำความเย็น เท่ากับ 0.3 m จากรูปที่ 3.11

จำนวนครั้งที่ท่อสารทำความเย็นไหลผ่าน เท่ากับ 32 ครั้ง จากรูปที่ 3.10

เมื่อนำไปเปรียบเทียบกับขนาดพื้นที่การถ่ายเทความร้อนที่คำนวณได้คือ $= 0.21 \text{ m}^2$ ซึ่งมีขนาดใกล้เคียงกันดังนั้นสามารถใช้อีแวปอเรเตอร์ตัวนี้ได้ แต่ในทางปฏิบัติควรจะคูณค่า COP ที่มีค่า 3.5 ตามมาตรฐานของเครื่องปรับอากาศเข้าไปกับค่าการถ่ายเทความร้อน q ด้วยจะได้ค่า COP ใกล้เคียงกับค่ามาตรฐานในการออกแบบ จากการคำนวณค่าค่า COP ที่ได้จากการเดินเครื่องจริงอยู่ที่ 1 กว่าๆ ซึ่งจะเป็นการพิสูจน์ความคาดเคลื่อนในการออกแบบได้

3.3.4 คอนเดนเซอร์หรือคอยล์ร้อนมีหน้าที่ เพื่อใช้สำหรับอัดน้ำยาในระบบทำน้ำเย็นเช่นกัน ใช้ตัวระบายความร้อนของสารทำความเย็น ทฤษฎีที่แสดงในหัวข้อที่ 2.4 โดยเบื้องต้นใช้ขนาด $q = 850 \text{ W}$ ค่าการถ่ายเทความร้อนมาจากขนาดของกำลังไฟฟ้ามอเตอร์ที่ใช้ขับเคลื่อนคอมเพรสเซอร์ออกมาเบื้องต้นโดยยังไม่ได้คูณค่า COP แต่อย่างใด

หาค่าสัมประสิทธิ์ของการถ่ายเทความร้อนรวม U รูปที่ 2.53 โดยสัมประสิทธิ์ของการถ่ายเทความร้อนรวม 1 เป็น Heavy Organics และสัมประสิทธิ์ของการถ่ายเทความร้อนรวม 2 เป็น น้ำยาทำความเย็น ลากเส้นตัดกันดังแสดงในรูปที่ ได้ค่าสัมประสิทธิ์ของการถ่ายเทความร้อนรวมเท่ากับ $100 \text{ Btu}/(\text{hr}\cdot\text{ft}^2\cdot\text{F})$ เท่ากับ $315.25 \text{ W}/\text{m}^2$



รูปที่ 3.12 แสดงหาค่าสัมประสิทธิ์ของการถ่ายเทความร้อนรวม จากแผนภูมิสำเร็จในการหาค่าสัมประสิทธิ์ของการถ่ายเทความร้อนรวมรูปที่ 2.53

หาค่า F โคนแทนค่าอุณหภูมิในสมการที่ 2.9 กับ 2.10 , P และ R โดยที่เครื่องแลกเปลี่ยนความร้อนแบบเปลือกและท่อ ในรูปที่ 2.56 อุปกรณ์แลกเปลี่ยนความร้อนแบบไหลซับซ้อนที่ของไหลในเซลล์ไหลผ่านเครื่อง เที้ยวเดียวส่วนในท่อไหลผ่านเครื่อง 2,4,6,8,10,12 เที้ยว

$$P = \frac{t_2 - t_1}{T_1 - t_1} \quad (2.9)$$

$$R = \frac{T_1 - T_2}{t_2 - t_1} \quad (2.10)$$

กำหนดให้

$T_1 = T_{h1} = 30 \text{ }^{\circ}\text{C}$ เป็นอุณหภูมิอากาศก่อนเข้าเครื่องแลกเปลี่ยนความร้อน

$T_2 = T_{h2} = 36 \text{ }^{\circ}\text{C}$ เป็นอุณหภูมิอากาศออกจากเข้าเครื่องแลกเปลี่ยนความร้อน

$t_1 = T_{c1} = 60 \text{ }^{\circ}\text{C}$ เป็นอุณหภูมิสารทำความเย็นก่อนเข้าเครื่องแลกเปลี่ยนความร้อน

$t_2 = T_{c2} = 40 \text{ }^{\circ}\text{C}$ เป็นอุณหภูมิสารทำความเย็นออกจากเข้าเครื่องแลกเปลี่ยนความร้อน

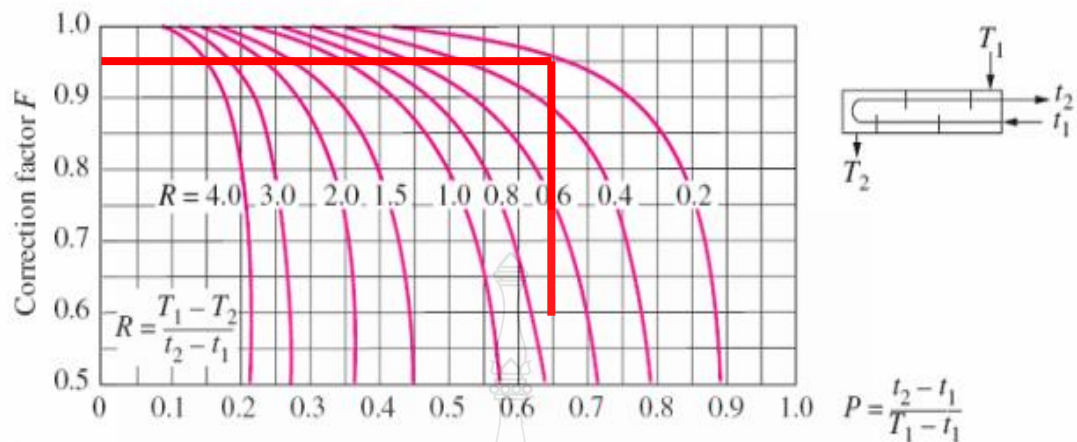
ค่าอุณหภูมิต่างๆ ที่ใช้เป็นสมมุติฐานเบื้องต้นในการหาขนาด เครื่องแลกเปลี่ยนความร้อนที่ใช้ในงานวิจัยนี้เพื่อให้สอดคล้องกับข้อมูลในการออกแบบที่และจะมีการเปรียบเทียบกับผลการทดลองที่อีกที่

แทนค่าในสมการที่ 2.9 จะได้

$$P = \frac{40 - 60}{30 - 60} = 0.66$$

แทนค่าในสมการที่ 2.10 จะได้

$$R = \frac{30 - 26}{40 - 60} = 0.3$$



รูปที่ 3.13 การหาค่า F จากรูปที่ 2.53 อุปกรณ์แลกเปลี่ยนความร้อนแบบไหลซับซ้อนที่ของไหลในเซลล์ไหลผ่านเครื่อง เทียวเดียวส่วนในท่อไหลผ่านเครื่อง 2,4,6,8,10,12 เทียว ได้ค่า $F = 0.94$ หาค่า ΔT_m โดยแทนค่าในสมการที่ 2.7

$$\Delta T_m = \frac{(T_{h2} - T_{c2}) - (T_{h1} - T_{c1})}{\ln \left[\frac{(T_{h2} - T_{c2})}{(T_{h1} - T_{c1})} \right]} \quad (2.7)$$

$$\Delta T_m = \frac{(36-40) - (30-60)}{\ln \left[\frac{(36-40)}{(30-60)} \right]}$$

$$= -12.90$$

แทนค่าในสมการที่ 2.6 หาพื้นที่ของเครื่องแลกเปลี่ยนความร้อน จะได้

$$A = \frac{q}{UF\Delta T_m}$$

$$= \frac{(850)}{(315.25)(0.94)(-20.99)}$$

$$= 0.22 \text{ m}^2$$

โดยจากข้อมูลรูปที่ 2.6 ถึง รูปที่ 2.11 สามารถหาพื้นที่ของการถ่ายเทความร้อนของคอนเดนเซอร์หรือคอยล์ร้อนที่เราเลือกได้จากสมการที่ 3.5

$$\begin{aligned} \text{พื้นที่ของการถ่ายเทความร้อนของคอนเดนเซอร์} &= \text{เส้นรอบวงท่อสารทำความเย็น} \times \text{ความยาวท่อสาร} \\ &\quad \text{ทำความเย็น} \times \text{จำนวนท่อสารทำความเย็น} \quad (2.7) \\ &= (0.035) \times 0.45 \times 30 \\ &= 0.47 \text{ m}^2 \end{aligned}$$

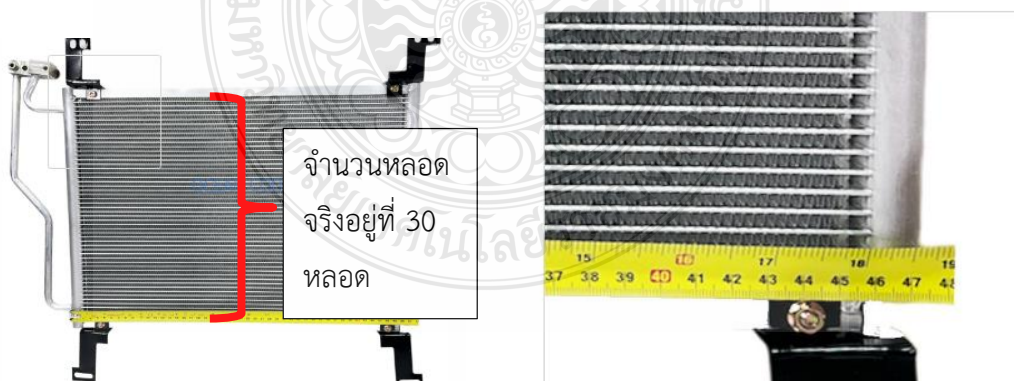
โดยที่

เส้นรอบวงท่อสารทำความเย็น เท่ากับ 0.035 m จากรูปที่ 3.14

ความยาวท่อสารทำความเย็น เท่ากับ 0.45 m จากรูปที่ 3.14

จำนวนครั้งที่ท่อสารทำความเย็นไหลผ่าน เท่ากับ 30 ครั้ง จากรูปที่ 3.14

เมื่อนำไปเปรียบเทียบกับขนาดพื้นที่การถ่ายเทความร้อนที่คำนวณได้คือ = 0.22 m² ซึ่งมีขนาดน้อยกว่าพื้นที่ของคอนเดนเซอร์ที่มีอยู่ คือ 0.47 m² เนื่องจากสภาวะตำแหน่งที่ตั้งของคอนเดนเซอร์ค่อนข้างสกปรกอาจมีสิ่งสกปรกพวกฝุ่น น้ำโคลนมาเกาะทำให้เสียพื้นที่ถ่ายเทความร้อนไปบ้างดังนั้นควรให้คอนเดนเซอร์มีขนาดพื้นที่ใหญ่กว่าที่คำนวณไว้



รูปที่ 3.14 แสดงเครื่องแลกเปลี่ยนความร้อนหรือคอนเดนเซอร์โดยขนาดความยาว 450 mm จำนวนหลอดจริงอยู่ที่ 30 , ความหนา 15 mm. ขนาดพื้นที่การถ่ายเทความร้อนเท่ากับ 0.47 m²

3.3.5 ปั้มน้ำเย็นเป็น 220 V , 0.5 m³/hr ใช้เป็นปั้มน้ำเย็นจ่ายน้ำเย็นให้กับระบบผลิตน้ำเย็นโดยอัตราการไหลปรับไว้ที่ 1 GPM



รูปที่ 3.15 ปั้มน้ำขนาด 220 V , 0.5 m³/hr

3.3.6 มิเตอร์วัดพลังงานแสงอาทิตย์ที่ใช้ในงานวิจัยชื่อ TENMARS รุ่น TM-207 โดยได้มีการนำลูกแก้วมาครอบตัวเซ็นเซอร์วัดแสงเพื่อป้องกันน้ำล้นละอองและจะวางอุปกรณ์บน โต๊ะ และนำไปวางกลางแจ้งเพื่อวัดค่าพลังงานแสงอาทิตย์ในการงานวิจัย



รูปที่ 3.16 มิเตอร์วัดพลังงานแสงอาทิตย์ TENMARS TM-207



รูปที่ 3.17 การจัดวางอุปกรณ์มิเตอร์วัดพลังงานแสงอาทิตย์ TENMARS TM-207

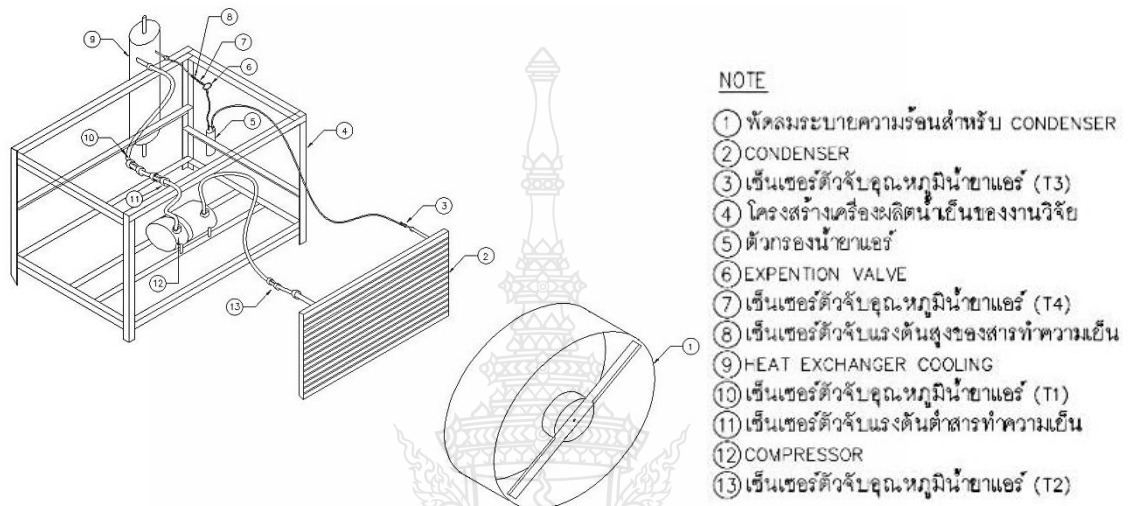
3.3.7 เกจวาล์ว (GATE VALVE , PVC) ขนาดครึ่งนิ้วใช้ทำหน้าที่ปรับอัตราการไหลของน้ำ
เย็นโดยอัตราการไหลปรับไว้ที่ 1 แกลลอนต่อชั่วโมง (GPM)



รูปที่ 3.18 เกจวาล์ว (GATE VALVE)

3.5 ออกแบบโครงสร้างและจัดเรียงอุปกรณ์

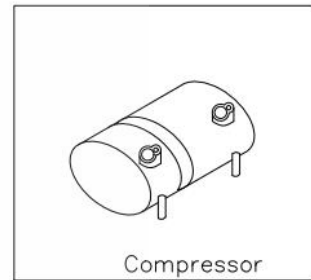
อุปกรณ์ทั้งหมดที่เลือกได้ถูกจัดวางให้เหมาะสมโดยโปรแกรมออกแบบในงานวิศวกรรมหรือโปรแกรม CAD (Computer-Aided Design) ตามรูปด้านล่าง



รูปที่ 3.19 เครื่องผลิตน้ำเย็นมอเตอร์กระแสตรงอัดไอ



หมายเหตุ :
COMPRESSOR
แบบ DC มอเตอร์
ขนาด 24V,36A



รูปที่ 3.20 Compressor มอเตอร์กระแสตรงอัดไอ



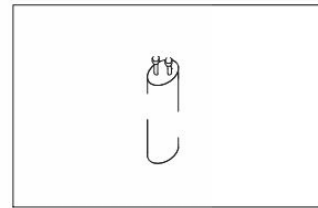
หมายเหตุ :
พัดลมระบายความร้อนสำหรับ CONDENSEF
ขนาด 550 วัตต์ , 50 นิ้ว



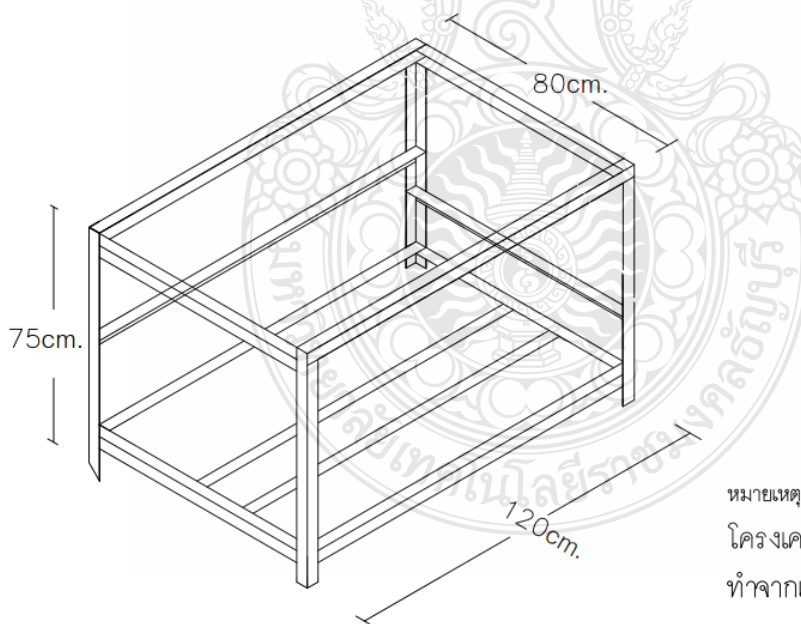
รูปที่ 3.21 พัดลมระบายความร้อน



หมายเหตุ :
กรองน้ำยาแอร์
ขนาดเกลียวน็อต 3/8 นิ้ว

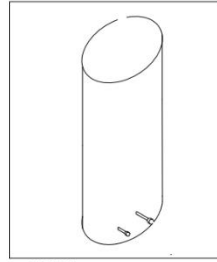


รูปที่ 3.22 กรองน้ำยาแอร์



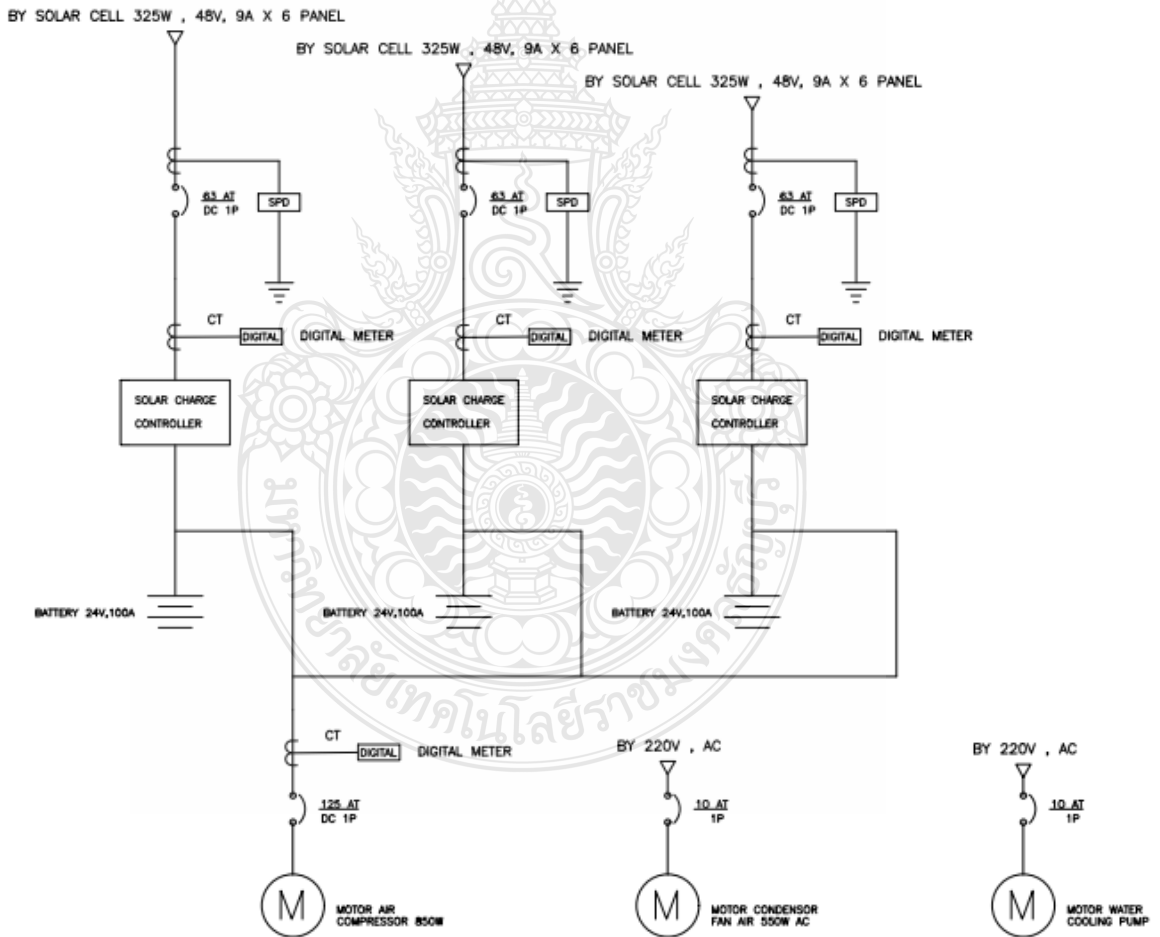
หมายเหตุ :
โครงเครื่องผลิตน้ำเย็น
ทำจากเหล็กฉากเอนกประสงค์
ขนาด 2 นิ้ว x หนา 2 มิลลิเมตร
เชื่อมติดกันโดยยึดด้วยน็อต

รูปที่ 3.23 โครงเครื่องผลิตน้ำเย็น

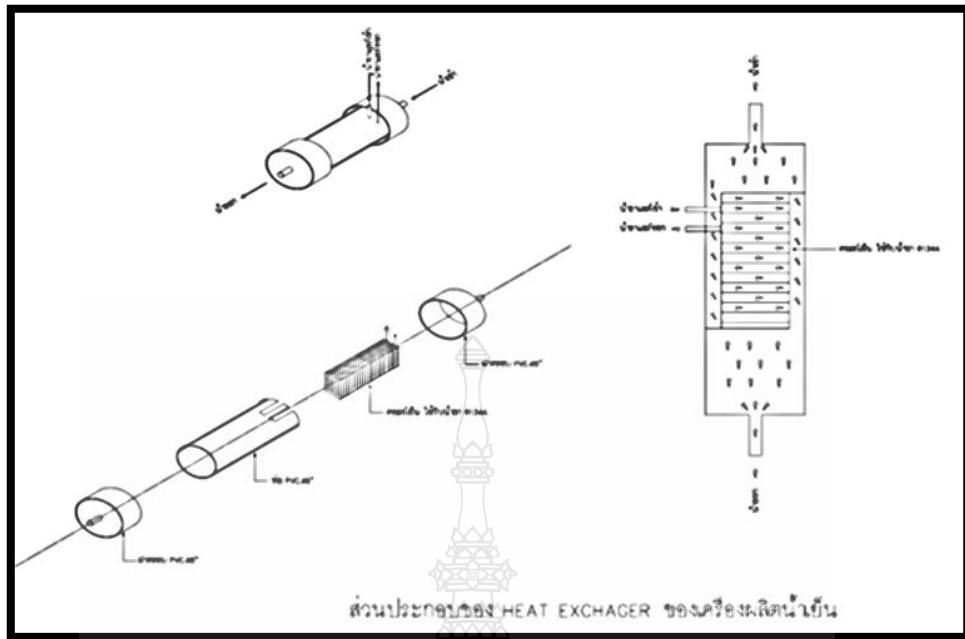


หมายเหตุ :
 ตั้งเก็บน้ำเย็นขนาด 3,000 ลิตร
 ทุ่มด้วยฉนวนทางด้านบนแผ่น
 หน้า 1 นิ้ว

รูปที่ 3.24 ถังเก็บน้ำเย็น



รูปที่ 3.25 ไดอะแกรมงานระบบไฟฟ้า



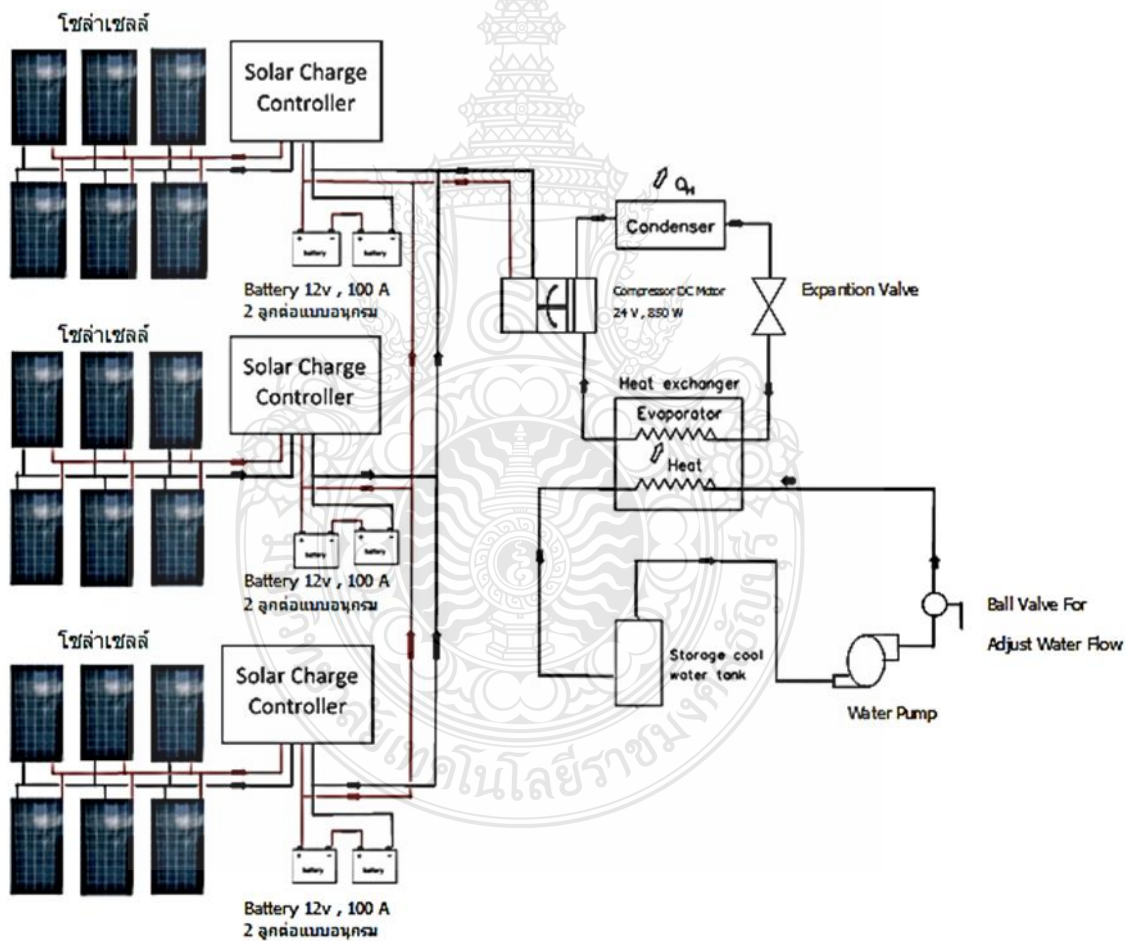
รูปที่ 3.26 Heat Exchanger



รูปที่ 3.27 เครื่องผลิตน้ำเย็นที่สร้างตามแบบ



รูปที่ 3.28 แผงโซลาร์เซลล์ที่ใช้ในงานวิจัย



รูปที่ 3.29 ไดอะแกรมระบบทำน้ำเย็นพลังงานแสงอาทิตย์โดยใช้มอเตอร์กระแสตรงขับเคลื่อนระบบทำความเย็นแบบอัดไอ



รูปที่ 3.30 แบตเตอรี่ จำนวน 6 ลูกต่อแบบอนุกรมและขนานกันตามลำดับเพื่อให้มีความจุ 24 V , 300 A และควบคุมโดยชาร์คอนโทรลเลอร์ จำนวน 3 ชุด



รูปที่ 3.31 ถังเก็บน้ำเย็น

บทที่ 4

ผลการวิจัย

4.1 ผลจากการทดลอง

การบันทึกผลการทดลอง จากตารางที่ 4.1 เรานับที่ค่าต่างตั้งแต่ 07:30น.- 17:00น. ในช่วงเวลากลางวันโดยใช้พลังงานจากแสงอาทิตย์ที่ผลิตได้เป็นแหล่งพลังงานและบันทึกผลการทดลอง แต่ละช่วงเวลาที่เราแสงแดดส่องลงมาบนพื้นผิวแผงโซลาร์เซลล์และศึกษาการทำงานของระบบผลิตน้ำเย็น พลังงานแสงอาทิตย์

ตารางที่ 4.1 ตารางบันทึกที่ 1 ค่าต่างๆ ตั้งแต่ 07:30น.- 17:00น. ในช่วงเวลากลางวันโดยใช้พลังงาน จากแสงอาทิตย์ที่ผลิตได้เป็นแหล่งพลังงาน

เวลา	พลังงานแสงอาทิตย์ W/m^3	PV SET-1		PV SET-2		PV SET-3		กำลังไฟฟ้าที่ผลิตได้ วัตต์ (W)
		แรงดันไฟฟ้าที่ขาร์ทคอนโทรลจ่าย โวลต์ (V)	กระแสไฟฟ้าที่ขาร์ทคอนโทรลจ่าย แอมป์ (A)	แรงดันไฟฟ้าที่ขาร์ทคอนโทรลจ่าย โวลต์ (V)	กระแสไฟฟ้าที่ขาร์ทคอนโทรลจ่าย แอมป์ (A)	แรงดันไฟฟ้าที่ขาร์ทคอนโทรลจ่าย โวลต์ (V)	กระแสไฟฟ้าที่ขาร์ทคอนโทรลจ่าย แอมป์ (A)	
6:00	0	-	-	-	-	-	-	-
6:30	50	-	-	-	-	-	-	-
7:00	98	29	1.9	0	0	0	0	55.1
7:30	150	25.8	3	25.7	3.3	26.6	3.2	247.3
8:00	172	25.8	3.9	25.8	4.5	26.6	4	323.1
8:30	198	25.7	4.7	25.6	5.3	26.6	4.9	386.8
9:00	318	26.2	7.9	26.1	8.7	27.4	9.1	683.4
9:30	360	26.4	8.4	26.2	9.3	27	9.3	716.5
10:00	527	27.9	12.6	27.5	11.5	28.7	13.5	1055.2
10:30	558	28.6	14.8	28.3	15.6	29.2	14	1273.6
11:00	562	29.2	15.1	29	16.8	29.5	12.5	1296.9
11:30	571	30	16.5	29.8	17.9	30.2	13	1421.0
12:00	530	29.6	15.3	29.4	17.8	30	11	1306.2
12:30	630	28.2	14.6	0	0	28.6	13.3	792.1
13:00	870	29.7	19.3	0	0	29.9	15.7	1042.64
13:30	640	29	17	0	0	29.1	14.8	923.68
14:00	730	28.7	17	0	0	28.6	13.8	882.58
14:30	560	29.6	12	29.7	16.3	30	11.8	1193.31
15:00	553	29.4	10.4	29.6	14.9	30.1	11.6	1095.96
15:30	480	27.8	8	27.4	10.8	28.2	10.8	822.88
16:00	375	26.4	6	26.2	6.3	27	7.3	520.56
16:30	259	25.6	3.9	25.4	2.8	26.1	4.2	280.58
17:00	121	25	2.3	24	2.5	25	2.2	172.5
17:30	78	26.3	0.9	26.2	0.6	26.8	0.7	58.15

ตารางที่ 4.2 ตารางบันทึกที่ 2 ค่าต่างๆ ตั้งแต่ 07:30น.- 17:00น. ในช่วงเวลากลางวันโดยใช้พลังงานจากแสงอาทิตย์ที่ผลิตได้เป็นแหล่งพลังงาน

เวลา	พลังงานไฟฟ้าที่มอเตอร์ใช้ขับ Compressor			อุณหภูมิอากาศเข้าออกพัดลมระบาย			
	แรงดันไฟฟ้า โวลต์ (V)	กระแสไฟฟ้า แอมแปร์ (A)	กำลังไฟฟ้า วัตต์ (W)	เข้า ออกแบบ	ออก ออกแบบ	ออก จริง	ออก จริง
6:00	-	-	-			-	-
6:30	-	-	-			-	-
7:00	-	-	-			-	-
7:30	23.9	30.5	732.3			26.6	27.4
8:00	23.7	30.9	721.5			26.8	27.8
8:30	23.5	30.7	721.5			27	28.3
9:00	23.7	31.1	737.1			27.8	29.2
9:30	24	31.2	748.8			28.3	29.5
10:00	24.9	31.7	789.3			28.4	29.8
10:30	25.2	31.8	801.4			29.3	30.8
11:00	25.8	32.3	833.3			30.2	31.6
11:30	26.4	32.5	858.0	เริ่มต้น	เริ่มต้น	30.1	31.7
12:00	26.2	32.5	851.5	30 °C	36 °C	30.7	32.1
12:30	24.8	33.2	823.36			30.8	32.4
13:00	24.8	33.5	830.8			31.3	33.2
13:30	25.1	33.3	835.83			31.4	33
14:00	25.5	33.7	859.35			32.2	33.8
14:30	26.4	33.2	876.48			32.4	34
15:00	26.2	33.1	867.22			32	33.7
15:30	24.7	32.5	802.75			32.1	33.4
16:00	23.9	33.5	800.65			31.5	33.2
16:30	23.3	33.7	785.21			31.4	32.8
17:00	22.9	33.2	760.28			30.8	32.3
17:30	-	-	-			-	-

ตารางที่ 4.3 ตารางบันทึกที่ 3 ค่าต่างๆ ตั้งแต่ 07:30น.- 17:00น. ในช่วงเวลากลางวันโดยใช้พลังงานจากแสงอาทิตย์ที่ผลิตได้เป็นแหล่งพลังงาน

เวลา	อุณหภูมิเข้าออก เครื่องทำน้ำเย็น Heat Exchanger		ค่าการทำน้ำความเย็น		อุณหภูมิ น้ำในถัง น้ำเย็น	แรงดันน้ำยาแอร์		หมายเหตุ
	T5 เข้า	T6 ออก	Kw	B tu/hr	T7	ด้าน แรงดัน ต่ำ	ด้าน แรงดัน สูง	
6:00	-	-			-	-	-	อัตราการไหลของน้ำเย็น = 1 GPM ความเร็วลมที่ใช้ระบายความร้อน Condansor เฉลี่ย= 4.5 m / s
6:30	-	-			-	-	-	
7:00	-	-			-	-	-	
7:30	26.9	24.4	-0.659453	-2251.4	26.2	19.2	86.2	
8:00	26.2	23.1	-0.817721	-2791.7	26.3	19.2	86.9	
8:30	25.5	22.5	-0.791343	-2701.6	25.9	19.6	87.8	
9:00	24.9	21.9	-0.791343	-2701.6	25.5	20	88.5	
9:30	24.2	21.3	-0.764965	-2611.6	25	20.6	90.2	
10:00	23.9	20.9	-0.791343	-2701.6	24.3	18.7	90.7	
10:30	23.7	20.7	-0.791343	-2701.6	23.1	19.2	92.6	
11:00	23.4	20.3	-0.817721	-2791.7	22.7	19.7	95.1	
11:30	23	20.1	-0.764965	-2611.6	22.3	19.3	95.4	
12:00	22.6	19.7	-0.764965	-2611.6	21.9	20	96.9	
12:30	22.5	19.5	-0.791343	-2701.6	21.6	22.1	97.6	
13:00	22.3	19.3	-0.791343	-2701.6	21.4	22.6	98.6	
13:30	22	19.1	-0.764965	-2611.6	21	21.4	99.5	
14:00	22	19.1	-0.764965	-2611.6	21.1	24.5	101.3	
14:30	21.7	19.8	-0.501184	-1711.0	20	20.6	101.7	
15:00	21.7	18.8	-0.764965	-2611.6	20.7	20.3	101.6	
15:30	21.5	18.6	-0.764965	-2611.6	20.5	22.8	101.1	
16:00	21.4	18.6	-0.738587	-2521.5	20.4	22.7	100.3	
16:30	21.2	18.3	-0.764965	-2611.6	20.3	23.7	98.4	
17:00	21.1	18.4	-0.712209	-2431.5	20	24.6	97.5	
17:30	-	-			-	-	-	

ตารางที่ 4.4 ตารางบันทึกที่ 4 ค่าต่างๆในช่วงเวลากลางคืนเป็นการทดสอบสมรรถนะของเครื่องโดยการใช้ไฟฟ้ากระแสตรงจากอุปกรณ์จ่ายไฟ (Power Supply) เพื่อเก็บข้อมูลในช่วงกลางคืนนำไฟพัฒนาตัวเครื่อง

วันที่ / เวลา			T1	T2	T3	T4
			(องศาเซลเซียส)	(องศาเซลเซียส)	(องศาเซลเซียส)	(องศาเซลเซียส)
			อุณหภูมิด้านดูดค อมเพชรเซอร์	อุณหภูมิด้านอัด ก่อนเข้าคอยล์ร้อน	อุณหภูมิด้านอัด ก่อนออกคอยล์ร้อน	อุณหภูมิด้าน ฉีดย้ำแอร์
1	1 Hr	12-8-65 / 23:00 ยังไม่ได้เดินเครื่อง	26.8	26.8	26.6	25.7
2		12-8-65 / 23:30	26.5	39.8	25.8	17.7
3		12-8-65 / 00:00	25.8	66.6	26.9	3.8
4	2 Hr	12-8-65 / 00:30	24.8	65.7	26.8	3.7
5		13-8-65 / 1:00:00	23.8	65.4	26.6	3
6	3 Hr	13-8-65 / 1:30:00	23.4	66	27.3	3.2
7		13-8-65 / 2:00	22.9	66.9	27.3	2.9
8	4 Hr	13-8-65 / 2:30	22.3	65.7	27.1	2.7
9		13-8-65 / 3:00	21.6	64.5	26.6	2.8
10	5 Hr	13-8-65 / 3:30	21.1	64.3	26.6	2.8
11		13-8-65 / 4:00	20.6	64.2	26.7	2.6
12	6 Hr	13-8-65 / 4:30	20.3	63.9	26.5	2.5
13		13-8-65 / 5:00	19.8	63.5	26.4	2.3
14	7 Hr	13-8-65 / 6:00	19.2	62.2	26.2	2.5
15	8 Hr	13-8-65 / 7:30	19.1	64.3	26.2	2.5
16	9 Hr	13-8-65 / 8:00	18.1	63.8	28.1	3
17		13/8/65 / 8:30:00	-	-	-	-
18	10 Hr	13-8-65 / 9:00	-	-	-	-
19		13-8-65 / 9:30:00	18.7	64	30	4.1

ตารางที่ 4.5 ตารางบันทึกที่ 5 ค่าต่างๆในช่วง เวลากลางคืนเป็นการทดสอบสมรรถนะของเครื่องโดยการใช้ไฟฟ้ากระแสตรงจากอุปกรณ์จ่ายไฟ (Power Supply) เพื่อเก็บข้อมูลในช่วงกลางคืนนำไฟพัฒนาตัวเครื่อง

วันที่ / เวลา		T5 (Wo)	T6(Wi)	T7	Pa-H	
		(องศาเซลเซียส) อุณหภูมิน้ำเข้า เครื่องแลกเปลี่ยน ความร้อน	(องศาเซลเซียส) อุณหภูมิน้ำออก เครื่องแลกเปลี่ยน ความร้อน	(องศาเซลเซียส) อุณหภูมิน้ำเย็น ที่ผลิตได้	(Psi) แรงดันน้ำยา แอร์ Hi	
1	1 Hr	12-8-65 / 23:00 ยังไม่ได้เดินเครื่อง	27.5	27.2	28.2	77.2
2		12-8-65 / 23:30	27.5	27.2	28.2	88.25
3		12-8-65 / 00:00	27.2	23.9	27	86
4	2 Hr	12-8-65 / 00:30	25.9	22.8	25.6	85.8
5		13-8-65 / 1:00:00	24.8	21.7	27	85.4
6	3 Hr	13-8-65 / 1:30:00	23.8	20.8	23.4	87
7		13-8-65 / 2:00	23.1	20.3	22.5	87.3
8	4 Hr	13-8-65 / 2:30	22.6	19.7	21.8	88.6
9		13-8-65 / 3:00	21.8	18.8	21.1	85
10	5 Hr	13-8-65 / 3:30	21.2	18.1	20.4	85.1
11		13-8-65 / 4:00	20.7	17.7	19.8	85.3
12	6 Hr	13-8-65 / 4:30	20.2	17.2	19.2	84.5
13		13-8-65 / 5:00	19.8	16.8	18.8	84.5
14	7 Hr	13-8-65 / 6:00	18.9	16	17.8	84.6
15	8 Hr	13-8-65 / 7:30	18.9	16	17	89.7
16	9 Hr	13-8-65 / 8:00	18.2	15.3	16.8	89.6
17		13/8/65 / 8:30:00	-	-	-	-
18	10 Hr	13-8-65 / 9:00	-	-	-	-
19		13-8-65 / 9:30:00	17.9	15.2	16.5	95.3

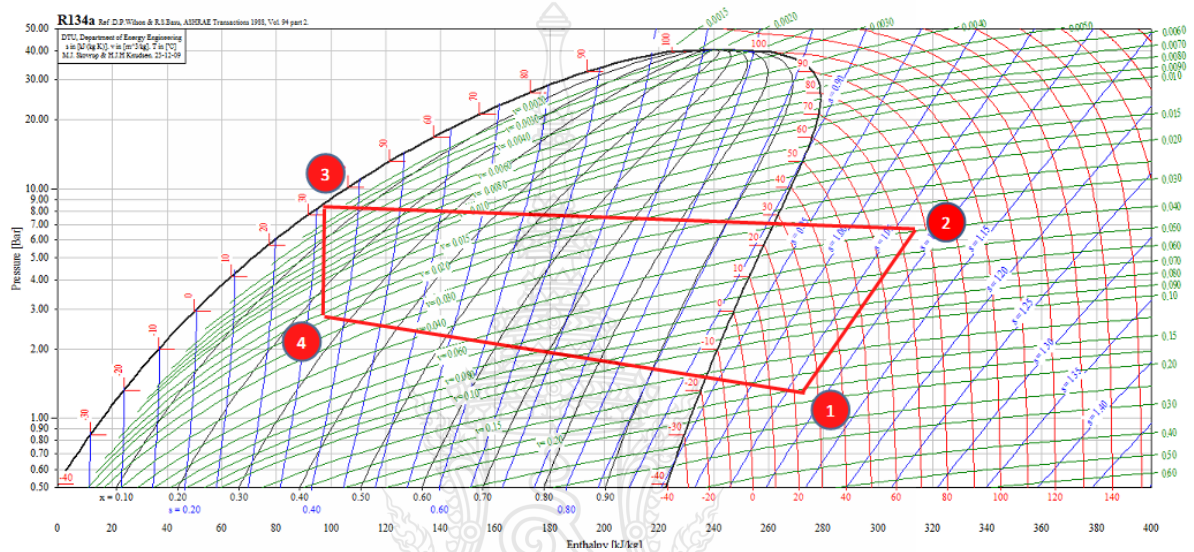
ตารางที่ 4.6 ตารางบันทึกที่ 6 ค่าต่างๆในช่วงเวลากลางคืนเป็นการทดสอบสมรรถนะของเครื่องโดยการใช้ไฟฟ้ากระแสตรงจากอุปกรณ์จ่ายไฟ (Power Supply) เพื่อเก็บข้อมูลในช่วงกลางคืนนำไฟพัฒนาตัวเครื่อง

วันที่ / เวลา			Pa-L (Psi)	Ta -in (องศา เซลเซียส) อุณหภูมิ ของอากาศ ที่เข้าคอยล์	Ta -out	Pw (Psi)	Fw (GPM)	กระแส ไฟฟ้าที่ใช้	แรงดัน ไฟฟ้าที่ใช้	กำลังไฟฟ้า ที่ใช้
			แรงดันน้ำยา แอร์ Low	อุณหภูมิ ของอากาศ ที่เข้าคอยล์	อุณหภูมิ ของอากาศ ที่ออก คอยล์ร้อน	แรงดันน้ำเย็น	อัตราการ ไหลน้ำเย็น	A	V	W
1	1 Hr	12-8-65 / 23:00 ยังไม่ได้เดินเครื่อง	77.3	26.3	26.1	1	-	-	-	-
2		12-8-65 / 23:30	20.9	26.8	26.1	8.5	1	31.8	24.1	766.38
3		12-8-65 / 00:00	29.6	26.3	28	8.5	1	32.9	23.6	776.44
4	2 Hr	12-8-65 / 00:30	29.5	27.9	26.2	8.5	1	23.1	32	739.2
5		13-8-65 / 1:00:00	28.7	25.9	27.7	8.5	1	32.3	23.2	749.36
6	3 Hr	13-8-65 / 1:30:00	28.2	26.6	28.4	8.5	1	32.2	23.3	750.26
7		13-8-65 / 2:00	28.2	27.1	28.3	8.5	1	32.4	23.5	761.4
8	4 Hr	13-8-65 / 2:30	27.4	26.4	28.3	8.5	1	32.1	23.7	760.77
9		13-8-65 / 3:00	27.7	26.2	27.8	8.5	1	31.9	23.4	746.46
10	5 Hr	13-8-65 / 3:30	28.5	26	27.7	8.5	1	32.1	23.3	747.93
11		13-8-65 / 4:00	27.4	26.1	27.6	8.5	1	31.9	23.5	749.65
12	6 Hr	13-8-65 / 4:30	-	26	27.6	8.5	1	32	23.6	755.2
13		13-8-65 / 5:00	27	26	27.5	8.5	1	31.7	23.5	744.95
14	7 Hr	13-8-65 / 6:00	27	25.4	27.4	8.5	1	31.8	23.2	737.76
15	8 Hr	13-8-65 / 7:30	27.9	27.6	29.4	8.5	1	32.5	23.7	770.25
16	9 Hr	13-8-65 / 8:00	28.1	27.5	29.3	8.5	1	32.6	23.6	769.36
17		13/8/65 / 8:30:00	-	-	-	-	-	-	-	-
18	10 Hr	13-8-65 / 9:00	-	-	-	-	-	-	-	-
19		13-8-65 / 9:30:00	29.8	29.3	33.1	8.5	1	32.9	23.3	766.57

จากผลการทดลองงานวิจัยตารางที่ 4.1 ถึง ตารางที่ 4.3 สามารถหาอัตราการไหลเชิงมวลของสารทำความเย็น R-134a ได้ อาทิเช่น เวลา 12:00 น. ด้านความดันต่ำแรงดันในระบบทำความเย็นของสารทำความเย็น R-134a เท่ากับ 20 Psi หรือ 0.137 MPa มีอุณหภูมิอยู่ที่ 22.9 องศาเซลเซียส โดยค่าเอนทัลปี (Enthalpy : h) หาได้จากตารางไอรอนยิ่งยวดของสารทำความเย็น R-134a ได้เท่ากับ ($h_{1r} = 271.43 \text{ kJ /kg}$)

แรงดันในระบบทำความเย็นของสารทำความเย็น R-134a ด้านความดันสูงเท่ากับ 96.9 Psi หรือ 0.668 MPa มีอุณหภูมิอยู่ที่ 76.6 องศาเซลเซียส โดยค่าเอนทัลปี (Enthalpy : h) หาได้จากตารางไอโรนยิ่งยวดของสารทำความเย็น R-134a ได้เท่ากับ ($h_2 = 315.31 \text{ kJ/kg}$)

โดยสามารถนำข้อมูลจากตารางที่ 4.2 และ ตารางที่ 4.3 มาพล็อตในแผนภาพมอลเลียร์ (Mollier Diagram) P-h ไดอะแกรม ดังแสดงในรูป 4.1



รูป 4.1 แผนภาพมอลเลียร์ (Mollier Diagram) สารทำความเย็น R-134a P-h ไดอะแกรม ของระบบทำเย็นพลังงานแสงอาทิตย์ในงานวิจัย

พลังงานไฟฟ้าที่มอเตอร์ใช้ขับ Compressor จากผลการทดลองงานวิจัยตารางที่ 4.1 เวลา 12:00 น. เท่ากับ ($\dot{W}_{in} = 851.5 \text{ W}$)

หาอัตราการไหลเชิงมวลของสารทำความเย็น R-134a โดยคำนวณหาจากสมการที่ 3.1 ดังนี้

$$\dot{m}_r = \frac{\dot{W}_{in}}{(h_{2r} - h_{1r})} \quad (3.1)$$

$$= \frac{(851.5/1000)}{(315.31 - 271.43)}$$

$$= 0.0194 \text{ kg/s}$$

โดยที่

$\dot{m}_r =$ อัตราการไหลเชิงมวลของสารทำความเย็น R 134 A (kg /s)

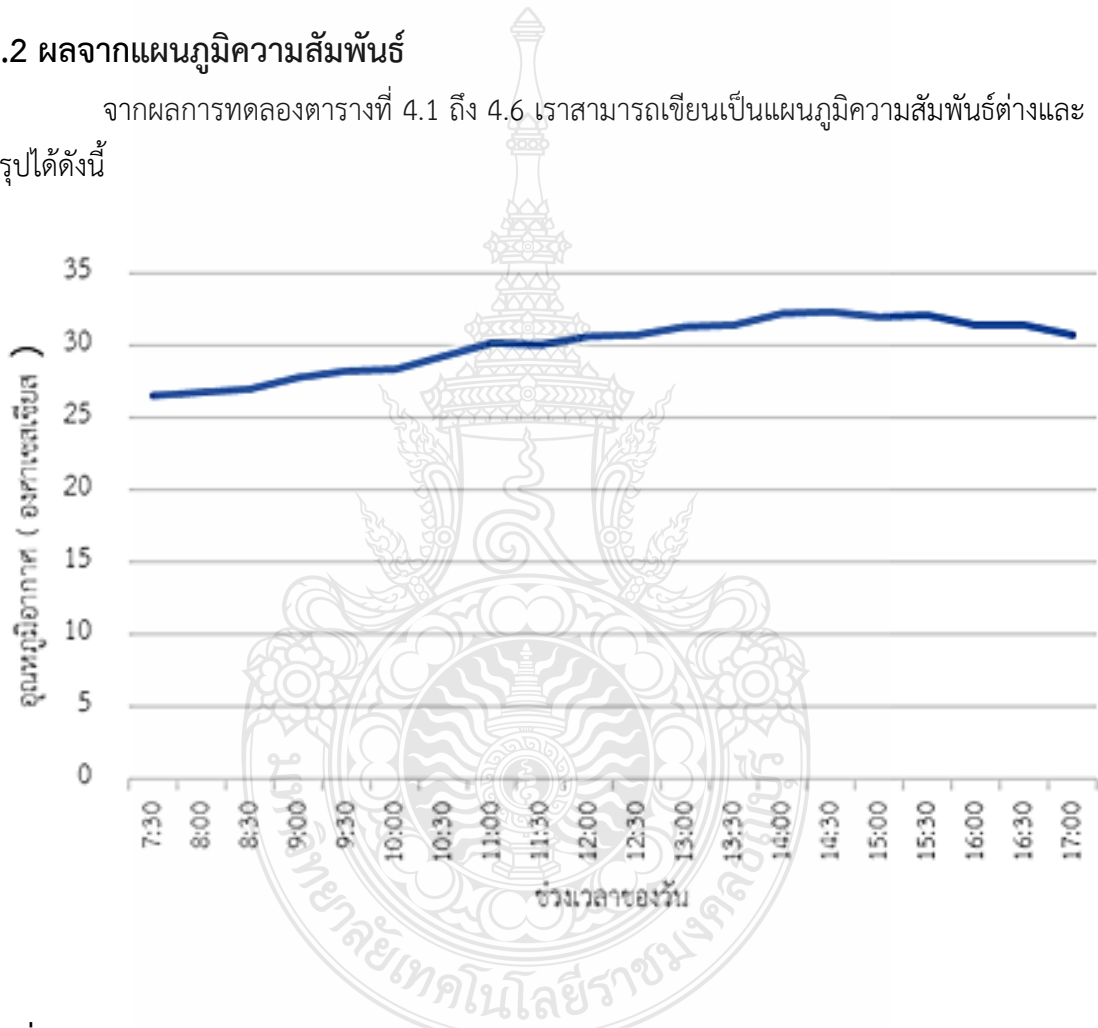
$\dot{W}_{in} = 851.5$ W

$h_{1r} = 271.43$ kJ /kg

$h_{2r} = 315.31$ kJ /kg

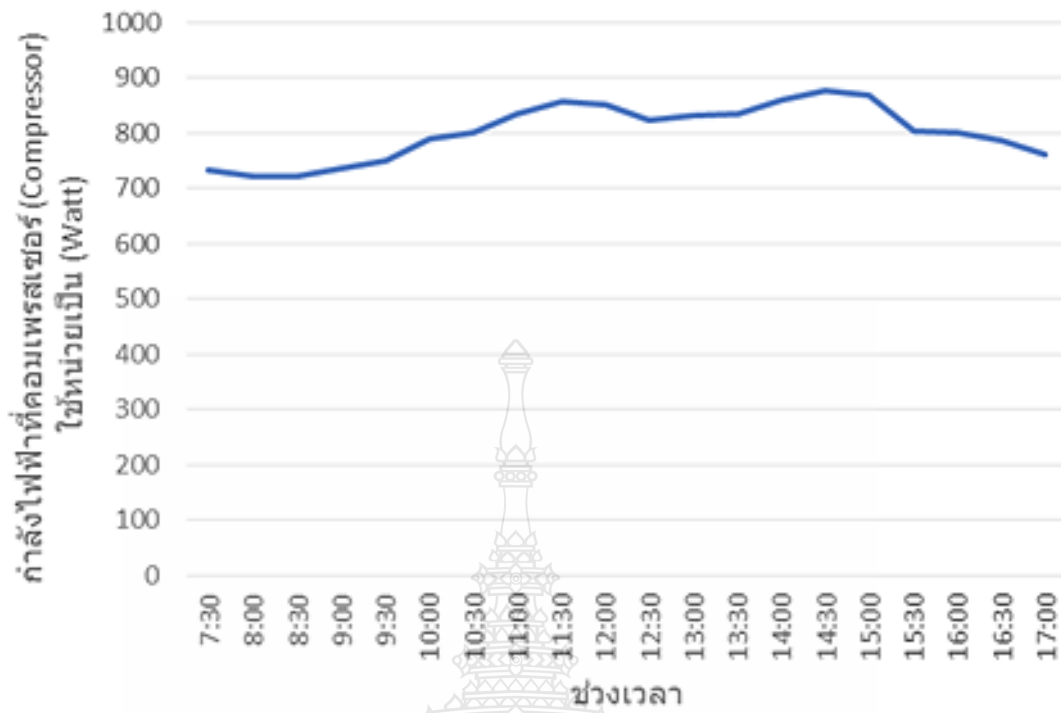
4.2 ผลจากแผนภูมิความสัมพัทธ์

จากผลการทดลองตารางที่ 4.1 ถึง 4.6 เราสามารถเขียนเป็นแผนภูมิความสัมพัทธ์ต่างและสรุปได้ดังนี้

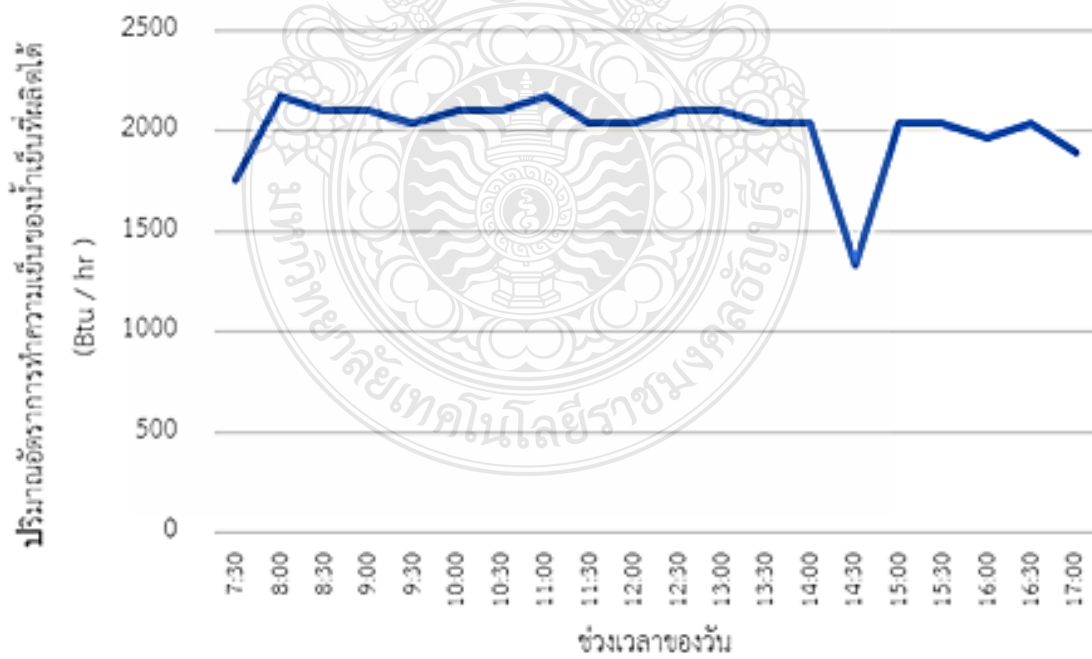


รูปที่ 4.2 แผนภูมิความสัมพันธ์ระหว่างอุณหภูมิอากาศกับช่วงเวลาของวัน

อุณหภูมิอากาศโดยปกติช่วงกลางวันจะสูงสุดในช่วงบ่ายของวันและสภาพอากาศก็ส่งผลต่ออุณหภูมิอากาศในวันนั้นๆเช่นกันซึ่งส่งผลกับเครื่องทำน้ำเย็นในงานวิจัยตามที่แสดงในแผนภูมิรูปที่ 4.2



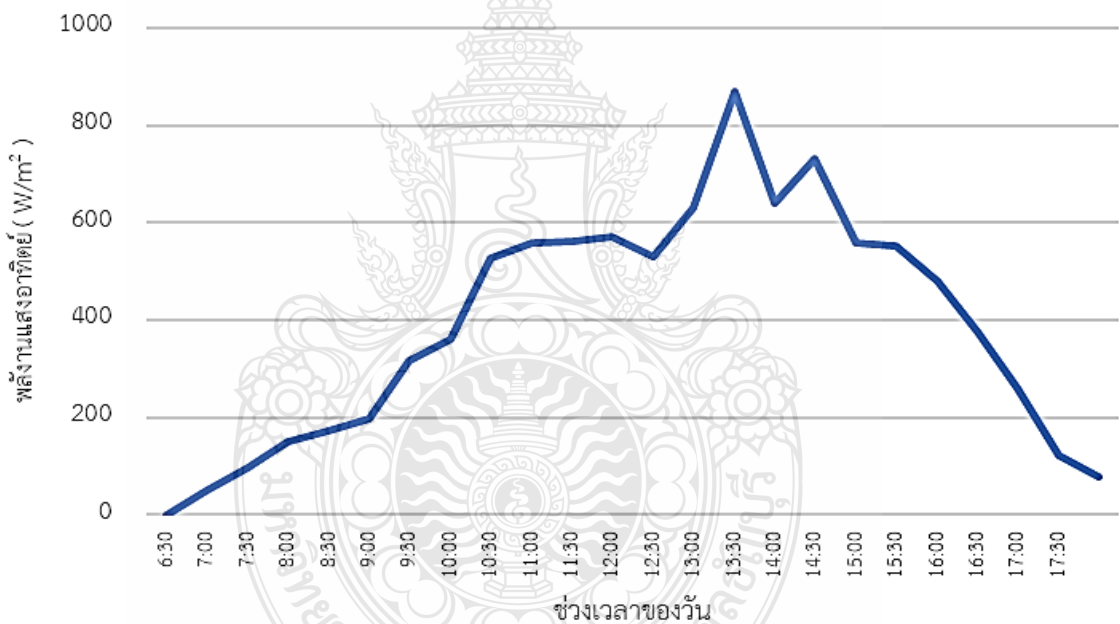
รูปที่ 4.3 แผนภูมิความสัมพันธ์ระหว่างกำลังไฟฟ้าที่มอเตอร์ใช้ขับเคลื่อนคอมเพรสเซอร์กับช่วงเวลาของวัน



รูปที่ 4.4 แผนภูมิความสัมพันธ์ระหว่างอัตราการทำความเย็นของน้ำเย็นที่ผลิตได้กับช่วงเวลาของวัน

คอมเพรสเซอร์ในระบบทำความเย็นแบบอัดไอนั้นทำหน้าที่ในการปั๊มอัดส่งสารทำความเย็น R 134 A ไปตามท่อสารทำความเย็นในระบบทำความเย็นคอมเพรสเซอร์จะกินกำลังมากถ้าการระบายความร้อนในส่วนของคนเดนเซอร์ไม่ดีซึ่งก็ขึ้นอยู่กับอากาศโดยรอบในบริเวณนั้นถ้าอุณหภูมิสูงก็จะระบายความร้อนไม่ดีทำให้คอมเพรสเซอร์ต้องกินกำลังมากขึ้นในการอัดน้ำยาตามที่แสดงแผนภูมิในรูปที่ 4.3

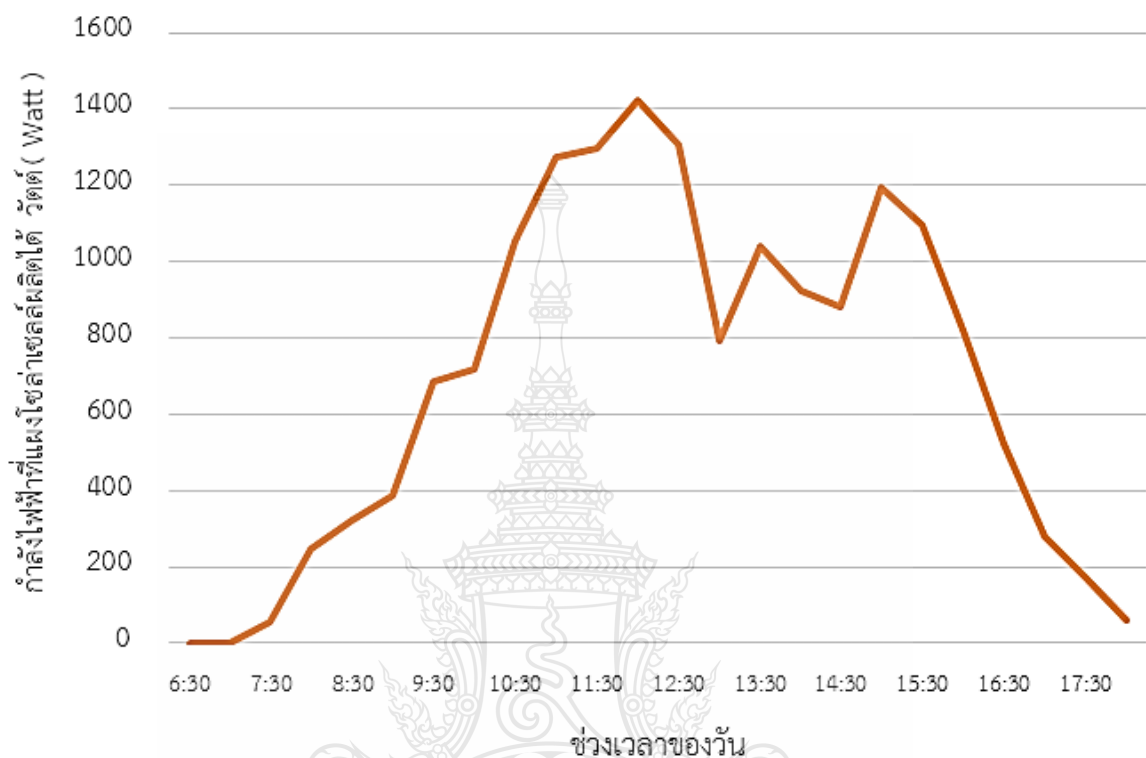
จากแผนภูมิความสัมพันธ์ระหว่างอัตราการทำความเย็นกับช่วงเวลาของวันจะเห็นว่าขึ้นอยู่กับอากาศที่เข้าระบายความร้อนของคนเดนเซอร์ ถ้าอุณหภูมิที่เข้าสูงจะทำให้อุณหภูมิของสารทำความเย็น R 134 A ที่ออกจากคนเดนเซอร์สูงตามทำการแลกเปลี่ยนความร้อนในอุปกรณ์แลกเปลี่ยนความร้อนไม่ดีส่งผลให้อัตราการทำความเย็นลดต่ำลงดังแสดงในแผนภูมิรูปที่ 4.4



รูปที่ 4.5 แผนภูมิความสัมพันธ์ระหว่างพลังงานแสงอาทิตย์กับช่วงเวลาของวัน

พลังงานแสงอาทิตย์ที่มาจากแสงอาทิตย์จะมากขึ้นตามองศาการตั้งฉากกับแผงโซลาร์เซลล์โดยที่พลังงานแสงอาทิตย์ในงานวิจัยนี้จะมากที่สุดจะเป็นในช่วงเวลา 13:30 น. ทั้งนี้พลังงานแสงอาทิตย์จะขึ้นอยู่กับฤดูกาลด้วยว่าเป็นฤดูไหนเป็นที่แน่นอนอยู่แล้วฤดูร้อนย่อมมีพลังงานแสงอาทิตย์มากที่สุดในบางช่วงพลังงานแสงอาทิตย์อาจขึ้นไปถึง 1,300 W/m² เลยทีเดียวในงานวิจัยนี้ช่วงเวลาที่ทำการ

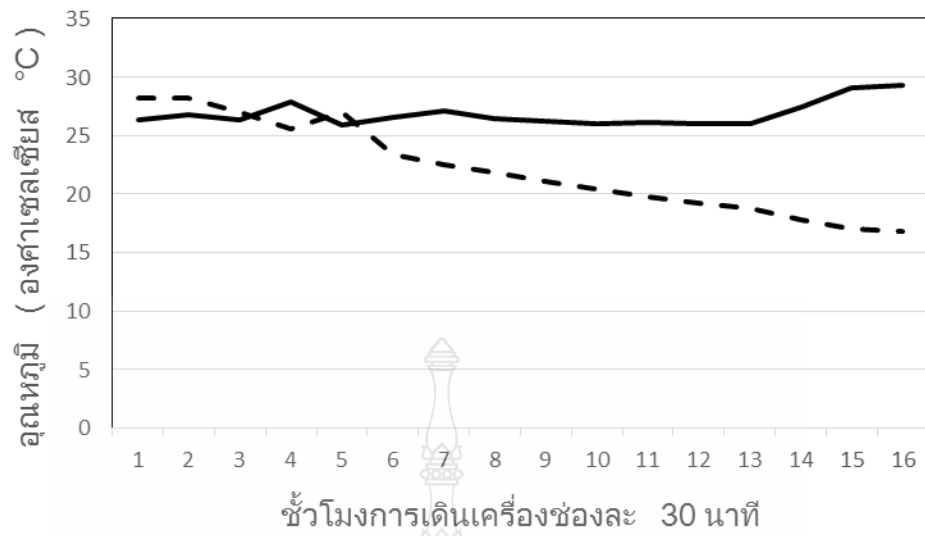
ทดลองอยู่ในช่วงปลายฤดูฝนวันที่ 7 เดือนธันวาคม พ.ศ. 2565 ทำให้มีเมฆมากพลังงานแสงอาทิตย์จึงมีค่าไม่เกิน $1,000 \text{ W/m}^2$ ดังที่ได้แสดงไว้ในรูปที่ 4.5



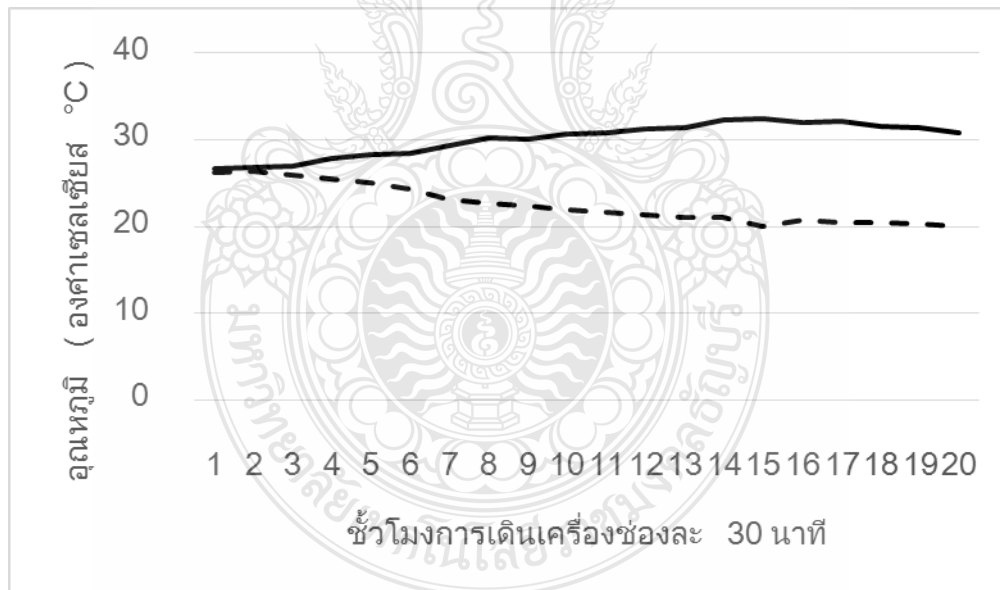
รูปที่ 4.6 แผนภูมิความสัมพันธ์ระหว่างกำลังไฟฟ้าที่แผงโซลาร์เซลล์ผลิตได้ช่วงเวลาของวัน

ในงานวิจัยนี้ได้ออกแบบการต่อแผงโซลาร์เซลล์จำนวน 18 แผงขนาด 320 Watt แบ่งเป็นชุดจำนวน 3 ชุด ต่อแบบขนานกันและจะถูกเก็บไว้ในแบตเตอรี่ จำนวน 6 ลูกต่อแบบอนุกรมและขนานกันตามลำดับเพื่อให้มีความจุ 24 Volt , 300 Ampere และควบคุมโดยชาร์จคอนโทรลเลอร์ (Charge Controller) จำนวน 3 ชุด

โดยสามารถสรุปจากแผนภูมिरูปที่ 4.6 ดังนี้คือในช่วงเวลากลางวัน 6:30 น. ถึง 12:00 น. เส้นกราฟจะตั้งชันมากเนื่องจากเป็นช่วงที่กำลังมีการชาร์จ (Charge) ไฟเข้าแบตเตอรี่และอีกส่วนหนึ่งได้ไปจ่ายให้กับคอมเพรสเซอร์เมื่อแบตเตอรี่เต็มตัวชาร์จคอนโทรลเลอร์ก็จะตัดการทำงานเหลือเพียง 2 ชุดจากจำนวน 3 ชุดทำให้กำลังไฟฟ้าที่แผงโซลาร์เซลล์ ผลิตได้ลดลง ส่วนช่วงเวลา 15:00 น.ถึง 17:30 น.เป็นช่วงที่พลังงานจากแสงอาทิตย์ลดลงทำให้กำลังไฟฟ้าที่แผงโซลาร์เซลล์ผลิตลดลงตามไปด้วยถึงแม้ชาร์จคอนโทรลเลอร์จะทำงานพร้อมกันทั้ง 3 ชุด



รูปที่ 4.7 แผนภูมิการทดสอบเครื่องช่วงอากาศค่ำ



รูปที่ 4.8 แผนภูมิการทดสอบเครื่องช่วงอากาศกลางวัน

- คือเส้นอุณหภูมิอากาศสิ่งแวดล้อม
- - - คือเส้นอุณหภูมิน้ำเย็นที่ผลิตได้

จากรูปที่ 4.8 การทดสอบเครื่องช่วงอากาศกลางวันเวลาแหล่งจ่ายไฟฟ้าที่ใช้เป็นไปตามวัตถุประสงค์ของการทำวิจัยกลางวัน 6:30 น. ถึง 17:30 น. ครั้งนี้คือใช้กระแสไฟฟ้ากระแสตรงจากแผงโซลาร์เซลล์ ที่ผลิตได้ อุณหภูมิที่สิ่งแวดล้อมค่อนข้างสูงทำให้อุณหภูมิน้ำเย็นลดลงเหลือเพียง 20 ° C ซึ่งอุณหภูมิน้ำเย็นเริ่มต้นที่ 26.2 ° C อัตราการไหลของน้ำเย็นอยู่ที่ 1 GPM

จากแผนภูมิรูปที่ 4.7 การทดสอบเครื่องช่วงเวลากลางคืน เป็นการทดสอบสมรรถนะของเครื่องโดยการใช้ไฟฟ้ากระแสตรง จากอุปกรณ์จ่ายไฟ (Power Supply) เพื่อเก็บข้อมูลในช่วงกลางคืนนำไปพัฒนาตัวเครื่องต่อไปผลลัพธ์ที่ได้คือช่วงกลางคืน อุณหภูมิสิ่งแวดล้อมค่อนข้างต่ำทำให้อุณหภูมิน้ำเย็นลดลงต่ำถึง 16.5 ° C ซึ่งอุณหภูมิน้ำเย็นเริ่มต้นที่ 28.2 ° C อัตราการไหลของน้ำเย็นอยู่ที่ 1 GPM (Gallon Per Minute) โดยเวลาในการทดสอบตั้งแต่เวลา 1:00 น. ถึง 10:30 น.

4.3 การวัดค่าสัมประสิทธิ์สมรรถนะ COP (Coefficient of Performance)

ค่าสัมประสิทธิ์สมรรถนะ COP เป็นค่าอัตราส่วนระหว่าง ความสามารถในการทำความเย็นซึ่งมีหน่วยในการวัดผลเป็น Watt ต่อกำลังไฟฟ้าที่มอเตอร์ใช้ขับเคลื่อนคอมเพรสเซอร์ในการทำความเย็นหน่วยในการวัดผลเป็น Watt เช่นเดียวกัน โดยค่า COP คำนวณได้จากสมการที่ 4.1

$$COP = \frac{\text{ความสามารถในการทำความเย็น}}{\text{กำลังไฟฟ้าที่มอเตอร์ใช้ขับเคลื่อนคอมเพรสเซอร์}} \quad 4.1$$

จากช่วงเวลา 7:30 น. ความสามารถในการทำความเย็นจากแผนภูมิความสัมพันธ์ระหว่างอัตราการทำความเย็นของน้ำเย็นที่ผลิตได้กับช่วงเวลาของวันเฉลี่ยอยู่ที่ เท่ากับ 2,600 Btu / hr แปลงเป็น Watt จะได้เท่ากับ 762 Watt , กำลังไฟฟ้าที่มอเตอร์ใช้ขับเคลื่อนคอมเพรสเซอร์จากแผนภูมิความสัมพันธ์ระหว่างกำลังไฟฟ้าที่มอเตอร์ใช้ขับเคลื่อนคอมเพรสเซอร์กับช่วงเวลาของวันเท่ากับ 732.33 Watt

แทนค่าในสมการที่ 4.1 `จะได้

$$COP = 762 / 732.33$$

$$= 1.040$$

จากค่า COP ที่คำนวณจาก สมการที่ 4.1 ในงานวิจัยนี้จะมีค่าเท่ากับ 1.040 ค่อนข้างน้อย
แก้ไขโดยตอนออกแบบหรือเลือกเครื่องแลกเปลี่ยนความร้อนให้คูณค่า COP เท่ากับ 3.5 ในสมการหา
ค่าพื้นที่แลกเปลี่ยนความร้อน



บทที่ 5

สรุปผลการทดลอง

5.1 สรุปผลและอภิปรายผล

ขอบเขตของงานวิจัยนี้คือการศึกษ้อัตราการผลิตไฟฟ้าจากแผงโซลาร์เซลล์ที่นำไปใช้งานในการผลิตน้ำเย็นมีถึงกักเก็บน้ำเย็นขนาดมอเตอร์กระแสตรงขับเคลื่อนคอมเพรสเซอร์ขนาดไม่เกิน 1,000 W การทำงานระบบทำน้ำเย็นพลังงานแสงอาทิตย์โดยใช้มอเตอร์กระแสตรงขับเคลื่อนระบบทำความเย็นแบบอัดไอใช้พลังงานจากแผงโซลาร์เซลล์ที่เก็บไว้ในแบตเตอรี่บางส่วนเพื่อจ่ายให้คอมเพรสเซอร์ที่กินกำลังไฟฟ้า 27 V , 33 A หรือประมาณ 850 W โดยที่แผงโซลาร์เซลล์สามารถผลิตกระแสไฟฟ้าในละจุดประมาณ 29 V , 19 A ซึ่งถ้ารวมกันทั้ง 3 จุด มากพอที่จะขับเคลื่อนคอมเพรสเซอร์และพลังงานที่เหลือจะถูกเก็บไว้ในแบตเตอรี่ทำให้สามารถเดินเครื่องได้ตลอดการทดลองช่วงกลางวันและสามารถผลิตน้ำเย็นได้สูงสุด 20 องศาเซลเซียส ที่ 3,000 ลิตร แสดงในรูปที่ 4.8 ใช้เวลาเดินเครื่องประมาณ 10 ชั่วโมง และจากแผนภูมิรูปที่ 4.7 การทดสอบเครื่องช่วงเวลากลางคืน เป็นการทดสอบสมรรถนะของเครื่องโดยการใช้ไฟฟ้ากระแสตรง จากอุปกรณ์จ่ายไฟ (Power Supply) เพื่อเก็บข้อมูลในช่วงกลางคืนนำไปพัฒนาตัวเครื่องต่อไปผลลัพธ์ที่ได้คือช่วงกลางคืน อุณหภูมิสิ่งแวดล้อมค่อนข้างต่ำทำให้อุณหภูมิน้ำเย็นลดลงต่ำถึง 16.5 องศาเซลเซียส

5.2 ข้อเสนอแนะ

5.2.1 คอนเดนเซอร์ปรับปรุงขนาดใหญ่มากขึ้นทำให้สารทำความเย็น R-134a ที่ไหลผ่านมีอุณหภูมิต่ำลงและทำให้ความเย็น R-134a ถูกฉีกผ่านเอ็กซ์แพนชันวาล์วอุณหภูมิต่ำลงได้อีกส่งผลให้ความสามารถผลิตน้ำเย็นได้อุณหภูมิต่ำลง

5.2.2 แบตเตอรี่และระบบสำรองไฟฟ้าเพิ่มเติมในส่วนของแบตเตอรี่ที่สำรองไฟฟ้าและในส่วนของการผลิตกระแสไฟฟ้าจากโซลาร์เซลล์ให้สอดคล้องกันเพื่อให้สามารถเดินเครื่องได้ตลอดในช่วงกลางคืนจนถึงเช้าเพื่อที่จะทำให้เดินเครื่องได้ตลอด 24 ชั่วโมงจะทำให้สามารถลดอุณหภูมิน้ำเย็นลงได้อีก

บรรณานุกรม

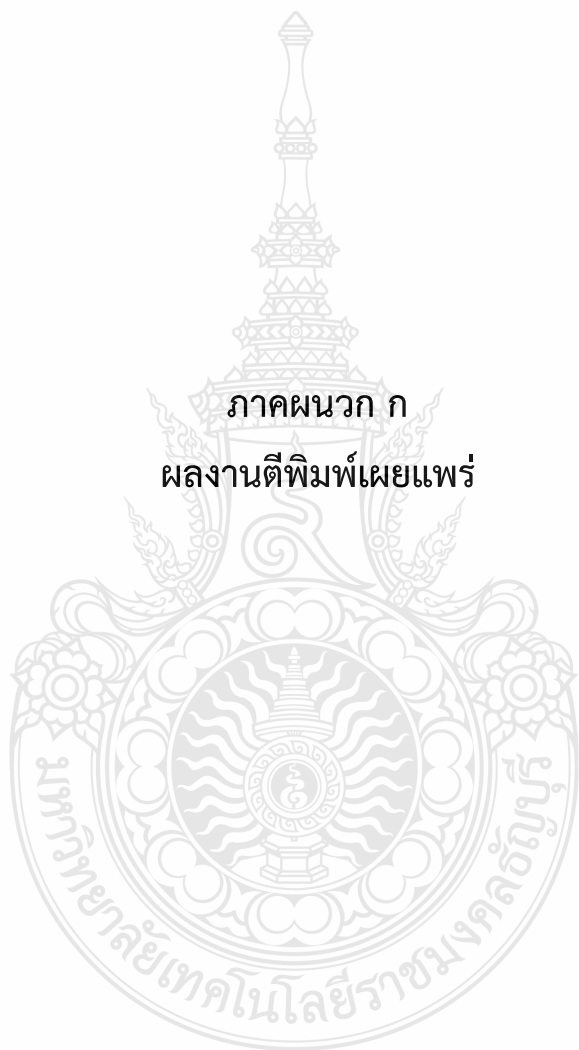
- [1] กรมพัฒนาพลังงานทดแทนและอนุรักษ์พลังงาน กระทรวงพลังงาน กองถ่ายถอดและเผยแพร่ เทคโนโลยีการผลิตไฟฟ้าจากพลังงานแสงอาทิตย์
- [2] กรมพัฒนาพลังงานทดแทนและอนุรักษ์พลังงาน กระทรวงพลังงาน กองถ่ายถอดและเผยแพร่ โครงการสาธิตเทคโนโลยีเชิงลึกเพื่อการอนุรักษ์พลังงาน ระยะที่ 3
- [3] กรมพัฒนาพลังงานทดแทนและอนุรักษ์พลังงาน กระทรวงพลังงาน คู่มือฝึกอบรมการประเมิน ศักยภาพการอนุรักษ์พลังงาน
- [4] กรมพัฒนาพลังงานทดแทนและอนุรักษ์พลังงาน กระทรวงพลังงาน คู่มือ การผลิตไฟฟ้าจากพลังงาน แสงอาทิตย์ การถ่ายถอดและเผยแพร่การใช้พลังงานแสงอาทิตย์
- [5] ศูนย์เทคโนโลยีอิเล็กทรอนิกส์และคอมพิวเตอร์แห่งชาติ (เนคเทค-สวทช.) การศึกษาเกี่ยวกับระบบ ปรับอากาศพลังงานแสงอาทิตย์
- [6] สำนักงานพัฒนารัฐบาลดิจิทัล (องค์การมหาชน) (สพร.) ข้อมูลการใช้เชื้อเพลิงในการผลิต กระแสไฟฟ้าในประเทศไทย
- [7] การไฟฟ้าฝ่ายผลิตแห่งประเทศไทย เอกสารเผยแพร่ความรู้เทคโนโลยีประหยัดพลังงาน (เครื่องทำความเย็นแบบดูดซึม)
- [8] จักรตุพล ลงเงิน สาขา วิชาเทคโนโลยีพลังงาน มหาวิทยาลัยเทคโนโลยีพระจอมเกล้าธนบุรี ศึกษา การจำลองระบบการผลิตไฟฟ้าโดยเซลล์แสงอาทิตย์สำหรับบ้านพักอาศัยโดยใช้โปรแกรม PVSYST , 2556
- [9] มิติ มาลีทิพย์วรรณ ภาควิชาวิศวกรรมเครื่องกลมหาวิทยาลัยขอนแก่น การใช้โปรแกรม คอมพิวเตอร์จัดตารางการใช้ห้องเรียนเพื่อประหยัดการใช้พลังงาน , การประชุมวิชาการเครือข่าย วิศวกรรมเครื่องกลแห่งประเทศไทย ครั้งที่ 24 วันที่ 20-22 ตุลาคม 2553 จังหวัดอุบลราชธานี
- [10] ธนาคม สุนทรชัยนาคแสง ภาควิชาวิศวกรรมเครื่องกล สถาบันเทคโนโลยีพระจอมเกล้าพระนคร เหนือ แหล่งความร้อนเป็นปัจจัยสำคัญที่ต้องการประเมิน
- [11] นายภาณุ สุวิชาเชิดชู ภาควิชาวิศวกรรมเครื่องกล สถาบันเทคโนโลยีพระจอมเกล้าพระนครเหนือ ได้การศึกษการประเมินศักยภาพการใช้งานระบบกักเก็บความเย็นด้วยน้ำในอาคาร ท. 101 กพพ. สำนักงานใหญ่ 23 มีนาคม 2541
- [12] นายสุกิตต์ อายูเย็น สาขาวิชาเทคโนโลยีการจัดการพลังงาน มหาวิทยาลัยเทคโนโลยีพระจอมเกล้า ธนบุรี , การเพิ่มประสิทธิภาพพลังงานของระบบปรับอากาศโดยการลดเอนทัลปีของอากาศใหม่ , 2550

- [13] ดร. ตฤย์ มณีวัฒนา , สมบูรณ์ ตีรสิทธิ์ การลดความร้อนผ่านหลังคาและการหาค่า U และ CLTD สำหรับหลังคาในกรุงเทพ สมาคมวิศวกรรมปรับอากาศ บทความวิชาการ เล่มที่ 6 พฤศจิกายน 2544
- [14] เอกรัตน์ นภากานต์¹ , จิระศักดิ์ ส่งบุญแก้ว¹ , บัญชา ศรีวีโรจน์¹ , ศุภวัฒน์ ลาวัลย์วิสุทธิ²
1 สาขาวิศวกรรมไฟฟ้า คณะวิศวกรรมศาสตร์ มหาวิทยาลัยธนบุรี 248 เพชรเกษม 110 หนองแขม กรุงเทพมหานคร , 2 สาขาเทคโนโลยีอุตสาหกรรม มหาวิทยาลัยเทพสตรี 321 อำเภอเมือง ลพบุรี การประยุกต์ใช้พลังงานแสงอาทิตย์กับเครื่องปรับอากาศทั่วไป , ธันวาคม 2562
- [15] เจริญศักดิ์ เขียวเล่ง¹ , พลากร พรหมเมศร์² และปรพท มະຍະເຜີຍ³ , 1 สาขาวิชาการจัดการเทคโนโลยีและนวัตกรรม คณะวิศวกรรมศาสตร์ มหาวิทยาลัยนราธิวาสราชนครินทร์ นราธิวาส ,
2 สาขาวิชาวิศวกรรมไฟฟ้า คณะวิศวกรรมศาสตร์ มหาวิทยาลัยนราธิวาสราชนครินทร์ นราธิวาส
3 สาขาวิชาวิศวกรรมอุตสาหกรรม คณะวิศวกรรมศาสตร์ มหาวิทยาลัยนราธิวาสราชนครินทร์ นราธิวาส , การพัฒนาเครื่องปรับอากาศพลังงานแสงอาทิตย์แบบแยกส่วนสำหรับห้องขนาดเล็กตามมาตรฐานผลิตภัณฑ์อุตสาหกรรม. มอก. 2134-2553 , พฤศจิกายน 2564
- [16] นครินทร์ รินพล , คู่มือการออกแบบระบบไฟฟ้าพลังงานแสงอาทิตย์เบื้องต้น , กรุงเทพฯ. สำนักพิมพ์ ซีเอ็ด ยูเคชั่น. 2559
- [17] ศิวลักษณ์ สงสมพันธุ์ , คู่มือการออกแบบและติดตั้งระบบโซลาร์เซลล์ , กรุงเทพฯ.สถาบันอิเล็กทรอนิกส์กรุงเทพ
- [18] อัครเดช สิ้นธุภักดิ์ , การทำความเย็น , สถาบันสถาบันเทคโนโลยีพระจอมเกล้าเจ้าคุณทหารลาดกระบัง , ตุลาคม 2532
- [19] รศ.ดร. ธนาคม สุนทรชัยนาคแสง : ผู้แปล , JACK P. HOLMAN : ผู้แต่ง , การถ่ายเทความร้อน Heat Transfer , บริษัท สำนักพิมพ์ท็อป จำกัด , 2547
- [20] ดร. พงษ์ธร จริญญากรณ์ : ผู้แปล , G. Walker : ผู้แต่ง , อุปกรณ์แลกเปลี่ยนความร้อนสำหรับงานอุตสาหกรรม Industrial Heat Exchangers , บริษัท เอ็มแอนด์อี จำกัด , 2542
- [21] บทความเครื่องถ่ายเทความร้อน Heat Exchangers , บริษัท คอมพลีท เอ็นจิเนียริง แอนด์ เซอร์วิส จำกัด
- [22] ผศ.ดร.สมชัย อัครทิวา , อาจารย์ขวัญจิต วงขาริ : ผู้แปล , Yunus A. Cengel , Michael A. Boles : ผู้แต่ง , เทอร์โมไดนามิกส์ THERMODYNAMICS , บริษัท สำนักพิมพ์ท็อป จำกัด , 2547
- [23] Olga V. Shepvalova* , Alexander T. Belenov Investigation of DC Motors Mechanical Characteristics with Powered by Comparable Capacity PV Array , VIESH-RENEWABLE ENERGY SOURCES, 1-st Veshnyakovsky proezd. 2, Moscow, 109456, Russia

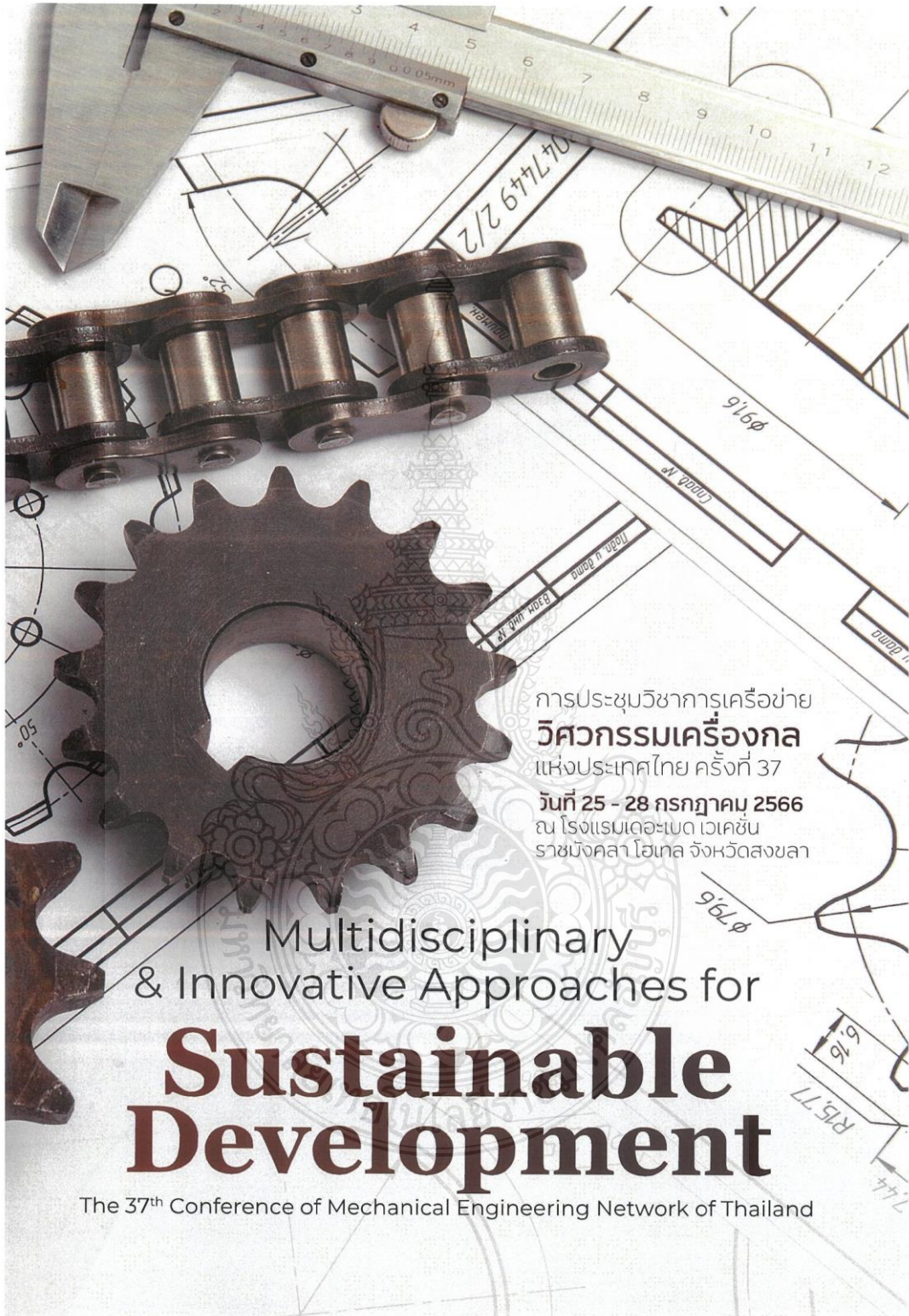
[24] <https://energyresearch.ucf.edu/consumer/solar-technologies/solar-electricity-basics/types-of-pv-systems/>

[25] <https://ienergyguru.com/2016/032/รังสีจากแสงอาทิตย์-solar-radiation/>





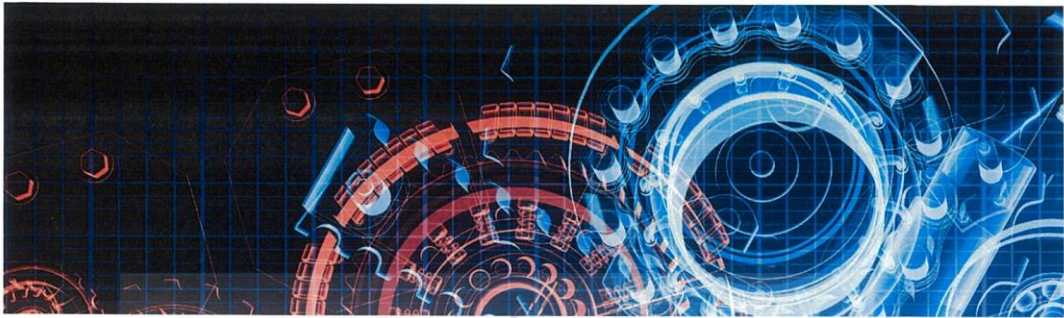
ภาคผนวก ก
ผลงานตีพิมพ์เผยแพร่



การประชุมวิชาการเครือข่าย
วิศวกรรมเครื่องกล
แห่งประเทศไทย ครั้งที่ 37
วันที่ 25 - 28 กรกฎาคม 2566
ณ โรงแรมเดอะเบด เวเคชั่น
ราชมังคลา โฮเทล จังหวัดสงขลา

Multidisciplinary
& Innovative Approaches for
**Sustainable
Development**

The 37th Conference of Mechanical Engineering Network of Thailand



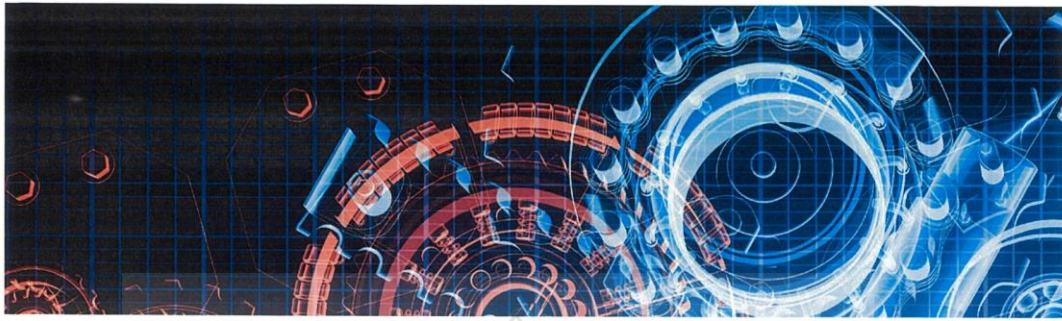
สาขาวิศวกรรมเครื่องกล
คณะวิศวกรรมศาสตร์ มหาวิทยาลัยเทคโนโลยีราชมงคลศรีวิชัย
ร่วมกับ
สมาคมวิศวกรเครื่องกลไทย



การประชุมวิชาการเครือข่ายวิศวกรรมเครื่องกล
แห่งประเทศไทย ครั้งที่ 37

วันที่ 25 - 28 กรกฎาคม 2566

ณ โรงแรมเดอะเบด เวเคชั่น ราชมิ่งคsla โฮเทล จังหวัดสงขลา



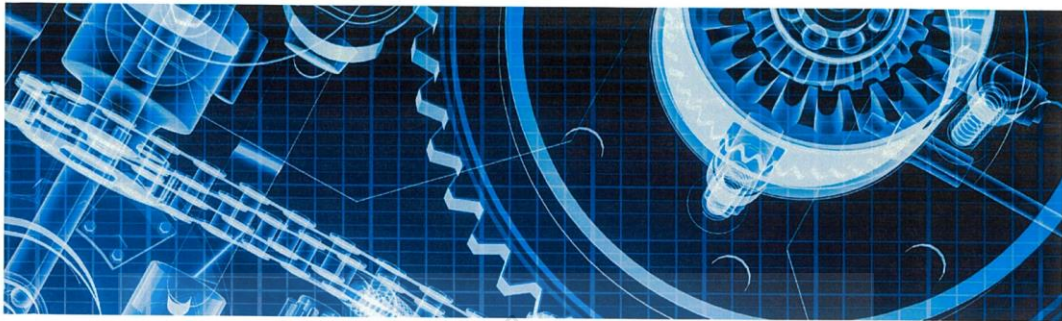
สารอธิการบดี มหาวิทยาลัยเทคโนโลยีราชมงคลศรีวิชัย

มหาวิทยาลัยเทคโนโลยีราชมงคลศรีวิชัย มีวิสัยทัศน์เป็นมหาวิทยาลัยแห่งนวัตกรรม โดยจัดการศึกษาวิชาชีพระดับอุดมศึกษาบนพื้นฐานวิทยาศาสตร์และเทคโนโลยีอย่างมีคุณภาพ เพื่อการพัฒนาภูมิภาคอย่างมั่นคง โดยมีพันธกิจหลัก คือ ผลิตกำลังคนเฉพาะทางที่มีคุณภาพ ตอบสนองอุตสาหกรรมเป้าหมายของประเทศ สร้างงานวิจัย สิ่งประดิษฐ์ และนวัตกรรมสู่การนำไปใช้ประโยชน์ต่อสังคมในการให้บริการวิชาการแก่สังคม ด้วยนวัตกรรมสู่การพัฒนาอย่างยั่งยืน รวมถึงสืบทอดศิลปวัฒนธรรมบนแนวทางวัฒนธรรมสร้างสรรค์

การประชุมวิชาการเครือข่ายวิศวกรรมเครื่องกลแห่งประเทศไทย ครั้งที่ 37 (The 37th Conference of Mechanical Engineering Network of Thailand) จัดขึ้นภายใต้แนวคิดความร่วมมือ สหวิทยาการ และนวัตกรรมสู่การพัฒนาอย่างยั่งยืน ขับเคลื่อนนโยบาย SDGs+BCG+NetZero+ESG ขององค์กร และสังคมทุกภาคส่วนในประเทศไทยต่อไป

ในนามมหาวิทยาลัยเทคโนโลยีราชมงคลศรีวิชัย หวังเป็นอย่างยิ่งว่า การประชุมวิชาการระดับชาติเพื่อเสนอผลงานวิจัยครั้งนี้ จะเป็นการเปิดโอกาสให้กับนักศึกษา อาจารย์ นักวิจัย และผู้ทรงคุณวุฒิของหน่วยงานต่าง ๆ ตลอดจนผู้สนใจทั้งภาครัฐและเอกชน ได้เรียนรู้แลกเปลี่ยนองค์ความรู้ร่วมกัน ทำให้เกิดการต่อยอดองค์ความรู้ สามารถนำไปใช้ประโยชน์ อันนำไปสู่การพัฒนาสังคมและประเทศต่อไป

(ศาสตราจารย์ ดร.สุวัจน์ จิตฺวอง)
อธิการบดีมหาวิทยาลัยเทคโนโลยีราชมงคลศรีวิชัย



सानายกสมาคม

การประชุมวิชาการเครือข่าย
วิศวกรรมเครื่องกลแห่งประเทศไทย ครั้งที่ 37

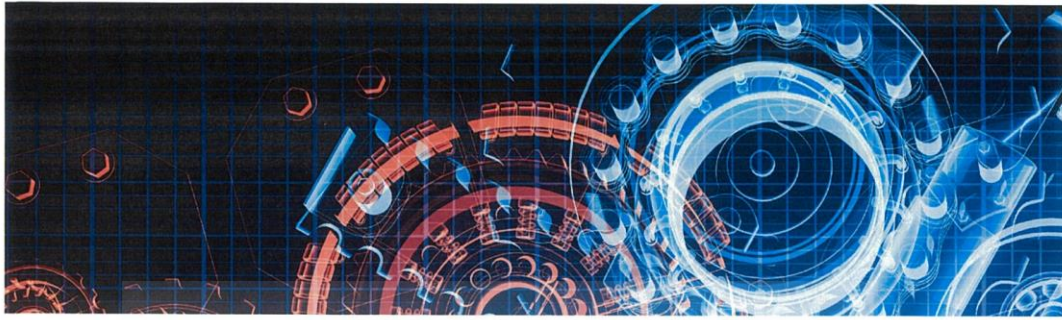


การประชุมวิชาการเครือข่ายวิศวกรรมเครื่องกลแห่งประเทศไทย หรือ ME-NETT (The Conference of the Mechanical Engineering Network of Thailand) ประจำปี 2566 ครั้งนี้ ถือว่าเป็นครั้งที่ 37 แล้ว ME-NETT ถือว่าเป็นการสัมมนาทางวิชาการที่สำคัญของชาววิศวกรรมเครื่องกลที่จัดมาต่อเนื่องทุกปี โดยจัดขึ้น เพื่อเป็นสถานที่หรือเวทีให้คณาจารย์ นักวิจัย นิสิตนักศึกษา รวมทั้งวิศวกรในภาคอุตสาหกรรม ได้มีโอกาสมาพบปะ แลกเปลี่ยนความรู้และประสบการณ์นำเสนอผลงานวิจัยและเทคโนโลยี นวัตกรรมใหม่ ๆ อีกทั้งยังเป็นโอกาสในการสร้างเครือข่ายความร่วมมือด้านวิชาการและงานวิจัยในอนาคต รวมทั้งพัฒนาเทคโนโลยีและนวัตกรรมต่าง ๆ อีกด้วย

ปัจจุบัน เทคโนโลยีและนวัตกรรมต่าง ๆ ได้เกิดขึ้นและพัฒนาไปอย่างรวดเร็ว งานด้านวิศวกรรมเครื่องกลก็เช่นกัน มีการประยุกต์ใช้งานในรูปแบบใหม่ ๆ หรือใช้ระบบควบคุมที่ทันสมัยมากขึ้นมาเกี่ยวข้อง มีการใช้ Smart technology หรือแม้กระทั่งมีการใช้ AI (Artificial Intelligence) มาร่วมในงานวิศวกรรมเครื่องกล อาจารย์ นักวิจัยและ วิศวกรในภาคอุตสาหกรรมต้องปรับตัว เรียนรู้ให้ทันเทคโนโลยีเหล่านั้น ในงาน ME-NETT ครั้งนี้ จะมีการนำเสนอผลงานวิจัย นวัตกรรมและเทคโนโลยีใหม่ ๆ ในกลุ่มสาขาหลัก ๆ 9 สาขา ดังที่แสดงใน Proceedings นี้ ทุบทความผ่านการพิจารณาและให้ข้อเสนอแนะโดยผู้ทรงคุณวุฒิในสาขาอย่างเข้มข้น เป็นผลงานวิจัยที่ตอบโจทย์การพัฒนาประเทศ และพื้นฐานในการพัฒนาเทคโนโลยีและนวัตกรรมทางวิศวกรรมเครื่องกล หวังว่าท่านที่มาร่วมงานจะได้ประโยชน์และความร่วมมือ เพื่อใช้ในอนาคต่อไป

ในฐานะนายกสมาคมวิศวกรเครื่องกลไทย ผมขอขอบคุณ ภาควิชาวิศวกรรมเครื่องกล คณะวิศวกรรมศาสตร์ มหาวิทยาลัยเทคโนโลยีราชมงคลศรีวิชัย วิทยาเขตสงขลา ที่รับเป็นเจ้าภาพในการจัดงานสัมมนา ME-NETT 37th นี้ และได้ทุ่มเท ตั้งใจ เตรียมการต่าง ๆ ในการจัดการประชุมครั้งนี้เป็นอย่างดี ขอขอบคุณคณะกรรมการสมาคมวิศวกรเครื่องกลไทย รวมทั้งผู้ทรงคุณวุฒิในสาขาวิศวกรรมเครื่องกล ที่ช่วยสนับสนุนและให้ความร่วมมือในการจัดการประชุมครั้งนี้ ขอขอบคุณ นักวิจัย คณาจารย์ นักศึกษา วิศวกร รวมทั้งผู้สนับสนุน จากสมาชิกเครือข่ายต่าง ๆ ที่ได้ส่งผลงานเข้าร่วมการนำเสนอและเป็นส่วนหนึ่งในการสร้างสรรค์สังคมวิศวกรเครื่องกลไทย และทำให้การประชุม ME-NETT ครั้งนี้ประสบความสำเร็จ ลุล่วงไปด้วยดี

(ศาสตราจารย์ ดร.กุลเชษฐ์ เพ็ชรทอง)
นายกสมาคมวิศวกรเครื่องกลไทย



ศาสตราจารย์ คณะวิศวกรรมศาสตร์ มหาวิทยาลัยเทคโนโลยีราชมงคลศรีวิชัย

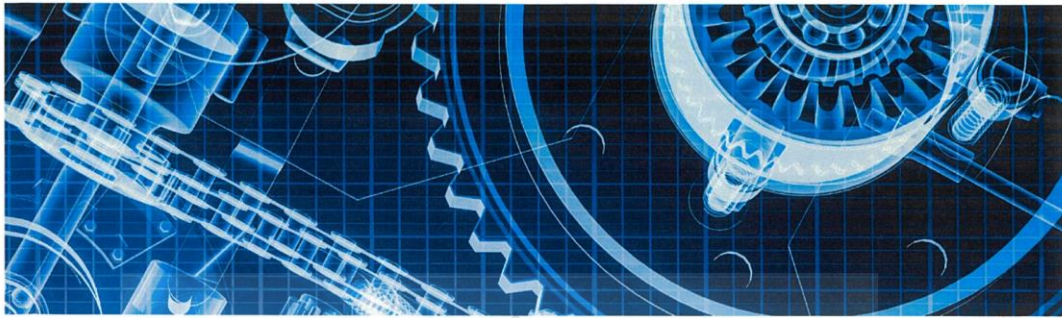
ในนามของคณะวิศวกรรมศาสตร์ มหาวิทยาลัยเทคโนโลยีราชมงคลศรีวิชัย รู้สึกยินดีเป็นอย่างยิ่งที่สาขาวิศวกรรมเครื่องกล คณะวิศวกรรมศาสตร์ มหาวิทยาลัยเทคโนโลยีราชมงคลศรีวิชัย ได้รับเกียรติเป็นเจ้าภาพการประชุมวิชาการเครือข่ายวิศวกรรมเครื่องกลแห่งประเทศไทย ครั้งที่ 37 ซึ่งจัดขึ้นระหว่างวันที่ 25-28 กรกฎาคม 2566 ณ โรงแรมเดอะเบต เวคชั่น ราชมั่งคลาไฮเทล จังหวัดสงขลา

สำหรับการประชุมวิชาการเครือข่ายวิศวกรรมเครื่องกลแห่งประเทศไทย ครั้งที่ 37 (The 37th Conference of Mechanical Engineering Network of Thailand) มุ่งเน้นในการส่งเสริมและสร้างความรู้ให้กับคณาจารย์ นักวิจัย นักวิชาการ นักศึกษา และผู้สนใจทั่วไป ได้ตระหนักถึงความสำคัญในการสร้างผลงานวิจัย และผลงานทางวิชาการด้านวิศวกรรมเครื่องกล และสาขาอื่น ๆ ที่เกี่ยวข้อง เพื่อเผยแพร่ในเวทีประชุมวิชาการระดับชาติ อีกทั้งยังเป็นการแลกเปลี่ยนองค์ความรู้ทางด้านวิชาการ ภายใต้แนวคิด “Multidisciplinary & Innovation Approaches for Sustainable Development” ความร่วมมือสหวิทยาการ และนวัตกรรมสู่การพัฒนาที่ยั่งยืน ตลอดจนเป็นการสร้างเครือข่ายของคณาจารย์ และนักวิจัยกับสถาบันการศึกษา รวมถึงหน่วยงานด้านการวิจัยต่าง ๆ

จึงหวังเป็นอย่างยิ่งว่า การประชุมวิชาการระดับชาติครั้งนี้ จะเป็นประโยชน์แก่ทุกท่านที่เข้าร่วมการประชุมวิชาการ และเป็นแรงผลักดันให้คณาจารย์ นักวิจัย นักวิชาการ นักศึกษา และผู้สนใจทั่วไป รวมถึงหน่วยงานภาครัฐและเอกชน ได้ร่วมกันขับเคลื่อนให้เกิดการพัฒนาประเทศด้วยงานวิจัยอย่างยั่งยืนในอนาคตต่อไป

(รองศาสตราจารย์สุรสิทธิ์ ระวังวงศ์)

คณบดีคณะวิศวกรรมศาสตร์
มหาวิทยาลัยเทคโนโลยีราชมงคลศรีวิชัย



สารหัวหน้า สาขาวิศวกรรม เครื่องกล

มหาวิทยาลัยเทคโนโลยีราชมงคลศรีวิชัย



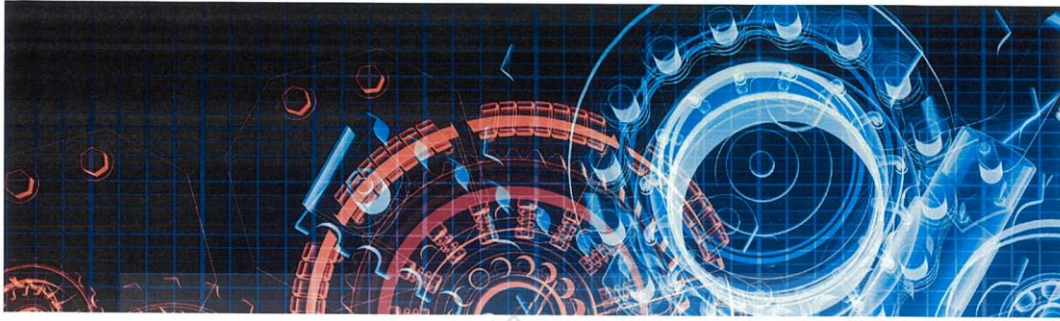
สาขาวิศวกรรมเครื่องกลนับว่าเป็นสาขาที่เก่าแก่ที่สุดสาขาหนึ่งของ คณะวิศวกรรมศาสตร์ เป็นสาขาที่ต้องออกแบบและสร้างเครื่องจักรกลต่างๆ เพื่อตอบสนองความต้องการของมนุษย์ รวมไปถึงงานพัฒนาให้มีความก้าวหน้ามากยิ่งขึ้น จากสภาวะการเปลี่ยนแปลงของเทคโนโลยีอย่างรวดเร็ว ส่งผลให้การวิจัยและพัฒนาทางด้านวิศวกรรมเครื่องกลก้าวหน้าไปตาม การเปลี่ยนแปลงของเทคโนโลยีด้วย ซึ่งการจะพัฒนาอย่างรวดเร็วได้นั้นจำเป็นต้องบูรณาการความรู้ ความสามารถ ของนักวิจัย วิศวกร และบุคลากรที่เกี่ยวข้องในทุกภาคส่วน การประชุมวิชาการเครื่องข่ายวิศวกรรมเครื่องกลแห่งประเทศไทยจึงเป็นเวทีที่สำคัญของนักวิจัยจากทุกองค์กร ทุกสถาบันในการนำผลงานมาร่วมนำเสนอ และแลกเปลี่ยนความรู้และประสบการณ์ในสาขาวิชาวิศวกรรมเครื่องกล ซึ่งในครั้งนี้ได้จัดขึ้นเป็นครั้งที่ 37 (ME-NETT 2023) ในระหว่างวันที่ 25-28 กรกฎาคม 2566 ณ โรงแรมเดอะเบต เวเคชั่น ราชมังคลาโยเทล จังหวัดสงขลา

กระผมและบุคลากรของสาขาวิศวกรรมเครื่องกล คณะวิศวกรรมศาสตร์ มหาวิทยาลัยเทคโนโลยีราชมงคลศรีวิชัย รู้สึกเป็นเกียรติอย่างยิ่งที่ได้รับเกียรติร่วมเป็นเจ้าภาพกับสมาคมวิศวกรเครื่องกลไทยในการจัดประชุมวิชาการเครื่องข่ายวิศวกรรมเครื่องกลแห่งประเทศไทยในครั้งนี้

สุดท้ายนี้ ขออวยพรให้ผู้เข้าร่วมประชุมทุกท่าน ประสบแต่ความสุข ความเจริญยิ่งขึ้น และหวังเป็นอย่างยิ่งว่าผู้เข้าร่วมประชุมทุกท่านจะได้รับประโยชน์พร้อมทั้งนำความรู้ที่ได้ไปพัฒนาต่อยอด เพื่อให้สังคมและประเทศชาติมีความเจริญก้าวหน้าสืบไป

(ผู้ช่วยศาสตราจารย์พรชัย เพชรสงคราม)

หัวหน้าสาขาวิศวกรรมเครื่องกล
คณะวิศวกรรมศาสตร์ มหาวิทยาลัยเทคโนโลยีราชมงคลศรีวิชัย



สารประธาน คณะกรรมการ ดำเนินงาน

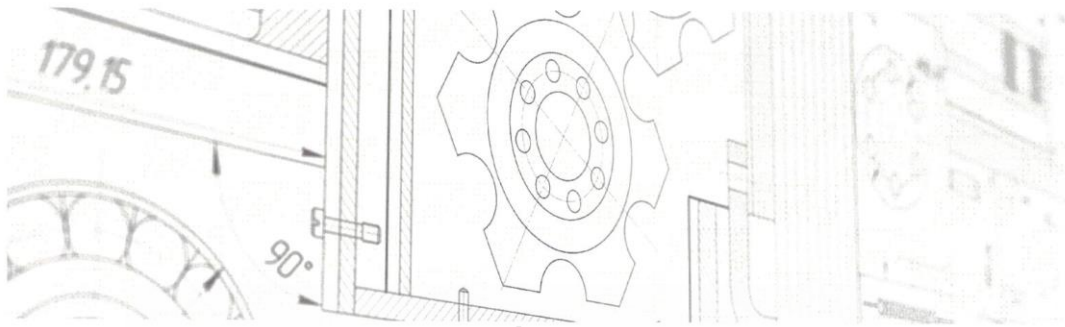
การประชุมวิชาการเครือข่าย
วิศวกรรมเครื่องกลแห่งประเทศไทย ครั้งที่ 37

การประชุมวิชาการเครือข่ายวิศวกรรมเครื่องกลแห่งประเทศไทย (Conference of Mechanical Engineering Network of Thailand) ได้ดำเนินการต่อเนื่องมาตั้งแต่ ปี พ.ศ. 2530 สืบเนื่องมาทุกปีจนถึงปัจจุบัน เป็นครั้งที่ 37 โดยมีวัตถุประสงค์เพื่อเป็นเวทีให้คณาจารย์ นักวิจัยและนักศึกษาที่มีผลผลิตจากศึกษาและพัฒนางานวิจัยที่เกี่ยวข้องทางด้านวิศวกรรมเครื่องกลในแต่ละหน่วยงานได้มีโอกาสนำผลงานดังกล่าวมาเสนอเป็นผลงานทางวิชาการในที่ประชุมระดับชาติ เพื่อเป็นการแลกเปลี่ยนองค์ความรู้ สร้างเครือข่ายความร่วมมือด้านวิชาการและวิจัยระหว่างหน่วยงานวิจัย รวมถึงสถาบันการศึกษาต่าง ๆ อันจะเป็นการส่งเสริมและพัฒนาให้เกิดผลงานวิจัยที่มีคุณภาพสอดคล้องกับความต้องการของสังคมและประเทศอย่างต่อเนื่อง

โดยการจัดการประชุมวิชาการเครือข่ายวิศวกรรมเครื่องกลแห่งประเทศไทย ครั้งที่ 37 ให้ความสำคัญในประเด็นของการส่งเสริมแนวคิด “Multidisciplinary & Innovation Approaches for Sustainable Development” ที่เน้นสร้างความร่วมมือในรูปแบบสหวิทยาการและนวัตกรรมสู่การพัฒนาที่ยั่งยืน เพื่อให้ก่อเกิดมุมมองหรือแนวทางที่ทางศาสตร์ของวิศวกรรมเครื่องกลสามารถขับเคลื่อนนโยบายความยั่งยืนขององค์กร และสังคมทุกภาคส่วนของประเทศไทยต่อไปอย่างเป็นรูปธรรมมากขึ้น อันจะเป็นประโยชน์ต่อการพัฒนาประเทศตามยุทธศาสตร์ชาติและแผนพัฒนาเศรษฐกิจและสังคมแห่งชาติ ฉบับที่ 13 โดยในปี พ.ศ. 2566 ทางสาขาวิศวกรรมเครื่องกล คณะวิศวกรรมศาสตร์ มหาวิทยาลัยเทคโนโลยีราชมงคลศรีวิชัย ได้รับเกียรติเป็นเจ้าภาพร่วมกับสมาคมวิศวกรเครื่องกลไทย ในการจัดการประชุมวิชาการเครือข่ายวิศวกรรมเครื่องกลแห่งประเทศไทย ครั้งที่ 37 (ME-NETT2023) ซึ่งกำหนดจัดขึ้นระหว่างวันที่ 25-28 กรกฎาคม พ.ศ. 2566 ณ โรงแรมเดอะเบต เวคชั่น ราชมังคลา โฮเทล จังหวัดสงขลา

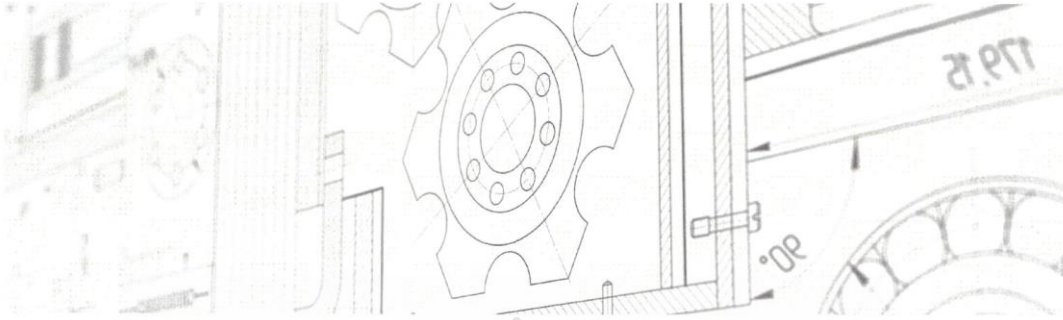
ในนามคณะกรรมการดำเนินงาน หวังเป็นอย่างยิ่งว่าการประชุมวิชาการระดับชาติเพื่อเสนอผลงานวิจัยครั้งนี้จะเป็นประโยชน์แก่ทุกท่านที่เข้าร่วมประชุมวิชาการ ไม่ว่าจะเป็นคณาจารย์ นักวิจัย นักวิชาการ นักศึกษา ผู้สนใจทั่วไป รวมถึงหน่วยงานภาครัฐและเอกชน และขอแสดงความขอบคุณฝ่ายที่เกี่ยวข้องที่ส่วนร่วมในการผลักดัน และร่วมกันดำเนินการให้งานประชุมวิชาการนี้สำเร็จลุล่วงตามวัตถุประสงค์ทุกประการ

(รองศาสตราจารย์ ดร.จาววัฒน์ เจริญจิต)
ประธานคณะกรรมการจัดการประชุมวิชาการ
เครือข่ายวิศวกรรมเครื่องกลแห่งประเทศไทย ครั้งที่ 37



สาขาวิชาในการประชุม

Alternative Energy and Combustion (AEC)
Automotive, Aerospace and Marine Engineering (AME)
Applied Mechanics, Materials and Manufacturing (AMM)
Biomechanics and Bioengineering (BME)
Computation and Simulation Techniques (CST)
Dynamic Systems, Robotics and Controls (DRC)
Engineering Education (EDU)
Energy Technology and Management (ETM)
Thermal System and Fluid Mechanic (TSF)

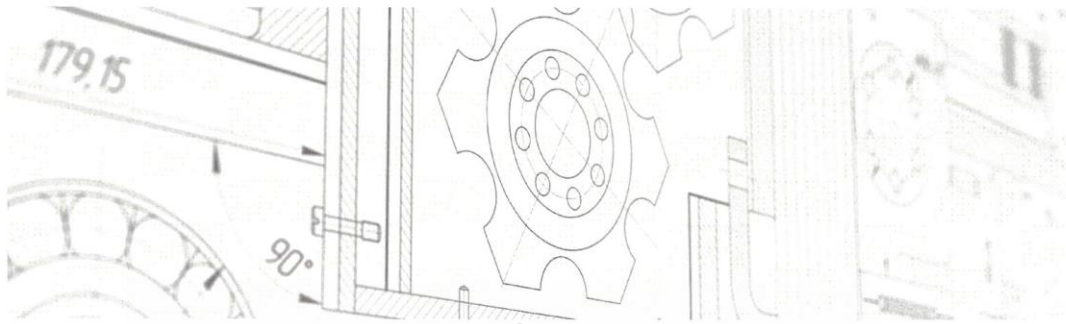


คณะกรรมการดำเนินงาน

คณะกรรมการการจัดงาน (สมาคมวิศวกรเครื่องกลไทย)

ศ.ดร.กุลเชษฐ์ เพียรทอง
 รศ.ดร.วรุฒ วิสุทธิ์เมธางกูร
 รศ.ดร.วิทยา ยงเจริญ
 ศ.ดร.สำเร็จ จักรใจ
 ผศ.ดร.จินดา เจริญพราณีชัย
 ศ.ดร.ผดุงศักดิ์ รัตนเดโช
 คุณมานิตย์ กุ๋จนพัฒน์
 คุณยุทธนา เจริญวงศ์
 ดร.พยุง ศักดาสาวิตร
 คุณอภิชาติ ล้ำเลิศพงศ์พนา
 รศ.ดร.ยศพงษ์ ลออนวล
 รศ.ดร.พงศ์พันธ์ แก้วดาทิพย์
 ศ.ดร.ประพาศ์ ทิชสกุล
 คุณจิรบูลย์ วิทยสิงห์
 พลตรีชูเกียรติ ช่วยเพชร
 คุณทีณกร ผ่องลักขณา
 ดร.สำเร็จ เนตรภู
 ศ.ดร.จางวัตร เจริญสุข
 รศ.ดร.สมิทธิ์ เอี่ยมสอาด
 ผศ.ดร.พรทิพย์ แก่งอินทร์
 ผศ.ดร.วราคม เน็ดน้อย
 ผศ.ดร.ณัฐดนัย พรรณเจริญวงษ์
 รศ.ดร.ปรีชา การินทร์
 อ.ดร.มโนชนา รังสิโยภาส
 รศ.ดร.คณิต วัฒนวิเชียร
 พล.อ.ท.ศ.ดร.นพพล หาญกล้า
 ศ.ดร.ธนากร วงศ์วัฒนาเสถียร
 รศ.ดร.อมรรัตน์ แก้วประดับ
 อ.ดร.เทพฤทธิ์ ทองชู
 รศ.ดร.อัญชสา ประมวลเจริญกิจ
 ผศ.ดร.วิรัช โยชนรินทร์
 ดร.นุวงศ์ ชลคุป

นายกสมาคมฯ มหาวิทยาลัยอุบลราชธานี
 มหาวิทยาลัยสงขลานครินทร์
 จุฬาลงกรณ์มหาวิทยาลัย
 มหาวิทยาลัยเทคโนโลยีพระจอมเกล้าธนบุรี
 สถาบันเทคโนโลยีพระจอมเกล้าเจ้าคุณทหารลาดกระบัง
 มหาวิทยาลัยธรรมศาสตร์
 กรรมการสมาชิวิศวกรรม
 กรรมการผู้จัดการใหญ่บริษัท บีแอลซีพี เพาเวอร์ จำกัด
 ประธานกรรมการบริหาร กลุ่มบริษัท ไทย ออโต้ ทูลส์ แอนด์ ดาย จำกัด
 กรรมการผู้จัดการ บริษัท ไอ.ที.ซี.(1993) จำกัด
 มหาวิทยาลัยเทคโนโลยีพระจอมเกล้าธนบุรี
 มหาวิทยาลัยเทคโนโลยีพระจอมเกล้าธนบุรี
 มหาวิทยาลัยสงขลานครินทร์
 นายสมาคมของช่างวิทยุของไทยและของต่างประเทศบ้าน
 ผู้อำนวยการสำนักงานวิจัยและพัฒนาการทางทหารกองทัพบก
 สำนักงานมาตรฐานผลิตภัณฑ์อุตสาหกรรม
 บริษัท เอส.เอช.เค.เอ็นจิเนียริง จำกัด
 สถาบันเทคโนโลยีพระจอมเกล้าเจ้าคุณทหารลาดกระบัง
 มหาวิทยาลัยเทคโนโลยีมหานคร
 มหาวิทยาลัยมหิดล
 สถาบันเทคโนโลยีไทย-ญี่ปุ่น
 มหาวิทยาลัยธรรมศาสตร์
 สถาบันเทคโนโลยีพระจอมเกล้าเจ้าคุณทหารลาดกระบัง
 มหาวิทยาลัยบูรพา
 จุฬาลงกรณ์มหาวิทยาลัย
 โรงเรียนพระดาบส
 มหาวิทยาลัยขอนแก่น
 มหาวิทยาลัยเทคโนโลยีพระจอมเกล้าธนบุรี
 มหาวิทยาลัยศรีปทุม
 มหาวิทยาลัยเกษตรศาสตร์ วิทยาเขตสกลนคร
 มหาวิทยาลัยเทคโนโลยีราชมงคลธัญบุรี
 สำนักงานพัฒนาวิทยาศาสตร์และเทคโนโลยีแห่งชาติ



ผศ.ดร. สราวุธ เวชกิจ
ผศ.ดร. พิเชฐ นิลดวงดี
คุณสายันท์ ปานซัง
ดร.สมสิทธิ์ มูลสถาน

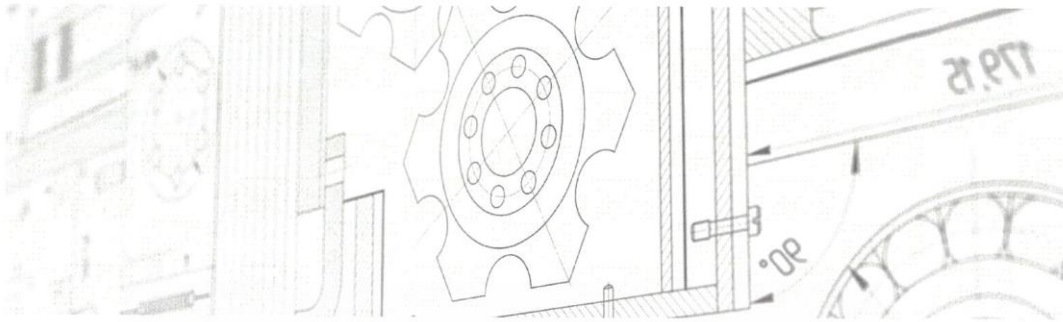
มหาวิทยาลัยมหิดล
มหาวิทยาลัยราชภัฏเพชรบุรี
การไฟฟ้าฝ่ายผลิตแห่งประเทศไทย
สภาอุตสาหกรรมแห่งประเทศไทย

ประธานกรรมการดำเนินงานประชุมวิชาการ

รศ.ดร.จาร์วัฒน์ เจริญจิต

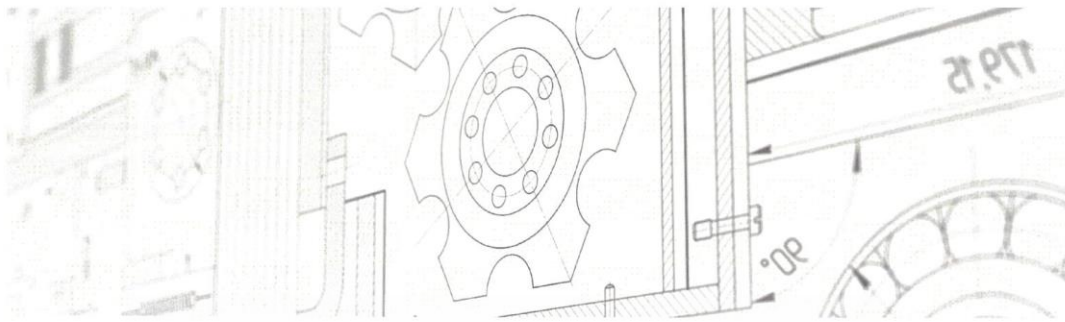
มหาวิทยาลัยเทคโนโลยีราชมงคลศรีวิชัย



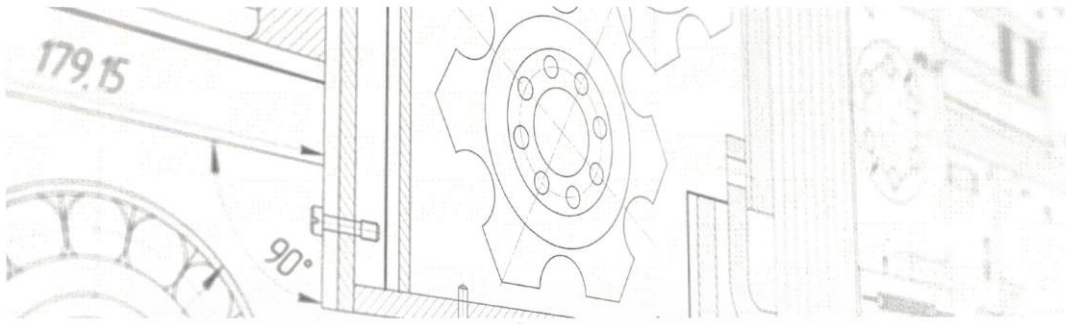


คณะกรรมการอำนวยการ ดำเนินงานและประสานงานทั่วไป
(มหาวิทยาลัยเทคโนโลยีราชมงคลศรีวิชัย)

คณบดีคณะวิศวกรรมศาสตร์ (รองศาสตราจารย์สุรสิทธิ์ ระวังวงศ์)	ที่ปรึกษา
รองคณบดี ๑ (ผู้ช่วยศาสตราจารย์ธยา ภิรมย์)	ที่ปรึกษา
รองคณบดี ๑ (นายเสรี ทองชุม)	ที่ปรึกษา
รองคณบดี ๑ (ผู้ช่วยศาสตราจารย์บรรเจิด ไปฏกรัตน์)	ที่ปรึกษา
รองศาสตราจารย์จรรวดี เจริญจิต	ประธาน
รองศาสตราจารย์สุรสิทธิ์ ระวังวงศ์	กรรมการ
รองศาสตราจารย์ชาติรี หอมเขียว	กรรมการ
รองศาสตราจารย์รพีพงศ์ บุญช่วยแทน	กรรมการ
ผู้ช่วยศาสตราจารย์จินดา สามัคคี	กรรมการ
ผู้ช่วยศาสตราจารย์จระศักดิ์ เพียรเจริญ	กรรมการ
ผู้ช่วยศาสตราจารย์จุฑามาศ ลักษณะกิจ	กรรมการ
ผู้ช่วยศาสตราจารย์ฐานวิทย์ นามไส	กรรมการ
ผู้ช่วยศาสตราจารย์นันทชัย ชูศิลป์	กรรมการ
ผู้ช่วยศาสตราจารย์บรรเจิด ไปฏกรัตน์	กรรมการ
ผู้ช่วยศาสตราจารย์บัญญัติ นิยมवास	กรรมการ
ผู้ช่วยศาสตราจารย์พรชัย เพชรสงคราม	กรรมการ
ผู้ช่วยศาสตราจารย์พรประสิทธิ์ คงบุญ	กรรมการ
ผู้ช่วยศาสตราจารย์พิทักษ์ บุญนุ่น	กรรมการ
ผู้ช่วยศาสตราจารย์รุ่งลาวัลย์ ชูสวัสดิ์	กรรมการ
ผู้ช่วยศาสตราจารย์รณนพพร ชีววัฒน์พงศ์	กรรมการ
ผู้ช่วยศาสตราจารย์วิสันต์ จินจาดา	กรรมการ
ผู้ช่วยศาสตราจารย์วิศิษฏ์ศักดิ์ ทับยัง	กรรมการ
ผู้ช่วยศาสตราจารย์สหพงศ์ สมวงศ์	กรรมการ
ผู้ช่วยศาสตราจารย์สิทธิโชค อุ่นแก้ว	กรรมการ
ผู้ช่วยศาสตราจารย์สิทธิพร บุญญาอนุวัตร	กรรมการ
ผู้ช่วยศาสตราจารย์สุชาติ จันทรมณี	กรรมการ
ผู้ช่วยศาสตราจารย์สุเทพ ชุกกลิ่น	กรรมการ
ผู้ช่วยศาสตราจารย์เสน่ห์ รักเกื้อ	กรรมการ
ผู้ช่วยศาสตราจารย์อริราช ภัทรวงกู	กรรมการ
ผู้ช่วยศาสตราจารย์อิโรจน์ มะโน	กรรมการ
ผู้ช่วยศาสตราจารย์อภิชาติ ศรีไชยรัตน์	กรรมการ
ผู้ช่วยศาสตราจารย์อารีชา โสภางารย์	กรรมการ
ผู้ช่วยศาสตราจารย์อุตร นามเสน	กรรมการ
ว่าที่ร้อยตรีสิทธิชัย นุ่นสง	กรรมการ
ว่าที่ร้อยตรีเนก ไทยกุล	กรรมการ
นายกิตติชัย ชัยเพชร	กรรมการ

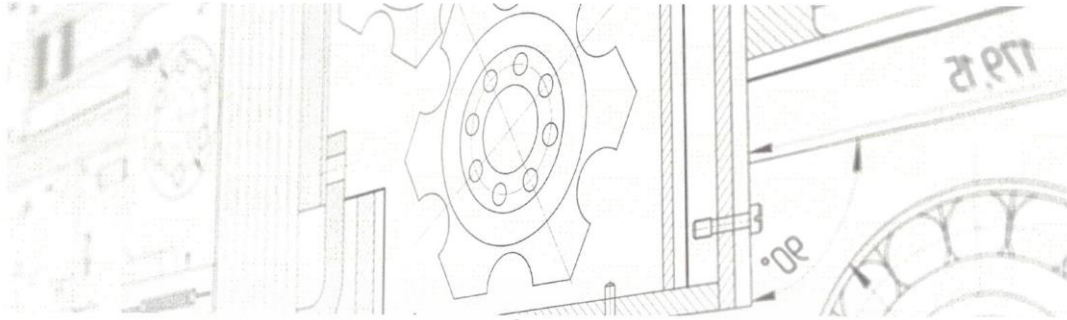


นายปิ่นชัย เกษสวัสดิ์	กรรมการ
นายโกคิน คงสิน	กรรมการ
นายวิวัฒน์ เพชรสุวรรณ	กรรมการ
นายศุภวัฒน์ ชัยอนันตกุล	กรรมการ
นายสตุติ ชุสวัสดิ์	กรรมการ
นายสุจินดา แซ่อ้น	กรรมการ
นายอภิวัชร ตรีสกุลวัฒน์	กรรมการ
นางทิพวรรณ จักช่วย	กรรมการ
นางนภาพร สมบูรณ์	กรรมการ
นางโยทกา ศรีบุรุษ	กรรมการ
นางศศิประภา ยันตรกิจ	กรรมการ
นางสาวกนกวรรณ เดชสถิตย์	กรรมการ
นางสาวกาญจนา ทองดี	กรรมการ
นางสาวกุสุมา สีนสารา	กรรมการ
นางสาวเกศินี บัวสังข์	กรรมการ
นางสาวจารุวรรณ ลูกจันทร์	กรรมการ
นางสาวชนกนันท์ ทองจีน	กรรมการ
นางสาวณปภัช ชายพรม	กรรมการ
นางสาวนิจวรีย์ ฉวี	กรรมการ
นางสาวบุญศรี นุ่นหนู	กรรมการ
นางสาวปานรดา จำวานิชย์	กรรมการ
นางสาวปิยะวรรณ บุญชื่น	กรรมการ
นางสาวผกามาส หลีสกุล	กรรมการ
นางสาวพรเพ็ญ จันทรา	กรรมการ
นางสาวพัชรี ทองช่วย	กรรมการ
นางสาวพิชชาภา ปาลรัตน์	กรรมการ
นางสาวเพ็ญพักตร์ แก้วทองงค์	กรรมการ
นางสาวกรชนก ณ สงคราม	กรรมการ
นางสาวภัทราภรณ์ เพ็ชรจารีรส	กรรมการ
นางสาววิลาวัลย์ ทองนิมิตร	กรรมการ
นางสาวศศิพิมพ์ ศรีมณี	กรรมการ
นางสาวสิริภรณ์ ภัทรางกูร	กรรมการ
นางสาวสุนิสา วัชรไชยพิมาย	กรรมการ
นางสาวสุมลทิพย์ วุ่นดี	กรรมการ
นางสาวอังคณา สีม่วง	กรรมการ
นางสาวอชฌา ทิมกุล	กรรมการ
นางสุนิสา ปิยะภาโส	กรรมการ
นางอุทัยทิพย์ จิตรมัทธรรม	กรรมการ

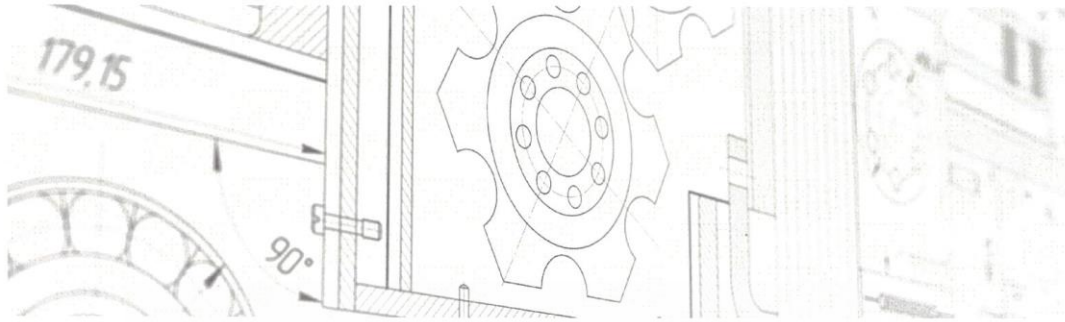


ผู้ทรงคุณวุฒิในการพิจารณาบทความ

- | | |
|-----------------------------------|--|
| 1 ศ.ดร.สุวัฒน์ กุลธนปริดา | มหาวิทยาลัยเทคโนโลยีพระจอมเกล้าพระนครเหนือ |
| 2 ศ.ดร.ฐานิตย์ เมธิยานนท์ | มหาวิทยาลัยเทคโนโลยีมหานคร |
| 3 ศ.ดร.สมชาย หาญกล้า | โรงเรียนนายเรืออากาศนวมินทกษัตริยาธิราช |
| 4 ศ.ดร.ไพศาล นามล | มหาวิทยาลัยศรีนครินทรวิโรฒ |
| 5 ศ.ดร.ลักกมณ เทพหัสดิน ณ อยุธยา | มหาวิทยาลัยเทคโนโลยีพระจอมเกล้าธนบุรี |
| 6 ศ.ดร.ธนากร วงศ์วัฒนาเสถียร | มหาวิทยาลัยขอนแก่น |
| 7 รศ.ดร.ชาติ หอมเขียว | มหาวิทยาลัยเทคโนโลยีราชมงคลศรีวิชัย |
| 8 รศ.ดร.ธีรพงษ์ เวศพันธ์ุ | มหาวิทยาลัยเทคโนโลยีราชมงคลธัญบุรี |
| 9 รศ.ดร.ธนรัฐ ศรีวีระกุล | มหาวิทยาลัยอุบลราชธานี |
| 10 รศ.ดร.อนิรุตน์ มีทูลจักร | มหาวิทยาลัยอุบลราชธานี |
| 11 รศ.ดร.อติ บุญจิตราคลัง | จุฬาลงกรณ์มหาวิทยาลัย |
| 12 รศ.ดร.วารุณี อริยวิริยะนันท์ | มหาวิทยาลัยเทคโนโลยีราชมงคลธัญบุรี |
| 13 รศ.ดร.วราภรณ์ จันทร์สาโร | มหาวิทยาลัยเกษตรศาสตร์ |
| 14 รศ.ดร.ภัทรมน จงประดิษฐ์ | มหาวิทยาลัยเทคโนโลยีพระจอมเกล้าธนบุรี |
| 15 รศ.ดร.ประสาน สถิตย์เรืองศักดิ์ | มหาวิทยาลัยเทคโนโลยีมหานคร |
| 16 รศ.ดร.จตุพร แก้วอ่อน | มหาวิทยาลัยทักษิณ |
| 17 รศ.ดร.กัมปนาท เทียนน้อย | มหาวิทยาลัยเทคโนโลยีพระจอมเกล้าพระนครเหนือ |
| 18 รศ.ดร.ปรีชา การินทร์ | สถาบันเทคโนโลยีพระจอมเกล้าเจ้าคุณทหารลาดกระบัง |
| 19 รศ.ดร.จารุวัฒน์ เจริญจิต | มหาวิทยาลัยเทคโนโลยีราชมงคลศรีวิชัย |
| 20 รศ.ดร.ชยุต นันทดุสิต | มหาวิทยาลัยสงขลานครินทร์ |
| 21 รศ.ดร.พินิจ งามสม | มหาวิทยาลัยรังสิต |
| 22 รศ.ดร.สุวิมล เสนีวงศ์ ณ อยุธยา | โรงเรียนนายเรือพระจุลจอมเกล้า |
| 23 รศ.ดร.บุญยฤทธิ์ ประสาทแก้ว | มหาวิทยาลัยเทคโนโลยีราชมงคลธัญบุรี |
| 24 รศ.ดร.วิริยะ ทองเรือง | มหาวิทยาลัยสงขลานครินทร์ |
| 25 รศ.ดร.ปัญญา อรุณจรัสธรรม | มหาวิทยาลัยมหิดล |
| 26 รศ.ดร.พัชราภรณ์ บุญยวานิชกุล | มหาวิทยาลัยเกษตรศาสตร์ |
| 27 รศ.ดร.สัปปินันท์ เอกอำพน | มหาวิทยาลัยธรรมศาสตร์ |
| 28 รศ.ดร.วิรัช ไรยนรินทร์ | มหาวิทยาลัยเทคโนโลยีราชมงคลธัญบุรี |
| 29 รศ.ดร.วาที มุกดี | มหาวิทยาลัยธรรมศาสตร์ |
| 30 รศ.ดร.วันชัย อัครวิชิตกุล | มหาวิทยาลัยเทคโนโลยีพระจอมเกล้าธนบุรี |
| 31 รศ.ดร.อมรรัตน์ แก้วประดับ | มหาวิทยาลัยเทคโนโลยีพระจอมเกล้าธนบุรี |
| 32 น.อ.ศ.ปิจิราวุธ เวียงจินดา | โรงเรียนนายเรือ |
| 33 ผศ.ดร.ฐานวิทย์ นามไส | มหาวิทยาลัยเทคโนโลยีราชมงคลศรีวิชัย |
| 34 รศ.วราพงศ์ บุญช่วยแทน | มหาวิทยาลัยเทคโนโลยีราชมงคลศรีวิชัย |
| 35 ผศ.ดร.สารพล รุติพัฒน์พงษ์ | มหาวิทยาลัยเทคโนโลยีพระจอมเกล้าพระนครเหนือ |
| 36 ผศ.ดร.อุทัย ประสพชิงชนะ | มหาวิทยาลัยบูรพา |



37 ผศ.ดร.พีเชฐ นิลดวงดี	มหาวิทยาลัยราชภัฏเพชรบุรี
38 ผศ.ดร.จิระพล กลิ่นบุญ	มหาวิทยาลัยเทคโนโลยีราชมงคลรัตนโกสินทร์
39 ผศ.ดร.เชมพัฒน์ ตันตวิวัฒน์กุล	มหาวิทยาลัยเทคโนโลยีพระจอมเกล้าพระนครเหนือ
40 ผศ.ดร.ชัชชานนท์ โพธิคุณ	มหาวิทยาลัยศิลปากร
41 ผศ.ดร.วิฑูรย์ เพิ่มสุวรรณ	มหาวิทยาลัยเทคโนโลยีสุรนารี
42 ผศ.ดร.กระวี ตรีอำนรรค	มหาวิทยาลัยเทคโนโลยีสุรนารี
43 ผศ.ดร.ณัฐคนย์ พรรณเจริญวงษ์	มหาวิทยาลัยธรรมศาสตร์
44 ผศ.ดร.อภิวัฒน์ นามเขต	มหาวิทยาลัยอุบลราชธานี
45 ผศ.ดร.ธาดา สุขศิลา	มหาวิทยาลัยเทคโนโลยีพระจอมเกล้าพระนครเหนือ
46 ผศ.ดร.สุธรรม ปทุมสวัสดิ์	มหาวิทยาลัยเทคโนโลยีพระจอมเกล้าพระนครเหนือ
47 ผศ.ดร.พิสิฐ ยงยิ่งศักดิ์ถาวร	มหาวิทยาลัยเทคโนโลยีพระจอมเกล้าพระนครเหนือ
48 ผศ.ดร.เพชร เจียรนัยศิลาวงศ์	มหาวิทยาลัยเทคโนโลยีพระจอมเกล้าพระนครเหนือ
49 ผศ.ดร.ชนัดต์ รัตน์สมรวงศ์	จุฬาลงกรณ์มหาวิทยาลัย
50 ผศ.ดร.อลงกรณ์ พิมพ์พิณ	จุฬาลงกรณ์มหาวิทยาลัย
51 ผศ.ดร.เด่นชัย วรรณจำเริญ	มหาวิทยาลัยศรีปทุม
52 ผศ.ดร.ณัฐวุฒิ สุวรรณภูมิ	มหาวิทยาลัยเทคโนโลยีราชมงคลรัตนโกสินทร์
53 ผศ.ดร.กิตติศักดิ์ คู่ขวัญ	มหาวิทยาลัยศิลปากร
54 ผศ.ดร.สมศักดิ์ วงษ์ประดับไชย	มหาวิทยาลัยธรรมศาสตร์
55 ผศ.ดร. กักพงศ จันทเปรมจิตต์	มหาวิทยาลัยบูรพา
56 ผศ.ดร.ธิดินทร์ แสงสว่าง	มหาวิทยาลัยศิลปากร
57 ผศ.ดร.จุฬารัตน์ บุญจปียะพร	มหาวิทยาลัยขอนแก่น
58 ผศ.ดร.รัฐศักดิ์ พรหมมาศ	มหาวิทยาลัยเทคโนโลยีราชมงคลรัตนโกสินทร์
59 ผศ.ดร.อิทธิโชค จักรโพวงศ์	มหาวิทยาลัยมหิดล
60 ผศ.ดร.ธิดินทร์ แสงสว่าง	มหาวิทยาลัยศิลปากร
61 ผศ.ดร.รัตนา การุญบุญญานันท์	มหาวิทยาลัยนเรศวร
62 ผศ.ดร.รุ่ง กิตติพิชัย	มหาวิทยาลัยมหิดล
63 ผศ.ดร.พรทิพย์ แก่งอินทร์	มหาวิทยาลัยมหิดล
64 ผศ.ดร.มกตาร์ แวหะยี	มหาวิทยาลัยสงขลานครินทร์
65 ผศ.ดร.อุษา มากมูล ภาราร์	มหาวิทยาลัยเทคโนโลยีพระจอมเกล้าธนบุรี
66 ผศ.ดร.กักพงศ จันทเปรมจิตต์	มหาวิทยาลัยบูรพา
67 ผศ.ดร.อรอุพร วิเศษสินธุ์	มหาวิทยาลัยเกษตรศาสตร์
68 ผศ.ดร.พงศ์ธร พรหมบุตร	มหาวิทยาลัยเกษตรศาสตร์
69 ผศ.ดร.อิโรจน์ มะโน	มหาวิทยาลัยเทคโนโลยีราชมงคลศรีวิชัย
70 ผศ.ดร.สุชาติ จันทร์มณี	มหาวิทยาลัยเทคโนโลยีราชมงคลศรีวิชัย
71 ผศ.ดร.จุฑามาศ ลักษณะกิจ	มหาวิทยาลัยเทคโนโลยีราชมงคลศรีวิชัย
72 ผศ.ดร.สหพงศ์ สมวงศ์	มหาวิทยาลัยเทคโนโลยีราชมงคลศรีวิชัย
73 ผศ.บัญญัติ นิยมवास	มหาวิทยาลัยเทคโนโลยีราชมงคลศรีวิชัย
74 ผศ.วิศิษฐ์ สีลาผาดิกุล	มหาวิทยาลัยเทคโนโลยีราชมงคลรัตนโกสินทร์



- 75 ผศ.ศิวะพงศ์ เพ็ชรสงค์
- 76 ผศ.จารุวัฒน์ คุณานพตล
- 77 ผศ.อรุณพร เรืองวิเศษ
- 78 ดร.ปฐมพร นระระโต
- 79 ดร.ยุยทุธ แก้วจรัส
- 80 ดร.ลัก สิทธิขมภู
- 81 ดร.ชัยวัฒน์ คุรุกิจวานิชย์
- 82 ดร.พรพรม บุญพรม
- 83 ดร.นิวัฒน์ สุขสาม
- 84 ดร.วราภรณ์ กลิ่นบุญ
- 85 ดร.ชโลธร ธรรมทั
- 86 ดร.จิตติ พัทธวณิช
- 87 ดร.โควิดา สังข์สุนทร
- 88 อ.กฤตยา ไชยยศ
- 89 อ.ขจรเดช พิมพ์พิไล
- 90 อ.ปณิดดา ไสหส
- 91 อ.ธนัท ธนอัศวพล
- 92 อ.ธีระวัฒน์ เพชรดี
- 93 อ.วสุ สุขสุวรรณ

- มหาวิทยาลัยศิลปากร
- มหาวิทยาลัยศิลปากร
- มหาวิทยาลัยเทคโนโลยีพระจอมเกล้าธนบุรี
- มหาวิทยาลัยเทคโนโลยีราชมงคลศรีวิชัย
- มหาวิทยาลัยเทคโนโลยีราชมงคลศรีวิชัย
- มหาวิทยาลัยเทคโนโลยีพระจอมเกล้าพระนครเหนือ
- มหาวิทยาลัยเทคโนโลยีราชมงคลสุวรรณภูมิ
- มหาวิทยาลัยเทคโนโลยีสุรนารี
- มหาวิทยาลัยเทคโนโลยีราชมงคลรัตนโกสินทร์
- สถาบันการจัดการปัญญาภิวัฒน์ (พีไอเอ็ม)
- มหาวิทยาลัยเทคโนโลยีสุรนารี
- มหาวิทยาลัยบูรพา
- มหาวิทยาลัยเทคโนโลยีราชมงคลรัตนโกสินทร์
- มหาวิทยาลัยอุบลราชธานี
- มหาวิทยาลัยเชียงใหม่
- มหาวิทยาลัยเทคโนโลยีราชมงคลศรีวิชัย
- มหาวิทยาลัยเทคโนโลยีราชมงคลศรีวิชัย
- มหาวิทยาลัยเทคโนโลยีราชมงคลศรีวิชัย
- มหาวิทยาลัยเทคโนโลยีราชมงคลศรีวิชัย



ระบบทำน้ำเย็นพลังงานแสงอาทิตย์ที่ใช้มอเตอร์กระแสตรงขับเคลื่อน
ระบบทำความเย็นแบบอัดไอ
Solar Water-Cooling System via a DC-Motor Driven
Vapor Compression Cycle

ชุมพล กำเหนิดนนท์ และ บุญฤทธิ์ ประสาทแก้ว

ภาควิชาวิศวกรรมเครื่องกล คณะวิศวกรรมศาสตร์ มหาวิทยาลัยเทคโนโลยีราชมงคลธัญบุรี
เลขที่ 39 หมู่ที่ 1 ตำบลคลองหก อำเภอธัญบุรี จังหวัดปทุมธานี รหัสไปรษณีย์ 12110
ติดต่อ: boonrit.p@en.rmutt.ac.th, เบอร์โทรศัพท์ 088-242-5691

บทคัดย่อ

งานวิจัยนี้มีวัตถุประสงค์เพื่อการศึกษาเกี่ยวกับสมรรถนะของระบบทำน้ำเย็นพลังงานแสงอาทิตย์ที่ใช้มอเตอร์กระแสตรงขับเคลื่อนระบบทำความเย็นแบบอัดไอ สำหรับระบบปรับอากาศด้วยน้ำเย็นพื้นที่ไม่เกิน 12 ตารางเมตร ซึ่งเมื่อเทียบกับการใช้เครื่องทำความเย็นกระแสสลับแล้วระบบนี้มีจุดเด่นคือเนื่องจากกระแสไฟฟ้าจากโซล่าเซลล์ (Solar Cell) เป็นกระแสตรง ดังนั้นการใช้มอเตอร์กระแสตรงจะรับกระแสไฟฟ้าจากโซล่าเซลล์หรือแบตเตอรี่ได้โดยตรงจึงไม่จำเป็นต้องมีอินเวอร์เตอร์ นอกจากนี้การกักเก็บความเย็นด้วยน้ำเย็นเป็นการสะสมพลังงานรูปแบบหนึ่งช่วยให้เครื่องทำความเย็นทำงานต่อเนื่องอย่างสม่ำเสมอ โดยระบบกักเก็บและจ่ายไฟฟ้าพลังงานแสงอาทิตย์ในการศึกษาทดลองประกอบด้วย แผงโซล่าเซลล์ขนาด 40 Volt , 320 Watt จำนวน 18 แผง และแบตเตอรี่ (Battery) ขนาด 12 Volt , 100 Ampere Per Hour จำนวน 6 ลูก ตัวควบคุมการจ่ายและประจุไฟฟ้าขนาด 24 Volt , 1,000 Watt จำนวน 3 ตัว เพื่อจ่ายกระแสไฟฟ้าให้กับมอเตอร์กระแสตรงขนาด 850 Watt ขับคอมเพรสเซอร์ (Compressor) ของระบบทำความเย็นแบบอัดไอโดยใช้สารทำความเย็นชนิด R 134 A และมีระบบการกักเก็บความเย็นด้วยถังน้ำเย็นหุ้มด้วยแผ่นฉนวนขนาด 3,000 ลิตร ผลการทดลองพบว่า ในส่วนของระบบทำน้ำเย็นพลังงานแสงอาทิตย์ที่ใช้มอเตอร์กระแสตรงขับเคลื่อนระบบทำความเย็นแบบอัดไอสามารถผลิตน้ำเย็นได้อุณหภูมิต่ำสุด 20 องศาเซลเซียส (Degree Celsius) โดยได้ทำการเดินเครื่องประมาณ 10 ชั่วโมง และยังมีทดสอบในช่วงเวลากลางวันเป็นการทดสอบสมรรถนะของเครื่องโดยใช้ไฟฟ้ากระแสตรง จากอุปกรณ์จ่ายไฟ (Power Supply) เพื่อเก็บข้อมูลในช่วงกลางวันนำไปพัฒนาตัวเครื่องต่อไปผลลัพธ์ที่ได้คือช่วงกลางวัน อุณหภูมิสิ่งแวดล้อมค่อนข้างต่ำทำให้อุณหภูมิน้ำเย็นลดลงต่ำถึง 16.5 องศาเซลเซียส จึงสรุปผลได้ว่าการผลิตน้ำเย็นด้วยพลังงานแสงอาทิตย์โดยใช้มอเตอร์ไฟฟ้ากระแสตรงขับเคลื่อนระบบทำความเย็นแบบอัดไอมีสมรรถนะที่ดีสามารถทำการพัฒนาต่อไปได้

คำหลัก: โซล่าเซลล์ การทำความเย็น การผลิตน้ำเย็น พลังงานแสงอาทิตย์

Abstract

The purpose of this research is to study the performance of a solar water chiller system using a direct current motor to drive the vapor compression cooling system. For air conditioning systems with cold water, the area does not exceed 12 square meters. Compared to the use of AC coolers, this system has a distinctive feature because the electricity from the solar cells is direct current. Therefore, the use of DC motors that can be supplied directly from solar cells or batteries does not require an inverter. In addition, cold water storage is a form of energy storage that keeps the chiller running consistently. The solar energy storage and distribution system in the experimental study consists of 18 solar panels size 40 Volt , 320 Watt and 6 batteries, size 12 Volt , 100 Ampere Per Hour , 3-controllers for discharging and charging , size 24 Volt 1,000 Watt To supply electricity to a 850 Watt DC motor driving the compressor of the vapor-compression refrigeration system using refrigerant type R 134 A. And there is a cold water storage system size 3000 liter

tank covered with black rubber insulation. The results showed that the photovoltaic chilled water system using DC motor to drive the vapor compression cooling system can produce cold water with a temperature as low as 20 degrees Celsius, which can be operated for 10 hours. And there is also a test during the night to test the performance of the machine by using direct current. From the power supply (Power Supply) to collect data during the night to develop the device further, the result is nighttime. The ambient temperature is relatively low, causing the cold water temperature to drop to as low as 16.5 degrees Celsius (Degree Celsius). Driving potential vapor compression refrigeration systems that can be further developed
Keywords: solar cell, refrigeration, water cooling, solar energy.

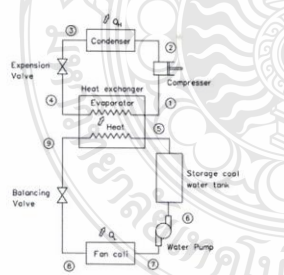
1. บทนำ

งานวิจัยนี้เป็นการศึกษาเกี่ยวกับการนำพลังงานแสงอาทิตย์มาใช้เป็นพลังงานให้กับระบบทำน้ำเย็นพลังงานแสงอาทิตย์ที่มีการใช้มอเตอร์กระแสตรงขับเคลื่อนระบบทำความเย็นแบบอัดไอ สำหรับระบบปรับอากาศด้วยน้ำเย็น เพื่อเป็นแนวทางการลดพลังงานไฟฟ้าที่ได้จากการเผาไหม้ได้ ซึ่งในสภาวะปัจจุบันระบบผลิตไฟฟ้าด้วย PV (Photovoltaic) หรือแผงโซลาร์เซลล์ ปัจจุบันมีใช้อย่างแพร่หลาย ทั้งในบ้านพักอาศัย โรงงานอุตสาหกรรม ซึ่งก็มีวัตถุประสงค์เดียวกันคือการประหยัดพลังงานที่ต้องซื้อจากภาครัฐ ในการศึกษาได้มีการเก็บผลทดลองต่างๆ เช่นค่าพลังงานแสงอาทิตย์ในแต่ละช่วงเวลาของวันนำมาเปรียบเทียบกับการผลิตกระแสไฟฟ้าที่ได้และการผลิตน้ำเย็นในงานวิจัย

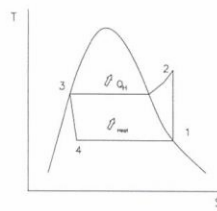
2. วิธีการดำเนินการวิจัย

2.1 การเขียนไดอะแกรม (Diagram)

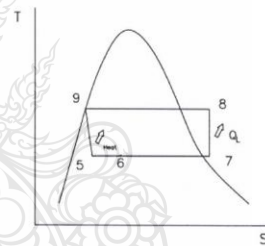
การเริ่มต้นการทดลองสิ่งแรกที่ทำก่อนคือการเขียนภาพและแผนภาพ T - s ไดอะแกรมของวัฏจักรทำความเย็นแบบอัดตัวที่ใช้ในการศึกษาใช้หลักการทำงานของวัฏจักรคาร์โนต์ (Carnot cycle) โดยที่แสดงใน "รูปที่ 1", "รูปที่ 2", "รูปที่ 3" ตามลำดับ



รูปที่ 1 ภาพแสดงอุปกรณ์ของวัฏจักรทำความเย็นแบบอัดไอ ใช้หลักการทำงานของวัฏจักรคาร์โนต์ในการศึกษา



รูปที่ 2 แผนภาพ T - s ของวัฏจักรทำความเย็นแบบอัดไอที่ใช้หลักการทำงานของวัฏจักรคาร์โนต์ในการศึกษา



รูปที่ 3 แผนภาพ T - s ของวัฏจักรทำความเย็นแบบอัดตัวด้านน้ำเย็นใช้ในการศึกษา

2.2 เขียนไดอะแกรมอุปกรณ์ทั้งหมด

ก่อนสร้างเครื่องทดลองในงานวิจัยจำเป็นต้องเขียนไดอะแกรมอุปกรณ์ทั้งหมดที่แสดงใน "รูปที่ 4" โดยหลักการงานจะแบ่งออกเป็น 3 ส่วนดังนี้

2.2.1 พลังงานไฟฟ้าที่ได้จากแผงโซลาร์เซลล์

พลังงานไฟฟ้าที่ได้จากแผงโซลาร์เซลล์จำนวน 18 แผงขนาด 320 Watt แบ่งเป็นชุดจำนวน 3 ชุด ต่อแบบขนานกันและจะถูกเก็บไว้ในแบตเตอรี่ จำนวน 6 ลูกต่อแบบอนุกรมและขนานกันตามลำดับเพื่อให้มีความจุ 24 Volt , 300 Ampere Per Hour และควบคุมโดยชาร์จคอนโทรลเลอร์ (Charge Controller) จำนวน 3 ชุดใช้เป็นพลังงานในการขับ

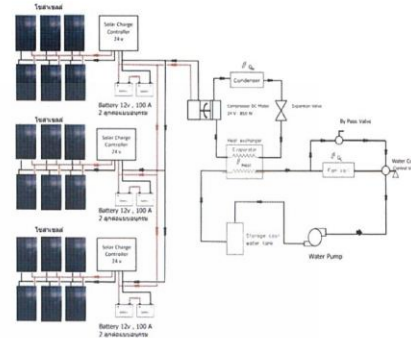
คอมเพรสเซอร์ขนาด 850 Watt ในวัฏจักรทำความเย็นแบบ
ไออัดตัวโดยแสดงอยู่ในรูปที่ 4”

2.2.2 วัฏจักรการทำความเย็นแบบอัดไอ

ในส่วนของท่านวัฏจักรการทำความเย็นแบบอัดไอโดยใช้
หลักการการทำงานของวัฏจักรคาร์โนต์ เมื่อคอมเพรสเซอร์ขนาด
850 Watt ได้รับพลังงานไฟฟ้าที่ถูกเก็บไว้ในแบตเตอรี่ จะเริ่ม
ทำงานมีการดูดสารทำความเย็นชนิด R 134 A ที่มีสถานะ
เป็นไอ เรียกว่าด้านแรงดันต่ำในงานวิจัยนี้จะมีความดันอยู่ที่
35 Psi (Pounds per square inch) และอุณหภูมิจะอยู่ที่
ประมาณ 22 องศาเซลเซียส ส่งต่อไปที่คอนเดนเซอร์ เพื่อ
ระบายความร้อนและเกิดการควบแน่นเปลี่ยนสถานะเป็น
ของเหลวเรียกว่าด้านแรงดันสูงมีความดันอยู่ที่ 110 Psi โดยที่
อุณหภูมิเข้าคอนเดนเซอร์จะอยู่ที่ประมาณ 75 องศา
เซลเซียสและอุณหภูมิออกคอนเดนเซอร์จะอยู่ที่ประมาณ
26 องศาเซลเซียส และจะถูกฉีดผ่านอุปกรณ์เอ็กซ์แพนชัน
วาล์ว (Expansion valve) เปลี่ยนสถานะเป็นไออุณหภูมิจะ
อยู่ที่ประมาณ 1 องศาเซลเซียส ผ่านอุปกรณ์แลกเปลี่ยน
ความร้อน (Heat Exchanger) โดยมีฮีวโปเรเตอร์
(Evaporator) อยู่ภายในใช้สำหรับแลกเปลี่ยนความร้อนกับ
น้ำทำให้มีอุณหภูมิเย็นลงอยู่ที่ 16.5 องศาเซลเซียส - 20
องศาเซลเซียส และน้ำจะถูกปั๊มไปเก็บไว้ที่ถังเก็บน้ำเย็น
ส่วนสารทำความเย็นชนิด R 134 A ที่ออกจากอุปกรณ์
แลกเปลี่ยนความร้อน จะถูกคอมเพรสเซอร์ดูดไป
คอนเดนเซอร์เพื่อระบายความร้อนและเกิดการควบแน่น
เป็นวัฏจักรอย่างนี้ต่อไป

2.2.3 ระบบน้ำเย็น

ในส่วนของระบบน้ำเย็นที่เก็บไว้ในถังเก็บน้ำเย็นจะ
ถูกปั๊มน้ำดูดอัดส่งต่อไปที่ แฟนคอยล์ (Fan coil unit) เป็น
อุปกรณ์แลกเปลี่ยนความร้อนระหว่างอากาศภายใน
ห้องทดลองงานวิจัยกับน้ำเย็นแต่ในงานวิจัยนี้จะไม่ถูกเปิดใช้
งาน งานวิจัยนี้จะไปมุ่งเน้นไปที่การผลิตน้ำเย็นเพียงอย่าง
เดียว



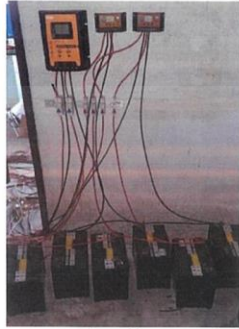
รูปที่ 4 โคอะแกรมระบบทำน้ำเย็นพลังงานแสงอาทิตย์โดยใช้
มอเตอร์ (Motor) กระแสตรงขับเคลื่อนระบบทำความเย็น
แบบอัดไอ

2.3 การสร้างเครื่องทดลอง

โดยในการสร้างเครื่องทดลองจะใช้เหล็กฉากในการทำ
โครงสร้างเพื่อที่จะใช้ติดตั้ง คอมเพรสเซอร์ , คอนเดนเซอร์ ,
อุปกรณ์แลกเปลี่ยนความร้อน,ตัวควบคุมมอเตอร์ (Motor
control panel) และเซ็นเซอร์ (Sensor) ต่างๆ ทำการจัด
วางตำแหน่งให้เหมาะสมโดยแสดงในรูปที่ 5” และอุปกรณ์
ต่างๆ ให้ตรงกับโคอะแกรมในรูปที่ 4” ซึ่งจะแสดงอยู่ในรูป
ที่ 6” , “รูปที่ 7” และ “รูปที่ 8”



รูปที่ 5 แสดงในส่วนเครื่องทำน้ำเย็น



รูปที่ 6 แสดงระบบชาร์จคอนโทรลและแบตเตอรี่



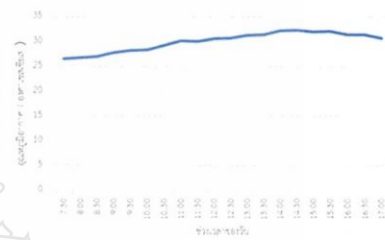
รูปที่ 7 ถังเก็บน้ำเย็น



รูปที่ 8 แสดงแผงโซลาร์เซลล์ที่ใช้ในงานวิจัย

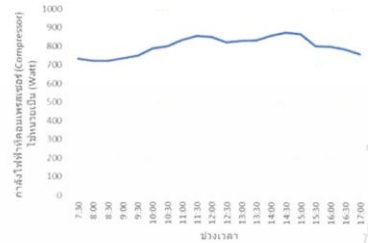
2.3 การบันทึกผลการทดลอง

ในการเดินเครื่องทดลองงานวิจัยนี้เป็นช่วงปลายฤดูฝนวันที่วันที่ 7 เดือนธันวาคม พ.ศ. 2565 และได้มีการบันทึกค่าต่างๆ ผลการทดลองตั้งแต่ 07:30 น. - 17:00 น. ในช่วงเวลากลางวัน โดยใช้พลังงานจากแสงอาทิตย์ที่ผลิตได้เป็นแหล่งพลังงาน และบันทึกผลการทดลอง แต่ละช่วงเวลาที่แสงแดดส่องลงมา บนพื้นผิวแผงโซลาร์เซลล์ว่าสามารถผลิตน้ำเย็นได้มากน้อยเพียงใด

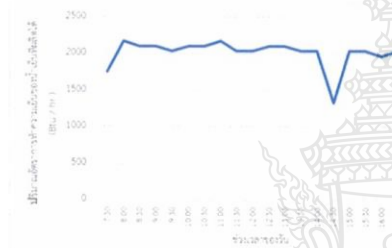


รูปที่ 9 แผนภูมิความสัมพันธ์ระหว่างอุณหภูมิกับช่วงเวลาของวัน

อุณหภูมิอากาศโดยปกติช่วงกลางวันจะสูงสุดในช่วงบ่ายของวันและสภาพอากาศก็ส่งผลต่ออุณหภูมิอากาศในวันนั้นๆ เช่นกันซึ่งส่งผลกับเครื่องทำน้ำเย็นในงานวิจัยตามที่แสดงในแผนภูมิ "รูปที่ 9"



รูปที่ 10 แผนภูมิความสัมพันธ์ระหว่างกำลังไฟฟ้าที่มอเตอร์ใช้ขับเคลื่อนคอมเพรสเซอร์กับช่วงเวลาของวัน



รูปที่ 11 แผนภูมิความสัมพันธ์ระหว่างอัตราการทำความเย็นของน้ำเย็นที่ผลิตได้กับช่วงเวลาของวัน

คอมเพรสเซอร์ในระบบทำความเย็นแบบอัดไอนั้นทำหน้าที่ในการบีบอัดสารทำความเย็น R-134 A ไปตามท่อสารทำความเย็นในระบบทำความเย็นคอมเพรสเซอร์จะกินกำลังมากถ้าการระบายความร้อนในส่วนของคอนเดนเซอร์ไม่ดีซึ่งก็ขึ้นอยู่กับอากาศโดยรอบในบริเวณนั้นถ้าอุณหภูมิสูงก็จะระบายความร้อนไม่ดีทำให้คอมเพรสเซอร์ต้องกินกำลังมากขึ้นในการอัดน้ำยาตามที่แสดงแผนภูมิใน "รูปที่ 10"

จากแผนภูมิความสัมพันธ์ระหว่างอัตราการทำความเย็นกับช่วงเวลาของวันจะเห็นว่าขึ้นอยู่กับอากาศที่เข้าระบายความร้อนของคอนเดนเซอร์ ถ้าอุณหภูมิที่เข้าสูงจะทำให้อุณหภูมิของสารทำความเย็น R-134 A ที่ออกจากคอนเดนเซอร์สูงตามทำการแลกเปลี่ยนความร้อนในอุปกรณ์แลกเปลี่ยนความร้อนไม่ดีส่งผลให้อัตราการทำความเย็นลดต่ำลงดังแสดงในแผนภูมิ "รูปที่ 11"

2.4 การวัดค่าสัมประสิทธิ์สมรรถนะ COP (Coefficient of Performance)

ค่าสัมประสิทธิ์สมรรถนะ COP เป็นค่าอัตราส่วนระหว่างความสามารถในการทำความเย็นซึ่งมีหน่วยในการวัดผลเป็น 'Watt' ต่อกำลังไฟฟ้าที่มอเตอร์ใช้ขับเคลื่อนคอมเพรสเซอร์ในการทำความเย็นหน่วยในการวัดผลเป็น Watt เช่นเดียวกัน โดยค่า COP คำนวณได้จาก "สมการที่ (1)"

$$COP = \frac{\text{ความสามารถในการทำความเย็น (Watt)}}{\text{กำลังไฟฟ้าที่มอเตอร์ใช้ขับเคลื่อนคอมเพรสเซอร์ (Watt)}} \quad (1)$$

จากช่วงเวลา 7:30 น. ความสามารถในการทำความเย็นจาก "รูปที่ 11" เท่ากับ 1,754.859 Btu/hr แปลงเป็น Watt จะได้เท่ากับ 513.95 Watt , กำลังไฟฟ้าที่มอเตอร์ใช้ขับเคลื่อนคอมเพรสเซอร์จาก "รูปที่ 10" เท่ากับ 732.33 Watt

แทนค่าใน "สมการที่ (1)" จะได้

$$COP = \frac{513.95}{732.33} = 0.70$$

จาก "สมการที่ (1)" ค่าเฉลี่ยทั้งวัน 07:30 น.– 17:00 น.

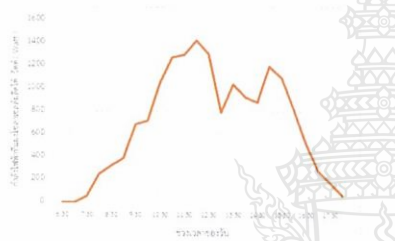
$$COP = 0.73$$

จากค่า COP ที่คำนวณจากสมการที่ (1) ในงานวิจัยนี้จะมีค่าค่อนข้างต่ำ มาจากขนาดของ คอนเดนเซอร์ที่เล็กเกินไปทำให้ระบายความร้อนไม่ดีเท่าที่ควร ยังต้องมีการพัฒนาต่อไป



รูปที่ 12 แผนภูมิความสัมพันธ์ระหว่างพลังงานแสงอาทิตย์กับช่วงเวลาของวัน

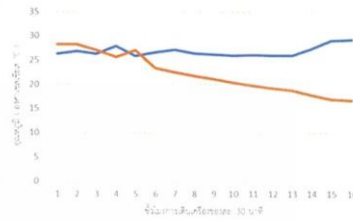
พลังงานแสงอาทิตย์ที่มาจากแสงอาทิตย์จะมากขึ้นตามองศาการตั้งฉากกับแผงโซลาร์เซลล์โดยที่พลังงานแสงอาทิตย์ในงานวิจัยนี้จะมากที่สุดจะเป็นในช่วงเวลา 13:30 น. ทั้งนี้พลังงานแสงอาทิตย์จะขึ้นอยู่กับฤดูกาลด้วยว่าเป็นฤดูไหนเป็นที่แน่นอนอยู่แล้วว่าฤดูร้อนย่อมมีพลังงานแสงอาทิตย์มากที่สุด ในช่วงช่วงพลังงานแสงอาทิตย์อาจขึ้นไปถึง 1,300 W/m² เลยทีเดียวในงานวิจัยนี้ช่วงเวลาที่ทำการทดลองอยู่ในช่วงปลายฤดูฝนวันที่ 7 เดือนธันวาคม พ.ศ. 2565 ทำให้มีเมฆมากพลังงานแสงอาทิตย์จึงมีค่าไม่เกิน 1,000 W/m² ดังที่ได้แสดงไว้ใน "รูปที่ 12"



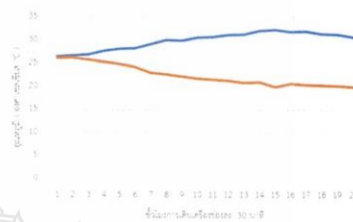
รูปที่ 13 แผนภูมิความสัมพันธ์ระหว่างกำลังไฟฟ้าที่แผงโซลาร์เซลล์ผลิตได้ช่วงเวลาของวัน

ในงานวิจัยนี้ได้ออกแบบการต่อแผงโซลาร์เซลล์จำนวน 18 แผงขนาด 320 Watt แบ่งเป็นชุดจำนวน 3 ชุด ต่อแบบขนานกันและจะถูกเก็บไว้ในแบตเตอรี่ จำนวน 6 ลูกต่อแบบอนุกรมและขนานกันตามลำดับเพื่อให้มีความจุ 24 Volt, 300 Ampere และควบคุมโดยชาร์จคอนโทรลเลอร์ (Charge Controller) จำนวน 3 ชุด

โดยสามารถสรุปจากแผนภูมิ "รูปที่ 13" ดังนี้คือในช่วงเวลากลางวัน 6:30 น. ถึง 12:00 น. เส้นกราฟจะตั้งชันมากเนื่องจากเป็นช่วงที่กำลังมีการชาร์จ (Charge) ไฟเข้าแบตเตอรี่และอีกส่วนหนึ่งได้ไปจ่ายให้กับคอมพิวเตอร์เมื่อแบตเตอรี่เต็มตัวชาร์จคอนโทรลเลอร์ก็จะตัดการทำงานเหลือเพียง 2 ชุดจากจำนวน 3 ชุดทำให้กำลังไฟฟ้าที่แผงโซลาร์เซลล์ผลิตได้ลดลง ส่วนช่วงเวลา 15:00 น. ถึง 17:30 น. เป็นช่วงที่พลังงานจากแสงอาทิตย์ลดลงทำให้กำลังไฟฟ้าที่แผงโซลาร์เซลล์ผลิตลดลงตามไปด้วยถึงแม้ชาร์จคอนโทรลเลอร์จะทำงานพร้อมกันทั้ง 3 ชุด



รูปที่ 14 แผนภูมิการทดสอบเครื่องช่วงอากาศค่า



รูปที่ 15 แผนภูมิการทดสอบเครื่องช่วงอากาศกลางวัน

- คือเส้นอุณหภูมิอากาศสิ่งแวดล้อม
- คือเส้นอุณหภูมิน้ำเย็นที่ผลิตได้

จากแผนภูมิ "รูปที่ 14" การทดสอบเครื่องช่วงเวลากลางคืน เป็นการทดสอบสมรรถนะของเครื่องโดยการใช้ไฟฟ้ากระแสตรง จากอุปกรณ์จ่ายไฟ (Power Supply) เพื่อเก็บข้อมูลในช่วงกลางคืนนำไปพัฒนาตัวเครื่องต่อไปผลลัพธ์ที่ได้คือช่วงกลางคืน อุณหภูมิสิ่งแวดล้อมค่อนข้างต่ำทำให้อุณหภูมิน้ำเย็นลดลงต่ำถึง 16.5 องศาเซลเซียส ซึ่งอุณหภูมิน้ำเย็นเริ่มต้นที่ 28.2 องศาเซลเซียส อัตราการไหลของน้ำเย็นอยู่ที่ 1 GPM (Gallon Per Minute) โดยเวลาในการทดสอบตั้งแต่เวลา 1:00 น. ถึง 10:30 น.

จาก "รูปที่ 15" การทดสอบเครื่องช่วงอากาศกลางวันเวลาแหล่งจ่ายไฟฟ้าที่ใช้เป็นไปตามวัตถุประสงค์ของการทำวิจัยกลางวัน 6:30 น. ถึง 17:30 น. ครั้งนี้คือใช้กระแสไฟฟ้ากระแสตรงจากแผงโซลาร์เซลล์ ที่ผลิตได้ อุณหภูมิสิ่งแวดล้อมค่อนข้างสูงทำให้อุณหภูมิน้ำเย็นลดลงเพียง 20 องศาเซลเซียสซึ่งอุณหภูมิน้ำเย็นเริ่มต้นที่ 26.2 องศาเซลเซียส อัตราการไหลของน้ำเย็นอยู่ที่ 1 GPM

3 สรุปผลการทดลอง

ขอบเขตของงานวิจัยนี้คือการศึกษาอัตราการผลิตไฟฟ้าจากแผงโซลาร์เซลล์ที่นำไปใช้งานในการผลิตน้ำเย็นในระบบปรับอากาศแบบมีถังเก็บน้ำเย็นขนาดพื้นที่ไม่เกิน 12 ตารางเมตร การทำงานระบบทำน้ำเย็นพลังงานแสงอาทิตย์โดยใช้มอเตอร์กระแสตรงขับเคลื่อนระบบทำความเย็นแบบอัดไอใช้พลังงานจากแผงโซลาร์เซลล์ที่เก็บไว้ในแบตเตอรี่บางส่วนเพื่อจ่ายให้คอมเพรสเซอร์ที่กินกำลังไฟฟ้า 27 Volt , 33 Ampere หรือประมาณ 850 Watt โดยที่แผงโซลาร์เซลล์สามารถผลิตกระแสไฟฟ้าในละชุดประมาณ 29 Volt , 19 Ampere ซึ่งถ้ารวมกันทั้ง 3 ชุด จะได้ประมาณ 29 Volt , 60 Ampere มากพอที่จะขับเคลื่อนคอมเพรสเซอร์และพลังงานที่เหลือจะถูกเก็บไว้ในแบตเตอรี่ทำให้สามารถเดินเครื่องได้ตลอดการทดลองช่วงกลางวันและสามารถผลิตน้ำเย็นได้สูงสุด 20 องศาเซลเซียส ที่ 3,000 ลิตร ใช้เวลาเดินเครื่องประมาณ 10 ชั่วโมง และจากแผนภูมิ"รูปที่ 14" การทดสอบเครื่องช่วงเวลากลางคืน เป็นการทดสอบสมรรถนะของเครื่องโดยการใช้ไฟฟ้ากระแสตรง จากอุปกรณ์จ่ายไฟ (Power Supply) เพื่อเก็บข้อมูลในช่วงกลางคืนนำไปพัฒนาตัวเครื่องต่อไป ผลลัพธ์ที่ได้คือช่วงกลางคืน อุณหภูมิสิ่งแวดล้อมค่อนข้างต่ำทำให้อุณหภูมิน้ำเย็นลดลงต่ำถึง 16.5 องศาเซลเซียส

4.แนวทางการพัฒนา

ในส่วนตัวเครื่องทดลองในงานวิจัยนี้ยังสามารถพัฒนาต่อไปได้อีกโดยสามารถแบ่งออกเป็นข้อๆดังนี้

4.1 คอนเดนเซอร์

ปรับปรุงขนาดของคอนเดนเซอร์ ให้มีขนาดใหญ่มากขึ้นทำให้สามารถทำความเย็น R 134 A ที่ถูกอัดผ่านเอ็กซ์แพนชันวาล์วอุณหภูมิลดลงได้อีกส่งผลให้ความสามารถผลิตน้ำเย็นได้อุณหภูมิที่ต่ำลง

4.2 ฉนวนที่หุ้มถังเก็บน้ำเย็นและท่อน้ำเย็น

เพิ่มหรือปรับปรุงขนาดชนิดของฉนวนที่หุ้มถังเก็บน้ำเย็นและท่อน้ำเย็นให้มีความหนาเพิ่มขึ้นเพื่อลดการสูญเสียความเย็นของน้ำเย็นโดยงานวิจัยนี้ใช้ฉนวนหุ้มท่อน้ำเย็นเป็น

แบบฉนวนยางดำแบบหลอดขนาด 3/4 นิ้ว , หนา 3/8 นิ้ว และความหนาของฉนวนหุ้มถังเก็บน้ำเย็นหนา 1 นิ้ว ค่าการนำความร้อน (Thermal Conductivity; K value) เท่ากับ 0.038 W/mk โดยจากการทดลองพบว่ายังมีการก่อกวนตัวของน้ำที่ฉนวนอยู่ข้าง เมื่ออุณหภูมิต่ำกว่า 20 องศาเซลเซียส

4.3 แบตเตอรี่และระบบสำรองไฟฟ้า

เพิ่มเติมในส่วนของแบตเตอรี่ที่สำรองไฟฟ้าและในส่วนของการผลิตกระแสไฟฟ้าจากโซลาร์เซลล์ให้สอดคล้องกันเพื่อให้สามารถเดินเครื่องได้ตลอดในช่วงกลางคืนจนถึงเช้าเพื่อที่จะทำให้เดินเครื่องได้ตลอด 24 ชั่วโมงจะทำให้สามารถลดอุณหภูมิน้ำเย็นลงได้อีก

5 กิตติกรรมประกาศ

คณะและทีมงานผู้จัดทำงานวิจัยต้องขอขอบคุณมหาวิทยาลัยเทคโนโลยีราชมงคลธัญบุรี คณะวิศวกรรมศาสตร์ ที่สนับสนุนอุปกรณ์บางส่วนสำหรับการทำวิจัยนี้และครอบครัวและเพื่อนร่วมงานทุกคนที่ให้การสนับสนุนทำให้งานวิจัยสำเร็จรูปล่วงไปได้ด้วยดี

6 เอกสารอ้างอิง

6.1 บทความจากวารสาร (Journals)

[1] กรมพัฒนาพลังงานทดแทนและอนุรักษ์พลังงาน กระทรวงพลังงาน กองถ่ายถอดและเผยแพร่เทคโนโลยีการผลิตไฟฟ้าจากพลังงานแสงอาทิตย์

6.2 บทความจากเอกสารประกอบการประชุม (Proceedings)

[2] จักรตุพล ลงเงิน สาขา วิชาเทคโนโลยีพลังงาน มหาวิทยาลัยเทคโนโลยีพระจอมเกล้าธนบุรี ศึกษาการจำลองระบบการผลิตไฟฟ้าโดยเซลล์แสงอาทิตย์สำหรับบ้านพักอาศัยโดยใช้โปรแกรม PVSYST

[3] มิติ มาลีทิพย์วรรณ ภาควิชาวิศวกรรมเครื่องกล มหาวิทยาลัยขอนแก่น งานนี้วิจัยเป็นการศึกษาการประหยัดพลังงานของเครื่องปรับอากาศในอาคารเรียนที่มีห้องเรียนเป็นจำนวนมาก

[4] ธนาคม สุนทรชัยนาคแสง ภาควิชาวิศวกรรมเครื่องกล สถาบันเทคโนโลยีพระจอมเกล้าพระนครเหนือ แหล่งความร้อนเป็นปัจจัยสำคัญที่ต้องการประเมิน

[5] นายภานุ สุวิชาเชิดชู ภาควิชาวิศวกรรมเครื่องกล สถาบันเทคโนโลยีพระจอมเกล้าพระนครเหนือได้การศึกษาการประเมินศักยภาพการใช้งานระบบกักเก็บความเย็นด้วยน้ำในอาคาร ท. 101 กฟผ. สำนักงานใหญ่

[6] นายสุกิตต์ อายุยืน สาขาวิชาเทคโนโลยีการจัดการพลังงาน มหาวิทยาลัยเทคโนโลยีพระจอมเกล้าธนบุรี ได้ทำการวิจัยเกี่ยวกับการเพิ่มประสิทธิภาพพลังงานของระบบปรับอากาศโดยการลดเอนทัลปีของอากาศ

[7] Olga V. Shepvalova*, Alexander T. Belenov
Investigation of DC Motors Mechanical Characteristics with Powered by Comparable Capacity PV Array , VIESH-RENEWABLE ENERGY SOURCES, 1-st Veshnyakovskiy proezd. 2, Moscow, 109456, Russia

[8] Asmaa Ahmed M. El-Bahloul¹, Ahmed Hamza H. Ali^{a,b}, Shinichi Ookawara^c Performance and sizing of solar driven dc motor vapor compression refrigerator with thermal storage in hot arid remote areas ^a Energy Resources Engineering Department, Egypt-Japan University of Science and Technology (E-JUST), P.O. Box 179, New Borg El-Arab City, Alexandria 21934, Egypt; asmaa.elbahloul@ejust.edu.eg

^b Director; Center of Research Excellence for Energy Resources and Management, Egypt-Japan University of Science and Technology (E-JUST),

P.O. Box 179, New Borg El-Arab City, Alexandria 21934, Egypt; ahmed.hamza@ejust.edu.eg

^c Department of Chemical Engineering, Graduate School of Science & Engineering, Tokyo Institute of Technology, Tokyo 152-8552, Japan; sokawara@chemeng.titech.ac.jp

ETM 0014

Certificate Of Appreciation



การประชุมวิชาการเครือข่าย วิศวกรรมเครื่องกลแห่งประเทศไทย ครั้งที่ 37

ขอขอบพระทัยที่ตรงฉบับนี้ไว้เพื่อแสดงว่า

ชุมพล กำเนิดนันทน์ และ มุณย์ฤทธิ์ ประสาทแก้ว

เข้าร่วมนำเสนอบทความในหัวข้อ

ระบบทำนายเฝ้าพลังงานแสงอาทิตย์ที่ใช้มอเตอร์กระแสตรงขับเคลื่อนระบบที่ความเย็นแบบอัดไอ

วันที่ 25 - 28 กรกฎาคม 2566

ณ โรงแรมเดอะเบด เวสทิน ราชประสงค์ อ.เมือง จ.สงขลา

(ศาสตราจารย์ ดร.กุลเชษฐ์ เพ็ชรทอง)
นายกสมาคมวิศวกรเครื่องกลไทย

(รองศาสตราจารย์ ดร.จารุวัฒน์ เจริญจิต)
ประธานคณะกรรมการดำเนินงาน ME-NETT 2023

ประวัติผู้เขียน

ชื่อ - นามสกุล	นายชุมพล กำเหนิดนนท์
วัน เดือน ปีเกิด	10 พฤษภาคม 2520
ที่อยู่	33/3 หมู่ 1 ตำบลบางใหญ่ อำเภอบางใหญ่ จังหวัดนนทบุรี 11140
การศึกษา	สำเร็จการศึกษาหลักสูตร วิศวกรรมศาสตรบัณฑิต (วศบ.) สาขา วิศวกรรมเครื่องกล คณะ วิศวกรรมศาสตร์ มหาวิทยาลัยเทคโนโลยีราชมงคลกรุงเทพ
เบอร์โทรศัพท์	064-8419512
อีเมล	k.chumphon@hotmail.com

